

# CONTRIBUȚII LA NAVIGAȚIA ROBOȚILOR MOBILI AUTONOMI UTILIZÂND REȚELE NEURONALE CELULARE

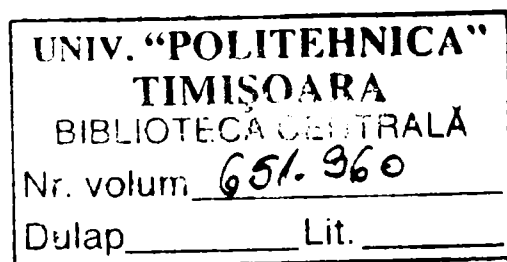
Teză destinată obținerii  
titlului științific de doctor inginer  
la  
Universitatea "Politehnica" din Timișoara  
în domeniul INGINERIE ELECTRONICĂ ȘI TELECOMUNICAȚII  
de către

**Ing. Gavriluț Ioan**

Conducător științific:  
Referenți științifici:

Prof.dr.ing. Virgil Tîponuț  
Prof.dr.ing. Mircea Ivănescu  
Prof.dr.ing. Gavril Todorean  
Prof.dr.ing. Toma Leonida Dragomir

Ziua susținerii tezei: 26.01.2007



Seriile Teze de doctorat ale UPT sunt:

- |                        |   |
|------------------------|---|
| 1. Automatică          | 7. Inginerie Electronică și Telecomunicații |
| 2. Chimie              | 8. Inginerie Industrială                    |
| 3. Energetică          | 9. Inginerie Mecanică                       |
| 4. Ingineria Chimică   | 10. Știința Calculatoarelor                 |
| 5. Inginerie Civilă    | 11. Știința și Ingineria Materialelor       |
| 6. Inginerie Electrică |   |

Universitatea „Politehnica” din Timișoara a inițiat seriile de mai sus în scopul diseminării expertizei, cunoștințelor și rezultatelor cercetărilor întreprinse în cadrul școlii doctorale a universității. Seriile conțin, potrivit H.B.Ex.S Nr. 14 / 14.07.2006, tezele de doctorat susținute în universitate începând cu 1 octombrie 2006.

Copyright © Editura Politehnica – Timișoara, 2006

Această publicație este supusă prevederilor legii dreptului de autor. Multiplicarea acestei publicații, în mod integral sau în parte, traducerea, tipărirea, reutilizarea ilustrațiilor, expunerea, radiodifuzarea, reproducerea pe microfilme sau în orice altă formă este permisă numai cu respectarea prevederilor Legii române a dreptului de autor în vigoare și permisiunea pentru utilizare obținută în scris din partea Universității „Politehnica” din Timișoara. Toate încălcările acestor drepturi vor fi penalizate potrivit Legii române a drepturilor de autor.

România, 300159 Timișoara, Bd. Republicii 9,  
tel. 0256 403823, fax. 0256 403221  
e-mail: editura@edipol.upt.ro

## Cuvânt înainte

Roboții mobili, denumiți și vehicule autonome sau semi-autonome, sunt în continuă expansiune, lucru ce a determinat ca un mare număr de cercetători să fie interesați de studiul acestora. Acest domeniu este unul în care se întâlnesc și își aduc aportul diverse domenii de cercetare cum ar fi: manipulatorii robotici convenționali, inteligența artificială, prelucrarea imaginilor, dar mai nou și domenii cum ar fi biologia și chiar filozofia.

Un robot mobil autonom este un sistem complex dotat cu o serie de capacități care acționează în comun. Astfel, sarcinile de navigare într-un spațiu, perceperea acestuia și raționamentul cu privire la mediul înconjurător sunt problemele fundamentale în cadrul studierii roboților mobili autonomi.

Cu toate că realizările de până acum, în scopul perfecționării roboților mobili, au reușit să le imprime acestora anumite nivele de inteligență, roboții sunt încă departe de a fi capabili de o autonomie completă. Cercetătorii sunt în continuare preocupați să rezolve problema navigării roboților mobili în medii dinamice și dezordonate fără intervenția operatorului uman.

În ultimul timp, pe baza comparației cu sistemele biologice, a crescut interesul pentru colectivitățile de roboți mobili. Fiecare robot este un agent independent și semi-autonom, care comunică cu toți ceilalți roboți și are acces în egală măsură la informații. Aceste colonii de roboți pot realiza diverse sarcini colective pe baza comunicării și cooperării dintre roboți. S-a observat că utilizarea mai multor roboți, pentru diverse sarcini, este mai eficientă decât utilizarea unui singur robot sofisticat.

Noile tendințe din robotică sunt deseori inspirate din natură (comportamentul insectelor, animalelor și al oamenilor), însă doar progresele tehnicii vor permite transferarea lor în inginerie, într-un mediu funcțional, respectiv implementare practică. Astfel, odată cu progresele făcute în domeniul senzorilor, creșterea puterii de procesare a semnalelor, miniaturizarea părților mecanice și biotehnologia, sisteme uimitoare vor fi posibil de realizat.

Aplicațiile roboților mobili sunt extrem variate, aceștia pătrunzând în ultimii ani în foarte multe domenii. Astfel, roboții *indoor* (care operează în medii structurate) sunt folosiți în: industrie (operații de manipulare a materialelor), sau pentru diverse servicii (ghizi în muzee și magazine, operații de curățare și spălare, supravegherea unor spații). Roboții *outdoor* (care navighează în exteriorul clădirilor) au și ei aplicații dintre cele mai diverse cum ar fi în: construcții, agricultură, exploatarea miniere, inspectarea și curățarea rețelelor de canalizare, stingerea incendiilor, operații de deminare, exploatarea forestiere, cercetări spațiale.

Rețelele neuronale celulare (CNN), sunt caracterizate de faptul că celulele componente (neuronii) au doar interacțiuni locale. Acest fapt a făcut posibilă implementarea acestora în tehnologia VLSI pe un singur chip. În acest fel, au apărut o serie de procesoare CNN care prezintă avantajul procesării paralele a semnalelor.

Navigarea roboților mobili autonomi pe baza imaginilor furnizate de o cameră video a fost studiată în diverse lucrări de specialitate. Utilizarea unei camere video presupune procesarea unei cantități mari de informație, care de regulă, necesită timp și poate duce în final la o viteză de navigare scăzută.

Rețelele neuronale celulare au un timp foarte mic de procesare a semnalelor și din acest motiv sunt considerate o soluție promițătoare pentru ghidarea roboților mobili autonomi, în medii cu obstacole, pe baza imaginilor.

Autorul

Gavriliuț, Ioan

**Contribuții la navigația roboților mobili autonomi utilizând rețele neuronale celulare**

Teze de doctorat ale UPT, Seria 7 , Nr. 2 , Editura Politehnica, 2007, 196 pagini, 96 figuri, 2 tabele.

ISSN: 1842-7014

ISBN: 978-973-625-417-8

Cuvinte cheie:

roboți mobili, rețele neuronale celulare, planificarea traiectoriei, algoritmi CNN, mediu integrat

Rezumat,

Utilizarea unei camere video pentru navigația roboților mobili autonomi presupune procesarea unei cantități mari de informație care, de regulă, necesită timp și poate duce în final la o viteză de navigare scăzută. Rețelele neuronale celulare (CNN) au un timp foarte mic de procesare a imaginilor și din acest motiv sunt considerate o soluție promițătoare pentru ghidarea roboților mobili autonomi, în medii cu obstacole, pe baza imaginilor.

În prezenta lucrare este abordată problema navigării roboților mobili și a colectivităților de roboți mobili în medii cu obstacole. Este examinat, în special, modul de planificare a traiectoriei pe baza imaginilor mediului furnizate de o cameră video. Aceste imagini sunt procesate cu ajutorul rețelelor neuronale celulare care prezintă avantajul procesării paralele și pot fi implementate hard.

Pe parcursul a șase capitole se încearcă prezentarea unei soluții complete, începând cu prezentarea roboților mobili, navigația roboților mobili, prezentarea rețelelor neuronale celulare, elaborarea de algoritmi CNN pentru planificarea traiectoriei roboților mobili și pentru coordonarea unei colectivități de roboți mobili și terminând cu prezentarea unui mediu integrat pentru navigația unui robot mobil prin procesarea cu CNN a imaginilor achiziționate de o cameră video.

# CUPRINS

<b>1. Roboții mobili autonomi .....</b>	<b>7</b>
1.1. Noțiuni introductive .....	7
1.2. Clasificarea roboților mobili .....	9
1.3. Evoluția roboților mobili .....	10
1.4. Aplicații ale roboților mobili .....	14
1.5. Perspective în dezvoltarea roboților mobili .....	18
1.6. Concluzii .....	19
<b>2. Navigația roboților mobili autonomi .....</b>	<b>20</b>
2.1. Noțiuni introductive .....	20
2.2. Metode și strategii de navigare .....	21
2.3. Modelarea mediului .....	23
2.4. Localizarea robotului .....	26
2.5. Planificarea traiectoriei .....	28
2.6. Sisteme de conducere a roboților mobili .....	40
2.7. Metodă de planificare a traiectoriei cu metoda câmpului potențial artificial folosind mediul de simulare Matlab .	50
2.8. Concluzii .....	53
<b>3. Rețelele neuronale celulare .....</b>	<b>55</b>
3.1. Noțiuni introductive .....	55
3.2. Topologia rețelei neuronale celulare de bază .....	55
3.3. Circuitul electric de bază al unei celule CNN standard .....	57
3.4. Rețeaua neuronală celulară standard .....	58
3.5. Rețeaua neuronală celulară standard cu operatori de dimensiune 3×3 .....	61
3.6. Rețelele neuronale celulare multistrat .....	63
3.7. Variante de rețele neuronale celulare .....	65
3.8. Implementarea și simularea rețelelor neuronale celulare .....	67
3.9. Concluzii .....	74
<b>4. Planificarea traiectoriei roboților mobili prin     procesări CNN .....</b>	<b>76</b>

4.1. Noțiuni introductive .....	76
4.2. Algoritm CNN de planificare a traiectoriei unui robot mobil .....	77
4.3. Algoritm CNN de planificare simultană a traiectoriilor pentru doi roboți mobili .....	91
4.4. Algoritm CNN pentru deplasarea unui robot mobil prin metoda <i>wall-following</i> .....	97
4.5. Concluzii .....	103
<b>5. Colectivități de roboți mobili .....</b>	<b>106</b>
5.1. Noțiuni introductive .....	106
5.2. Modele de societăți întâlnite în natură .....	109
5.3. Studii, implementări și rezultate privind colectivitățile de roboți mobili .....	111
5.4. Algoritm CNN pentru coordonarea deplasării unei colectivități de roboți mobili .....	126
5.5. Concluzii .....	139
<b>6. Mediu integrat pentru navigația unui robot mobil pe baza procesării CNN a informației vizuale ...</b>	<b>141</b>
6.1. Introducere .....	142
6.2. Structura mediului integrat .....	143
6.3. Planificarea traiectoriei .....	146
6.4. Deplasarea robotului spre țintă .....	149
6.5. Concluzii .....	153
<b>7. Contribuții .....</b>	<b>154</b>
<b>Bibliografie .....</b>	<b>156</b>
Anexa A1 .....	166
Anexa A2 .....	171
Anexa A3 .....	173
Anexa A4 .....	179
Anexa A5 .....	182
Anexa A6 .....	189
Anexa A7 .....	193

# 1. ROBOȚII MOBILI AUTONOMI

## 1.1. Noțiuni introductive

Roboții mobili reprezintă un domeniu de cercetare relativ nou, cunoscând o dezvoltare rapidă în ultimii ani. În principiu, se studiază și perfecționează comanda vehiculelor autonome și semi-autonome [1]. Acest domeniu preia din alte domenii de cercetare unele concepte cum ar fi: manipulatorii robotici convenționali, inteligența artificială, prelucrarea imaginilor, etc., care sunt folosite de către roboții mobili în special pentru perceperea și modelarea mediului înconjurător. Comportamentul unui robot mobil autonom nu implică doar achiziția incrementală a poziției, estimarea erorilor de poziție, abilitatea de a recunoaște obiectele sau locurile familiare și răspunsul în timp real, ce necesită ca toate aceste funcționalități să acționeze în comun. Sarcinile de navigare într-un spațiu, perceperea acestuia și raționamentul cu privire la mediul înconjurător sunt problemele fundamentale în cadrul studierii roboților mobili autonomi.

Roboții mobili nu sunt și nu trebuie să fie doar o colecție de algoritmi, ci și întrupări fizice care operează în medii reale. Acestea trebuie să perceapă lumea reală pe baza senzorilor și prin intermediul lor sunt testate conceptele și algoritmi teoretici. Prin urmare, domeniul roboților mobili este acela în care literalmente robotul sau vehiculul se deplasează pe drum pe baza unor algoritmi de planificare a traiectoriei, reprezentare a cunoașterii, percepție și raționament.

Schema bloc de principiu a unui robot mobil autonom este prezentată în Figura 1.1. Se poate observa că un robot mobil este compus dintr-o serie de sub-sisteme care toate împreună participă la elaborarea și efectuarea comenzilor de deplasare a acestuia în mediul de lucru.

Pe baza informațiilor despre structura mediului de lucru, obținute de la sistemul senzorial, și ținând cont de informațiile apriori memorate într-o bază de date, se poate construi o hartă a mediului. Pe baza acesteia sunt determinate pozițiile obstacolelor în raport cu poziția robotului. Odată cunoscută poziția și orientarea robotului în raport cu mediul, se poate planifica în continuare traiectoria acestuia, care va fi comunicată sistemului de comandă a deplasării. Acesta la rândul său va comanda sistemul mecanic de locomoție al robotului pentru efectuarea deplasării în mediu. Practic, aceste sub-sisteme funcționează permanent într-o buclă închisă, astfel că dacă unul dintre ele este afectat de anumiți factori, atunci sistemul de comandă al robotului, luat în ansamblu, nu va funcționa normal și operația de navigare va fi compromisă.

O mare parte a roboților mobili sunt încă în stadiul de experimentare și testare dar au apărut totuși aplicații importante în domeniul industrial și comercial în care aceștia înlocuiesc cu succes munca umană. Sarcinile în care roboții mobili sunt folosiți cu succes, sunt caracterizate de una sau mai multe din următoarele caracteristici:

- un mediu "ne-ospitalier" în care realizarea operațiilor de către o ființă umană poate fi foarte costisitoare sau foarte periculoasă;

- un mediu îndepărtat pentru care trimiterea unui operator uman poate fi prea dificilă sau poate lua mult timp;
- sarcini care necesită foarte multe operații ciclice sau au un factor de oboseală ridicat;
- sarcini care sunt foarte dezagreabile pentru om.

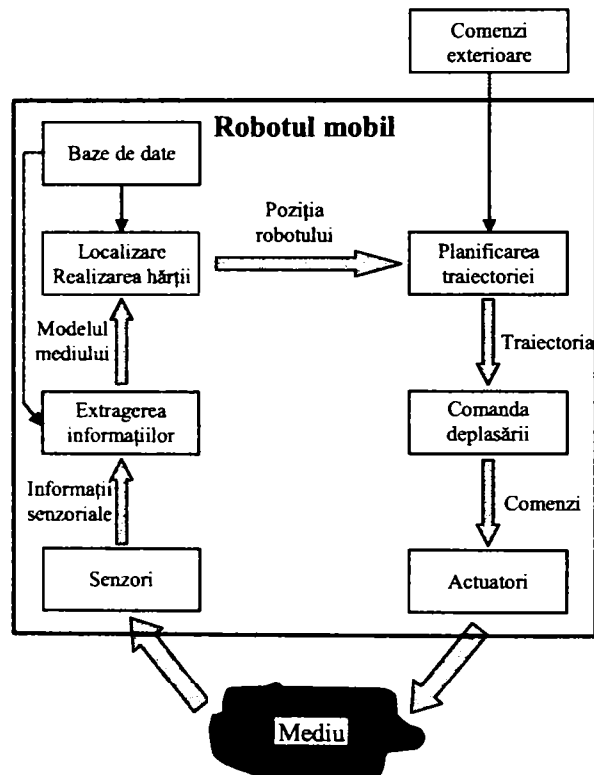


Figura 1.1. Schema bloc de principiu a unui robot mobil autonom și circulația informațiilor și comenzilor între sub-sistemele acestuia.

Roboții mobili sunt, de fapt, o "ispravă" a ingineriei. Actuatorii, procesoarele, interfețele, senzorii, mecanismele de comunicare și de locomoție care permit unui robot mobil să funcționeze, trebuie să fie integrate astfel încât să permită sistemului să funcționeze ca un tot unitar. După cum se observă și din Figura 1.1, robotul mobil are o structură internă complexă, care necesită o investiție considerabilă de resurse umane și financiare pentru asigurarea funcționării sale.

La nivel fizic sau hard, un robot mobil poate fi descompus în următoarele părți [1]:

- un mecanism cu ajutorul căruia robotul se deplasează prin mediu. Acesta include organizarea fizică a motorului, curele de transmisie și roți dințate necesare pentru punerea în mișcare a robotului;
- un calculator sau o rețea de calculatoare pentru comanda robotului;
- o rețea de senzori prin care robotul culege informații referitoare la mediu;



- un sistem hard de comunicare prin care se stabilește comunicarea robotului cu operatorul de comandă sau cu alte calculatoare exterioare robotului.

Dintr-un alt punct de vedere, detaliile hard pot fi abstractizate și un robot poate fi considerat astfel:

- o abstracție la nivel soft a motoarelor, traductoarelor, actuatoarelor, etc., care permit mișcarea robotului. Cei mai mulți producători de accesorii hard pentru roboți furnizează doar suport pentru exploatarea acestora și nu neapărat detalii tehnice despre modul lor de funcționare;
- mecanisme soft sau biblioteci pentru accesul la modul de funcționare a senzorilor robotului, spre exemplu, pentru indicația curentă a senzorilor ultrasonici despre distanță;
- un mecanism de comunicație standard cum ar fi o interfață pentru o rețea distribuită în exteriorul robotului.

Dintr-o perspectivă mai abstractă, roboții mobili pot fi considerați doar la nivel soft, astfel încât: senzorii, sistemele de comunicare și sistemele de locomoție sunt văzute simplu, ca module soft care stabilesc interacțiunea robotului cu mediul său. Componentele tipice într-o astfel de arhitectură sunt:

- sub-sistem de comandă și procesare senzorială;
- sub-sistem de interpretare a informațiilor senzoriale care decide acțiunile viitoare pe care le va face robotul;
- sub-sistem de comandă a mișcării.

## 1.2. Clasificarea roboților mobili

Roboții mobili pot fi clasificați, în sens general, după zona specifică de activitate [2]. Apare astfel în literatura de specialitate, clasificarea în roboți destinați navigării interioare (*indoor*), sau mai bine zis, în interiorul clădirilor sau halelor industriale și roboți pentru navigarea exterioară, pe teren deschis sau pe străzi (*outdoor*).

Roboții *indoor* prezintă, față de roboții *outdoor*, un număr însemnat de avantaje, ce simplifică mult munca programatorului precum și sistemul de comandă necesar:

- mediul de lucru este bine structurat, având de cele mai multe ori forme regulate, cum ar fi, spre exemplu: muchiile și colțurile drepte;
- în mediul de lucru pot fi adăugate foarte ușor, în mod intenționat, diverse puncte de reper (*beacons*) care să ajute la ghidarea robotului;
- mediul *indoor* are un grad mare de predictibilitate, astfel sunt situații, hale de producție spre exemplu, în care evoluția mediului poate fi prezisă cu un grad de acuratețe destul de ridicat;
- condițiile de lucru sunt mult mai acceptabile. În mediul din interiorul clădirilor temperatura și umiditatea pot fi controlate și menținute între limite rezonabile. De asemenea și iluminarea poate fi controlată, având un caracter uniform și constant.

Roboții *outdoor* trebuie proiectați astfel încât să-și poată desfășura activitatea într-un mediu complex. Ei trebuie să se deplaseze într-un teren extrem de variat, ale cărui trăsături, de cele mai multe ori, nu se repetă.

În plus, mediul *outdoor* este, în cele mai multe cazuri și impredictibil. Din aceste motive, sistemul de comandă al robotului trebuie să dispună de o capacitate mare de procesare a informațiilor senzoriale, care de cele mai multe ori, conduce la o viteză de navigare scăzută.

Pe de altă parte, condițiile de lucru, condiții care în unele cazuri pot fi chiar ostile, influențează destul de mult procesul de navigare. Un robot ce navighează într-un mediu *outdoor* poate fi supus unei plaje de temperaturi extrem de largi, în condițiile unei umidități variabile. La toate acestea se adaugă variațiile gradului de iluminare care pot fi prezente nu numai în cadrul ciclului zi-noapte, ci chiar și pe parcursul zilei odată cu evoluția condițiilor atmosferice.

Pe de altă parte, priviți din punctul de vedere al domeniului de aplicabilitate, literatura face distincție între două mari clase:

- roboți pentru aplicații industriale;
- roboți pentru servicii.

În ceea ce privește roboții pentru servicii aceștia sunt definiți ca: "dispozitive cinematice programabile care îndeplinesc servicii semiautomat sau automat" [3]. Pentru termenul servicii, literatura oferă definiția: "serviciile sunt acțiuni care nu contribuie în mod direct la fabricarea de bunuri, dar reprezintă acțiuni utile pentru oameni sau echipamente".

Pe lângă noțiunile de roboți industriali și roboți pentru servicii a apărut în ultimii ani noțiunea de roboți personali. Gradul de nestructurare al mediului precum și gradul de autonomie, crește de la roboții industriali spre cei pentru servicii și roboții personali. Se consideră că roboții personali sunt clasa cea mai avansată, capabilă de o comunicare naturală cu mediul. Roboții personali vor putea, de asemenea, să-și modeleze singuri mediul în care evoluează și să manipuleze aceste modele în raționamente.

O altă clasificare a roboților mobili poate fi făcută după sistemul lor de locomoție, respectiv modul de deplasare a acestora:

- roboți cu roți - sunt cei mai utilizați, roțile sunt angrenate de cele mai multe ori de motoare de curent continuu;
- roboți cu șenile - se deplasează pe două șenile paralele care au avantajul aderenței ridicate comparativ cu roțile;
- roboți pășitori - sistemul lor de locomoție îl imită pe cel uman;
- roboți târători - reprezintă o clasă specială a roboților mobili care încearcă să copieze modul de deplasare al reptilelor;
- roboți submersibili - sunt roboții ce lucrează în mediul subacvatic;
- roboți zburători - sunt dedicați automatizării sistemului de pilotaj al elicopterelor;
- roboți spațiali - pot fi incluși cei geostaționari a căror mijloace de deplasare sunt bazate pe propulsoare cu jet.

### 1.3. Evoluția roboților mobili

Roboții mobili au evoluat continuu, în decursul anilor, de la mecanisme ce realizau operații simple și de multe ori repetitive la mecanisme complexe ce pot naviga autonom în medii nestructurate (Figura 1.2). Pentru început au apărut manipuloarele robotice iar apoi roboții au progresat gradual în roboți programabili,

roboți comandați de calculator, roboți "îndemânatici" având un grad mare de libertate și roboți cu mai multe brațe care cooperează [4].

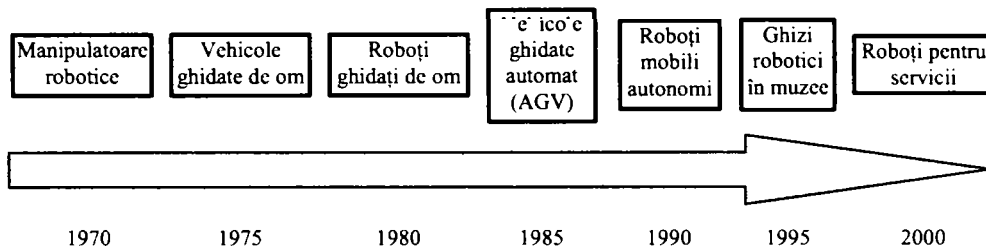


Figura 1.2. Evoluția roboților mobili.

În funcție de comanda mișcării roboților, aceștia au avansat, de asemenea, de la tipuri de roboți ghidați de om, la roboți ghidați automat, roboți ce se deplasează singuri, până la platforme mobile multiple care pot coopera reciproc pentru execuția sarcinilor. Primele manipulatoare mobile erau comandate de către oameni, care trebuiau să aibă o anumită îndemânare. Apoi au apărut vehiculele ghidate automat (AGV - *Automated Guided Vehicles*), care aveau unele capacități de manipulare a materialelor într-o hală industrială. Aceste vehicule se deplasau pe traiectorii bine stabilite și realizau în general operații de încărcare și descărcare. Cei mai avansați roboți sunt cei care se pot deplasa singuri și au capacități de manipulare a materialelor și pe lângă acestea ei pot singuri să ia unele decizii cu privire la operațiile ce trebuie executate.

În ultimul timp, pe baza comparației cu sistemele biologice, a crescut interesul pentru colectivitățile de roboți mobili. Fiecare robot din grup poate fi proiectat ca un agent independent și semi-autonom, care comunică cu toți ceilalți roboți și are acces în egală măsură la informații. Deciziile cu privire la planificarea traiectoriilor sunt luate de regulă de către un supervizor (calculator).

Realizările de până acum, în scopul perfecționării roboților mobili, au reușit să le imprime acestora anumite nivele de inteligență. Totuși, nivelul de inteligență atins de roboții mobili este încă departe de a fi suficient pentru obținerea unei autonomii complete care să nu necesite intervenția umană în cazul realizării unei sarcini date. Cercetătorii în domeniu sunt în continuare preocupați să rezolve problema operării roboților în medii dinamice și dezordonate fără intervenție umană.

Unul din primele proiecte care au introdus inteligența artificială pentru comanda roboților mobili a fost robotul Shakey construit la Institutul de Cercetare din Stanford în 1967. Robotul avea legătură radio cu un computer și era programat în FORTRAN. Deși era o realizare de excepție, la acea dată, robotul era departe de ceea ce am putea numi complet autonom.

Imediat după aceasta, au fost demarate mai multe proiecte având ca bază de studiu roboții mobili. Următorul țel propus de către cercetători a fost realizarea unui robot care să imite mersul uman. „Hexapod”-ul construit la Universitatea statului Ohio este considerat ca fiind primul sistem de acest gen din lume. Robotul era echipat cu un motor electric care să poată genera toate tipurile de mișcări de care robotul era capabil și opera în mod *master-slave*, fiind legat de calculator cu un "cordon ombilical". Provocarea pe care acest robot a trebuit să o înfrunte era menținerea unei mișcări uniforme a corpului în timp ce picioarele execută mișcări complexe [5].

Unul din roboții mobili, care au devenit referință, a fost construit de către H. R. Everett [6]. A fost unul din primii roboți dotați cu senzori multipli și care era pe deplin controlat de computerul din dotare. Scopul principal al acestui robot denumit Robart I era de a servi ca mobil de test pentru cercetări în domeniul Inteligenței Artificiale și al altor domenii adiacente. În cadrul roboților de acest tip din a doua generație, numiți Robart II, au fost integrate multe din caracteristicile atât de comune acum roboților mobili.

La realizarea roboților mobili sau a colectivităților de roboți mobili trebuie realizat un compromis între gradul de autonomie al acestora și complexitatea sarcinii pe care aceștia o îndeplinesc. De regulă, tendința firească în domeniu este obținerea unei autonomii cât mai mari a roboților sau a colectivității de roboți luată în ansamblu și în același timp aceștia să realizeze sarcini cât mai complexe.

Desigur, obiectivele urmărite diferă în funcție de modul de ghidare a robotului sau a grupului de roboți precum și de destinația acestora (aplicații industriale sau alte aplicații care necesită un grad de autonomie mai ridicat) și nu în ultimul rând în funcție de complexitatea sarcinii. Stadiul actual și tendința cercetării respectiv evoluției în domeniul roboților mobili în funcție de aplicațiile acestora sunt prezentate în Figura 1.3.

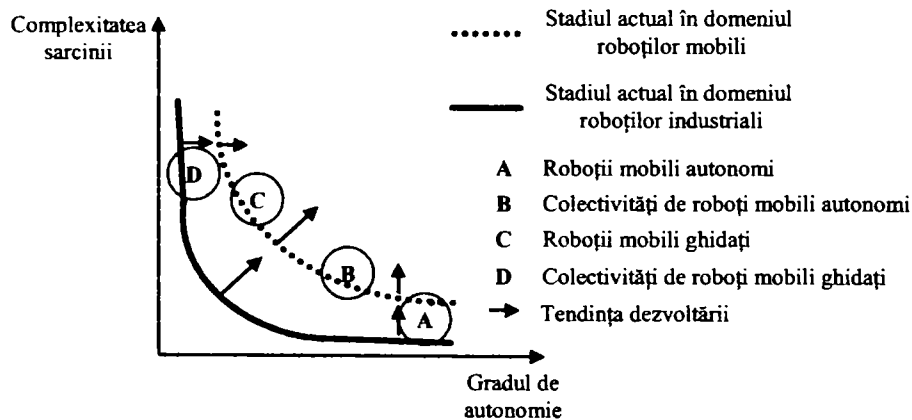


Figura 1.3. Stadiul actual și tendințele dezvoltării roboților mobili în funcție de complexitatea sarcinii, gradul de autonomie și aplicațiile acestora.

Una din tendințele de perfecționare a roboților mobili o constituie utilizarea limbajului natural, respectiv vorbirii, pentru comanda acestora, sau chiar pentru comunicarea lor cu un supervisor central.

Utilizarea limbajului natural reprezintă cel mai confortabil mod de a comunica cu roboții. Astfel, încă din 1999 a fost demarat proiectul CARL (*Communication, Action, Reasoning and Learning in Robotics*) [7], în cadrul căruia este propusă o interfață om-robot prin intermediul căreia operatorul uman poate să comunice cu un robot mobil prin vorbire. Se propunea realizarea unui dialog cu robotul prin care operatorul uman să-i comunice acestuia ce sarcină să îndeplinească, iar robotul la rândul său să se poată informa despre modul de realizare a unei acțiuni particulare atunci când este nevoie. De asemenea, se urmărea ca operatorul uman să îl poată atenționa verbal pe robot despre anumite pericole ce pot apărea în timpul realizării unor operații.

O altă tendință, care a început să se concretizeze, o constituie realizarea de roboți în miniatură [8]. Având dimensiuni de doar câțiva cm<sup>3</sup> ei pot genera uneori o forță comparabilă cu forța aplicată de un operator uman. Partea electronică a acestor roboți este realizată cu ajutorul dispozitivelor electronice montate pe suprafața cablajului (SMD - *Surface Mounted Devices*), care permit o creștere importantă a densității componentelor pe cablajele imprimate. De asemenea, sunt utilizați senzori compacti ce includ unele preprocesări ale semnalelor sau așa zisi senzori inteligenți (*smart sensors*) și astfel este redus numărul de conductoare și de module.

### 1.3.1. Colectivități de roboți mobili

În ultimii ani, eforturile majore de cercetare au fost focalizate pe îmbunătățirea performanțelor unui robot mobil individual prin utilizarea senzorilor și actuatorilor avansați, și a algoritmilor de comandă inteligenți. Acest fapt se datorează în principal necesității de a realiza sarcini tot mai complexe cerute de practică. Prin urmare, robotul mobil individual a devenit un dispozitiv foarte sofisticat.

Multe dintre sistemele robotice curente folosesc de regulă, pentru aplicații la distanță platforme sofisticate și scumpe, tipic roboți mari și mijlocii desfășurați ca o singură unitate, fiind înzestrați adesea cu instrumentație complexă și/sau echipe de ingineri pentru diverse operații sau service. Acești roboți au costuri mari de realizare, sunt greu de transportat și nu oferă un răspuns rapid în cazul sarcinilor la distanță și pe lângă acestea, adesea, acești roboți nu pot fi recuperați datorită expunerii lor la diverse pericole.

Pornind de la aceste premise, în ultimii ani, colectivitățile de roboți denumite și colonii de roboți sau sisteme multi-robot, au fost mult studiate și chiar implementate în unele domenii cum ar fi: transportul materialelor (în special a materialelor sau obiectelor grele), operații de explorare, căutare și supraveghere, aplicații industriale de curățare și spălare, etc.

Avantajele utilizării echipelor de roboți a atras atenția cercetătorilor mai ales în ultimii ani, fapt observat prin numeroase lucrări ce au apărut în domeniu [9],[10],[11],[12],[13],[14]. Ideea de bază este realizarea unor grupuri de roboți mobili care să lucreze în cooperare pentru execuția diverselor tipuri de sarcini. Deși având capacități limitate, astfel de roboți realizați în număr mare pot reprezenta o forță cumulativă puternică precum o colonie de furnici sau un roi de albine. De asemenea, utilizarea roboților multipli va face să crească siguranța în funcționarea sistemului în timp ce scade complexitatea sarcinilor pentru un robot precum și timpul de execuție total al unei sarcini complexe.

În multe situații, utilizarea sistemelor multi-robot prezintă o serie de avantaje față de utilizarea unui singur robot, cum ar fi:

- sunt realizate unele sarcini complexe ce nu pot fi realizate de către un singur robot;
- crește productivitatea prin lucrul în echipă, respectiv prin efectuarea mai multor operații complementare în paralel;
- e mai economic uneori, să se realizeze câțiva roboți de mici dimensiuni decât un singur robot complex care să execute aceleași operații;
- sistemul multi-robot poate fi mai robust și mai sigur, datorită redundanței de care acesta poate dispune;

- se poate obține o mai bună distribuție spațială, deoarece mai mulți roboți pot acoperi concomitent o zonă mai mare, în cazul operațiilor de explorare, căutare sau supraveghere.

Implementarea și coordonarea coloniilor de roboți mobili este desigur mult mai complexă. Pentru realizarea unei sarcini colective sistemul de comandă al echipei de roboți trebuie să fie proiectat astfel încât să rezolve cel puțin două probleme importante:

- descompunerea și alocarea sarcinilor;
- interacțiunea și colaborarea dintre roboți.

## 1.4. Aplicații ale roboților mobili

Aplicațiile roboților mobili sunt extrem variate, aceștia pătrunzând în ultimii ani în foarte multe domenii. Astfel, roboții *indoor* care operează în medii structurate sunt folosiți în: industrie (operații de manipulare a materialelor), sau pentru diverse servicii (ghizi în muzee și magazine, operații de curățare și spălare, supravegherea unor spații). Roboții *outdoor* au și ei aplicații dintre cele mai diverse cum ar fi în: construcții, agricultură, exploatarea miniere, inspectarea și curățarea rețelelor de canalizare, stingerea incendiilor, operații de deminare, exploatarea forestiere, cercetări spațiale.

Sunt prezentate în continuare câteva din aplicațiile reprezentative ale roboților mobili, aplicații grupate pe domenii economice, subliniind și unele exemplificări în acest sens.

### 1.4.1. Aplicații în domeniul serviciilor

În 1990 firma Putzmeister în cooperare cu Stuttgart Fraunhofer Institute au realizat cu succes cel mai mare robot mobil la acea dată, Skywash SW 33, destinat spălării aeronavelor [3]. Sistemul era, de fapt, un manipulator gigant cu 9 axe. Caracteristicile sale definitorii sunt: greutatea maximă admisă a sarcinii 1500 kg, o întindere maximă a brațului de 22 m, o precizie de poziționare de 15 mm și o viteză maximă de deplasare a efectorului final de 1,5 m/s. Arhitectura sistemului se bazează pe un concept hibrid în care acțiunea este inițiată de către un operator uman, ce realizează poziționarea pe suprafața avionului, urmând ca apoi în regim automat să fie executată operațiunea de spălare pe aproximativ 80% din suprafața aeronavei. Skywash are avantajul scurtării timpului necesar spălării unei aeronave de la aproximativ 10-12 ore câte erau necesare pentru 10 oameni, la 2-3 ore, timp în care robotul efectua singur aceeași operație.

Una din aplicațiile testate a fost aceea de curățire a bazinelor de apă, în special a celor comerciale care trebuie curățate zilnic. Pe fundul bazinului și pe pereții acestuia se depun alge și diverse sedimente care trebuie înlăturate iar curățarea manuală pe lângă faptul că ia mult timp este și neplăcută. Astfel a fost realizat robotul mobil WEDA B400 [15], care echipat cu o pompă de apă și perii rotative poate să curețe suprafața bazinului în mod automat. Algele și sedimentele sunt colectate într-un sac prin care apa poate să treacă. Pentru localizarea robotului sunt folosiți senzori ultrasonici și filtrare Kalman a datelor senzoriale [16].

Altă aplicație utilă a roboților mobili este aceea de ghizi în locuri publice cum ar fi muzeele. În 1997 a fost instalat în Muzeul German din Bonn, primul robot ghid Rhino, care era echipat cu senzori laser și se ghida după o hartă obținută manual,

deoarece nu avea capacitatea de a ridica *on-line* harta mediului. Mai apoi în anul 1998 a apărut robotul mobil interactiv Minerva [17], care a fost instalat în Muzeul Național de Istorie Americană, echipat cu un sistem de navigare mult mai sofisticat. Pe lângă senzorii laser, ultrasonici și vizuali, robotul deținea și o unitate de comunicare prin voce, panou de comandă prin atingere, server de internet, etc. Vizitatorii puteau selecta zona de vizitare prin atingerea panoului situat în spatele robotului. Viteza maximă de deplasare era de 163 cm/sec dar în prezența turiștilor era de maxim 70 cm/sec. Poziția sa era actualizată de câteva ori pe secundă cu ajutorul unui program de simulare scris în Java și pe baza comunicării prin internet cu robotul mobil.

Roboții mobili sunt folosiți și pentru asistența persoanelor cu handicap [3]. Un astfel de sistem aduce beneficii importante acestor categorii de persoane. Au fost concepute cărucioare mobile cu un braț, utilizate în general pentru acțiuni de prindere și apropiere a obiectelor, spre exemplu la ridicarea unui pahar, sau pentru a deschide o ușă. Problema majoră a acestor tipuri de roboți este modul de interfațare cu persoana handicapată. Pentru inițierea comenzilor au fost gândite sisteme cu joystick, cu tastatură, prin voce sau bilă spațială. Iar pentru semnalizare s-au conceput sisteme de avertizare prin voce, afișare text sau semne grafice.

Pentru instituții, problema supravegherii pe timp de noapte poate fi lăsată pe seama unor roboți de patrulare [18]. Un număr oarecare de roboți colindă pe culoarele instituției, avertizând un operator uman în situațiile critice. În multe cazuri sunt folosiți senzori olfactivi, înlăturându-se astfel necesitatea unui program care să specifice ordinea de patrulare. Roboții de supraveghere lasă în urma lor o dâră volatilă astfel că, aflat într-o intersecție de coridoare, un robot va alege culoarul pe care simte cel mai puțin substanța volatilă. Se asigură astfel o supraveghere uniformă și cvasi-aleatoare a spațiului.

Conducerea autovehiculelor de către roboți, a beneficiat de o atenție sporită în ultima perioadă. Principalele sarcini ale acestor sisteme *outdoor* sunt: recunoașterea traiectoriei ce trebuie urmată și în același timp evitarea oricărui obstacol apărut în cale. Este posibilă o clasificare a sistemelor de conducere automată a autovehiculelor după locul unde se face navigația. Astfel, sistemele dedicate deplasării pe șosele sunt denumite *on-road*, iar cele dedicate navigării în teren deschis *off-road* [19]. Sistemele *on-road* sunt, de fapt, vehicule ghidate performante, ce se orientează după liniile de demarcație ale carosabilului. Acestea sunt capabile să se descurce (pentru un interval scurt de timp) și în situațiile în care aceste marcaje dispar cum ar fi în cazul intersecțiilor. Există la ora actuală, sisteme capabile să piloteze un autovehicul, în mediu natural, cu viteze de până la 100 km/oră [20]. Tot legat de conducerea automată a autovehiculelor, apare problema parcării automate. O serie de mari fabricanți de automobile studiază această problemă sperând că într-un viitor nu prea îndepărtat o vor putea oferi ca și facilitare.

Mercedes a introdus conducerea automată a vehiculelor pe autostrăzi pe baza procesării imaginilor. Un astfel de sistem poate intra pe piață, în primă fază, ca un mecanism de atenționare pentru șoferii cu un grad de oboseală ridicat. S-a reușit conducerea pe o distanță de 2500 km a unui camion cu 80% autonomie. Totuși siguranța rutieră și unele aspecte legale rămân încă nerezolvate.

Explorarea spațiilor greu accesibile sau periculoase este unul din domeniile în care roboții mobili își dovedesc din plin utilitatea. Roboții cu această aplicabilitate fac parte în general din clasa roboților telecomandați. Normele în vigoare în statele industrializate prevăd anumite moduri stricte de stocare și supraveghere a substanțelor toxice reziduale. Aceste depozite trebuie inspectate periodic pentru a

preîntâmpina degradarea containerelor. De regulă, inspecția se face vizual, expunând totuși operatorul uman. Există dispozitive dotate cu senzori de gaz, radianți sau chimici, care pot sesiza o creștere a factorului nociv. La detectarea unei astfel de situații operatorul uman trebuia să pătrundă în perimetrul afectat și să inspecteze. Au fost construite așadar, sisteme de inspecție automată a depozitelor pentru substanțe toxice. Se elimină astfel prezența operatorului uman în interiorul zonei periculoase, beneficiind în plus de posibilitatea unei inspecții pe tot parcursul celor 24 de ore. Rămâne însă necesară prezența operatorului uman în fazele de decizie.

Au fost concepute, de asemenea, sisteme de inspecție și de executare a unor lucrări de întreținere în interiorul sistemelor de canalizare [3].

Inspecția tancurilor petroliere poate fi făcută folosind serviciile unui robot mobil teleghidat. Inspecția se face vizual de către operator, urmărind imaginile transmise de robot. Principalul avantaj este cel al economiei de timp. Pentru o inspecție clasică sunt necesare circa 2 săptămâni, timp în care tancul trebuie golit, curățat și apoi cercetat. În cazul sistemului de inspecție Neptun [21], aceste operații nu mai sunt necesare, robotul lucrând în imersie, inspecția se poate face fără a scoate tancul din circuitul economic.

### 1.4.2. Aplicații industriale

Dintre aplicațiile industriale ale roboților mobili, aprovizionarea și transportul de materiale sunt cel mai des întâlnite. De cele mai multe ori, aprovizionarea fluxului de producție într-o fabrică modernizată, se face cu ajutorul roboților mobili. În general acești roboți sunt vehicule ghidate automat. Pentru cazul unui depozit obișnuit, ce nu prezintă facilități de ghidare, problema conducerii roboților de transport se poate rezolva utilizând senzori olfactivi. Operatorul trasează o dâră volatilă între locul în care este depozitată marfa și rampa la care aceasta urmează să fie distribuită. Dacă necesitățile impun schimbarea traseului înaintea volatilizării complete a substanței existente, aceasta se poate realiza prin spălarea pardoselei.

Alte aplicații în acest domeniu sunt ghidarea automată a tractoarelor industriale și agricole precum și aplicații în cazul mineritului și a instalațiilor de foraj. Pe lângă acestea sunt și aplicații în care procesul este supervizat de om, în cazul în care operațiile complet autonome sunt considerate riscante, cum ar fi manipularea containerelor de marfă sau teleoperarea în cazul lucrărilor de exploatare forestieră [22].

Roboții mobili sau denumiți uneori vehicule inteligente, au apărut și vor apărea în aplicații în care siguranța în funcționare poate fi asigurată. Spațiile pentru astfel de aplicații sunt acelea în care este interzisă intrarea personalului uman în timpul "lucrului" și astfel este eliminat riscul apariției unor accidente.

Pentru transportul obiectelor grele firma LIFTEC a realizat un camion cu ghidare automată care poate încărca, transporta și descărca automat o sarcină maximă de 90 tone, având viteza maximă de deplasare 1,33 m/s [22].

În exploatarea minierei, vehiculele autonome pot fi utilizate cu succes deoarece în galeriile de mină nu intră personal uman, condițiile de iluminare sunt constante iar pereții sunt în majoritatea timpului aproape de vehicol și pot constitui repere pentru acesta.

### 1.4.3. Aplicații în agricultură

Cu toate că în industrie și servicii există un număr impresionant de aplicații ale roboților mobili, numărul acestora în sectorul agricol este mult mai mic. Teoretic



este posibilă programarea unui robot mobil pentru o serie de activități din agricultură cum ar fi: transplantarea, udarea, săparea și chiar recoltarea selectivă, dar practic complexitatea lor face acest lucru extrem de dificil. Contrar aplicațiilor din industrie care sunt simple, repetitive, bine definite și apriori cunoscute, în agricultură robotul trebuie să negocieze cu un mediu nestructurat, incert și impredictibil.

Dintre problemele cu care se confruntă un sistem autonom dedicat lucrărilor agricole, se evidențiază următoarele:

- trebuie să opereze într-un spațiu tridimensional în continuă schimbare;
- localizare aleatoare a țintelor (fructelor, legumelor, etc.);
- varietate mare a dimensiunilor, formei, culorii și texturii fructelor sau legumelor;
- produsele manipulate sunt delicate;
- condiții ambientale schimbătoare, (lumina, căldura, etc.);
- condiții ambientale ostile: praf, noroi, temperaturi extreme și umiditate.

#### 1.4.4. Aplicații în medicină

Apariția mecatronicii, care reprezintă de fapt, o îmbinare a mecanicii cu electronica, la scara micro-universului, a făcut posibilă dezvoltarea unor instrumente medicale deosebite. O realizare a acestui domeniu o reprezintă micro-roboții pentru explorarea colonului.

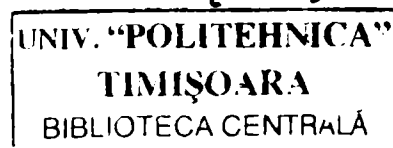
Un sistem pentru manipularea unei camere video, a fost conceput pentru a înregistra acțiunile unei operații [23]. A fost realizată o structură de manipulator cu șase grade de libertate, la care s-a atașat o cameră video. Numărul mare de grade de libertate permite poziționarea arbitrară a camerei, poziționare care se face prin telecomandă. Calculatorul atașat sistemului permite implementarea unor funcții specifice, cum ar fi de pildă mișcarea camerei pe o sferă în jurul obiectului studiat cu păstrarea focalizării într-un punct dorit sau memorarea unor poziții. Tehnic problema este simplă, dar s-a urmărit un grad mare de flexibilitate a sistemului în funcție de cerințelor beneficiarilor.

În [24] și [25] se prezintă un mediu integrat pentru asistarea deplasării persoanelor cu deficiențe de vedere, care utilizează diferiți senzori pentru planificarea locală a traiectoriei și sisteme GPS (*Global Positioning System*) și GIS (*Geographical Information System*) pentru localizare.

#### 1.4.5. Aplicații în cercetarea spațială

Prima clasă a acestui domeniu o constituie roboții spațiali ce evoluează pe o orbită circumterestră. Cercetările s-au îndreptat cu precădere asupra manipuloarelor (conduse prin teleoperare) montate pe platforme spațiale [26]. Nu au fost neglijați nici roboții mobili liberi de tipul *free-flying*. În viitor se speră că multe din acțiunile de pe sateliți vor fi executate de către roboți.

Cea de-a doua clasă a roboților spațiali este cea consacrată explorărilor planetare. În acest scop se urmărește construirea unor roboți care să satisfacă condițiile particulare ale viitorului mediu de lucru. Rolul lor este acela de a studia suprafața planetelor, de a instala instrumente și de a recolta mostre pentru analiză locală sau pentru o eventuală expediere pe pământ. Se vizează explorarea planetei Marte [18].



Caracteristica principală pentru acest tip de roboți este gradul ridicat de autonomie. Trebuie să fie capabili să identifice zonele de interes științific, să poată să-și programeze acțiunile și să posede o mare abilitate de navigare. Toate aceste acțiuni trebuiesc făcute în condițiile unui control riguros al resurselor. Așadar, problema majoră a roboților destinați explorărilor planetare o reprezintă sursa de energie.

Cercetările în acest sens au evidențiat două căi pentru soluționarea problemei consumului de energie:

- utilizarea roboților mobili de mici dimensiuni (roboți Rover);
- utilizarea roboților pășitori, de dimensiuni normale.

Pentru prima variantă, cea a roboților Rover, calea principală pe care s-a încercat micșorarea consumului energetic a fost cea a găsirii unor noi metode de fabricație care să ducă la porți logice CMOS mai eficiente. Cu același obiectiv în vizor se încearcă, de asemenea, scăderea tactului de lucru al procesoarelor. În paralel se încearcă dezvoltarea unui nou limbaj capabil să ruleze pe procesoare lente.

În contrast, cea de-a doua soluție pornește de la ideea că orice contact cu mediul duce la un consum suplimentar de energie și încearcă să reducă consumul energetic prin minimizarea numărului lor. Având ca suport un robot cu șase picioare, algoritmi implementați caută soluția optimă a deplasării, atât din punct de vedere al distanței cât și din punct de vedere al numărului de contacte cu solul.

#### **1.4.6. Aplicații în domeniul cercetărilor subacvatice**

Suprafața pământului fiind acoperită în proporție de 70% cu apă, apare în mod firesc ideea conceperii unor roboți mobili pentru studiul spațiului subacvatic. Denumirea întâlnită în literatura de specialitate în legătură cu roboții mobili submersibili este *underwater robotic vehicles* (URV) [20].

Câteva dintre posibilele aplicații ale acestor roboți submarini sunt: cercetări oceanice, recuperare de mine, construirea și întreținerea structurilor subacvatice. Numărul acestor aplicații este restrâns din cauza costurilor ridicate care se datorează necesității menținerii în zonă a unei nave care să permită telecomandarea robotului.

Pentru a înlătura prezența teleoperatorului, soluția este dată de construirea unor vehicule subacvatice autonome (AUV - *Autonomous Underwater Vehicles*) [20]. Cercetări pe această direcție, în țări ca Rusia, Japonia și SUA au condus la sisteme subacvatice autonome capabile să lucreze la adâncimi de până la 6.000 m.

### **1.5. Perspective în dezvoltarea roboților mobili**

În prezent se constată o înclinație clară către roboții care se adaptează, învață și interacționează în mod constant cu mediul înconjurător, cu persoana care îi folosește și cu alți roboți. Această varietate de interacțiuni va genera un comportament superior roboților industriali.

Se preconizează că în viitor vor apărea, în mod sigur, un număr important de aplicații revoluționare care nu par acum realizabile cu ajutorul roboților mobili. Astfel, colectivitățile de roboți vor ajunge să îndeplinească misiuni intergalactice sau în adâncurile oceanelor, și poate chiar în interiorul corpului uman. Roboți mobili de dimensiuni minuscule se presupune că vor putea fi realizați pentru deplasarea în interiorul venelor sanguine pentru căutarea și îndepărtarea unor tumori.

În toate aceste genuri de misiuni redundanța și adaptabilitatea sistemului este mult mai importantă decât inteligența pe care fiecare membru în parte o posedă. Precum în natură, inteligența sistemului va lua naștere prin multiple interacțiuni cu mediul.

O altă specie de roboți sunt cei care în curând îi vom găsi în mijlocul nostru ajutându-ne, servindu-ne și al căror rol va crește în importanță cu fiecare zi. Pentru a se ajunge la acest stadiu, nivelul de inteligență al acestor roboți va trebui să se ridice mult deasupra celui al actualei generații.

Metodele convenționale din robotică se leagă de noi idei sau tendințe deseori inspirate din natură (comportamentul animalelor și al oamenilor), însă doar progresele tehnicii vor permite transferarea lor în inginerie, într-un mediu funcțional, respectiv implementare practică. În mod sigur numărul aplicațiilor sistemelor robotice distribuite va crește rapid odată cu evoluțiile din domeniul tehnicii. Dacă se adaugă la progresele făcute în domeniul senzorilor sau al puterii de procesare, miniaturizarea părților mecanice și biotehnologia, sisteme uimitoare vor fi posibil de realizat în viitor. Astfel, în câțiva ani, diverse societăți de roboți vor ieși din laboratoarele de cercetare și vor pătrunde în viața de zi cu zi. Acestea vor fi folosite în diferite aplicații ce includ sarcini de curățare, monitorizare, transport de materiale etc.

## 1.6. Concluzii

Roboții mobili autonomi au cunoscut o dezvoltare rapidă în ultimii ani. Au apărut astfel o serie de implementări soft a acestora, prin diverse programe de simulare dar mai ales realizări fizice în domeniu și anume roboți mobili care sunt capabili să navigheze autonom în medii nestructurate. Pe lângă procesul de navigare unii dintre aceștia sunt înzestrați cu capacități de comunicare cu alți roboți sau cu operatorul uman, în cele mai variate moduri.

Multe din noile tendințe și idei, apărute în robotică, sunt inspirate din natură respectiv din modul de percepție și acțiune al animalelor și chiar din comportamentul uman. Cele mai mari eforturi în domeniul roboticii mobile au drept scop înzestrarea roboților cu o inteligență cât mai apropiată de cea umană.

Pe măsură ce va crește nivelul de inteligență al roboților mobili, o altă specie de roboți (roboții pentru servicii) vor apărea treptat în mijlocul nostru pentru a ne ajuta în viața de zi cu zi la diverse operații și vor ajunge să fie chiar indispensabili vieții cotidiene.

Un interes deosebit a fost acordat în ultima vreme coloniilor de roboți care pot realiza diverse sarcini colective prin comunicarea și cooperarea dintre roboți. S-a observat că utilizarea mai multor roboți, relativ ieftini, poate fi mai eficientă decât utilizarea unui singur robot sofisticat în cazul realizării unor sarcini complexe.

Deși colectivitățile de roboți mobili prezintă o anumită redundanță, acest fapt constituie, de multe ori, un avantaj prin faptul că un robot devenit nefuncțional poate fi înlocuit într-un timp scurt și astfel misiunea echipei de roboți poate continua.

## 2. NAVIGAȚIA ROBOȚILOR MOBILI AUTONOMI

### 2.1. Noțiuni introductive

Navigarea este sarcina primordială care trebuie realizată de către roboții mobili autonomi. Aceasta presupune o succesiune de operații care trebuie realizate de către sistemul de comandă al robotului începând de la "culegerea" informațiilor despre mediu și recepționarea sarcinii de navigare ce trebuie realizată, până la comanda efectivă a sistemului locomotor cu care este echipat robotul.

În general, ținta ce trebuie atinsă de către robot nu este direct accesibilă sau uneori chiar trebuie găsită, așa că navigarea trebuie să fie un proces incremental de determinare și atingere a țintelor intermediare potrivite, cu scopul de a se obține traiectoria optimă spre destinația finală.

Pornind de la aceste observații, navigația unui robot mobil poate fi descompusă în cinci etape principale [27]:

- **Percepția mediului și a sarcinii** – în funcție de obiectivele fixate și de dificultățile prezente, sistemul de comandă al robotului trebuie să determine ce informații îi sunt necesare pentru îndeplinirea sarcinii;
- **Modelarea mediului** – datele preluate de la senzori și de la sistemul ierarhic superior sunt utilizate apoi pentru construirea modelului mediului;
- **Localizarea** – pentru a ști unde să se deplaseze, robotul trebuie mai întâi să-și localizeze poziția și orientarea în raport cu mediul și cu destinația finală, dacă este posibil;
- **Planificarea traiectoriei** – în această etapă trebuie determinată, prin diverse metode (locale sau globale), traiectoria optimă spre destinație, evitându-se obstacolele întâlnite în cale;
- **Executarea deplasării** – robotul se va deplasa efectiv pe traiectoria impusă, dar dacă senzorii cu care este echipat acesta detectează un obstacol neașteptat, robotul îl va ocoli sau se va opri și va solicita o nouă planificare a traiectoriei. Pentru evitarea acestor situații care de regulă consumă timp, planificarea traiectoriei trebuie să prezinte o anumită flexibilitate iar execuția mișcării trebuie făcută astfel încât să se încerce pe cât posibil adaptarea la schimbările locale survenite în mediu.

Ultimele două etape, prezentate mai sus, constituie problema generării mișcării cu evitarea obstacolelor. Această problemă a fost studiată pe două direcții distincte: planificarea traiectoriei și deplasarea "reactivă". În cazul metodei planificării traiectoriei (planificare globală), traiectoria este planificată și fixată, în întregime, înainte de execuția deplasării, iar metoda "reactivă" (planificare locală) determină o deplasare "sigură", pe baza datelor senzoriale obținute în timpul execuției (*online*).

## 2.2. Metode și strategii de navigare

În literatura de specialitate sunt descrise o mulțime de metode și strategii de navigare pentru roboții mobili autonomi. În funcție de sarcina ce trebuie îndeplinită și condițiile existente va fi aleasă una din aceste metode respectiv strategii.

### 2.2.1. Metode de navigare

Metodele de navigare a roboților mobili pot fi împărțite în trei categorii mari [28]:

- metode globale;
- metode locale;
- metode hibride.

În cazul **metodelor globale** se cunosc informațiile referitoare la structura mediului de lucru al roboților, care sunt prezentate sub forma unei hărți a mediului. Pe baza acestei reprezentări se poate planifica traiectoria optimă pentru robot, pornind de la o poziție de start până la poziția țintă.

Această metodă este asociată cu nivelul ierarhic superior din sistemul de conducere al unui robot. Cu această metodă se obține o traiectorie optimă, ocolindu-se obstacolele statice sau dinamice cunoscute din mediul de lucru. De cele mai multe ori metodele globale constă în crearea de hărți sau grafuri și abordează problema doar din punct de vedere geometric. Un exemplu de hartă globală este cea a unui oraș pe care sunt reprezentate toate datele necesare unei navigări, cum ar fi: străzile, intersecțiile, clădirile importante, etc.

Metodele globale au avantajul că pot prescrie o traiectorie optimă între două locații, chiar în medii extrem de complexe, însă determină limitarea capacităților robotului de a acționa în timp real în mediu dezordonat, în special când sunt multe informații noi despre schimbările din mediu. Așadar nu au soluții pentru evitarea obstacolelor ce pot apărea pe neașteptate în fața robotului.

Această planificare se bazează pe modelul mediului și al robotului. Acest mijloc de "predicție" bazat pe modele (care sunt doar aproximări) și bazat pe comportamentul robotului pot prezenta de multe ori incertitudini și imprecizii. Așadar, o planificare independentă de execuție nu poate să fie robustă.

Dintre cele mai folosite metode globale de navigare a roboților mobili pot fi amintite: metoda spațiului de configurare [29], metoda câmpului de potențial [30],[31] și diagrama Voronoi generalizată [32],[33].

**Metodele locale** sunt aplicabile atunci când robotul nu are informații cu privire la structura mediului său de lucru. În aceste situații este pusă în valoare autonomia cu care este înzestrat robotul. Acesta trebuie ca pe baza senzorilor cu care este echipat, să obțină informații despre mediu și să reducă cât mai mult din incertitudinea cu privire la structura mediului de lucru. De regulă, robotul are montați pe el diferiți senzori și poate să determine structura mediului pe direcția sa de deplasare. Informațiile obținute de la senzori sunt reprezentate sub forma unei hărți locale a mediului din jurul robotului, în care apar obstacolele din imediata sa apropiere.

Senzorii cei mai utilizați pentru navigarea roboților mobili prin metodele locale sunt senzorii ultrasonici, senzorii laser și/sau senzorii vizuali. Acești senzori sunt montați pe robotul mobil în diverse configurații, astfel încât să poată detecta

obstacolele din fața robotului (direcția de navigare), din lateral sau chiar din spatele acestuia.

Metodele locale de navigare sunt asociate, de regulă, cu nivelul ierarhic inferior din sistemul de conducere al unui robot și de cele mai multe ori realizează conducerea robotului pe o traiectorie prescrisă la nivelul sistemului de planificare globală. Prin metoda locală de navigare se pot evita obstacolele necunoscute indiferent dacă acestea sunt statice sau se află în mișcare, compensând incertitudinea datelor furnizate de sistemul de conducere de la nivelul global.

Planificarea sau navigarea locală poate lua în considerare atât cinematica cât și dinamica robotului, deoarece se bazează pe informații obținute din semnale care se pot prelucra în timp real. Însă, folosirea doar a informațiilor locale primite de la senzori garantează evitarea coliziunilor dar nu garantează obținerea unei traiectorii optime între două poziții din mediu chiar dacă aceasta există și nu semnaleză dacă poziția țintei nu este accesibilă.

Așadar, ambele metode prezentate mai sus au unele dezavantaje și astfel apare implicit necesitatea integrării celor două metode pentru navigarea roboților mobili autonomi. Acest lucru nu înseamnă doar o simplă utilizare concomitentă a acestora, fapt ce poate conduce la multe erori de navigare, ci trebuie realizate numeroase iterații planificare-execuție. De asemenea, trebuie o re-analizare completă a situației, implicând percepția, modelarea și localizarea pentru actualizarea contextului și evitarea apariției erorilor în faza de execuție.

În acest sens, au apărut **metodele hibride** pentru navigarea roboților mobili. Metodele globale ghidează robotul pe o traiectorie optimă care duce spre țintă, iar metodele locale îl ajută pe acesta să evite obstacolele ce pot apărea în calea sa.

O implementare a metodelor hibride o constituie împărțirea sistemului de conducere al robotului pe nivele ierarhice. Astfel, nivelul ierarhic superior al robotului va coordona deplasarea acestuia pe traiectoria optimă ce duce spre țintă, iar nivelul ierarhic inferior are sarcina de evitare a obstacolelor și de ieșire din situațiile de blocaj.

### 2.2.2. Strategii de navigare

În general, înainte de realizarea planificării traiectoriei trebuie stabilită o strategie de navigare. Acest lucru presupune stabilirea modului de deplasare a robotului corelat cu sarcina ce trebuie îndeplinită. Principalele strategii sau modalități de navigare a roboților mobili sunt următoarele:

- **Deplasarea dintr-un punct al spațiului de lucru (configurația inițială) într-un alt punct (configurația finală)**, ambele puncte având configurații bine determinate. Strategia constă în generarea traiectoriei, respectiv comenzilor necesare pentru atingerea destinației.
- **Baleierea întregului mediu** - este strategia de navigare impusă roboților ce trebuie să cerceteze întregul domeniu al unui spațiu dat. Este cazul roboților de cercetare, a căror scop este ridicarea unor hărți, sau a celor ce trebuie să execute servicii de curățare a unei suprafețe. Baleierea mediului se poate face în două maniere distincte. Prima este aceea în care robotul se deplasează pe traiectorii spirale începând din zonele periferice ale mediului și înaintând spre zonele interioare. Cea de-a doua manieră este deplasarea în zig-zag, din perete în perete, asemănătoare modului de citire a unei cărți.

- **Navigarea prin metoda *wall-following*** [34],[35] - metodă prin care robotul se deplasează având ca punct de reper unul din pereții coridorului sau încăperii. Această metodă este folosită de regulă în cazul navigării în interiorul clădirilor.

Datorită faptului că, de cele mai multe ori, mediul de lucru are o structură complexă, cuprinzând multe obstacole, se încearcă divizarea lui în sub-zone în care să se poată practica una dintre strategiile de mai sus. Problema constă în a minimiza numărul de zone pe care robotul trebuie să le parcurgă de mai multe ori.

## 2.3. Modelarea mediului

Pentru a putea stabili o traiectorie între configurația inițială și cea finală este necesară o hartă pe baza căreia să se facă această planificare. Harta reprezintă, de fapt, modelul mediului și este cunoscută de către robot fie apriori, fie este ridicată pe parcursul deplasării acestuia spre țintă.

Pe baza acestei hărți este reprezentat mediul în memoria internă a robotului mobil. Datorită formelor complexe ale obstacolelor se procedează, în general, la înscriserea acestora în forme convexe mai mari.

De asemenea, o procedură larg răspândită este aceea în care robotul este privit ca o particulă punctiformă, iar obstacolele sunt dilatate cu o valoare constantă, egală cu raza cercului ce se circumscrie valorilor de gabarit reale ale robotului. Este un mod de simplificare a problemei dar din păcate cu această metodă nu se obține de fiecare dată traiectoria optimă. Astfel, există situații când datorită expandării obstacolelor se pierde o traiectorie mai scurtă, traiectorie ce ar putea fi urmată dacă robotul ar fi privit la dimensiunile sale reale.

Indiferent de tipul modelului adoptat pentru reprezentarea mediului, tendința generală este aceea de a împărți mediul în zone libere (accesibile robotului) și zone interzise (obstacole), încercând să se construiască, totodată, o listă care să reflecte tangențiabilitatea zonelor libere.

### 2.3.1. Metoda grilei

Reprezintă metoda cea mai simplă de modelare a spațiului, constând în suprapunerea unei grile cu celule de formă pătrată sau dreptunghiulară peste imaginea mediului [36],[37]. Astfel, celulele ocupate de obstacol vor fi celule "interzise" prin care nu va putea trece traiectoria robotului. În schimb, celulele care se suprapun peste spațiile dintre obstacole sunt denumite celule "libere" prin care poate să treacă traiectoria robotului. Apartenența celulelor la una din zonele libere sau cu obstacole este booleană, acele celule care sunt parțial ocupate de obstacol vor fi considerate ca fiind complet ocupate. Precizia modelării mediului este dependentă de dimensiunile alese pentru celule. O discretizare foarte fină a spațiului, în celule cu dimensiuni mici, conduce la dezavantajul că necesită un spațiu mare de memorare, precum și capacitate mare de calcul.

Dacă imaginea mediului nu este cunoscută și aceasta se formează în timpul deplasării robotului, cu ajutorul senzorilor, atunci reprezentarea binară prezentată mai sus poate fi combinată cu o filtrare bayesiană binară care estimează probabilitatea ca o celulă să aibă una din cele două stări [38]. Se utilizează o ecuație incrementală (relația 2.1) prin care harta mediului poate fi actualizată pe baza informațiilor senzoriale recepționate.

$$\log \frac{p(m_{x,y} | z^i, s^i)}{1 - p(m_{x,y} | z^i, s^i)} = \log \frac{p(m_{x,y} | z^i, s^i)}{1 - p(m_{x,y} | z^i, s^i)} + \log \frac{1 - p(m_{x,y})}{p(m_{x,y})} + \log \frac{p(m_{x,y} | z^{i-1}, s^{i-1})}{1 - p(m_{x,y} | z^{i-1}, s^{i-1})}, \quad (2.1)$$

unde  $z$  reprezintă măsurătorile de la senzori,  $s$  poziția robotului, iar  $m_{x,y}$  valoarea de ocupare a celulei din locația  $(x, y)$ .

Harta obținută *online* (în timpul deplasării robotului) poate să conțină unele erori datorită faptului că utilizarea senzorilor laser sau a celor ultrasonici poate da greș în cazurile în care apar suprafețe înclinate, astfel unele obiecte fie nu pot fi detectate fie poziția lor este estimată greșit.

### 2.3.2. Metoda arborelui

Reprezintă o variantă îmbunătățită a metodei grilei. Prin această metodă s-a încercat minimizarea unor dezavantaje ale metodei precedente și anume cele legate de volumul mare de memorie necesar și cele referitoare la ineficiența algoritmului în zone libere mari.

Îmbunătățirea adusă se referă la dimensiunile celulelor în care se divide spațiul. Astfel, celulele gridului nu mai au aceleași dimensiuni și valori, ci se adaptează la mediu. Varianta lui David Zhu din [39] procedează la o descompunere în celule pe care apoi le etichetează în: **goale**, **pline** și **mixte**. Algoritmul se ocupă apoi de celulele mixte, recurgând la divizări succesive care să ducă în final doar la celule goale sau pline. Rezultă astfel o structură ierarhizată de reprezentare a mediului, gen arbore.

### 2.3.3. Metoda grilei neomogene

În cadrul acestei metode, obstacolele sunt reprezentate cu forme convexe cuprinzătoare. Metoda consideră toate obstacolele din mediu ca fiind dreptunghiulare. Algoritmul metodei grilei neomogene procedează la o împărțire a mediului în zone delimitate de prelungirea conturilor obstacolelor. În acest fel, fiecare dimensiune a spațiului va fi partiționată într-un număr de  $2n + 1$  zone (unde  $n$  este numărul obstacolelor distincte pe direcția considerată). Figura 2.1 exemplifică această metodă pentru cazul unui mediu cu două obstacole.

În urma descompunerii în zonele primare, se alcătuieste lista ariilor de intersecție, listă care arată, pentru cazul prezentat în Figura 2.1, astfel:

<b>A-C</b>	0011110000	<b>B-F</b>	0010000001
<b>A-E</b>	1000010000	<b>B-G</b>	0000100001
<b>A-F</b>	0010010000	<b>C-F</b>	0010011000
<b>A-G</b>	0000110000	<b>C-G</b>	0000111000
<b>B-D</b>	1110000001	<b>D-E</b>	1000000011
<b>B-E</b>	1000000001	<b>D-F</b>	0010000011

Cele două șiruri de valori binare reprezintă intersecțiile între zonele menționate în prima coloană. Astfel, existența unei intersecții este codată cu simbolul "1", iar absența ei cu "0". În listă nu au mai fost trecute perechile de zone care nu prezintă intersecții (spre exemplu A-D sau E-C).



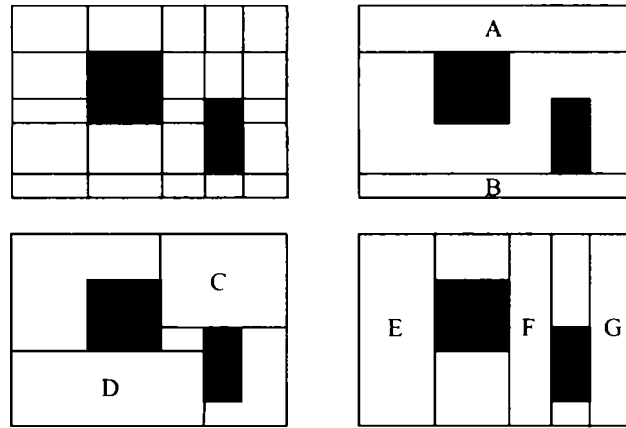


Figura 2.1. Exemplu de descompunere cu metoda grilei neomogene a unui spațiu cu două obstacole; (A), (B), (C), (D) reprezintă zonele primare ale descompunerii.

Ținând cont de această listă se poate construi graful aferent spațiilor libere ale mediului considerat mai sus. Fiecare nod al grafului reprezintă una din celulele considerate (A, B, ..., G), iar arcele oferă posibilitatea de transfer dintr-o celulă în alta. Graful rezultat este cel din Figura 2.2. S-a trasat un arc între două noduri pe acest graf dacă în lista intersecțiilor există cel puțin un simbol de intersecție (simbolul "1") atât pentru codarea orizontală cât și pentru cea verticală.

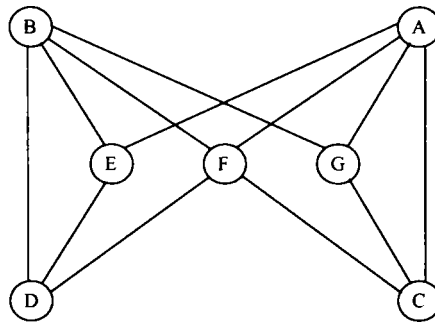


Figura 2.2. Graful rezultat pentru descompunerea neomogenă din Figura 2.1.

#### 2.3.4. Metoda poligoanelor convexe

Această metodă constă în descompunerea mediului în celule poligonale convexe cât mai simple posibil. Două laturi alăturate ale aceleiași celule nu trebuie să formeze un unghi mai mare de  $180^\circ$ . Trecerea de la o celulă la alta se face prin mijlocul celei comune, ceea ce duce la minimizarea riscului apariției unei coliziuni.

Celulele rezultate vor fi apoi asamblate într-un graf, a cărui noduri reprezintă celulele, iar arcele trecerile posibile între ele. În Figura 2.3 se prezintă un exemplu al acestei metode împreună cu graful aferent. După cum se vede din figură, se pot grupa celulele pe zone și astfel se poate obține un graf redus.

Avantajul care derivă este dat de micșorarea volumului de calcul, căutându-se o traiectorie de legătură în primă fază între zonele mari, iar apoi doar în interiorul celor selectate.

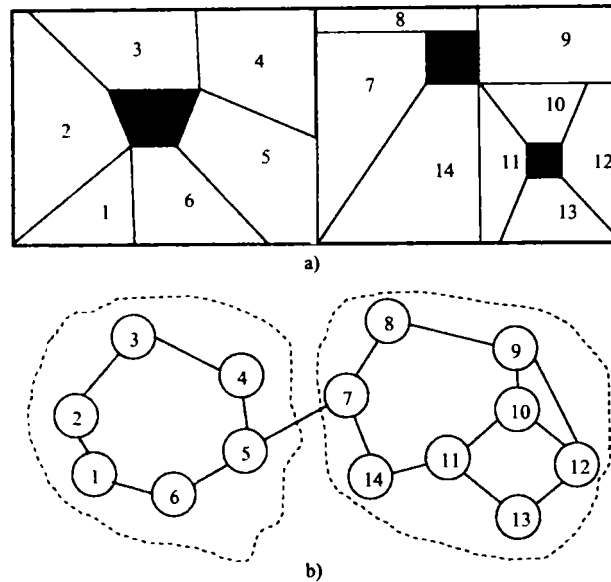


Figura 2.3. Împărțirea mediului utilizând metoda poligoanelor convexe;  
a) forma poligoanelor, b) graful rezultat.

## 2.4. Localizarea robotului

Traietoria obținută, poate fi privită ca o secvență de configurații ale robotului, fiecare din acestea fiind definite de locația robotului ( $x, y$ ) și orientarea sa ( $\theta$ ) față de un sistem de referință fix XOY (Figura 2.4) [40]. În figură este prezentată și poziția centrului instantaneu de rotație (CIR) față de care punctul central al robotului descrie o mișcare circulară, în cazul în care acesta execută un viraj. În cazul unui sistem robotic aproximativ omogen, punctul central al acestuia coincide cu centrul de greutate al sistemului.

Robotul mobil trebuie să-și determine periodic, poziția și orientarea în raport cu un sistem de referință fix pe baza informațiilor recepționate de către senzori.

Fiind cunoscute poziția și orientarea robotului la un anumit moment  $t_0$ , notate cu  $p$ , la un moment ulterior  $t_1$ , poziția și orientarea robotului notate cu  $p'$  sunt exprimate de relația 2.2.

$$p(t_0) = \begin{bmatrix} x \\ y \\ \theta \end{bmatrix}, \quad p'(t_1) = p(t_0) + \begin{bmatrix} \Delta x \\ \Delta y \\ \Delta \theta \end{bmatrix} \quad (2.2)$$

unde  $\Delta x$ ,  $\Delta y$  și  $\Delta \theta$  reprezintă variațiile variabilelor ce definesc poziția și orientarea robotului în intervalul de timp  $t_1 - t_0$ .

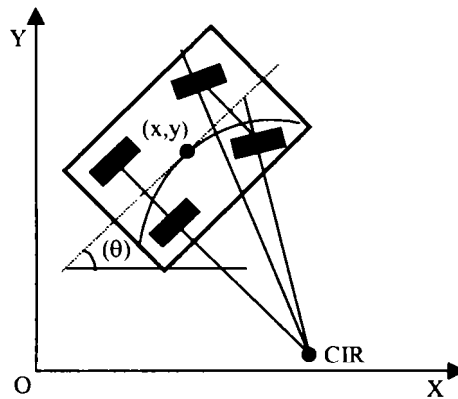


Figura 2.4. Coordonatele folosite pentru localizarea robotului într-un mediu de lucru plan.

Metoda de localizare folosită depinde de tipul de senzori cu care este înzestrat robotul precum și de sarcina ce trebuie îndeplinită de acesta. Cei mai utilizați senzori în acest sens sunt: senzorii optici (camerele CCD) și senzorii de proximitate (senzorii laser, în infraroșu, ultrasonici, etc.). Cu toate că cercetările recente cu privire la utilizarea camerei video pentru localizare, au demonstrat că aceasta poate fi eficientă, totuși uneori acestea nu sunt de preferat datorită volumului mare de date ce trebuie procesat. Comparativ cu senzorii vizuali, un avantaj al senzorilor de proximitate este faptul că sunt mai puțin afectați de modificări ale condițiilor de iluminare cum ar fi condiții de întuneric sau fum.

La alegerea senzorilor trebuie ținut cont de câmpul de vizibilitate al acestora și anume dacă acesta se pretează pentru aplicația dorită.

Pe timpul deplasării robotului se acumulează în mod inerent erori în ceea ce privește estimarea poziției sale. În acest sens apare noțiunea de zonă de incertitudine ce reprezintă erorile curente posibile, sau mai bine zis, toate pozițiile posibile ale robotului la un moment dat.

Localizarea este procesul de reducere a zonei de incertitudine a robotului utilizând, de regulă, măsurătorile realizate cu ajutorul senzorilor. Există la ora actuală o serie de modalități de localizare ce pot fi clasificate în: localizare *on-line* sau *off-line*, modele de localizare statistice sau geometrice, localizări pe baza reprezentării mediului, cu ajutorul hărții sau topologice, localizare dacă harta mediului este cunoscută, parțial cunoscută sau necunoscută, etc.

Astfel, sunt cunoscute sistemele de localizare cu senzori ultrasonici utilizând filtre Kalman și filtre Kalman extinse [41], precum și metodele de localizare Monte Carlo [42]. De asemenea, sunt utilizate și metodele de localizare a roboților mobili prin triangulație.

Estimarea poziției unui robot mobil s-a realizat la început folosind sisteme hometrice [16], care însă au dezavantajul că erorile se acumulează pe timpul deplasării.

S-a constatat că plasarea unor repere vizuale în mediul de lucru, la locații cunoscute, cresc precizia de estimare a poziției.

Ulterior, în cazul navigării exterioare (*outdoor*), s-au folosit repere naturale și sisteme de poziționare globale GPS (*Global Positioning Systems*) [43]. Sistemele GPS au precizie de ordinul centimetrilor, dar din păcate valorile furnizate de acestea nu sunt întotdeauna corecte. Schimbările survenite în constelația sateliților, clădirile

mari și chiar pădurile dese pot genera situații în care valorile date de GPS fie nu pot fi obținute, fie sunt eronate.

## 2.5. Planificarea traiectoriei

În această etapă, din cadrul procesului de navigare a roboților mobili, este tratată problematica mai largă a conducerii robotului, în care conceptul de "autonom" începe să se contureze mai pregnant [44]. Planificarea este o etapă caracterizată prin prezența acțiunilor de decizie, chiar dacă de cele mai multe ori *off-line*. Robotului îi este comunicată destinația și eventual unele date suplimentare cu privire la mediu, urmând ca el să stabilească traiectoria optimă. Gradul de autonomie al unui robot depinde de capacitatea sa de planificare (globală și/sau locală) a traiectoriei, care trebuie făcută astfel încât să fie evitate obstacolele din mediu.

Cea mai simplă abordare a problemei planificării consideră robotul ca fiind singurul obiect mobil din mediu, care nu posedă proprietăți dinamice și care nu intră în contact cu obiectele înconjurătoare. Considerațiile presupuse mai sus, transformă problema planificării într-o problemă geometrică, ce tratează robotul ca pe un solid rigid a cărui mișcare este limitată la spațiul liber.

Diferite alte abordări cresc complexitatea modelului de studiu al planificării traiectoriei, ajungând chiar la considerarea mai multor roboți în același spațiu de lucru. Astfel, în prezența mai multor obiecte mobile, problema planificării nu are ca soluție o simplă traiectorie geometrică. Este necesară introducerea unei noi dimensiuni (timpul) și generarea unei traiectorii în funcție de timp, traiectorie pe care să se cunoască poziția robotului la fiecare moment. Datorită ireversibilității timpului, este necesar ca traiectoria propusă de către planificator să nu conțină porțiuni în care axa timpului să fie străbătută înapoi. Dacă în mediu există și alte elemente mobile în afara roboților (spre exemplu persoane), asigurarea unei traiectorii lipsită de coliziuni necesită utilizarea unor algoritmi de evitare a obstacolelor destul de sofisticată.

Tendința generală a metodelor de planificare, cu excepția celor bazate pe modelele câmpurilor potențiale, este aceea de reducere a spațiului liber la o structură de tip graf, urmând ca în continuare, pentru găsirea unui drum optim să se apeleze la algoritmi deja consacrați de rezolvare a grafurilor. Un avantaj imediat al acestui mod de planificare este cel legat de posibilitatea considerării unor costuri multiple. Pe lângă lungimea traseului se mai pot lua în considerare factori de genul: timpul necesar pentru străbaterea porțiunii, energie consumată sau siguranța acestuia, rezultând astfel o analiză calitativ superioară.

### 2.5.1. Metoda hărții drumurilor

Această metodă (*roadmaps*) are la bază ideea construirii unui graf care să reflecte conexitatea spațiului liber al mediului de lucru. Rețeaua de curbe care alcătuiește graful este denumită harta drumurilor. O astfel de rețea poate fi folosită apoi pentru alegerea traiectoriei optime care leagă configurația inițială de cea finală, utilizând algoritmi specifici grafurilor. În funcție de principiile pe baza cărora se construiește harta drumurilor se obțin diferite tipuri de hărți, cum ar fi:

- graful vizibilității;
- diagrama Voronoi;
- rețeaua drumurilor libere.

### 2.5.1.1. Metoda grafului vizibilității

Această metodă se aplică, de regulă, în situațiile în care obstacolele din mediu au forme poligonale. Principiul metodei constă în construirea unei traiectorii semi-libere cu o linie poligonală ce trece prin vârfurile obstacolelor.

Se definește graful vizibilității, respectiv graful neorientat astfel:

- nodurile sale sunt: configurația inițială, cea finală și toate vârfurile obstacolelor;
- două noduri ale grafului sunt conectate printr-o legătură dacă și numai dacă, segmentul de dreaptă ce le unește este muchie a unui obstacol sau se află în întregime în spațiul liber.

Un exemplu de graf al vizibilității în cazul unui mediu bidimensional cu trei obstacole este redat în Figura 2.5.

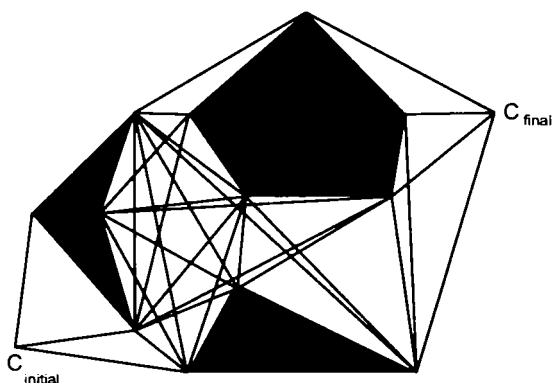


Figura 2.5. Graful vizibilității în cazul unui mediu de lucru cu trei obstacole având forme poligonale.

Se poate observa că graful rezultat în urma aplicării metodei vizibilității este destul de stufos, fapt ce necesită în continuare un cost computațional ridicat. Randamentul metodei poate fi însă crescut dacă se ține cont că unele trasee pot fi optimizate. Dacă unghiul ascuțit al segmentelor ce se sprijină pe un vârf al unui obstacol este cuprins în spațiul liber, traiectoria poate fi scurtată prin unirea celor două segmente cu un al treilea, cu condiția ca acesta din urmă să fie conținut și el în întregime în spațiul liber. Dacă unghiul ascuțit format de cele două segmente cuprinde la rândul lui un colț al unui obstacol, optimizarea nu poate fi aplicată.

Pe de altă parte, din mulțimea de legături al unui graf al vizibilității, o parte nu sunt necesare. E suficient dacă se păstrează legăturile grafului care sunt fie segmente suport fie segmente tangente. Pentru aceasta, se definește ca segment suport legătura ce unește două vârfuri a două obstacole diferite astfel încât cele două obstacole să se găsească amândouă în întregime în același semiplan. Segmentele tangente leagă și ele două vârfuri a două obstacole diferite, dar de această dată obstacolele sunt conținute în semiplanuri diferite. Cu alte cuvinte, atât segmentele suport cât și cele tangente nu "înțeapă" niciodată obstacolele.

Prin această simplificare se elimină din mulțimea legăturilor grafului, legăturile aferente vârfurilor concave. Graful rezultat în urma simplificării descrise se numește graful vizibilității redus. Figura 2.6 redă acest graf, provenit din

simplificarea grafului vizibilității din Figura 2.5. A fost redată aici cu linie îngroșată traiectoria optimă obținută ce leagă configurația inițială de cea finală.

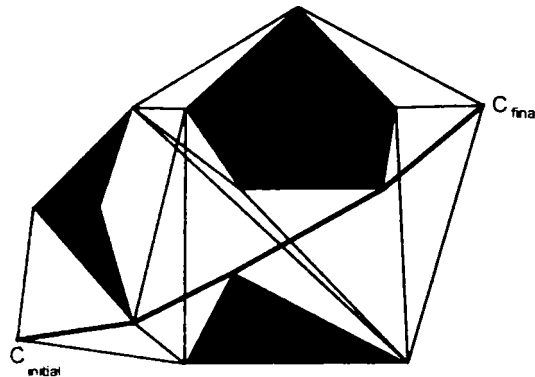


Figura 2.6. Graful vizibilității redus și traiectoria optimă rezultată.

Metoda grafului vizibilității se aplică, de obicei, împreună cu o expansiune a dimensiunilor obstacolelor, pentru a preîntâmpina coliziunile posibile în zona vârfurilor. Această metodă poate fi folosită și în cazul în care obstacolele vor fi modelate prin poligoane generalizate, adică poligoane definite atât prin segmente de dreaptă cât și prin arce de cerc. De asemenea, metoda poate fi aplicată și în cazul în care spațiul în care evoluează robotul este tridimensional. Obstacolele sunt modelate, în acest caz, cu ajutorul poliedrelor, iar robotul va putea fi considerat o sferă circumscrisă forme reale. Însă, în cazul spațiului tridimensional, metoda nu oferă soluția optimă, adică traiectoria cea mai scurtă. De cele mai multe ori traiectoria optimă se obține parcurgând o linie poligonală ce se sprijină pe muchiile poliedrelor și nu pe vârfurile lor. Pentru ameliorarea performanțelor metodei, în cazul tridimensional, se practică introducerea unor vârfuri fictive, respectiv a unor puncte ce aparțin muchiilor.

### 2.5.1.2. Metoda retractării spațiului liber

Această metodă constă în construirea unei hărți a drumurilor prin definirea unei aplicații continue a spațiului liber pe harta drumurilor numită retractare. În literatură [45], se dă definiția retractării astfel: "dacă  $X$  este un spațiu topologic și  $v$  o submulțime a sa, aplicația surjectivă  $X \rightarrow v$  se numește retractarea lui  $X$  la  $v$ , dacă și numai dacă este continuă, iar retractia sa la  $v$  este aplicația identitate". Dacă  $p$  este retractia lui  $X$  la  $v$  ea păstrează conexitatea lui  $X$  dacă și numai dacă pentru orice  $x \in X$ ,  $x$  și  $p(x)$  aparțin aceleiași componente conexe a lui  $X$ .

Între două configurații, inițială și finală, există o traiectorie liberă dacă și numai dacă există o curbă în harta drumurilor între  $p(\text{config}_{\text{inițial}})$  și  $p(\text{config}_{\text{final}})$ . În aceste condiții traiectoria ce unește cele două configurații se compune din trei segmente [2]:

- o traiectorie liberă de la  $\text{config}_{\text{inițial}}$  la  $p(\text{config}_{\text{inițial}})$ ;
- o traiectorie de la  $p(\text{config}_{\text{inițial}})$  la  $p(\text{config}_{\text{final}})$  în harta drumurilor;
- o traiectorie liberă de la  $p(\text{config}_{\text{final}})$  la  $\text{config}_{\text{final}}$ .

În cazul spațiului bidimensional, metoda constă în retractarea spațiului liber din mediu la diagrama sa Voronoi. Această diagramă este compusă din mulțimea punctelor din mediu care sunt egal depărtate de muchiile obstacolelor. Un exemplu de retractare la diagrama Voronoi, pentru un caz simplu cu două obstacole într-un mediu mărginit, este prezentat în Figura 2.7.

Segmentele ce alcătuiesc diagrama Voronoi sunt fie segmente de dreaptă, fie arce de parabolă. În schimb, există un arc de parabolă, în zona centrală a spațiului liber, mărginit de un vârf și de o muchie.

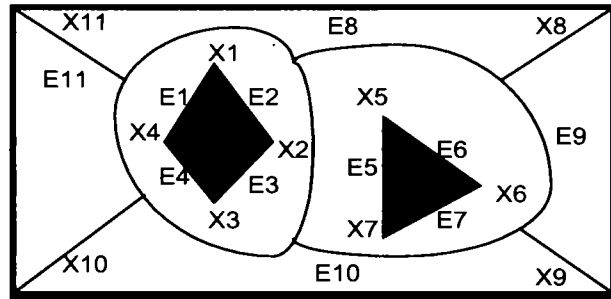


Figura 2.7. Retractarea unui spațiu bidimensional la diagrama Voronoi.

În ceea ce privește localizarea configurațiilor inițiale și finale există trei situații distincte:

- acestea sunt situate chiar pe arcele diagramei Voronoi - în acest caz este suficient să se caute ramurile diagramei ce unesc cele două puncte;
- unul din punctele de capăt nu aparține diagramei Voronoi ci spațiului liber, dar se găsește pe o prelungire a unei muchii a unui obstacol - pentru acest caz deplasarea până la diagramă se va face pe prelungirea liniei de contur a obstacolului (Figura 2.8).
- nici una din configurații nu se află pe diagramă - în această situație legătura cu diagrama se va face pe segmentul de dreaptă coborât perpendicular din cel mai apropiat punct al diagramei Voronoi pe latura obstacolului.

În modul de abordare a ultimelor două cazuri se observă o tendință de depărtare față de obstacole spre drumul sigur al diagramei Voronoi.

Etapele algoritmului metodei retractării sunt:

- calculul diagramei Voronoi;
- calculul punctelor  $p(\text{config}_{\text{inițial}})$  și  $p(\text{config}_{\text{final}})$  și identificarea arcelor de diagramă care le conțin;
- căutarea unui traseu pe diagrama Voronoi care să unească  $p(\text{config}_{\text{inițial}})$  și  $p(\text{config}_{\text{final}})$ ;
- dacă acest traseu nu există, algoritmul se încheie. Dacă există un astfel de traseu se procedează la concatenarea traseului găsit cu segmente de dreaptă ce unesc  $p(\text{config})$  de configurațiile inițiale și finale.

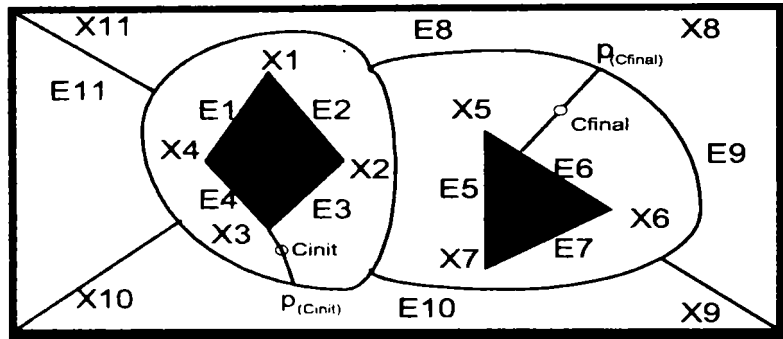


Figura 2.8. Exemplu de racordare la diagrama Voronoi.

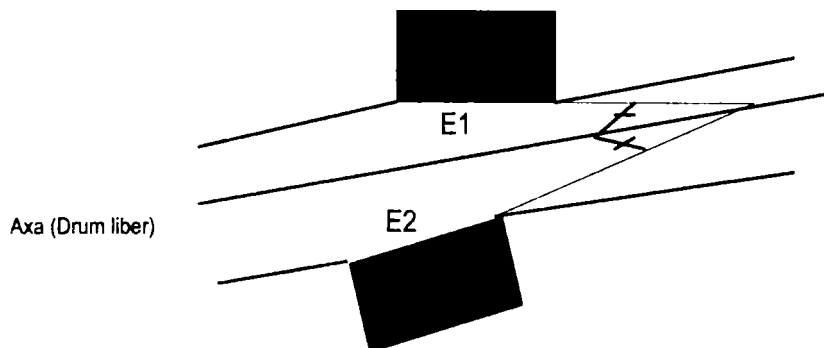
### 2.5.1.3. Metoda drumului liber

Metoda drumului liber se bazează pe extragerea unor figuri geometrice din spațiul liber, figuri ce poartă denumirea de drumuri libere [45]. Este dată următoarea definiție: "un drum liber este un cilindru generalizat, a cărui axă este completată de descrierea tuturor orientărilor libere ale robotului, când originea sistemului de referință atașat robotului se deplasează de-a lungul axei sale".

Considerând mediul  $W$  și reuniunea  $B$  a tuturor obstacolelor, drumurile libere ale mediului vor fi extrase din regiunea  $W \setminus B$ , luând în considerare toate muchiile obstacolelor. Pentru a produce un cilindru generalizat, o pereche de muchii a oricăror două obstacole trebuie să îndeplinească condițiile:

- oricare din cele două muchii considerate, să nu intersecteze cealaltă muchie;
- produsul scalar al vectorilor normali la cele două muchii să fie negativ.

Cele două condiții de mai sus impun, de fapt, ca muchiile considerate să fie poziționate față în față. În Figura 2.9 se redă un cilindru generalizat construit pe baza a două muchii  $E1$  și  $E2$ .

Figura 2.9. Cilindrul generalizat determinat de muchiile  $E1$  și  $E2$ .

Axa cilindrului generalizat este bisectoarea unghiului format de prelungirile muchiilor obstacolelor. Dacă muchiile  $E1$  și  $E2$  sunt paralele, axa cilindrului este o



dreaptă paralelă și egal distanțată de muchii. Laturile cilindrului din Figura 2.9 sunt constituite din prelungirile muchiilor obstacolelor cu segmente de dreaptă paralele cu bisectoarea cilindrului.

Drumul liber este ales ca fiind chiar axa cilindrului generalizat. Această axă este egal depărtată de muchiile obstacolelor și din acest punct de vedere metoda drumurilor libere se aseamănă cu diagrama Voronoi. Chiar o parte a acestei diagrame este conținută în drumul liber.

Se procedează în mod asemănător cu tot spațiul  $W \setminus B$ , pentru toate perechile de muchii ale reuniunii  $B$ , obținându-se în acest fel o mulțime finită de cilindri generalizați ce conțin doar spațiu liber.

Pentru găsirea hărții drumurilor se realizează concatenarea axelor cilindrului într-o serie de linii poligonale frânte, la care este necesar să se adauge pentru fiecare punct al traseului intervalul de orientări admise pentru robot. Se obține un graf, denumit rețeaua drumurilor libere, graf care descrie complet mediul. În continuare, se vor aplica algoritmi destinați rezolvării grafurilor.

### 2.5.2. Metoda descompunerii celulare

Planificarea traiectoriei prin metoda descompunerii celulare [45] se bazează pe modelarea mediului cu metoda poligoanelor convexe prezentată anterior.

Principial, metoda poate fi rezumată la următorii pași:

- se descompune spațiul liber al mediului într-o mulțime de regiuni distincte numite celule, astfel încât în cadrul fiecărei celule să se poată realiza o navigație fără coliziune;
- celulele sunt apoi conectate într-un graf al conexității, în așa fel încât două celule sunt conectate dacă există o traiectorie fără coliziune între ele;
- se va extrage traiectoria considerată optimă pe baza grafului conexității între celula conținând poziția de start și celula în care este situată poziția țintei.

Deplasarea robotului mobil va fi ușor de realizat în cadrul unei celule iar între acestea este specificată pe baza grafului conexității. Pentru găsirea unei traiectorii optime, modul de descompunere în celule este foarte important. Celulele rezultate în urma descompunerii trebuie să îndeplinească câteva condiții și anume:

- topologia fiecărei celule trebuie să fie îndeajuns de simplă pentru a face posibilă calcularea unei traiectorii între oricare două puncte din celulă;
- pentru oricare două celule adiacente să fie posibilă calcularea unei traiectorii de traversare a frontierei ce desparte celulele.

Figura 2.10 exemplifică descompunerea în poligoane convexe a spațiului liber pentru un mediu bidimensional, prezentând și graful rezultat, graf ce se bazează pe relația de conexitate a celulelor.

Rezultatul algoritmului de căutare în graful conexității este un canal format dintr-o serie de celule adiacente, canal ce leagă configurația inițială de cea finală. Pentru exemplul din Figura 2.10, un posibil canal între poziția inițială (celula 1) și cea finală (celula 11) ar fi succesiunea 1, 7, 6, 9, 10, 11.

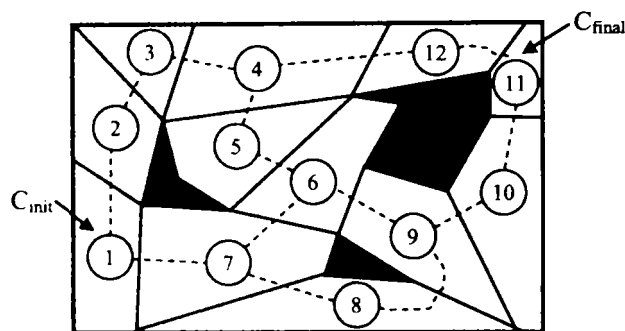


Figura 2.10. Descompunerea convex poligonală în cazul unui mediu bidimensional și graful conexității rezultat.

Pentru o evitare cât mai sigură a obstacolelor, metoda cea mai uzuală de determinare a unei traiectorii este cea a punctelor mediane. Considerând linia de frontieră dintre două celule învecinate ca fiind mulțimea de puncte ce aparțin ambelor celule, respectiv segmentul de dreaptă ce le desparte, traiectoria va trece prin punctul median al segmentului. Trasând o linie frântă, care să unească poziția inițială cu poziția finală, și care să treacă prin punctele mediane de pe segmentele de frontieră ale celulelor ce formează canalul, se obține traiectoria căutăată (Figura 2.11).

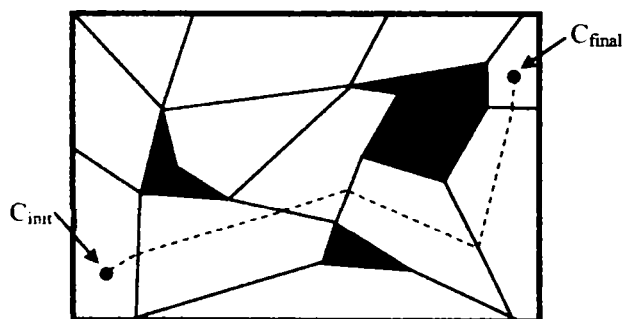


Figura 2.11. Traiectoria rezultată în urma aplicării metodei punctelor mediane.

Există și o metodă mai simplă care constă în descompunerea spațiului liber în celule disjuncte de formă trapezoidală. Considerând același mediu bidimensional prezentat în Figura 2.10, prin aplicarea metodei trapezoidale se obține descompunerea din Figura 2.12. Fiecare vârf al obstacolelor mediului se prelungește cu o semidreaptă paralelă cu direcția OY a sistemului de referință considerat.

Două celule sunt adiacente dacă și numai dacă frontiera lor este o linie verticală. Acest considerent a făcut ca metoda să mai poarte și numele de descompunere verticală.

Metoda prezintă avantajul de a putea opera și cu medii de dimensiuni infinite. Într-un asemenea caz, baleierea mediului începe de la configurația inițială și se încheie la atingerea configurației finale, generând o serie de celule ce se întind la infinit pe o direcție OY aleasă.

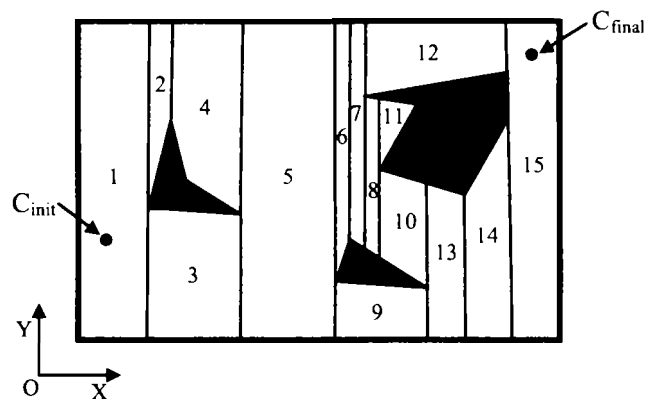


Figura 2.12. Descompunerea trapezoidală a unui mediu bidimensional.

Având descompunerea făcută, așa ca în Figura 2.12, se poate alcătui graful conexității, graf ce este redat în Figura 2.13.

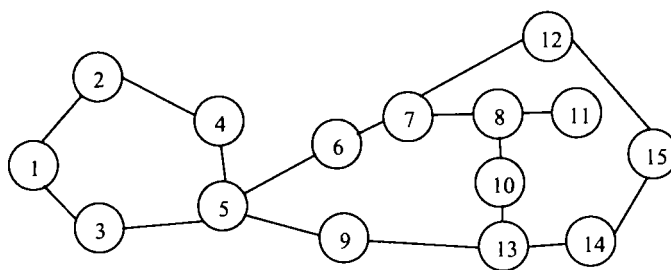


Figura 2.13. Graful conexității celulelor obținut pe baza descompunerii din Figura 2.12.

Pe baza acestui graf se poate alege traiectoria optimă de deplasare între configurația inițială și cea finală (Figura 2.14). În final, pentru determinarea traseului se procedează analog cu cazul descompunerii convexe la unirea mijloacelor granițelor celulelor care fac legătura între configurația inițială și finală.

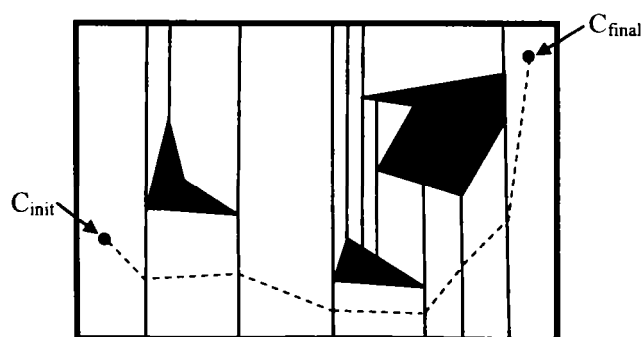


Figura 2.14. Traiectoria rezultată în urma aplicării metodei punctelor mediane pentru cazul descompunerii trapezoidale.

Metoda descompunerii în celule oferă o soluție de compromis, un optim între cerința de a obține o traiectorie cât mai scurtă și tendința de a menține robotul pe cât posibil mai departe de obstacole. În plus această metodă poate fi folosită și în cazul unui mediu tridimensional, caz în care baleierea mediului se face cu un plan și nu cu o dreaptă.

### 2.5.3. Metoda câmpului potențial artificial

În cazul metodei câmpului potențial artificial [30],[31], robotul mobil este tratat, în spațiul său de configurare, ca un punct, respectiv ca o particulă aflată sub influența unui câmp potențial artificial  $U$ , a cărei variație reflectă structura spațiului liber. Funcția potențială se definește pe spațiul de configurare al robotului, ca fiind suma dintre un potențial atractiv care "atrage" robotul către configurația țintei și un potențial repulsiv care "împinge" robotul dinspre obstacole. Planificarea mișcării se realizează într-un mod iterativ. La fiecare iterație direcția forței artificiale indusă de către funcția potențială, în configurația curentă, este privită ca fiind cea mai potrivită direcție ce trebuie urmată de către robot în deplasarea sa către țintă.

Ideea de bază este că robotul, respectiv punctul caracteristic al robotului este atras către țintă în timp ce obstacolele îl resping. Această idee este ilustrată prin definirea unei funcții potențiale în cazul în care robotul se poate deplasa liber în  $W = \mathbb{R}^N$ , cu  $N = 2$  sau  $3$ ,  $C = \mathbb{R}^N$ , unde  $W$  reprezintă spațiul de lucru al robotului,  $R$  reprezintă un set de numere reale, iar  $C$  spațiul de configurare al robotului. Un element din  $C$  este notat cu  $q$ .

Câmpul forțelor artificiale ce acționează asupra robotului situat în punctul  $q$  din  $C$  este produs de o funcție potențială derivabilă  $U: C_{\text{liber}} \rightarrow \mathbb{R}$ , și este dată de relația 2.3:

$$\vec{F}(q) = -\nabla U(q), \quad (2.3)$$

unde  $\nabla U(q)$  reprezintă vectorul gradient al câmpului potențial artificial  $U$  în punctul  $q$ . În  $C = \mathbb{R}^N$  cu ( $N=2$  sau  $3$ ), se poate scrie  $q(x,y)$  respectiv  $q(x,y,z)$ , iar  $\nabla U$  este dat de relațiile 2.4.

$$\nabla U = \begin{bmatrix} \partial U / \partial x \\ \partial U / \partial y \end{bmatrix} \text{ sau } \nabla U = \begin{bmatrix} \partial U / \partial x \\ \partial U / \partial y \\ \partial U / \partial z \end{bmatrix} \quad (2.4)$$

Pentru atragerea robotului, pe de o parte către țintă și în același timp respingerea lui de către obstacole, câmpul potențial  $U$  rezultat este dat de suma a două funcții potențiale (relația 2.5).

$$U(q) = U_{\text{atr}}(q) + U_{\text{rep}}(q), \quad (2.5)$$

unde  $U_{\text{atr}}$  reprezintă potențialul atractiv asociat punctului în care este situată ținta  $q_{\text{țintă}}$ , iar  $U_{\text{rep}}$  este potențialul repulsiv asociat zonelor din  $C$  în care sunt situate obstacolele.

Având aceste notații se pot scrie forțele exercitate de fiecare potențial în parte (relația 2.6).

$$\vec{F}_{\text{atr}} = -\nabla U_{\text{atr}}, \quad \vec{F}_{\text{rep}} = -\nabla U_{\text{rep}}, \quad (2.6)$$

unde  $\vec{F}_{\text{atr}}$  reprezintă vectorul forțelor atractive, și  $\vec{F}_{\text{rep}}$  este vectorul forțelor repulsive ce acționează asupra robotului.

### 2.5.3.1. Potențialul atractiv

Câmpul de potențial atractiv  $U_{\text{atr}}$  poate fi definit sub forma unei funcții parabolice (relația 2.7).

$$U_{\text{atr}} = \frac{1}{2} k \cdot p_{\text{țintă}}(q), \quad (2.7)$$

unde  $k$  este un factor de scară pozitiv și  $p_{\text{țintă}}(q)$  reprezintă distanța euclidiană dintre punctul în care este situat robotul și punctul în care e situată ținta  $\|q - q_{\text{țintă}}\|$ .

Distanța euclidiană dintre două puncte dintr-un plan  $s(x_1, y_1)$  și  $t(x_2, y_2)$ , este dată de relația 2.8.

$$\|s - t\| = \sqrt{(x_2 - x_1)^2 + (y_2 - y_1)^2} \quad (2.8)$$

Funcția  $U_{\text{atr}}$  este pozitivă sau nulă și atinge minimumul în punctul  $q_{\text{țintă}}$  unde  $U_{\text{atr}}(q_{\text{țintă}}) = 0$ .

Funcția  $p_{\text{țintă}}$  este diferențiabilă oriunde în  $C$ . În oricare configurație a lui  $q$ , forța atractivă  $F_{\text{atr}}$  ce derivă din  $U_{\text{atr}}$  este dată de relația 2.9.

$$\vec{F}_{\text{atr}}(q) = -\nabla U_{\text{atr}}(q) = -\sigma \cdot p_{\text{țintă}}(q) \nabla p_{\text{țintă}}(q) = -\sigma(q - q_{\text{țintă}}) \quad (2.9)$$

S-a ales o formă parabolică a funcției ce definește potențialul de atracție deoarece cu aceasta s-a obținut o stabilitate bună mai ales atunci când se utilizează metoda câmpului potențial pentru evitarea *on-line* a obstacolelor. În acest fel, forța rezultantă  $F_{\text{atr}}$  converge liniar spre 0 atunci când robotul se apropie de țintă. Pe de altă parte,  $F_{\text{atr}}$  crește cu distanța față de țintă și în final tinde către infinit atunci când  $p_{\text{țintă}}(q) \rightarrow \infty$ .

În Figura 2.15 se arată un exemplu de potențial atractiv generat de către o țintă situată în punctul de coordonate  $x=12$ ,  $y=13$  în cadrul unui spațiu de configurare de dimensiune  $16 \times 16$  elemente.

### 2.5.3.2. Potențialul repulsiv

Ideea principală este de a crea o barieră de potențial în jurul obstacolelor situate în spațiul de configurare  $C$  al robotului, care nu poate fi traversată de către acesta. Pe de altă parte, acest potențial repulsiv nu trebuie să afecteze mișcarea robotului atunci când acesta este suficient de departe de obstacole. Aceste condiții pot fi îndeplinite prin definirea unei funcții potențiale repulsive de forma celei prezentate în relația 2.10:

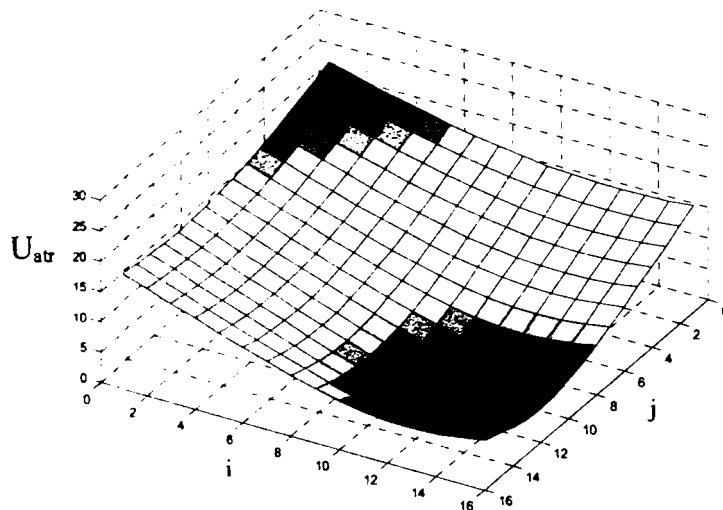


Figura 2.15. Forma potențialului atractiv creat de către țintă.

$$U_{\text{rep}}(q) = \begin{cases} \frac{1}{2} n \left( \frac{1}{p(q)} - \frac{1}{p_0} \right)^2 & \text{dacă } p(q) < p_0 \\ 0 & \text{dacă } p(q) > p_0 \end{cases}, \quad (2.10)$$

unde  $n$  este un factor de scară pozitiv și  $p(q)$  reprezintă distanța dintre poziția robotului și obstacole.

Funcția  $U_{\text{rep}}$  este pozitivă sau nulă, tinde la infinit atunci când robotul se apropie mult de zona obstacolelor și este nulă când distanța dintre robot și obstacole este mai mare decât  $p_0$ .

Forța repulsivă obținută pe baza potențialului  $U_{\text{rep}}$  este definită de relația 2.11 astfel:

$$\vec{F}(q) = -\nabla U_{\text{rep}}(q) = \begin{cases} n \left( \frac{1}{p(q)} - \frac{1}{p_0} \right) \frac{1}{p^2(q)} \nabla p(q) & \text{dacă } p(q) \leq p_0 \\ 0 & \text{dacă } p(q) > p_0 \end{cases} \quad (2.11)$$

Orice obstacol detectat de unul din senzorii robotului, indiferent dacă acesta este un obstacol sau o parte dintr-un obstacol mai mare, produce o forță repulsivă. Forța repulsivă rezultantă este suma forțelor repulsive create de fiecare obstacol în parte și este dată de relația 2.12:

$$\vec{F}_{\text{rep}(\text{total})}(q) = \sum_i F_{\text{rep}(i)}(q), \quad (2.12)$$

unde prin  $i$  s-a notat numărul de senzori ai robotului.

În Figura 2.16 se prezintă un exemplu de potențial repulsiv creat de trei obstacole situate într-un spațiu de configurare discretizat de dimensiune  $16 \times 16$  elemente.

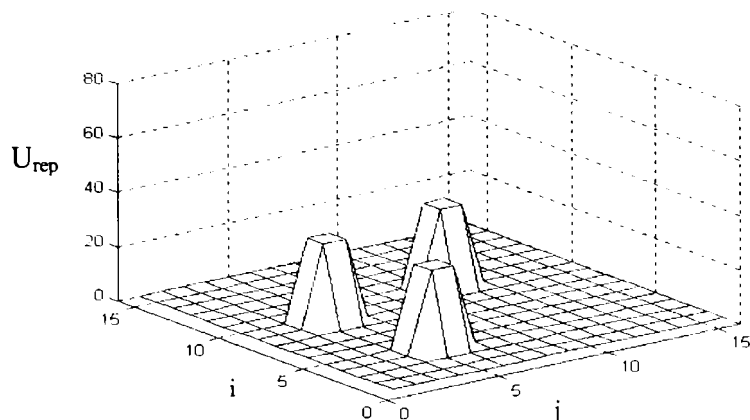


Figura 2.16. Un exemplu de potențial repulsiv creat de trei obstacole.

În final, asupra robotului situat într-un punct  $q$  al spațiului de configurare  $C$  acționează atât forța de atracție dată de către configurația țintei cât și forțele de respingere determinate de către obstacolele situate în mediul de lucru al robotului. Astfel forța totală artificială ce acționează asupra robotului în punctul  $q$  este dată de relația 2.13.

$$\vec{F}_{\text{total}}(q) = \vec{F}_{\text{atr}}(q) + \vec{F}_{\text{rep}(\text{total})}(q) \quad (2.13)$$

Forma câmpului potențial artificial total, ce acționează asupra robotului, produce în final  $\vec{F}_{\text{total}}(q)$ , iar în cazul exemplului prezentat mai sus are forma din Figura 2.17.

Pe baza acestui câmp potențial poate fi determinată pas cu pas traiectoria unui robot, situat în mediul de lucru, care trebuie să se deplaseze până la țintă, ocolind obstacolele [46].

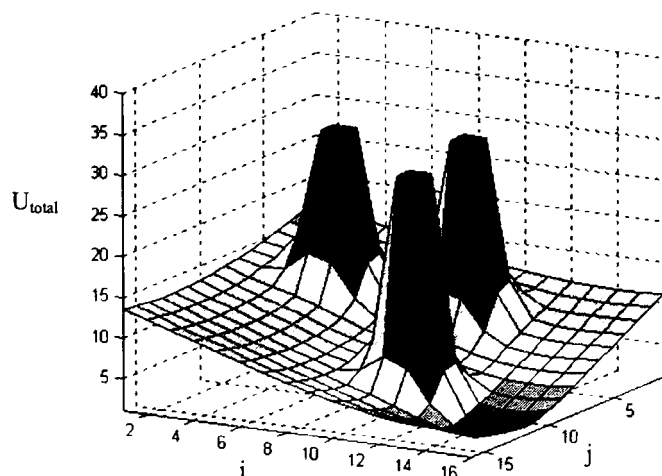


Figura 2.17. Forma câmpului potențial artificial total.

## 2.6. Sisteme de conducere a roboților mobili

În decursul evoluției roboților mobili s-au materializat trei forme de organizare a sistemelor de conducere a acestora. Astfel, au apărut sisteme de conducere respectiv de comandă:

- **ierarhice**;
- **reactive** (comportamentale);
- **hibride** (deliberativ / reactive).

Procesele determinate de către sistemul de comandă al roboților mobili pot fi împărțite, în general, în trei clase: PERCEPȚIE, PLANIFICARE și ACȚIUNE [45],[47].

În categoria PERCEPȚIE sunt incluse acele funcții care preiau informația senzorială și o transformă într-o formă utilă pentru celelalte funcții. Funcțiile care preiau rezultatele unei funcții din clasa PERCEPȚIE sau direct informația senzorială și oferă la ieșire un plan ce trebuie executat, aparțin categoriei PLANIFICARE. Funcțiile din categoria ACȚIUNE produc comenzi pentru actuatori, pe baza informațiilor obținute de la funcții din cele două categorii menționate anterior.

### 2.6.1. Sistemele de conducere ierarhice

Din punct de vedere cronologic, **sistemele ierarhice** au fost cele dintâi elaborate, dominând arhitectura sistemelor de conducere a roboților mobili în perioada 1967 - 1990 [45]. Acest model de conducere are o descompunere "de sus în jos", încercând să mimeze modelul uman de gândire. Orice deplasare a robotului, efectuată în această manieră, presupune existența a trei pași distincti: în primul pas este perceput mediul înconjurător, apoi în următorul pas se face planificarea mișcării și în final, în ultimul pas, se efectuează deplasarea propriu-zisă a robotului.

Metodele de conducere ierarhice sunt caracterizate de faptul că informația senzorială este concentrată într-un singur model complex al mediului, model ce este apoi folosit de către funcțiile din clasa PLANIFICARE.

Sistemele de conducere ierarhice au avantajul că realizează o ordonare a relației dintre cele trei blocuri principale. Principalul dezavantaj al acestora este legat de modul greoi în care se face planificarea. La fiecare ciclu, robotul actualizează un model global complex al mediului și re-execută partea de planificare. Atât algoritmi cât și puterea de calcul disponibilă, mai ales la acea dată, nu puteau face față volumului mare de informație ce trebuia procesat. Efectul imediat a fost viteza de deplasare extrem de mică (cca. 4m/h).

Definitiv pentru sistemele ierarhice este despărțirea PERCEPȚIEI de ACȚIUNE, aspect care elimină orice acțiune declanșată de vreun stimul senzorial. De asemenea, dependența de un model al mediului este o altă caracteristică definitorie. Această dependență a creat mari probleme, deoarece robotul făcea față cu greu oricărei modificări a mediului sau incertitudinii (zgomot senzorial, semantică bogată, erori ale actoarelor) în modelarea acestuia.

În cadrul teoriei conducerii ierarhice nu se face practic, analogia cu sistemele biologice în care informația senzorială este conectată direct la actuator (exemplul organismelor biologice). Pe de altă parte, datorită conjuncturii în care această paradigmă s-a născut și maturizat (procesoarele perioadei respective nu ofereau o putere de calcul mare) au fost căutate noi forme de organizare a "inteligenței" robotice.



### 2.6.1.1. Arhitecturi de conducere ierarhice

Sistemele de conducere ierarhice au o structură de procesare secvențială a semnalelor (Figura 2.18), [45]. Robotul percepe lumea înconjurătoare, construiește o hartă globală a acesteia și apoi cu "ochii închiși", planifică succesiunea de comenzi necesare îndeplinirii sarcinii curente. În faza finală, robotul execută prima comandă din setul de comenzi stabilit anterior. Acest ciclu se repetă continuu, astfel că după încheierea sa, robotul poate constata consecințele acțiunii anterioare.

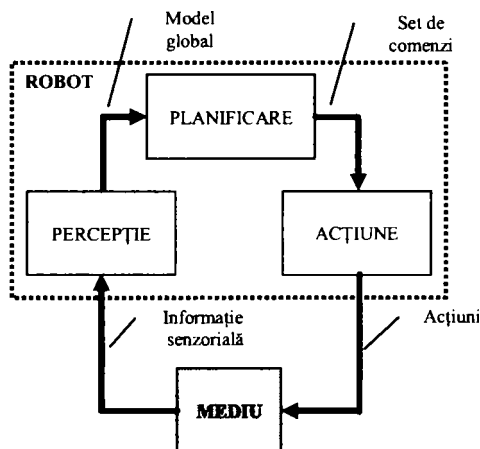


Figura 2.18. Schema bloc a unui sistem de conducere ierarhizat.

În cadrul arhitecturilor de conducere ierarhizată percepția mediului este monolitică în sensul că toată informația senzorială este fuzionată într-un model unic, global, utilizat mai apoi de către blocul de planificare. Acesta este un model al mediului (*world model*) și reprezintă un concept larg, deoarece robotul include aici întreaga lume înconjurătoare lui.

Informațiile pe baza cărora se iau deciziile, cu privire la deplasarea robotului, într-un asemenea model, pot fi:

- o reprezentare *a priori* a mediului în care operează robotul (spre exemplu, o hartă a clădirii);
- informația senzorială captată;
- cunoștințe adiționale utile pentru îndeplinirea sarcinilor.

Crearea unei astfel de reprezentări globale, care să cuprindă toate aceste categorii de informații nu e o sarcină ușor de rezolvat mai ales într-un timp scurt, ceea ce influențează negativ viteza de deplasare a robotului mobil.

Una din structurile de conducere ierarhizate reprezentative, propusă de Meyster în 1982 sub denumirea de NHC (**Nested Hierarchical Controller**), (prezentată în Figura 2.19), este o structură de conducere specializată în planificarea și controlul traiectoriei unui robot mobil.

Informația senzorială este transmisă la intrarea blocului PERCEPȚIE. Pe baza acestora și pe baza informațiilor *a priori*, aflate în baza de date a robotului, se va elabora modelul global al mediului înconjurător.

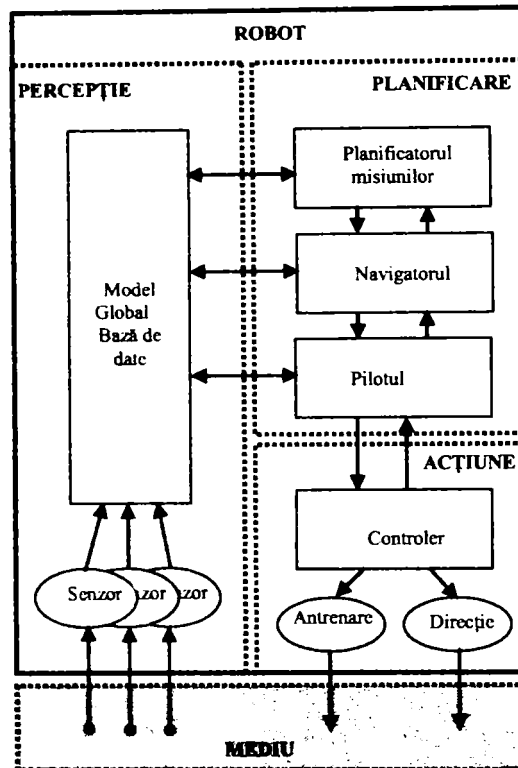


Figura 2.19. Structura de conducere ierarhizată NHC (Nested Hierarchical Controller).

Elementul caracteristic al acestei structuri de conducere îl reprezintă divizarea blocului de PLANIFICARE în trei componente: **Planificatorul misiunilor**, **Navigatorul** și **Pilotul**. Pentru a-și putea îndeplini rolul, fiecare din aceste trei componente au acces la modelul global.

**Planificatorul Misiunilor** poate primi o sarcină de la un operator uman sau poate crea una, cum ar fi spre exemplu: "culege cutia aruncată și depozitează-o în coșul de gunoi". În același timp acesta are și sarcina de a traduce noțiuni de genul: "cutie" sau "coș de gunoi" în termeni care să poată fi înțeleși de către nivelul inferior al **Navigatorului**, definind astfel implicit poziția actuală și cea finală a robotului.

**Navigatorul** preia toate aceste informații și generează o traiectorie între locația curentă și țintă. În principiu, se generează un șir de puncte de trecere, care unite prin segmente de dreaptă reprezintă traiectoria ce trebuie urmată. Primul segment al acesteia este transmis apoi **Pilotului** care determină ce acțiuni sunt necesare pentru parcurgerea lui.

**Pilotul** oferă la ieșirea sa vectori viteză de tipul: "întoarce la stânga", "mergi înainte cu 0.6m/s", etc., care sunt transmiși controlerului sistemului de acționare al robotului. La nivelul acestuia, vectorii viteză sunt convertiți în profiluri de viteză pentru o deplasare lină.

Controler-ul motoarelor împreună cu actuatorile robotului constituie cel de-al treilea bloc de bază al unei structuri de conducere ierarhice: ACTIUNE.

Pentru cazul unui mediu static și cunoscut, când nu apar obstacole dinamice în mediu, ciclul se completează după cum urmează: la încheierea parcurgerii

primului segment, **Pilotul** raportează acest fapt **Navigatorului**, care procesează următorul segment din listă. Operațiile se desfășoară în continuare în mod similar, până când după parcurgerea ultimului segment **Navigatorul** confirmă **Planificatorului misiunilor** încheierea deplasării. La rândul său **Planificatorul misiunilor** desemnează eventual o nouă sarcină.

Dacă pe parcursul traseului robotul întâlnește vreun obstacol, **Pilotul** invocă **Navigatorul**. Acesta din urmă va defini un nou traseu în funcție de noua înfățișare a modelului mediului. Când acest proces este încheiat, mișcarea este reluată în maniera descrisă anterior.

Dintre avantajele structurii NHC trebuie remarcată calitatea acesteia de a îmbina partea de planificare cu cea de deplasare. Robotul construiește un traseu, începe să-l străbată și dacă mediul se modifică, atunci schimbă și traseul. De notat că descompunerea ierarhică este făcută atât ca nivel al inteligenței, cât și ca scop. **Planificatorul misiunilor** este mai "inteligent" decât **Navigatorul**, care la rândul său este mai "inteligent" decât **Pilotul**.

Din păcate, deși aveau un grad de specializare ridicat în rezolvarea sarcinilor tipice de deplasare, capacitatea de adaptare a acestor tip de roboți, construiți până în 1990, era mică sau chiar inexistentă.

### 2.6.2. Sistemele de conducere reactive (comportamentale)

Teoria conducerii reactive apare în a doua jumătate a anilor '80, în parte datorită in-succeselor paradigmei ierarhice, dar și datorită afluxului de idei din științe ca: psihologia cognitivă, biologie sau etnologie. Cel care a declanșat acest entuziasm a fost Rodney A. Brooks (1986), el fiind considerat și principalul promotor al acestei paradigme. În mod paradoxal însă, inițial paradigma reactivă a fost prezentată ca o extensie a celei ierarhice, deși ulterior s-a demonstrat o totală discordanță între cele două proceduri [45].

În cadrul teoriei reactive este eliminată partea de planificare, bazându-se pe sloganul: "Cel mai bun model al mediului este el însuși!" [45]. Beneficiul imediat al eliminării modelului global este viteza mare de reacție și până la urmă, de deplasare. Robotul deține mai multe dublete PERCEPȚIE - ACȚIUNE (denumite *comportamente*) care pot rula și în paralel, fiecare fiind particulară unei anumite situații.

Prin conducerea roboților pe baza comportamentelor s-au obținut imediat succese notabile. Roboții conduși reactiv erau capabili de viteze uimitoare, mișcându-se dintr-o parte în alta cu o dexteritate mare, spre deosebire de cei conduși ierarhic care erau recunoscuți pentru viteza lor mică de deplasare. Datorită acestor succese, paradigma reactivă a dominat scena roboților mobili din 1988 până în 1992.

Încă din anii '80 sau căutat soluții pentru ca roboții mobili să poată fi mai versatili, mai robuști la modificările mediului. Atenția a fost îndreptată spre agenții naturali. Astfel, o serie întreagă de cercetători, dintre care se disting Moravec și mai ales Arbib, au început să investigheze modele ale comportamentului agenților animalii - studiate până atunci doar în biologie și științe cognitive - în speranța de a găsi un model de conducere mai viabil [45].

Tot atunci, Valentino Braitenberg prezintă o serie de idei și experimente care sunt prezentate în cartea *Vehicles: Experiments in Synthetic Psychology*. Experimentele pornesc de la sisteme de comandă simple, bazate pe perechea PERCEPȚIE - ACȚIUNE. Ideile sale au fost intuitive și intenționau să copieze principiile de evoluție a primatelor.

Aceste incursiuni și multe altele în studiul științelor biologice au deschis o nouă cale în evoluția roboților mobili, și anume cea a **conducerii reactive**. Apar astfel, noi metode de organizare și un nou mod de dobândire a inteligenței, care au condus în cele din urmă la nașterea, la mijlocul anilor '80, a sistemelor de **conducere comportamentală** (*Reactive Paradigm*).

### 2.6.2.1. Comportamentele agenților biologici

Studiul științelor cum ar fi: biologia, etnologia sau psihologia cognitivă, pentru dezvoltarea inteligenței roboților mobili autonomi, se bazează pe faptul că evoluția vieții a condus la adaptarea remarcabilă și uneori chiar surprinzătoare a agenților biologici la mediul lor natural [45].

Studiul agenților biologici poate oferi un punct de plecare și poate uneori să ofere confirmări directe asupra teoriilor de conducere propuse de către cercetători. Astfel, doar prin faptul că un agent natural procedează într-un anumit fel sau efectuează o anumită acțiune se poate constitui prin ea însăși într-o validare. Capabilitatea de fuzionare a informației senzoriale a agenților naturali este încă un deziderat abia întrezărit în cazul unui robot. De asemenea, în timp ce agenții actuali fac uz de calități moștenite, roboții mobili se bazează încă pe programe compilate. Mai mult decât atât, agenții biologici evoluează într-un mediu deschis, complet nestructurat, în timp ce roboții mobili ai prezentului sunt încă "închiși" în medii puternic structurate.

Conceptul de agent aparține inteligenței artificiale și permite studiul proprietăților inteligenței fără a detalia modul în care agentul a câștigat această experiență. Astfel, un agent este o entitate independentă, de sine stătătoare. Aceasta deține propriul creier (sistem de conducere) și este capabil să interacționeze cu mediul inconjurător. Este, în plus, capabil să "înțeleagă" ceea ce se întâmplă în jurul lui și chiar mai mult, are conștiință de sine. Orice agent este deci capabil să dezvolte o serie de acțiuni caracteristice (comportamente). Noțiunea de **comportament** (*behavior*) este cel de-al doilea pas pe calea abstractizării propuse. Comportamentul este, conform teoriei cognitive, celula elementară a inteligenței artificiale. Un comportament este în cele din urmă un mod particular de a transforma informația senzorială în acțiuni ale actuatorilor.

Conform teoriei inteligenței artificiale comportamentele se pot diviza în trei mari categorii (Figura 2.20) [45]:

- **comportamente reflexive**, răspund direct stimulului din mediu și sunt dobândite prin moștenire. Un exemplu al acestui tip de comportament este mișcarea involuntară a piciorului atunci când se aplică o lovitură ușoară sub genunchi. Comportamentele reflexive sunt generate în principal de excitația unui neuron din zona de percepție și transmitere a excitației la efector, obținându-se în acest mod, cel mai scurt timp de răspuns posibil.
- **comportamentele reactive**, sunt cele care se deprind prin învățare și care se execută apoi fără conștientizarea acțiunilor, dar pot fi controlate și prin conștientizarea lor. Această categorie de comportamente mai este cunoscută și sub denumirea de "memorie a mușchilor". Exemple de comportamente reactive sunt: mersul, înotul și mersul cu bicicleta.
- **comportamentele conștiente**, constituie cea de-a treia clasă și sunt, de fapt, acțiuni complexe, compuse prin "concatenarea" unor comportamente dobândite.

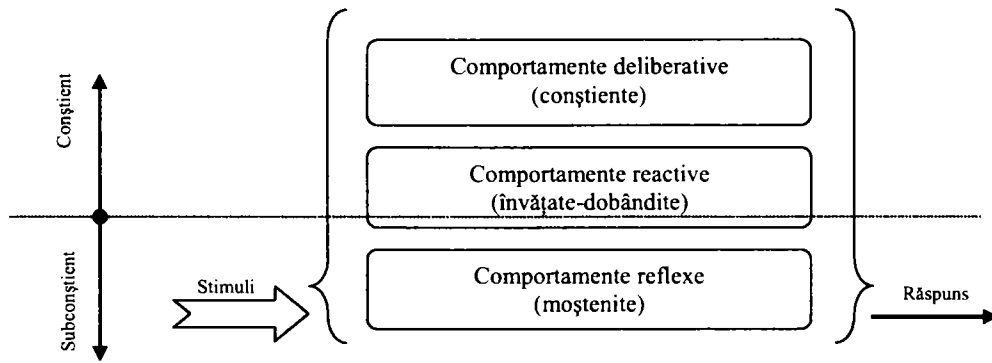


Figura 2.20. Împărțirea comportamentelor.

În cazul roboților mobili este interesantă implementarea comportamentelor reflexive deoarece acestea nu implică nici un fel de model al mediului dar se bazează în schimb pe o filozofie de genul: dacă percepi stimulul, acționează [45].

Modelarea comportamentelor, în teoria inteligenței artificiale, adaugă fiecărui comportament un mecanism de declanșare (Figura 2.21).



Figura 2.21. Comportament cu declanșare.

Această modelare pare a fi rezonabilă, pentru ca un anumit comportament să poată fi declanșat doar în anumite condiții. Spre exemplu, animalul de pradă nu va recurge la acțiuni de vânatoare până când nu apare senzația de foame care în acest caz este declanșatorul comportamentului de vânător. Astfel, percepția mediului (incluzând starea internă a robotului) în sistemele reactive are două roluri: fie ghidează comportamentul, prin furnizarea continuă a datelor din mediu, fie declanșează comportamentul.

Comportamentele pot fi dobândite prin moștenire sau învățare. Cel mai potrivit exemplu este aici reflexul de hrănire moștenit al tuturor agenților naturali. Există chiar exemple de secvențe de comportamente moștenite, cum ar fi spre exemplu, ciclul de împerechere al păsărilor. O altă formă de moștenire a comportamentelor este cea de moștenire cu memorare. Cazul albinelor este un exemplu potrivit în acest sens. Fiind născute în cuiburi, albinele trec printr-o perioadă de învățare a felului în care cuibul lor arată din exterior. În acest proces albina efectuează câteva zboruri scurte de ordinul metrilor, îndepărtându-se și apoi revenind la cuib. Începe cu un zbor perpendicular pe urdinișul cuibului și continuă cu zboruri oblice din ce în ce mai lungi. Interesant este că acest procedeu de memorare a locației este efectuat de fiecare dată după ce cuibul (stupul) a fost deplasat [45]. Prin învățare pot fi dobândite comportamente dintre cele mai complexe. Exemplul primatelor, dar nu numai, este grăitor prin el însăși. Puii acestora petrec o bună perioadă din viața lor învățând.

Modurile prin care pot fi dobândite comportamentele agenților naturali sugerează felul în care ar putea fi instruit un robot. La una din extreme se situează varianta în care întregul bagaj de cunoștințe și aptitudini este moștenit, sau altfel spus robotul este preprogramat și astfel cade în sarcina "programatorului" să prevadă toate situațiile posibile pe care robotul le-ar putea întâlni. Experiențele în acest sens, au arătat că în cazul unui mediu dinamic și nestructurat această modalitate de programare a roboților nu este viabilă.

La cealaltă extremă se găsește varianta în care robotul învață pe parcursul efectuării misiunii toate cunoștințele necesare. Această variantă este tentantă din punct de vedere al constructorului robotului, care scapă astfel de un efort considerabil, dar nici această variantă nu s-a dovedit a fi viabilă pentru utilizator deoarece timpul necesar dobândirii unor cunoștințe utile ar fi, în multe cazuri, prea mare.

O variantă de mijloc ar putea fi obținută prin moștenirea a cât mai multor comportamente, în scopul de a accelera faza de învățare și pentru a face robotul cât mai repede util. Este esențial însă, ca acesta să-și păstreze interesul pentru dobândirea a noi cunoștințe și aptitudini pentru întreg ciclul lui de viață.

Principiile care ar putea fi preluate din "experiența" agenților naturali sunt următoarele [45]:

- descompunerea sarcinilor complexe în componente simple, realizabile cu comportamente independente, care să conecteze rapid informația senzorială la acțiuni;
- procesarea informației senzoriale ar trebui canalizată doar spre acea parte care este specifică comportamentului (percepere orientată spre scop);
- chiar dacă comportamentele nu sunt interdependente, ieșirile lor pot fi combinate pentru obținerea unui comportament general, aparent inteligent;
- implementarea la nivelul comportamentelor a unor mecanisme de declanșare.

#### **2.6.2.2. Caracteristici ale structurilor de conducere comportamentală**

În contrast cu structura orizontală a sistemelor ierarhice, studiul etnologiei arată că sistemele inteligente din natură au o structură verticală. Într-o astfel de structură, un agent natural debutează cu comportamente elementare pentru supraviețuire și învață pe parcurs o serie de comportamente complexe. Se creează în acest mod căi paralele pentru obținerea unor manifestări mai sofisticate și care pot fi privite ca și niveluri de competență suprapuse unul peste altul. Fiecare din niveluri are acces independent la informația senzorială și de asemenea la actuatori (Figura 2.22).

Paralelismul acestei structuri adaugă un plus de robustețe, astfel dacă unul din nivelurile superioare se defectează, rămân active cel puțin cele inferioare. În final va rezulta un comportament mai puțin inteligent, dar cel puțin se menține un grad oarecare de funcționalitate.

Principala caracteristică a sistemelor comportamentale constă în obținerea unei manifestări globale prin combinarea comportamentelor elementare. Comportamentele sunt în cele din urmă conectări ale intrărilor senzoriale la actuatori. Matematic privite, ele pot fi asemănată cu funcții de transfer.

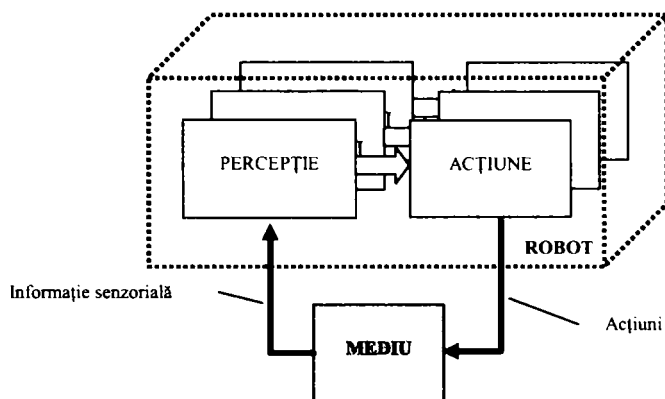


Figura 2.22. Structura unui sistem de conducere comportamentală.

Dezavantajul conducerii strict comportamentale este faptul că nu poate fi garantat care din comportamente va governa conducerea robotului la un moment dat. Nu este posibilă, deci, prezicerea exactă a modului de manifestare a robotului, așa cum este posibilă în cazul unui sistem de conducere precompilat unde succesiunea instrucțiunilor determină în mod univoc un anumit comportament. În cazul sistemelor de conducere comportamentală, trebuie deci rezolvată problema acțiunilor greșite impusă mai ales de unele domenii cum ar fi operațiunile militare sau utilizarea roboților în uzine nucleare-electrice. De asemenea, trebuie luat în calcul că o structură reactivă pură nu permite decât o percepere locală a mediului.

Totuși, datorită vitezei mari de reacție, care a condus în final la obținerea unor viteze mari de îndeplinire a misiunilor, conducerea comportamentală a fost larg acceptat în cele din urmă.

Primele sisteme comportamentale au promovat ideea: un senzor - un comportament. Ulterior, pentru a obține componente mai complexe, s-a acceptat varianta în care același comportament obține informație de la mai multe tipuri de senzori, sau același senzor furnizează date mai multor comportamente, dar fiecare comportament are propria sa schemă de procesare. În oricare din variantele amintite comportamentele lucrează în paralel, fără a avea cunoștință unul de existența altuia.

Informația senzorială este disponibilă imediat schemelor perceptuale ale comportamentelor care efectuează doar atâta procesare cât este necesară. Dacă se utilizează, spre exemplu, un atribut de tipul "evident" (ușor de extras) atunci partea de percepere se execută practic instantaneu și acțiunea asupra actuatorilor survine rapid.

Pot fi enumerate două avantaje importante ale conducerii comportamentale [45]:

- **răspunsul rapid** (în timp real) al roboților la stimuli, deoarece percepția cu acțiunea sunt strâns legate. Pentru aceasta, comportamentele se implementează hardware sau cu un minim de cod, conform unui algoritm simplu.
- **lipsa memoriei** la roboții reactivi, ceea ce conduce la un răspuns pur reactiv. Robotul răspunde la modificările din mediul, prin declanșarea comportamentelor corespunzătoare stimulilor și nu se bazează pe o informație stocată.

### 2.6.3. Sisteme de conducere hibride (deliberativ/reactive)

Sistemele hibride denumite și deliberativ/reactive au apărut la începutul anilor '90, deoarece s-a ajuns la concluzia că eliminarea etapei deliberative (PLANIFICARE) prezintă și unele dezavantaje și că soluția optimă trebuie căutată undeva între metodele reactive și ierarhice.

Metodele de conducere hibride constituie actualmente principala direcție de cercetare în domeniu [45]. Teoria hibridă readuce pe scenă componenta de planificare, dar o face într-o manieră care să nu deranjeze prea mult eficiența perechii PERCEPȚIE - ACȚIUNE. Astfel, robotul descompune mai întâi sarcina în obiective mai mici ce pot fi rezolvate la nivel reactiv. După încheierea ciclului deliberativ, planificarea și execuția decurg simultan. Descrisă în termenii blocurilor elementare, paradigma hibridă are structura: PLANIFICARE, PERCEPȚIE - ACȚIUNE.

Sistemele de conducere reactive se bazează pe faptul că, prin intermediul mediului înconjurător, vor comunica între ele diverse comportamente. Apar însă probleme la implementarea acestora, legate de faptul că stări asemănătoare ale mediului pot să difere în funcție de context, caz în care robotul poate face confuzii grave. Pe de altă parte, apare problema sesizării incorecte a mediului din cauza impreciziei senzorilor sau din cauza modificărilor ambientale. Este de dorit, spre exemplu, ca un robot să-și aducă aminte de existența unui perete care a fost detectat anterior, dar care datorită reflexiilor speculare dispare brusc, deoarece dispariția subită a peretelui din informația senzorială nu reprezintă și dispariția lui fizică.

Utilizând un sistem de conducere reactiv se poate obține un sistem ce lucrează în timp real, chiar cu procesoare simple, comerciale. Această abordare plătește însă ca tribut eliminarea completă a oricărui model, a posibilității de a memora stările trecute ale robotului și în plus se mai pierde și capacitatea de planificare a acestuia. Roboții reactivi nu sunt capabili să planifice traiectorii optime, să construiască o hartă a mediului, să-și monitorizeze performanțele și nici măcar să decidă care este comportamentul cel mai potrivit la un moment dat pentru îndeplinirea unei sarcini.

Datorită acestor observații, începutul anilor '90 a găsit comunitatea științifică din domeniu în situația de a încerca să readucă în sistemul de conducere a roboților partea de deliberare și planificare, fără a afecta însă succesul obținut de conducerea reactivă. Consensul general a acceptat conducerea reactivă pentru nivelul cel mai de jos de conducere al roboților mobili, datorită în primul rând succeselor obținute pe această cale dar și datorită eleganței modelului și a asemănării sale cu sistemele biologice.

Unii cercetători au afirmat că dacă robotul va trebui să evolueze în lumea reală atunci soluția este conducerea reactivă, iar dacă mediul robotului este complet cunoscut atunci modelele ierarhice sunt soluția căutată. Sistemele hibride au fost privite inițial ca fiind o combinație nereușită a celor două lumi. Denumirea lor inițială a fost de **planificare deliberativă** pentru a le putea deosebi de sistemele ierarhice.

Actualmente, însă, sistemele de conducere hibride sunt apreciate din mai multe motive ca fiind soluția generală cea mai bună. În primul rând, utilizarea unui nucleu multiproces asincron permite procesarea funcțiilor deliberative separat de conducerea reactivă. Un proces deliberativ care să decidă următorul "scop" poate evolua lent, în timp ce, robotul se îndreaptă spre ținta curentă fiind condus reactiv cu o rată de actualizare mare. În al doilea rând, aplicând tehnica programării



orientate pe obiect, se pot obține sisteme ușor acordabile la diferite medii de lucru și diverse sarcini.

Organizarea sistemelor hibride deliberative pot fi descrise prin: **planifică**, apoi **percepe-acționează** (Figura 2.23). În componenta PLANIFICARE sunt incluse toate capacitățile de deliberare, planificare și chiar cele de modelare. Robotul va delibera și planifica întâi cum să îndeplinească o anumită sarcină (folosind modelul global disponibil) după care trece la activarea unui set de comportamente care să conducă la executarea misiunii. La îndeplinirea sarcinii curente, setul de comportamente active se va actualiza pentru următoarea sarcină, și așa mai departe. Se decuplează astfel partea de planificare (lentă) de cea de execuție (rapidă).

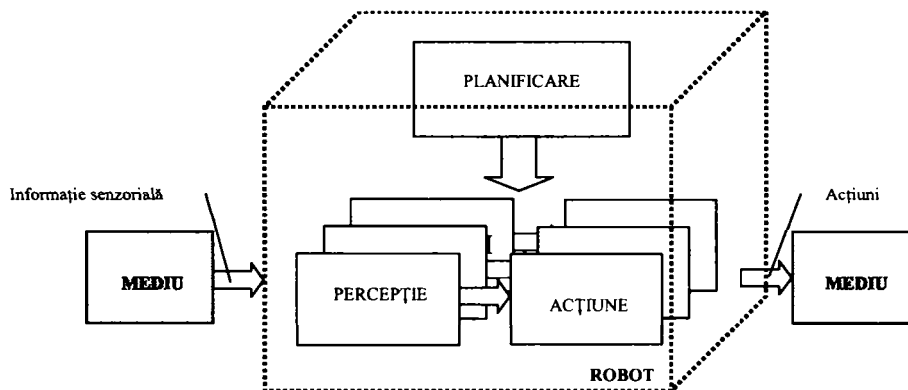


Figura 2.23. Structura unui sistem de conducere hibrid.

Organizarea părții de percepție în sistemele hibride este mult mai complexă decât în cazul sistemelor reactive, fiind și ea hibridă. Astfel, nu doar comportamentele au acces la informația senzorială ci și componenta deliberativă (PLANIFICĂ). În plus, chiar modelul global poate servi ca și sursă de informații pentru comportamente.

Componenta deliberativă a sistemelor hibride conține module și funcții pentru aspecte greu de reprezentat reactiv. Unele din aceste funcții au nevoie de un model global al mediului (cum ar fi spre exemplu: planificarea traiectoriei sau estimarea poziției curente). Dar mai sunt necesare și cunoștințe globale de alt gen, cum ar fi spre exemplu modul în care repertoriul disponibil de aptitudini poate fi îmbinat pentru a obține un anumit mod de comportare. La toate acestea se mai adaugă și funcții specifice monitorizării evoluției robotului (înaintarea spre țintă, monitorizarea parametrilor interni ca: temperatura sau starea de încărcare a bateriilor).

Diferențele dintre diferite sisteme hibride sunt date de modul în care acestea răspund la trei întrebări:

- Care este distincția între reactiv și deliberativ?
- Cum sunt organizate responsabilitățile în cadrul porțiunii deliberative?
- Cum se formează comportamentul global?

Principala contribuție a arhitecturilor hibride este aceea că oferă un model pentru combinarea componentei deliberative cu cea reactivă. Dar îmbinarea celor două componente (în timp real) nu este ușor de realizat, fiind dependentă și de misiunea curentă. În navigare spre exemplu, trebuiesc cuplate planificarea

traiectoriei cu deplasarea reactivă, dar trebuie monitorizată totodată și evoluția robotului, dacă acesta se deplasează spre țintă sau nu.

Datorită avansului tehnologiei procesoarelor, algoritmi de planificare a traiectoriei care odinioară necesitau timpi de procesare de ordinul a 10-15 minute, actualmente sunt procesați în circa o secundă. Scurtarea dramatică a timpului necesar planificării, face ca distincția între deliberativ și reactiv să-și piardă contrastul. Granița de separare se păstrează totuși datorită nivelului noțiunilor cu care se lucrează. Componenta deliberativă va opera cu simboluri și modele globale, iar cea reactivă procesează direct informația senzorială.

Un alt beneficiu al puterii sporite de procesare este oportunitatea de a utiliza modelul global al mediului ca sursă de informație pentru așa numiții senzori virtuali. Comportamentele pot procesa nu doar informația senzorială, pentru a decide reacția potrivită, ci și informații globale din baza de date a robotului.

Dintre arhitecturile proeminente ale acestor sisteme de conducere hibridă se evidențiază: AuRA, Sensor Fusion Effect (SFX), Saphira, TCA și în special arhitectura 3T care este organizată pe trei nivele [48].

## 2.7. Metodă de planificare a traiectoriei cu metoda câmpului potențial artificial folosind mediul de simulare Matlab

În aplicația de față se consideră că un robot mobil trebuie să ajungă dintr-un punct de plecare la un punct țintă, ocolind obstacolele care îi sunt în cale (Figura 2.24). Se consideră, de asemenea, că mediul conține doar obstacole statice. Imaginea sa, captată cu o cameră video, este discretizată și va avea dimensiunea de 32×32 pixeli. Sunt specificate poziția de plecare pentru robot și poziția țintei. Aceste două poziții, precum și robotul sunt reprezentate fiecare printr-un pixel.

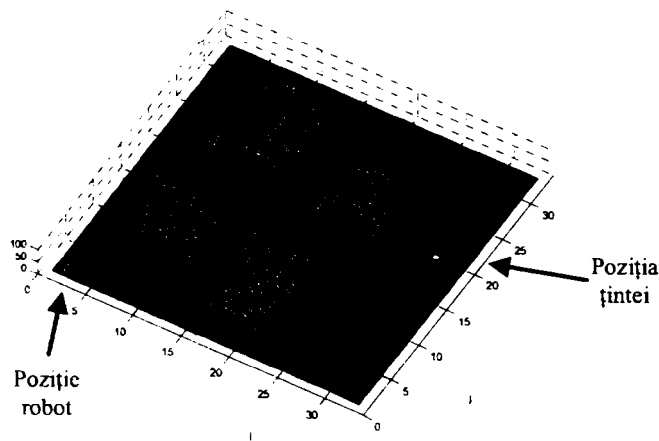


Figura 2.24. Mediul de lucru al robotului.

Deplasarea robotului se va face pas un pas prin spațiul liber până va atinge ținta, verificând de fiecare dată pozițiile din jurul său. În pozițiile ocupate de obstacole, robotul nu poate să se deplaseze sau poate chiar să păstreze o anumită distanță de siguranță față de acestea.

După obținerea imaginii bidimensionale a mediului cu obstacole, aceasta va fi prelucrată și se va obține o imagine tridimensională, cea de-a treia dimensiune fiind dată de către înălțimea obstacolelor (Figura 2.24).

Știindu-se poziția țintei în plan, se poate crea un câmp potențial de atracție, pe baza imaginii mediului de lucru, ce are valorile în fiecare punct, proporționale cu distanța din acel punct al mediului și punctul țintă unde trebuie să ajungă robotul.

Dacă se notează punctul unde este situată ținta cu  $T$  și coordonatele sale sunt  $(x_t, y_t)$  atunci distanța din fiecare punct de coordonate  $(i, j)$  al imaginii mediului, de dimensiune  $32 \times 32$  pixeli, până la țintă este dată de relația 2.14.

$$d(i, j) = \sqrt{(x_t - i)^2 + (y_t - j)^2} \quad \text{pentru } i=1\dots 32, j=1\dots 32. \quad (2.14)$$

Câmpul potențial va fi creat pe baza unei funcții potențiale, care pentru fiecare punct de coordonate  $(i, j)$  din mediul de lucru are valoarea dată de relația:

$$U(i, j) = \frac{1}{2} \cdot k \cdot d(i, j) \quad \text{pentru } i=1\dots 32, j=1\dots 32, \quad (2.15)$$

unde  $k$  este un factor de scară pozitiv.

Astfel, valoarea funcției potențiale denumită uneori și potențial atractiv va avea minimul în punctul țintă și în rest valorile sale în fiecare alt punct din mediu, vor fi proporționale cu distanța din acel punct până în punctul țintă. Peste acest potențial va fi suprapus un potențial de repulsie dat de către obstacole și astfel se obține câmpul potențial total prezentat în Figura 2.25.

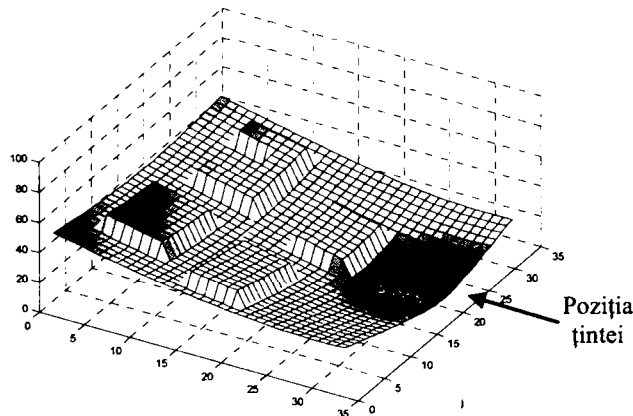


Figura 2.25. Forma câmpului potențial total.

Distanța euclidiană are însă, aceeași valoare pentru puncte situate simetric față de țintă, ceea ce va determina ca și potențialul de atracție să aibă simetrii. Astfel și robotul poate fi nevoit în unele situații să aleagă între două puncte având același potențial. În metoda de planificare a traiectoriei prezentată s-a luat o distanță euclidiană ponderată în funcție de valorile  $i$  și  $j$  (relația 2.16).

$$d_p(i, j) = \sqrt{(x_r - i)^2 + p \cdot i + (y_r - j)^2 + qj} \quad \text{unde } p \neq q, \quad (2.16)$$

pentru  $i = 1\dots 32, j = 1\dots 32, p$  și  $q$  fiind coeficienții de ponderare.

Practic în acest fel se dă o mică înclinare potențialului de atracție care nu influențează semnificativ traiectoria, dar nu vor exista puncte în vecinătatea robotului cu același potențial. Înclinarea potențialului poate fi spre stânga sau spre dreapta robotului în funcție de care parametru dintre  $p$  și  $q$  este mai mare. Metoda a fost simulată în ambele cazuri și au fost comparate traiectoriile obținute, acestea fiind egale ca lungime, respectiv ca număr de puncte (pixeli), însă în unele zone acestea prezentau simetrii.

Traectoria robotului va fi determinată pas cu pas pe baza acestui câmp potențial, prin identificarea la fiecare pas a pixelului cu valoarea cea mai mică din jurul pixelului ce reprezintă poziția curentă a robotului. Alegerea direcției optime de deplasare se face practic prin compararea valorii potențialului a celor opt direcții de deplasare date de punctele cardinale. Direcțiile posibile de deplasare pentru o situație concretă se prezintă în Figura 2.26.

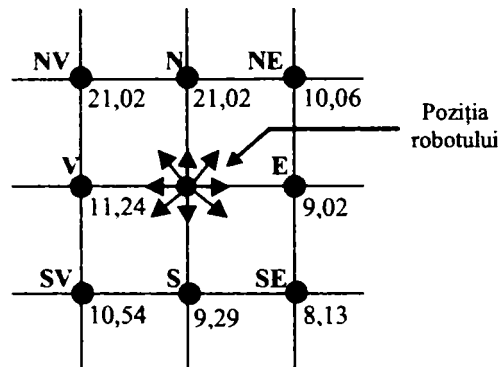


Figura 2.26. Direcțiile posibile de deplasare pentru robot.

Din exemplul de configurație prezentat, se observă că direcția SE are potențialul minim, prin urmare va fi aleasă această direcție. Pozițiile N și NV au potențial mult mai mare decât toate celelalte poziții învecinate ale robotului, ele indicând faptul că în direcția respectivă se află situat un obstacol.

Pentru evitarea blocării robotului în minime locale, care apar în situații în care robotul întâlnește obstacole concave, algoritmul a fost conceput astfel încât robotul să nu poată să facă pași înapoi. Odată ce robotul a ajuns într-o anumită poziție, valoarea câmpului potențial a poziției respective va fi actualizată la o valoare egală cu cea dată de un obstacol. La următorul pas al robotului când vor fi comparate valorile potențialelor punctelor vecine, poziția de unde a venit nu poate fi luată în calcul pentru o eventuală alegere, și robotul nu va rămâne pe loc chiar dacă în situațiile de minime locale potențialul punctului ocupat de către robot este mai mic decât potențialul punctelor vecine. Așadar, având aceste restricții robotul va reuși să iasă din aceste minime locale și va continua drumul către țintă.

În Figura 2.27 se prezintă rezultatele simulării pentru două poziții de start din care pleacă robotul mobil, o situație în care robotul găsește drumul spre țintă fără probleme deosebite (Figura 2.27a) și una în care reușește să iasă dintr-un minim local (Figura 2.27b).

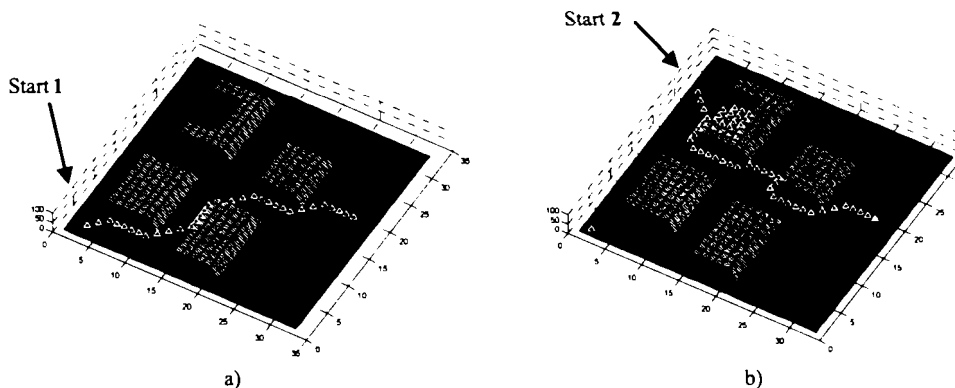


Figura 2.27. Rezultatele simulării în cazul a două poziții de start diferite pentru robotul mobil: a) traiectoria robotului când acesta nu întâlnește minime locale; b) traiectoria robotului, când acesta întâlnește un minim local.

## 2.8. Concluzii

În general, ținta ce trebuie atinsă de către robotul mobil nu este direct accesibilă sau uneori chiar trebuie găsită, așa că navigarea trebuie, în consecință, să fie un proces incremental de determinare și atingere a unor ținte intermediare, cu scopul de a se obține în final traiectoria optimă spre destinația dorită. În acest sens, navigația poate fi descompusă în cinci etape principale: percepția mediului și a sarcinii, modelarea mediului, localizarea robotului, planificarea traiectoriei și executarea deplasării.

Metodele de navigare locale și globale au fiecare unele dezavantaje și deci apare implicit necesitatea integrării celor două metode la navigarea roboților mobili autonomi. Acest lucru nu înseamnă doar o simplă utilizare concomitentă a acestora, fapt ce poate conduce la multe erori de navigare, ci trebuie realizate numeroase iterații planificare / execuție. De asemenea, trebuie o re-analizare completă a situației, implicând percepția, modelarea și localizarea pentru actualizarea contextului și deci evitarea apariției erorilor în faza de execuție. În acest sens au apărut metodele hibride pentru navigarea roboților mobili. Metodele globale ghidează robotul pe o traiectorie optimă care duce spre țintă, iar metodele locale îl ajută pe acesta să evite obstacolele ce pot apărea în calea sa.

O implementare a metodelor hibride o constituie împărțirea sistemului de conducere al robotului pe nivele ierarhice. Astfel, nivelul ierarhic superior al robotului va coordona deplasarea acestuia pe traiectoria optimă ce duce spre țintă, iar nivelul ierarhic inferior are sarcina de evitare a obstacolelor și de ieșire din situațiile de blocaj.

Prin conducerea roboților pe baza comportamentelor, respectiv pe baza conducerii reactive s-au obținut succese notabile în sensul că acești roboți erau capabili de viteze uimitoare, mișcându-se în mediu o dexteritate mare, spre deosebire de cei conduși ierarhic care erau recunoscuți pentru viteza lor mică de deplasare.

Conducerea strict comportamentală are dezavantajul că nu se poate garanta care din comportamente va governa conducerea robotului la un moment dat. De

asemenea, trebuie luat în calcul că o structură reactivă pură nu permite decât o percepere locală a mediului.

Studiul agenților biologici poate oferi un punct de plecare și poate uneori să ofere confirmări directe asupra teoriilor de conducere propuse de către cercetători. Astfel, doar prin faptul că un agent natural procedează într-un anumit fel sau efectuează o anumită acțiune se poate constitui prin ea însăși într-o validare.

Utilizarea câmpului potențial artificial pentru planificarea traiectoriei are dezavantajul minimelor locale în care se poate "împotmoli" robotul. Prin rezolvarea acestor probleme, prin actualizarea *on-line* a câmpului pe baza senzorilor și prin creșterea capacității de calcul a roboților, această metodă poate fi aplicată cu succes pentru navigația roboților mobili.

# 3. REȚELELE NEURONALE CELULARE

## 3.1. Noțiuni introductive

O rețea neuronală celulară (CNN - *Cellular Neural Network* [49],[50]) este un circuit analogic, neliniar, dinamic și multidimensional, având o topologie local-recurentă. Astfel, unitățile de circuit numite celule sau neuroni artificiali au fiecare interconexiuni locale. Rețeaua rezultată poate avea diverse arhitecturi cum ar fi: rectangulară, hexagonală, toroidală sau sferică.

Spre deosebire de rețeaua neuronală artificială de tip Hopfield [51], aceste rețele au numai interconexiuni locale și astfel aria câmpului ocupat de conductoarele de conexiune este mult mai mică. Din acest motiv acestea pot fi implementate în tehnologia VLSI actuală [52]. În consecință, fiecare celulă poate interacționa în mod direct doar cu celulele adiacente sau cu celulele aflate într-o anumită vecinătate, iar celulele neconectate în mod direct se pot influența una pe alta datorită efectului de propagare a interacțiunilor locale, respectiv dinamicii continue a rețelelor neuronale celulare.

În cele mai multe aplicații, toate celulele precum și interconexiunile lor sunt presupuse a fi identice, deși conceptul de rețea neuronală celulară introdus în [49], include posibilitatea de interconexiuni și parametri de circuit variabile.

Datorită puterii lor mari de calcul, rețelele neuronale celulare sunt ideale pentru realizarea de sarcini mari consumatoare de timp cum ar fi: procesarea imaginilor [53],[54],[55], procesarea în timp real a informațiilor sau rezolvarea ecuațiilor diferențiale parțiale [57],[58].

## 3.2. Topologia rețelei neuronale celulare de bază

Rețeaua neuronală celulară de bază [49],[50],[52] este o structură bidimensională rectangulară, fiind formată din circuite analogice identice, neliniare, dispuse regulat, numite celule.

În Figura 3.1 se prezintă structura unei rețele neuronale celulare de bază, monostrat, de dimensiune  $M \times N$ , ( $M$  linii și  $N$  coloane), precum și modul de interacțiune a celulelor. S-a notat cu perechea  $(i, j)$  coordonatele spațiale carteziene ale celulei  $C(i, j)$  din rețeaua neuronală celulară, unde  $1 \leq i \leq M$ ;  $1 \leq j \leq N$ .

### 3.2.1. Sfera de influență a unei celule

Fiecare celulă, respectiv unitate analogică de procesare, comunică în mod direct cu celulele situate în sfera ei de influență. Prin sfera de influență de rangul  $r$  a unei celule  $C(i, j)$  se înțelege mulțimea definită de relația:

$$S_r(i, j) = \{C(k, l) \mid \max\{|k - i|, |l - j|\} \leq r\}, \quad (3.1)$$

unde  $r$  este un număr întreg pozitiv.

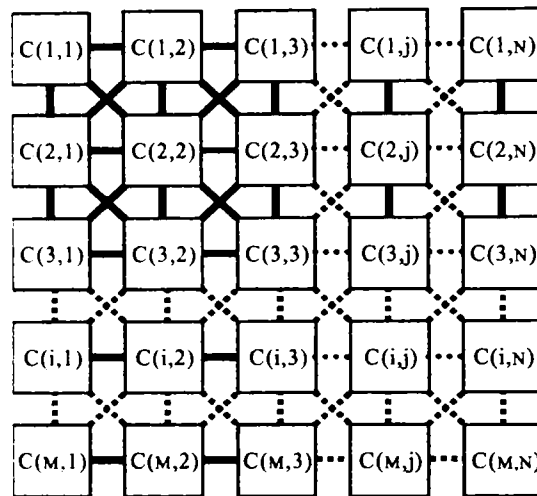


Figura 3.1. Structura de bază a unei rețele neuronale celulare monostrat cu M linii și N coloane.

Raza sferei de influență este, de regulă, mult mai mică decât dimensiunile rețelei. Această regiune este denumită uneori și câmpul receptiv al celulei și în cele mai multe cazuri este de rază  $r = 1$  (vecinătate  $3 \times 3$ ). Pentru o celulă  $C(i,j)$  din rețea, această vecinătate este exemplificată în Figura 3.2.

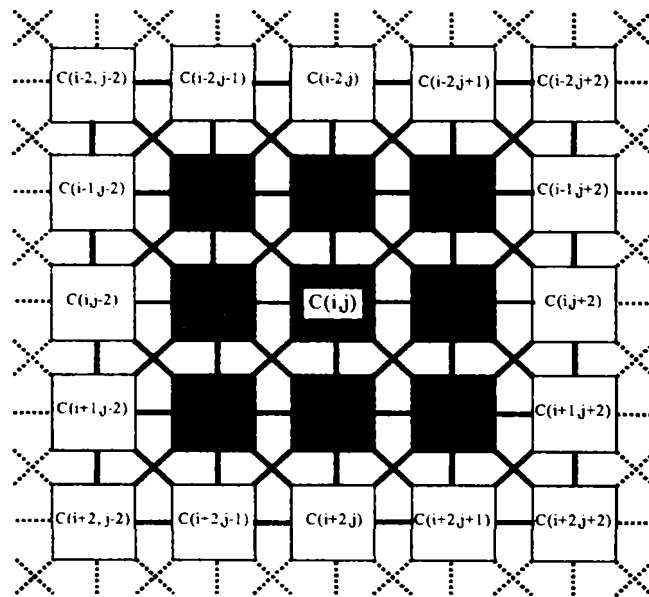


Figura 3.2. Sfera de influență a celulei  $C(i,j)$  de rază  $r = 1$  (vecinătate  $3 \times 3$ ).

Astfel, o celulă are conexiuni doar cu acele celule din rețea care se află în sfera ei de influență. Celulele între care nu există conexiune directă, pot comunica datorită efectului de propagare a interacțiunilor locale dintre celule, pe durata regimului tranzitoriu din rețea. Astfel, cu toate că interconectările dintre celule sunt



numai locale, se constată că utilizând rețelele CNN, pot fi extrase și proprietăți globale ale semnalelor procesate.

### 3.3. Circuitul electric de bază al unei celule CNN standard

Circuitul electric corespunzător fiecărei celule  $C(i,j)$ , din cadrul unei rețele neuronale celulare, este prezentat în Figura 3.3.

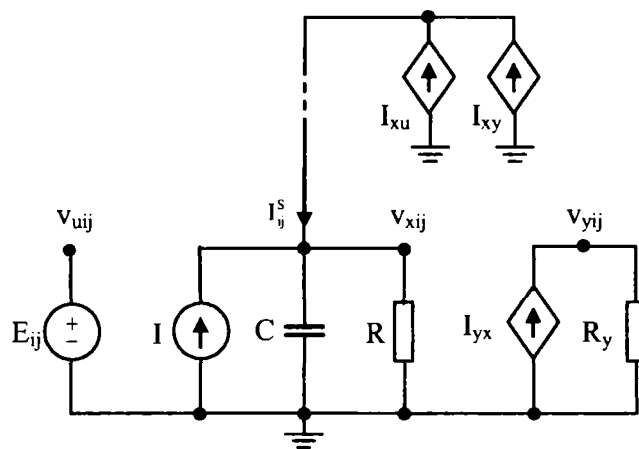


Figura 3.3. Structura circuitului electric pentru o celulă  $C(i,j)$ .

După cum se observă și din figură, elementele de circuit aferente unei celule sunt:

- sursa de tensiune independentă  $E_{ij} = V_{uij}$ , ce constituie mărimea de intrare pentru celulă;
- sursa de curent continuu independentă  $I$ , reprezentând polarizarea;
- sursele liniare de curent comandate în tensiune:  $I_{xu}$ ,  $I_{xy}$  și  $I_{yx}$ ;
- rezistențele  $R$ ,  $R_y$  și condensatorul  $C$ , identice pentru fiecare celulă.

Cele trei tensiuni care caracterizează starea celulei  $C(i,j)$  sunt:

- tensiunea de intrare  $V_{uij}$ ;
- tensiunea de stare  $V_{xij}$ ;
- tensiunea de ieșire  $V_{yij}$ .

Curentul  $I_{ij}^s$  este furnizat de către sursele de curent  $I_{xy}$  și  $I_{xu}$ , care sunt comandate cu tensiunile de ieșire  $V_{ykl}$ , respectiv cu tensiunile de intrare  $V_{ukl}$  ale celulelor  $C(k,l)$  aflate în sfera de influență  $S_r(i,j)$  a celulei  $C(i,j)$ . Astfel pot fi scrise relațiile 3.2, 3.3 și 3.4.

$$I_{xy} = \sum_{\substack{k,l \in S_r(i,j) \\ k,l \neq 0,0}} a_{kl} V_{ykl} \quad (3.2)$$

$$I_{xu} = \sum_{\substack{k,l \in S_c(i,j) \\ k,l \neq 0,0}} b_{kl} V_{ukl} \quad (3.3)$$

$$I_{ij}^s = I_{xy} + I_{xu} = \sum_{\substack{k,l \in S_c(i,j) \\ k,l \neq 0,0}} a_{kl} V_{ykl} + \sum_{\substack{k,l \in S_c(i,j) \\ k,l \neq 0,0}} b_{kl} V_{ukl} = A(i,j;k,l)V_{ukl} + B(i,j;k,l)V_{ykl} \quad (3.4)$$

unde  $a_{kl}$  și  $b_{kl}$  sunt operatorii sinaptici ai celulei  $C(i,j)$ .

$A(i,j;k,l)$  poartă denumirea de operator de reacție iar  $B(i,j;k,l)$  operator de comandă.

Sursa de curent de la ieșirea celulei  $C(i,j)$ ,  $I_{yx}$  este comandată de tensiunea de stare a celulei  $V_{xij}$  și are valoarea curentului dată de relația 3.5.

$$I_{yx} = \frac{1}{R_y} f(V_{xij}), \quad (3.5)$$

unde funcția  $f$  definește caracteristica de ieșire a celulei și este dată de funcția sigmoid (relația 3.6) aproximată liniar pe porțiuni.

$$f(v) = \frac{1}{2} [|v + 1| - |v - 1|]. \quad (3.6)$$

Reprezentarea grafică a funcției  $f(v)$  este arătată în Figura 3.4.

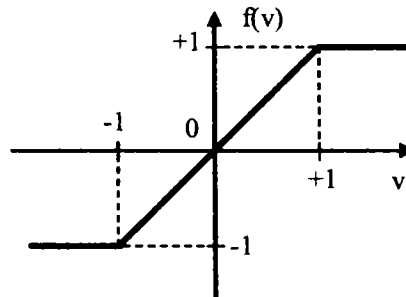


Figura 3.4. Caracteristica de transfer  $f(v)$  ce caracterizează ieșirea unei celule.

Se observă că operațiile de procesare, pe care le realizează o rețea neuronală celulară, sunt determinate de operatorii  $A(i,j;k,l)$ ,  $B(i,j;k,l)$  și curentul  $I$ , care împreună formează un așa zis template CNN, având semnificația unor matrice de pondere sau de conexiune.

### 3.4. Rețeaua neuronală celulară standard

Starea fiecărei celule  $C(i,j)$  din rețea, a cărei structură internă a fost prezentată în Figura 3.3, evoluează conform următoarelor relații [59]:

- ecuația de stare (ecuație diferențială ordinară neliniară)

$$C \frac{dv_{xij}(t)}{dt} = -\frac{1}{R_x} v_{xij}(t) + \sum_{C(k,l) \in S_r(i,j)} A(i, j; k, l) v_{ykl}(t) + \sum_{C(k,l) \in S_r(i,j)} B(i, j; k, l) v_{ukl}(t) + I \quad (3.7)$$

- ecuația de intrare

$$v_{uij} = E_{ij} \quad (3.8)$$

- ecuația de ieșire

$$v_{yij}(t) = \frac{1}{2} \left[ |v_{xij}(t) + 1| - |v_{xij}(t) - 1| \right] \quad (3.9)$$

- condiții inițiale

$$|v_{xij}(0)| \leq 1 \quad \text{și} \quad |v_{uij}(t)| \leq 1 \quad (3.10)$$

$A(i, j; k, l) = A(k, l; i, j)$ ;  $C > 0$  și  $R > 0$ ,

pentru  $1 \leq i, k \leq M$  și  $1 \leq j, l \leq N$  cu  $C(k, l) \in S_r(i, j)$ .

Având în vedere relațiile de mai sus, se pot face următoarele observații:

- există posibilitatea implementării VLSI a unor astfel de rețele neuronale celulare prin alegerea unor valori convenabile, din punct de vedere tehnologic, pentru elementele de circuit  $R$ ,  $R_y$  și  $C$ ;
- circuitul electric al unei celule are constanta de timp a regimului tranzitoriu:  $\tau_{CNN} = C \times R$ .
- tensiunea de stare pentru orice celulă și în orice moment pe durata regimului tranzitoriu este limitată astfel [49]:

$$|v_{ij}(t)|_{\max} = V_{\max} = 1 + R_x I + R_x \max_{C(k,l) \in S_r(i,j)} \left[ \sum \{ |A(i, j; k, l)| + |B(i, j; k, l)| \} \right]; \quad (3.11)$$

- rețeaua neuronală celulară având o structură bidimensională poate fi asociată cu o imagine, fiecare celulă corespunzând unui pixel din imagine. De asemenea, pot fi asociate imagini corespunzătoare stării rețelei (*STATE*), intrării (*INPUT*) și respectiv ieșirii (*OUTPUT*).

Tinând cont de relațiile 3.10, valorile elementelor de imagine sunt asociate astfel: în cazul unei imagini binare, pentru nivelul de alb valoarea  $-1$  și valoarea  $+1$  pentru nivelul de negru al unui pixel, iar la o imagine cu niveluri de gri (*gray-scale*) pentru nivelul pixelilor de la alb spre negru domeniul de valori  $[-1, +1]$  (domeniul valorilor CNN standard).

Pentru simplificarea descrierii rețelelor neuronale celulare se utilizează de multe ori forma normalizată în care  $R$ ,  $R_y$  și  $C$  au valori unitare. Astfel, forma simplificată a expresiei matematice prezentată în relația 3.7, ce descrie evoluția în timp a stării rețelei neuronale celulare, este dată de relația 3.12.

$$\dot{x} = \frac{dx_{ij}}{dt} = -x_{ij} + \sum_{C_{kl} \in S_r} A_{ij,kl} y_{kl} + \sum_{C_{kl} \in S_r} B_{ij,kl} u_{kl} + z_{ij} \quad (3.12)$$

În același timp, ecuația care exprimă mărimea de ieșire a unei celule va avea forma din relația 3.13, iar condițiile inițiale sunt exprimate de relația 3.14.

$$y_{ij} = f(x_{ij}) = \frac{1}{2} \left[ |x_{ij} + 1| - |x_{ij} - 1| \right] \quad (3.13)$$

$$|x_{ij}(0)| \leq 1 \quad \text{și} \quad |u_{ij}(t)| \leq 1, \quad (3.14)$$

unde  $u_{ij}$  reprezintă intrarea,  $x_{ij}$  reprezintă starea, iar  $y_{ij}$  reprezintă ieșirea celulei  $C_{ij}$ .

Operatorul de reacție (*feedback template*) s-a notat cu  $A_{ij,kl}$ ,  $B_{ij,kl}$  reprezintă operatorul de comandă (*feedforward template*), iar  $z_{ij}$  semnifică polarizarea (desemnată prin termenii din limba engleză *threshold*, *bias* sau *current*). Celulele  $C_{kl}$  sunt din sfera de influență de rază  $r$  a celulei  $C_{ij}$ , adică  $C_{kl} \in S_r$ .

În cursul unei operații de procesare CNN, starea și ieșirea variază în timp, pe când intrarea rămâne nemodificată.

### 3.4.1. Rețea neuronală celulară invariantă în spațiu

O rețea neuronală celulară este invariantă în spațiu sau izotropică dacă operatorii  $A_{ij,kl}$ ,  $B_{ij,kl}$ ,  $z_{ij}$  nu depind de indicii  $(i,j)$ .

În acest caz:

$$\sum_{C_{kl} \in S_r} A_{ij,kl} y_{kl} = \sum_{|k-i| \leq r} \sum_{|l-j| \leq r} A_{k-i, l-j} y_{kl} \quad (3.15)$$

$$\sum_{C_{kl} \in S_r} B_{ij,kl} u_{kl} = \sum_{|k-i| \leq r} \sum_{|l-j| \leq r} B_{k-i, l-j} u_{kl} \quad (3.16)$$

$$z_{ij} = z. \quad (3.17)$$

Mărimile  $A_{ij,kl}$ ,  $B_{ij,kl}$  și  $z_{ij}$  vor fi considerate invariante în spațiu și timp în toate cazurile, dacă nu se va specifica altfel.

Template-urile frecvent utilizate în rețelele neuronale celulare, respectiv operatorii din cadrul unui template pot fi de mai multe tipuri, după cum urmează [60]:

- **operator liniar de reacție**  $A_{ij,kl}$  cu elemente constante din mulțimea numerelor reale,  $a_{kl} \in \mathbf{R}$ .
- **operator liniar de comandă**  $B_{ij,kl}$  cu elemente constante din mulțimea numerelor reale,  $b_{kl} \in \mathbf{R}$ .
- operator neliniar de reacție  $A_{ij,kl}$  pentru care:

$$\begin{aligned} A_{ij,kl} y_{kl} &= a(y_{ij}), && \text{- funcție de valoarea de la ieșire a celulelor, } y_{ij}, \\ A_{ij,kl} y_{kl} &= a(y_{kl}), && \text{- funcție de valoarea de la ieșirea celulelor, } y_{kl}, \\ A_{ij,kl} y_{kl} &= a(y_{ij} \oplus y_{kl}), && \text{- funcție de combinațiile valorilor de ieșire a celulelor, } \\ & y_{ij}, y_{kl}, && \text{unde "}\oplus\text{" poate reprezenta operația de adunare, scădere sau produs.} \end{aligned}$$

- operator neliniar de comandă  $B_{ij,kl}$  pentru care:

$B_{ij,kl}u_{kl} = b(u_{ij})$ , - funcție de valoarea de la intrarea celulelor,  $u_{ij}$ ,  
 $B_{ij,kl}u_{kl} = b(u_{kl})$ , - funcție de valoarea de la intrarea celulelor,  $u_{kl}$ ,  
 $B_{ij,kl}u_{kl} = b(u_{ij} \oplus u_{kl})$ , - funcție de combinațiile valorilor de intrare a celulelor,  $u_{ij}$ ,  $u_{kl}$ , unde " $\oplus$ " poate reprezenta operația de adunare, scădere, sau produs.

### 3.5. Rețeaua neuronală celulară standard cu operatori de dimensiune 3x3

În cadrul unei rețele neuronale celulare cu operatori de dimensiune 3x3, o celulă  $C(i,j)$  are stabilite conexiuni cu celulele din sfera ei de influență de rangul  $r = 1$ ,  $S_1(i,j)$ . În Figura 3.5 sunt prezentate interconexiunile cu aceste celule.

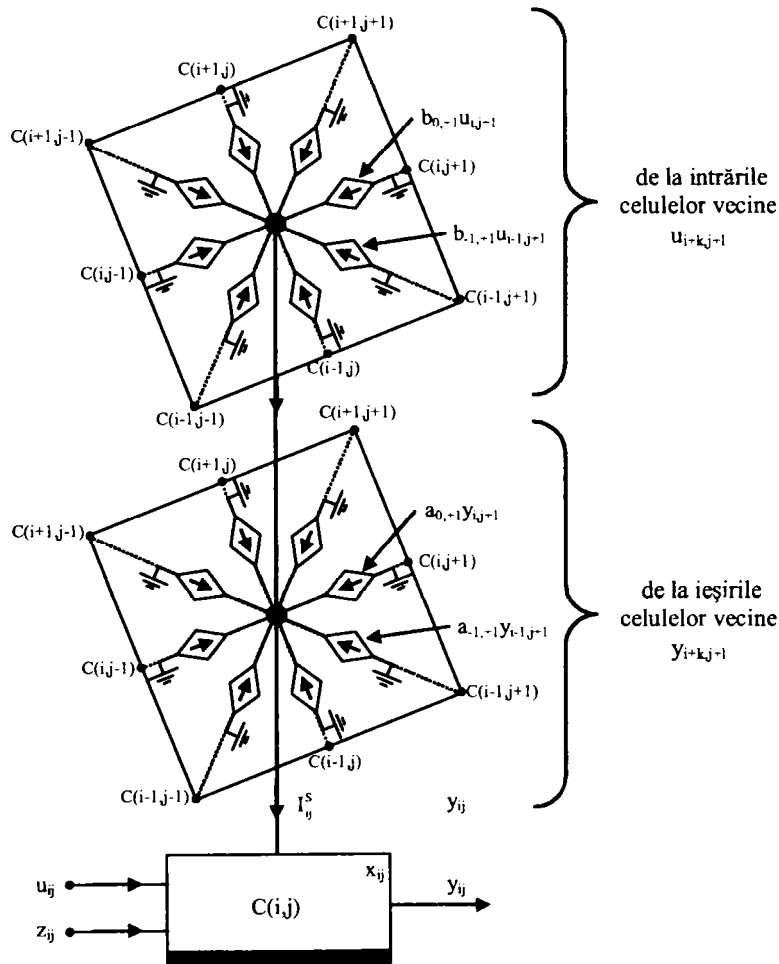


Figura 3.5. Conexiunile celulei  $C(i,j)$ , în cadrul rețelei neuronale celulare standard cu operatori de dimensiune 3x3.

O celulă CNN de bază sau standard  $C(i,j)$ , este caracterizată de vectorul de stare  $x_{ij}$ , intrarea  $u_{ij}$ , pragul  $z_{ij}$ , ieșirea  $y_{ij}$  și curentul de intrare de la celulele vecine  $I_{ij}^s$ . Acest curent depinde de intrarea  $u_{i+k,j+l}(t)$  și starea  $x_{i+k,j+l}(t)$  tuturor celulelor aflate în sfera de influență  $S_1(i,j)$  a celulei  $C(i,j)$ . Contribuția de la intrarea  $u_{i+k,j+l}(t)$  a fiecărei celule  $C(i+k,j+l) \in S_1(i,j)$  este modelată printr-o sursă liniară de curent comandată  $b_{kl}u_{i+k,j+l}(t)$  iar contribuția de la ieșirea  $y_{i+k,j+l}(t)$  a fiecărei celule  $C(i+k,j+l)$  este modelată tot printr-o sursă liniară de curent comandată  $a_{kl}y_{i+k,j+l}(t)$ . Așadar, legăturile sinaptice cu cele opt celule vecine sunt caracterizate prin curentul  $I_{ij}^s(t)$ , respectiv prin 16 coeficienți  $a_{kl}$  și  $b_{kl}$ .

Acești coeficienți sunt reprezentați de regulă, sub forma a două matrici de dimensiune  $3 \times 3$ . Astfel operatorul de reacție  $A(ij;kl)$  va avea forma din relația 3.12, iar operatorul de comandă  $B(ij;kl)$  este dat de relația 3.13.

$$A = \begin{bmatrix} a_{-1,-1} & a_{-1,0} & a_{-1,+1} \\ a_{0,-1} & a_{0,0} & a_{0,+1} \\ a_{+1,-1} & a_{+1,0} & a_{+1,+1} \end{bmatrix} \quad (3.12)$$

$$B = \begin{bmatrix} b_{-1,-1} & b_{-1,0} & b_{-1,+1} \\ b_{0,-1} & b_{0,0} & b_{0,+1} \\ b_{+1,-1} & b_{+1,0} & b_{+1,+1} \end{bmatrix} \quad (3.13)$$

Coeficienții centrali  $a_{00}$  în cazul template-ului  $A$  și  $b_{00}$  din template-ul  $B$  aparțin celulei  $C(i,j)$  corespunzând reacției inverse și directe din cadrul celulei.

După înlocuirea, în ecuația de stare, a termenilor corespunzători operatorului de reacție și operatorului de comandă se obțin relațiile 3.14 și 3.15.

$$\begin{aligned} \sum_{C_{ij} \in S_r} A_{ij,kl} y_{kl} &= \sum_{|k-i| \leq 1} \sum_{|l-j| \leq 1} A_{k-i,l-j} y_{kl} = \sum_{k=-1}^1 \sum_{l=-1}^1 a_{kl} y_{i+k,j+l} \\ &= a_{-1,-1} y_{i-1,j-1} + a_{-1,+1} y_{i-1,j+1} + a_{+1,+1} y_{i+1,j+1} + a_{+1,-1} y_{i+1,j-1} + \\ &+ a_{-1,0} y_{i-1,j} + a_{+1,0} y_{i+1,j} + a_{0,-1} y_{i,j-1} + a_{0,+1} y_{i,j+1} + a_{0,0} y_{i,j} \stackrel{\text{def}}{=} \mathbf{A} \otimes \mathbf{Y}_{ij} \end{aligned} \quad (3.14)$$

$$\begin{aligned} \sum_{C_{ij} \in S_r} B_{ij,kl} u_{kl} &= \sum_{|k-i| \leq 1} \sum_{|l-j| \leq 1} B_{k-i,l-j} u_{kl} = \sum_{k=-1}^1 \sum_{l=-1}^1 b_{kl} u_{i+k,j+l} \\ &= b_{-1,-1} u_{i-1,j-1} + b_{-1,+1} u_{i-1,j+1} + b_{+1,+1} u_{i+1,j+1} + b_{+1,-1} u_{i+1,j-1} + \\ &+ b_{-1,0} u_{i-1,j} + b_{+1,0} u_{i+1,j} + b_{0,-1} u_{i,j-1} + b_{0,+1} u_{i,j+1} + b_{0,0} u_{i,j} \stackrel{\text{def}}{=} \mathbf{B} \otimes \mathbf{U}_{ij} \end{aligned} \quad (3.15)$$

În relațiile de mai sus s-a notat cu " $\otimes$ " operația de convoluție spațială.

Prin înlocuirea sumelor de corelație în expresia ecuației diferențiale de stare, corespunzătoare unei celule, rezultă relația 3.16.

$$\dot{\mathbf{x}} = -\mathbf{x}_{ij} + \mathbf{A} \otimes \mathbf{Y}_{ij} + \mathbf{B} \otimes \mathbf{U}_{ij} + z_{ij} \quad (3.16)$$

Operația pe care o realizează o rețea neuronală celulară asupra unei imagini de intrare  $U(t_0)$  pentru obținerea unei imagini de ieșire stabilă  $Y$ , este complet definită de operatorii  $A$ ,  $B$ ,  $z$ , precizați la rândul lor prin cei 19 parametri. Aceste elemente alcătuiesc o instrucțiune elementară CNN.

În Figura 3.6 se prezintă modul în care se face procesarea semnalelor bidimensionale cu o rețea neuronală celulară standard cu operatori de dimensiune  $3 \times 3$ . Astfel, aplicând imaginea  $U$  pe intrarea rețelei și având imaginea  $X$  pe starea rețelei, prin procesarea cu operatorii  $A$ ,  $B$ ,  $z$  se obține la echilibru imaginea de ieșire a rețelei neuronale celulare, notată cu  $Y$ .

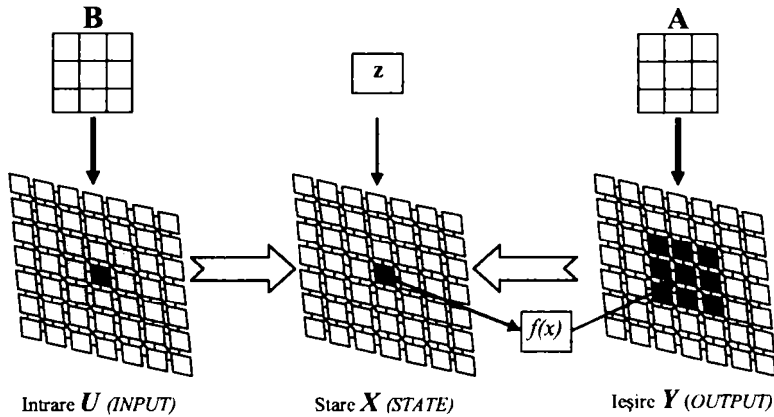


Figura 3.6. Procesarea semnalelor bidimensionale pentru o rețea neuronală celulară standard cu operatori de dimensiune  $3 \times 3$ .

### 3.6. Rețelele neuronale celulare multistrat

Cei mai mulți cercetători în domeniul CNN s-au concentrat asupra rețelelor neuronale celulare cu un singur strat, deși rețele neuronale multistrat au fost introduse odată cu cele monostrat în 1988 [49]. În cazul CNN monostrat, starea fiecărei celule evoluează conform ecuației diferențiale prezentate în relația 3.7 care poate fi denumită rețea neuronală celulară de ordinul întâi. Dacă însă, celulele CNN sunt sisteme dinamice de ordinul  $n$ , atunci structura rețelei monostrat poate fi generalizată și rescrisă ca în relația 3.17, [61].

$$F \left( \begin{array}{l} \left\{ \frac{d^n x_{ij}}{dt^n}, \left\{ \frac{d^{n-1} x_{kl}}{dt^{n-1}} \right\}_{C_{kl} \in S_{ij}}, \left\{ \frac{d^{n-2} x_{kl}}{dt^{n-2}} \right\}_{C_{kl} \in S_{ij}}, \dots, \right. \\ \left. \left\{ \frac{dx_{kl}}{dt} \right\}_{C_{kl} \in S_{ij}}, \{x_{kl}\}_{C_{kl} \in S_{ij}}, \{u_{kl}\}_{C_{kl} \in S_{ij}}, z_{ij} = 0 \right) \quad (3.17)$$

$$1 \leq i \leq M; 1 \leq j \leq N,$$

unde  $u_{ki} \in \mathbb{R}^m$  este un vector de intrare  $m$ -dimensional pentru celula  $C_{ki}$ . Această rețea poate fi denumită de ordinul  $n$  deoarece fiecare celulă din componența sa este un sistem dinamic de ordinul  $n$ . Ca și în cazul rețelei neuronale de ordinul întâi, fiecare celulă din cadrul rețelei neuronale de ordinul  $n$  este cuplată doar cu celulele situate în sfera ei de influență.

O formă larg răspândită, a rețelei de ordinul  $n$  descrisă de ecuația 3.17, poartă denumirea de rețea neuronală celulară multistrat [49]. Într-o rețea CNN având  $k$  straturi se notează celula situată pe linia  $i$  și coloana  $j$  a stratului  $p$  cu  $C_{ij}^{[p]}$ .

Ecuația de stare a unei celule CNN standard într-o rețea CNN cu  $k$  straturi și fiecare strat având  $M \times N$  celule este:

$$\dot{x}_{ij}^{[p]} = -x_{ij}^{[p]} + \sum_{q=1}^k \sum_{C_{kl} \in S_j} A_{pq}(i, j; k, l) y_{kl}^{[q]} + \sum_{q=1}^k \sum_{C_{kl} \in S_j} B_{pq}(i, j; k, l) u_{kl}^{[q]} + z_{ij}^p,$$

$$1 \leq p \leq k; 1 \leq q \leq k; 1 \leq i \leq M; 1 \leq j \leq N, \quad (3.19)$$

unde  $x_{ij}^{[p]}$  și  $u_{ij}^{[p]}$  sunt variabilele de stare respectiv de intrare ale celulei  $C_{ij}^{[p]}$ ,  $z_{ij}^p$  este pragul celulei  $C_{ij}^{[p]}$ ,  $p$  reprezintă numărul stratului iar  $q$  reprezintă numărul de ordine al stratului pe care sunt situate celule din sfera de influență a celulei  $C_{ij}^{[p]}$ .  $A_{pq}(i, j; k, l)$  și  $B_{pq}(i, j; k, l)$  sunt operatorii de reacție respectiv de comandă. Ieșirea unei celule  $C_{ij}^{[p]}$ ,  $y_{ij}^{[p]}$  este dată în general de ecuația de ieșire standard cunoscută (relația 3.20).

$$y_{ij}^{[p]} = f(x_{ij}^{[p]}) = \frac{1}{2} \left( |x_{ij}^{[p]} + 1| - |x_{ij}^{[p]} - 1| \right) \quad (3.20)$$

Ca și în cazul rețelelor bidimensionale se presupune că intrarea fiecărei celule  $u_{ij}^{[p]}$  satisface condiția:

$$u_{ij}^{[p]} \leq 1, 1 \leq p \leq k; 1 \leq i \leq M; 1 \leq j \leq N. \quad (3.21)$$

Rețeaua CNN având  $k$  straturi, prezentată în relația 3.19, este un caz special al rețelei CNN de ordinul  $k$  și are multe avantaje în proiectarea CNN de ordin superior deoarece în multe cazuri este mai ușor de înțeles funcționarea rețelelor multistrat CNN cuplate de ordinul întâi decât cea a rețelei CNN monostrat de ordin superior.

În Figura 3.7 se prezintă conexiunile pe care le are celula  $C_{2,2}^{[2]}$  în cazul unei rețele neuronale celulare cu trei straturi, total conectată, fiecare strat având  $3 \times 3$  celule.



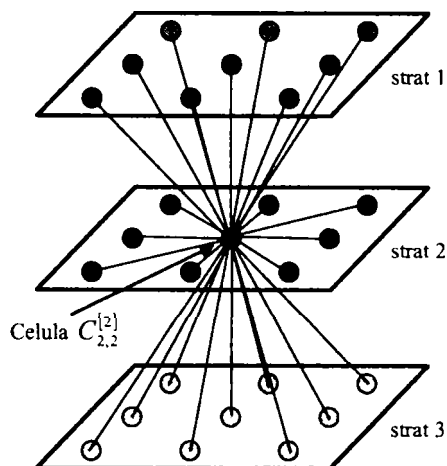


Figura 3.7. Conexiunile unei celule CNN într-o rețea neuronală celulară cu trei straturi.

### 3.7. Variante de rețele neuronale celulare

Modelul original de rețea neuronală celulară propus în [49], a fost generalizat în mai multe variante, pentru a îmbunătăți capabilitățile și eficiența acestora. Astfel, au fost studiate:

- **CNN cu template-uri neliniare** – comportamentul nelinier este introdus prin template-uri;
- **CNN cu întârziere** – dinamica celulei depinde de valorile anterioare ale variabilelor de intrare și/sau ieșire ale celulelor vecine;
- **CNN neuniforme sau cu vecinătăți variabile spațial** – utile pentru reflectarea unor caracteristici întâlnite la sistemele biologice sau vizuale;
- **CNN discrete în timp (DTCNN)** – pentru fiecare secvență de timp se obține o stare stabilă la ieșire, ceea ce simplifică simularea pe calculator a comportării rețelei.

Ecuția dinamică de bază a rețelelor neuronale celulare discrete în timp [62], este dată de relația:

$$x_{ij}[t+1] = \sum_{k,l \in S_r(i,j)} (a_{k-i,l-j} f(x_{kl}[t]) + b_{k-i,l-j} u_{kl}[t]) + I, \quad (3.22)$$

unde  $x_{ij}[t+1]$  reprezintă starea celulei  $C_{ij}$  la momentul  $t+1$ .

#### 3.7.1. Rețele neuronale celulare cu intrare optică

Principalul motiv, pentru găsirea de soluții în procesarea cantităților mari de date, îl constituie necesitatea depășirii problemelor de transmitere a datelor între sistemele situate în lanțul de prelucrare. Astfel, incorporarea unor circuite electronice de preprocesare la nivelul senzorilor, în sistemele de procesare a imaginilor cu CNN, [63],[64] determină reducerea volumului de date furnizat de aria senzorială și prin urmare crește rata de transmisie a datelor. În acest sens, cip-urile CNN cu intrare optică directă au o celulă de calcul analogic la nivelul fiecărui punct

senzorial și astfel prin combinarea funcțiilor senzoriale și de procesare se obține o viteză mare de operare și în același timp o arie mică ocupată de circuit.

Fiecare unitate (*smart-pixel*) reprezintă un senzor pentru un pixel din imaginea de intrare și interacționează în același timp cu celelalte unități din vecinătatea sa, realizând deci sarcini de procesare paralelă asupra imaginii (Figura 3.8), [65]. În acest fel, calea dintre aria senzorială și aria de procesare este eliminată, iar în acele aplicații ce necesită o procesare ulterioară, cantitatea de date transmisă către procesorul extern este redusă semnificativ. Cipurile CNN de acest tip sunt foarte utile în aplicațiile de recunoaștere a tiparelor, în care recunoașterea diverselor trăsături din imagini este esențială.

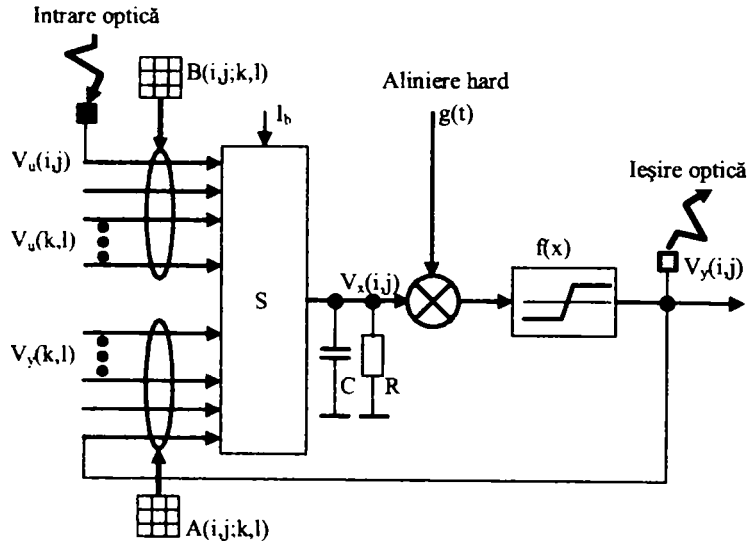


Figura 3.8. Structura unei celule CNN cu intrare optică (smart pixel).

Deoarece semnalele luminoase sunt în mod intrinsec pozitive, ecuația dată de relația 3.12 trebuie modificată astfel încât să fie implicate doar semnale unipolare. Astfel, se poate scrie forma simplificată pentru ecuația de stare a unei celule \$c\$ dintr-o rețea neuronală celulară cu intrare optică denumită și PSFR-CNN (**Positive-Signal Full-Range**):

$$\tau \frac{dx^c}{dt} = g(t) + I_b + \sum_{d \in S_c(c)} \{A_d^c x^d + B_d^c u^d\}, \quad (3.23)$$

unde \$x^c\$ reprezintă starea celulei \$c\$ iar \$x^d\$ și \$u^d\$ semnifică starea respectiv intrarea corespunzătoare celulelor \$d\$ situate în sfera de influență a celulei \$c\$.

Ecuția de ieșire a celulei \$c\$ la un moment de timp \$m + 1\$ este dată de relația 3.24.

$$y^c(m+1) = f_o(x^c(m+1)), \quad (3.24)$$

unde funcția \$f\_o\$ este funcția sigmoid unipolară. Graficul funcției \$f\_o(x)\$ este prezentat în Figura 3.9.

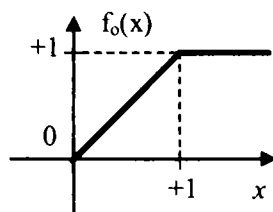


Figura 3.9. Caracteristica de transfer a funcției  $f_o(x)$ .

O aplicație tipică pentru care au fost realizate astfel de cipuri CNN este detecția componentei verticale și orizontale a unui obiect dintr-o imagine [64]. Astfel, în imaginea de ieșire se obține o linie verticală sau orizontală având lungimea obținută prin scanarea obiectului pe direcția respectivă.

În Figura 3.10 se prezintă modul de captare și procesare a unei imagini utilizând un cip CNN cu intrare optică:

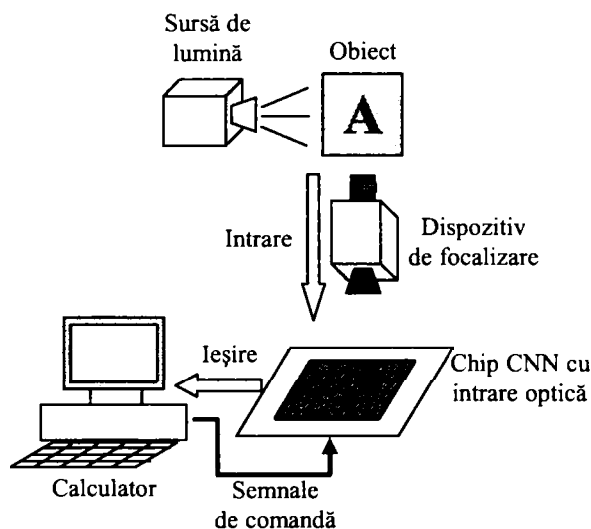


Figura 3.10. Captarea și procesarea unei imagini cu un cip CNN cu intrare optică.

În Tabelul 3.1 se prezintă comparativ caracteristicile tehnice pentru două cipuri CNN cu intrare optică, având dimensiuni  $16 \times 16$  celule și respectiv  $32 \times 32$  de celule, utilizate pentru detecția componentelor verticale și orizontale ale obiectelor din imagini.

### 3.8. Implementarea și simularea rețelelor neuronale celulare

Pe plan mondial se manifestă un interes deosebit cu privire la cercetarea în domeniul rețelelor neuronale celulare, mai ales datorită faptului că acestea pot fi implementate în tehnologie VLSI [66],[67]. Astfel a apărut și calculatorul universal CNN (**CNN-UM** - **CNN Universal Machine** [68]), pentru care au fost realizate medii de dezvoltare și simulare.

Dimensiune cip / Caracteristici	16x16 celule	32x32 celule
Dimensiuni	2,7 x 2,7 mm	5 x 5,8 mm
Nr. tranzistori (aprox.)	$2 \times 10^4$	$8 \times 10^4$
Tensiune de alimentare	5 V	5 V
Putere disipată	100 mW	380 mW
Frecvența de tact	4 Mhz	10 Mhz
Timp total de procesare	8 $\mu$ s	28,8 $\mu$ s
Frecvența de tact	4 Mhz	10 Mhz

Tabelul 3.1. Caracteristicile tehnice pentru două cip-uri CNN cu intrare optică.

### 3.8.1. Calculatorul universal CNN

La baza calculatorului universal CNN stă procesorul analogic sau chipul CNN. Procesorul realizează operații analogice, pe baza unui program format din instrucțiuni analogice și logice, adică prin calcul dual. Semnalele cu care lucrează procesorul analogic pot fi analogice și numerice și la fel și template-urile utilizate pot realiza funcții analogice sau operații logice. Un program CNN analogic conține algoritmi care se realizează atât secvențial cât și paralel. CNN-UM este primul calculator analogic programabil, cu limbaj de programare și sistem de operare, care, pe un singur chip, are puterea de calcul a unui supercomputer. În Figura 3.11 este prezentată structura unui calculator universal CNN.

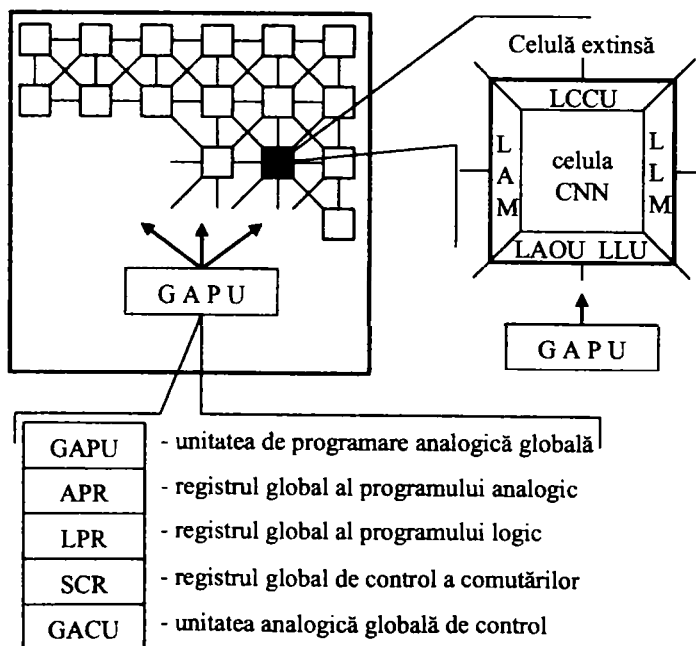


Figura 3.11. Structura calculatorului universal CNN-UM.

Comanda, în ansamblu, a procesorului este realizată de către unitatea de programare analogică globală (**GAPU - Global Analogic Programming Unit**). Această unitate conține registrul global al programului analogic cu template-uri (**APR - Global Analog Program Register**) și registrul global cu instrucțiuni logice (**LPR - Global Logic Program Register**). Realizarea corectă a interacțiunilor între celulele rețelei se obține cu ajutorul unui registru de configurare, care comandă conexiunile locale (**SCR - Switch Configuration Register**). Unitatea globală de control analogic (**GACU - Global Analogic Control Unit**) conține programul de comandă a instrucțiunilor analogice în cod mașină. Acest program este rezultatul unei compilări a unui program analogic de nivel înalt sau a unui interpretor. O celulă extinsă conține, în afară de elementele specifice celulei propriu-zise și alte elemente cum sunt: unitatea logică locală (**LLU - Local Logic Unit**), unitatea locală analogică de ieșire (**LAOU - Local Analog Output Unit**), unitate locală de memorie analogică cu mai multe elemente de memorie analogică locală (**LAM - Local Analogic Memory**), memorie logică locală (**LLM - Local Logic Memory**) și unitate locală de comandă și comunicare a celulei (**LCCU - Local Communication and Control Unit**).

CNN-UM execută programe bazate pe algoritmi analogici, prin instrucțiuni cu template-uri analogice și operații logice (în cazul în care sunt procesate imagini binare). Pentru execuția unor astfel de programe este nevoie de imaginea originală, de imagini cu rezultate parțiale, de memorarea unor template-uri logice și analogice.

Memoriile analogice locale (LAM) servesc la memorarea imaginilor cu niveluri de gri cum ar fi imagini de intrare, de stare sau de ieșire. Aceste memorii sunt foarte importante, deoarece existența lor asigură memorarea pe chip a imaginilor intermediare, care vor fi supuse unor prelucrări ulterioare cu alte template-uri, conform programului analogic general. Unitatea logică, cu două intrări și o ieșire, este programabilă și poate realiza o funcție logică pentru pixelii corespunzători aceleiași poziții din două imagini binare. În acest caz, nu se realizează nici o conexiune logică cu celulele vecine.

Pentru memorarea imaginilor binare se folosesc memoriile logice locale (LLM). Scrierea și citirea din memoriile LAM și LLM se poate face pentru o linie întreagă, utilizând valori analogice sau binare, astfel încât transferul pe o magistrală  $M$  dimensională a unei imagini complete  $M \times N$  se poate face în  $N$  pași; astfel, se micșorează substanțial timpul necesar pentru încărcarea și extragerea imaginilor de pe chip. Reducerea efectivă, a timpului de lucru, se realizează ca urmare a procesării paralele, specifică rețelelor neuronale celulare.

### 3.8.2. Medii de simulare a rețelelor neuronale celulare

Pentru realizarea proiectărilor, testărilor și optimizărilor în domeniul CNN au fost concepute diverse medii de dezvoltare și de simulare. În cadrul prezentei lucrări, au fost utilizate mediul de dezvoltare **CadetWin** (*CNN application development environment and toolkit under Windows* [69]) și simulatorul analogic **MatCNN** [70],[71] din mediul de programare Matlab [72].

#### 3.8.2.1. Mediul de dezvoltare CadetWin

Chipurile CNN, pentru a putea fi utilizate practic, trebuie să fie însoțite de un mediu de dezvoltare de aplicații. Mediul de dezvoltare **CadetWin** poate realiza simularea soft precum și emularea hard a rețelelor neuronale celulare.

Componentele principale ale mediului sunt:

- **Platforma VisMouse** (*CNN Visual Mouse software platform for Windows*, [73]) bazată pe concepția *visual mouse*. Această componentă este un mediu software integrat pentru proiectarea de aplicații CNN. Cu ajutorul acestei platforme se pot achiziționa, memora și vizualiza imaginile, înainte și după prelucrarea cu CNN. De pe această platformă se pot accesa și alte mijloace software ale mediului de dezvoltare **CadetWin**.
- **TemMaster** (*Template design and optimization tool for binary input-output CNN's* [74]) este un software dedicat pentru proiectarea și optimizarea template-urilor.
- **SimCNN** (*Multi-layer CNN Simulator for visual mouse platform* [75]) este un program de simulare; cu ajutorul lui se pot testa template-uri respectiv se pot proiecta, testa și optimiza algoritmi ori subrutine spațio-temporale, care includ operații aritmetice și logice și care utilizează rețele neuronale celulare monostrat sau multistrat.
- **Editorul și compilatorul Alpha** (*CNN Alpha language and compiler* [74]) este o componentă care permite editarea și compilarea programelor într-un limbaj de nivel înalt, specific CNN.
- **Editorul și interpretorul în limbaj de asamblare AMC** (*Extended Analogic Macro Code and interpreter* [77]).
- **Editor și interpretor de programe pseudocod Script** [76].
- **Interfața CPS** (*CNN Chip Prototyping System* [78]), dintre calculator și platforma cu chip-CNN. Cu ajutorul acestei interfețe se poate conecta și aborda în mod unitar oricare platformă cu chip-CNN nou, în vederea testării și perfecționării ei. Utilizând platforma CPS (adică o implementare CNN hard) timpul de prelucrare a semnalelor, pe baza programelor AMC, este mult mai scurt decât în cazul simulării soft. Acest lucru se datorează pe de o parte faptului că instrucțiunile AMC, care utilizează template-uri, sunt efectuate chiar pe chip-ul CNN, iar instrucțiunile logice se efectuează direct pe platforma CPS, cu ajutorul procesoarelor numerice pe care aceasta le conține.
- **Biblioteci software de template-uri și algoritmi** (*CNN templates and algorithms software library*), facilitează programarea în mediul CNN și se dezvoltă continuu pe baza rezultatelor cercetărilor în domeniul CNN din întreaga lume [79].

Prin utilizarea mediului de dezvoltare **CadetWin** se pot realiza programe și algoritmi CNN în limbaj de nivel înalt specific **Alpha** sau în limbaj de asamblare **AMC**. Aceste programe sunt unitare și compatibile sub aspectul rulării în mediul **CadetWin**, atât pe mijloacele de simulare software sau emulare hardware cât și pe cipul CNN analogic.

În Figura 3.12 se prezintă etapele de realizare ale unui algoritm analogic, de la proiectare până la simulare soft, emulare hardware respectiv testare direct pe un chip CNN [80].

### 3.8.2.2. Simulatorul analogic MatCNN

Pentru simularea rețelelor neuronale celulare se poate utiliza și mediul MATLAB [72], pentru care a fost elaborat un *toolbox* specific (Matcnn), ce poate fi utilizat atât pentru rețele neuronale celulare analogice cât și pentru rețele neuronale celulare discrete în timp (DTCNN) [62].

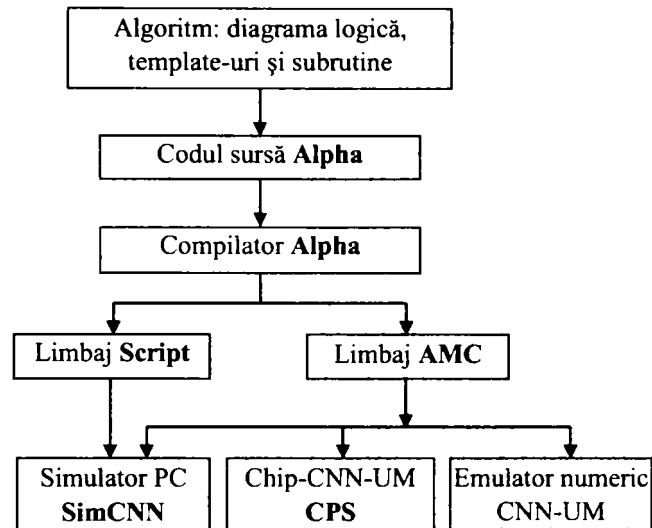


Figura 3.12. Etapele de elaborare și testare ale unui algoritm analogic CNN.

**MatCNN** [70],[71] este, de fapt, o colecție de funcții și scripturi care permit simularea și testarea rețelelor neuronale celulare cu un singur strat. El a fost conceput pe suportul matematic și de vizualizare oferit de mediul Matlab și poate fi utilizat ca orice alt *toolbox* din acest mediu complex.

În biblioteca **MatCNN** sunt incluși o serie de template-uri liniare și neliniare, utili pentru prelucrarea imaginilor. Aceștia pot fi modificați în funcție de cerințele aplicației sau pot fi adăugați noi template-uri.

Intrarea în mediul de simulare **MatCNN** se realizează cu ajutorul instrucțiunii **SetEnv**. Prelucrarea diverselor tipuri de imagini cu **MatCNN** presupune întâi conversia acestora astfel încât valorile pixelilor să fie în domeniul standard CNN. Astfel, pentru conversia imaginilor în /și din standardul CNN pot fi utilizate funcțiile [81]:

- **cnn2gray** - convertește o imagine CNN într-o imagine cu nivele de gri;
- **gray2cnn** - convertește o imagine cu nivele de gri într-o imagine CNN;
- **lbmp2cnn** - încarcă o imagine de tip BMP de pe disc și o convertește într-o imagine CNN;
- **scnn2bmp** - salvează pe disc, în format BMP o imagine CNN;
- **lavi2cnn** - încarcă o imagine dintr-un fișier de tip AVI și o convertește într-o imagine CNN;
- **scnn2avi** - salvează pe disc, sub forma unui cadru de imagine de tip AVI o imagine de tip CNN.

Principalele variabile corespunzătoare imaginilor asociate modelului de rețea neuronală celulară utilizat în **MatCNN** [82], sunt:

- **INPUT1** - **U** sau **U<sub>1</sub>** (imaginea de intrare a rețelei)
- **INPUT2** - **U<sub>2</sub>** (imagine de intrare secundară)
- **STATE** - **X** (imaginea de stare)
- **OUTPUT** - **Y** (imaginea de ieșire a rețelei)
- **BIAS** - **B** (imaginea de polarizare (*bias map*))
- **MASK** - **M** (imaginea mască).

O altă categorie de variabile globale sunt cele care se impun a fi inițializate de către utilizator (înainte de efectuarea simulării propriu-zise) [82]. Acestea sunt:

- **UseMask** - validează ( $\text{UseMask} = 1$ ) sau invalidează ( $\text{UseMask} = 0$ ) utilizarea imaginii mască **M**; valoarea implicită este  $\text{UseMask} = 0$ ;
- **UseBiasMap** - validează ( $\text{UseBiasMap} = 1$ ) sau invalidează ( $\text{UseBiasMap} = 0$ ) utilizarea imaginii de polarizare **B**; valoarea implicită este  $\text{UseBiasMap} = 0$ ;
- **Boundary** - variabila prin care se specifică condițiile de frontieră; poate fi o constantă în intervalul  $-1 \leq \text{Boundary} \leq 1$ , zeroflux ( $\text{Boundary} = 2$ ), torus ( $\text{Boundary} = 3$ ); valoarea implicită este  $\text{Boundary} = 2$ ;
- **TemGroup** - permite precizarea bibliotecii din care vor fi extrași template-urile folosite în program; valoarea implicită este  $\text{TemLib}$ ;
- **TimeStep** - specifică intervalul dintre două momente discrete de timp la care au loc două iterații succesive; are valoarea implicită  $\text{TimeStep} = 2$ ;
- **IterNum** - precizează numărul de iterații care au loc în cazul unei simulări; are valoarea implicită  $\text{IterNum} = 25$ .

Pentru afișarea variabilelor implicate în program sunt disponibile instrucțiunile:

- **showenv** - afișează toate variabilele globale ale mediului CNN;
- **showtem** - afișează elementele template-ului actual "încărcat" în mediul CNN;
- **cnnshow** - afișează imaginile CNN (ex. pentru afișarea imaginii de ieșire a rețelei se utilizează instrucțiunea: `cnnshow(OUTPUT)`).

Simularea unei aplicații, cu simulatorul **MatCNN**, se realizează prin parcurgerea principalelor etape prezentate în organigrama din Figura 3.13.

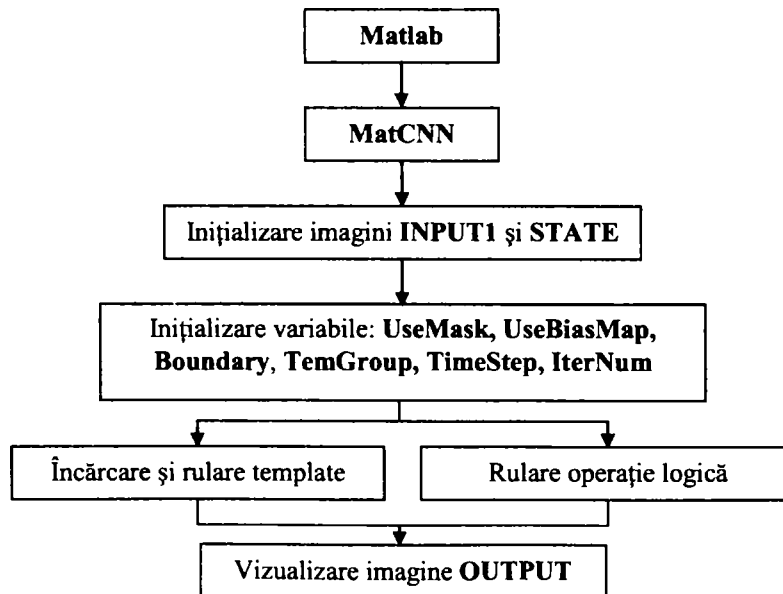


Figura 3.13. Principalele etape de realizare a unei simulări cu MatCNN.



### 3.8.3. Circuite integrate CNN

În scurta perioadă de timp de când au fost propuse pentru prima oară rețelele neuronale celulare, în laboratoarele de cercetare din întreaga lume s-au proiectat și realizat o serie prototipuri de cipuri CNN analogice [66],[67],[83],[84], și circuite de emulare numerice [85].

Circuitul CNN **cP 400** [66] este primul procesor analogic care prezintă caracteristicile specifice unui calculator CNN-UM. Cu ajutorul lui putea fi executat un program analogic, care include operații analogice și logice asupra unor imagini binare din memoria locală. Acest circuit are următoarele caracteristici:

- rețeaua neuronală este formată din 20×22 de celule;
- procesează imagini binare cu valori standard CNN, adică valoarea -1 pentru nivelul de alb și +1 pentru nivelul de negru;
- ecuația de stare care caracterizează funcționarea unei celule este dată de relația 3.25:

$$\frac{dx^c}{dt} = -g(x^c) + \sum A_d x^d + \sum B_d u^d + D_A + D_B, \quad (3.25)$$

unde  $x^c$  și  $u^c$  reprezintă starea respectiv intrarea celulei  $c$ , iar  $x^d$  și  $u^d$  semnifică starea respectiv intrarea corespunzătoare unei celule  $d$  din rețea, situată în vecinătatea sa. Variabilele  $D_A$  și  $D_B$  precum și polarizările, sunt codate pe 8 biți, dintre care unul este pentru semn;

- caracteristica funcției de transfer neliniare  $g(x)$  este prezentată în Figura 3.14;
- la o procesare elementară, în condiții optime, constanta de timp caracteristică sau timpul de stabilizare pentru o celulă este  $\tau_{CNN} = 250$  ns;
- se pot memora local cel mult 4 imagini binare, care pot fi imagini de intrare de la senzorul optic sau de pe platformă, ori imagini de ieșire rezultate în urma unor prelucrări anterioare. La achiziția imaginilor pragul de binarizare este reglabil;
- pot fi memorate local cel mult 8 template-uri ( $A$ ,  $B$ ,  $z$ ), cu cel mult 20 de elemente reprezentate fiecare, pe câte 8 biți. Dimensiunea unui operator este de 3×3. Valorile elementelor nu pot depăși în modul valoarea 3, în cazul operatorilor de tip  $A$  și  $B$ , iar în cazul curentului această valoare limită este 6.

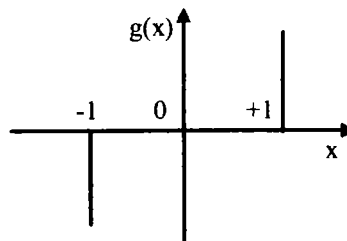


Figura 3.14. Caracteristica de transfer  $g(x)$ .

Mai târziu a apărut circuitul analogic CNN **cP 4000** [83]. Cele mai semnificative proprietăți ale acestui circuit sunt următoarele:

- rețeaua este formată din  $64 \times 64$  de celule;
- utilizează imagini cu niveluri de gri și imagini binare cu valori standard CNN, (adică este atribuit domeniul de valori  $[-1,1]$  pentru nivelurile situate între alb și negru);
- pot fi memorate pe chip 32 de template-uri ( $A, B, z$ );
- poate memora local în LAM cel mult 4 imagini cu niveluri de gri precum și alte 4 imagini binare în LLM;
- prezintă facilitatea utilizării imaginii mască binară.

Procesorul analogic CNN cu intrare optică, denumit și microprocesor vizual, **ACE16k** este descris în [67]. Acesta este compus din  $128 \times 128$  de celule și încorporează toate circuitele necesare funcționării unui microprocesor (circuite de comandă, generator de tact – 32 MHz, memorie internă, etc.) precum și o interfață digitală completă. Circuitul poate lucra în două moduri și anume în aplicații în care imaginile care trebuiesc procesate sunt achiziționate direct de către modulul optic de intrare al cip-ului și ca coprocesor de imagini, lucrând în paralel cu un sistem digital care furnizează și recepționează imaginile sub formă de semnale electrice. Pentru comunicație cu alte dispozitive, integratul folosește o magistrală de date bidirecțională de 32 de biți și mai multe magistrale de adrese.

Avantajul major al procesării paralele prin utilizarea rețelelor neuronale celulare este prezent însă numai în cazul implementării acestora pe un chip. De aceea, proiectarea și realizarea de chipuri CNN cât mai performante este o direcție de cercetare pentru care se depun în continuare eforturi umane și materiale substanțiale.

### 3.9. Concluzii

Diferența esențială care există între o rețea neuronală celulară și alte rețele neuronale este că interconexiunile dintre celule sunt în principal locale și astfel este minimizată aria câmpului ocupat de firele de conexiune. Din acest motiv, rețelele neuronale celulare pot fi ușor implementate folosind tehnologia VLSI actuală.

Fiecare celulă poate interacționa în mod direct doar cu celulele adiacente sau cu celulele aflate într-o anumită vecinătate, iar celulele neconectate în mod direct comunică pe baza efectului de propagare a interacțiunilor locale respectiv dinamicii continue a rețelelor neuronale celulare. Astfel, cu toate că interconectările dintre celule sunt numai locale, se constată că utilizând rețele neuronale celulare pot fi extrase și proprietăți globale ale semnalelor procesate.

Datorită puterii lor de calcul mari, rețelele CNN sunt ideale pentru realizarea de sarcini mari consumatoare de timp cum ar fi: procesarea imaginilor, procesarea în timp real a informațiilor sau rezolvarea ecuațiilor diferențiale parțiale.

Deoarece rețeaua neuronală celulară are o structură bidimensională, poate fi asociată cu o imagine, fiecare celulă corespunzând unui pixel din imagine. De asemenea, pot fi asociate imagini corespunzătoare stării rețelei (*STATE*), intrării (*INPUT*) și respectiv ieșirii (*OUTPUT*). În cursul unei operații de procesare CNN starea și ieșirea rețelei variază în timp, pe când intrarea rămâne nemodificată.

Operația pe care o realizează o rețea neuronală celulară asupra unei imagini de intrare  $U(t_0)$  pentru obținerea unei imagini de ieșire stabilă  $Y$ , este complet definită de operatorii  $A, B, z$ , precizați la rândul lor prin cei 19 parametri (un

template complet). Aceste elemente (template-ul și imaginile) alcătuiesc o instrucțiune elementară CNN.

Prin incorporarea unor circuite electronice de preprocesare la nivelul senzorilor, în sistemele de procesare a imaginilor cu CNN, se obține reducerea volumului de date furnizat de aria senzorială și prin urmare crește rata de transmisie a datelor. În acest sens, cip-urile CNN cu intrare optică directă au o celulă de calcul analogic la nivelul fiecărui punct senzorial (*smart-pixel*) și astfel prin combinarea funcțiilor de senzor și de procesare se obține o viteză mare de operare și în același timp o arie mică ocupată de circuit. Cipurile CNN de acest tip sunt foarte utile în aplicațiile de recunoaștere a tiparelor, în care recunoașterea diverselor trăsături din imagini este esențială.

# 4. PLANIFICAREA TRAIECTORIEI ROBOȚILOR MOBILI PRIN PROCESĂRI CNN

## 4.1. Noțiuni introductive

O temă importantă de cercetare în domeniul roboților mobili, o constituie proiectarea sistemului de planificare a traiectoriei. Un astfel de sistem trebuie să-i furnizeze robotului traiectoria optimă posibilă pentru deplasarea lui de la o poziție inițială la o poziție țintă, evitând obstacolele care sunt localizate între aceste două poziții. Dacă se ia în calcul că obstacolele precum și ținta pot fi în mișcare [86], și că obstacolele pot avea diverse forme, este evident că nu e o problemă ușor de rezolvat.

Planificarea traiectoriei unui robot mobil presupune întâi de toate cunoașterea mediului de lucru cu obstacole. Perceperea mediului se poate face *off-line* pe baza unor hărți cunoscute apriori sau *on-line* (în timpul deplasării robotului) cu ajutorul senzorilor. Senzorii cei mai utilizați pentru navigația roboților mobili sunt: senzorii optici (camerele video) și senzorii de proximitate (senzorii laser, în infraroșu și ultrasonici). Imaginile mediului, captate cu o cameră video, constituie de departe, cea mai bogată sursă de informații cu privire la structura mediului de lucru, comparativ cu senzorii de proximitate. Utilizarea camerei video la navigația roboților mobili presupune procesarea unei cantități mari de informație care consumă timp și poate duce în final la o viteză de navigare scăzută.

Prin utilizarea rețelelor neuronale celulare (CNN) [49],[50],[68], a căror timp de procesare a semnalelor este foarte mic, se poate obține o creștere a vitezei de deplasare pentru roboții mobili și se pot elimina unele dezavantaje mai ales în cazul metodei globale. Din acest motiv, rețele neuronale celulare sunt considerate o soluție promițătoare pentru procesarea imaginilor în scopul ghidării roboților mobili autonomi [87],[88],[89],[90],[91],[92]. Alegerea acestor rețele se bazează și pe posibilitatea implementării lor pe un singur cip, în tehnologia VLSI [67].

Pentru planificarea traiectoriei roboților mobili cu ajutorul rețelelor neuronale celulare, în literatura de specialitate există o multitudine de soluții [59],[87],[93],[94],[95],[96] care în general, au la bază prelucrări de imagini și de asemenea una sau ambele metode cunoscute pentru planificarea traiectoriei: metoda locală și /sau globală.

În [93] se face o corespondență între mediul de lucru al robotului și o hartă discretizată în celule pătratică. Starea fiecărei celule: ocupată, liberă sau necunoscută este obținută pe baza informațiilor furnizate de senzorii laser ai robotului. Actualizarea stării celulelor se face prin metoda probabilistică bayesiană. Modulul de planificare a traiectoriei este realizat sub forma unei rețele neuronale celulare cu două straturi pe care este implementat un algoritm de difuzie (generarea unei unde a cărui front avansează în rețea). Primul strat recepționează semnalele exterioare pe baza cărora este realizată o hartă a ocupării celulelor, respectiv neuronilor componenți. De asemenea, neuronul ce corespunde locației țintei este setat la o valoare distinctivă, iar neuronul atașat poziției robotului este activat și o

undă se va propaga prin rețea pornind din acest punct până când este atins neuronul țintă. Nivelele de activare ale celulelor sunt apoi propagate spre al doilea strat al rețelei, care realizează căutarea celei mai scurte traiectorii ce leagă poziția țintei de poziția robotului. Traiectoria planificată este apoi reprezentată ca o secvență de celule adiacente între cele două poziții.

În lucrarea [97] se prezintă un algoritm CNN bazat pe imagini, de urmărire a unui obiect în mișcare cu ajutorul unei camere video montate pe brațul unui robot ce are două grade de libertate. Între două imagini de intrare achiziționate consecutiv, prin prelucrarea complet paralelă cu rețele neuronale celulare a semnalelor bidimensionale, se asigură efectuarea tuturor procesărilor necesare în vederea funcționării în timp real a sistemului.

În acest capitol sunt propuși o serie de algoritmi de planificare pe baza imaginilor a traiectoriei roboților mobili, folosind rețele neuronale celulare. Sunt prezentate mai multe modalități de planificare, concepute de către autor, toate acestea fiind testate cu ajutorul mediului de dezvoltare **CadetWin** (*CNN application development environment and toolkit under Windows*) [69], și s-au făcut comparații între ele, mai ales în ceea ce privește timpul necesar pentru ca algoritmi să furnizeze traiectoria sau traiectoriile dorite.

## 4.2. Algoritm CNN de planificare a traiectoriei unui robot mobil

În aplicația de față, se consideră un robot mobil care se găsește într-un mediu cu obstacole statice (Figura 4.1). Acesta trebuie, ca pe baza imaginilor achiziționate cu ajutorul camerei video, să se deplaseze spre țintă pe drumul cel mai scurt ocolind obstacolele.

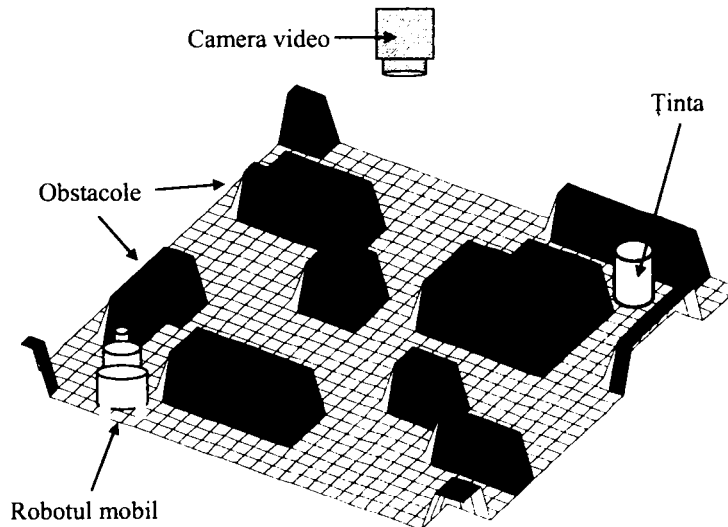


Figura 4.1. Mediul de lucru al robotului.

Pentru a putea fi prelucrate cu rețele neuronale celulare, imaginile mediului cu obstacole sunt divizate în imagini discrete având  $M \times N$  pixeli, fiind posibil în acest

fel, reprezentarea imaginii mediului printr-o rețea neuronală standard având  $M \times N$  celule.

Imaginile reale cu nivele de gri (*gray-scale*), ale mediului, sunt transferate rețelei neuronale celulare respectiv cipului CNN. În urma unor procesări elementare CNN se obține imaginea binară a mediului (Figura 4.2), necesară algoritmului. În urma discretizării spațiale a imaginii, discretizare care corespunde cu rezoluția CNN, se presupune că fiecare obstacol este reprezentat de cel puțin un pixel negru iar robotul și ținta sunt identificați fiecare prin câte un pixel negru.

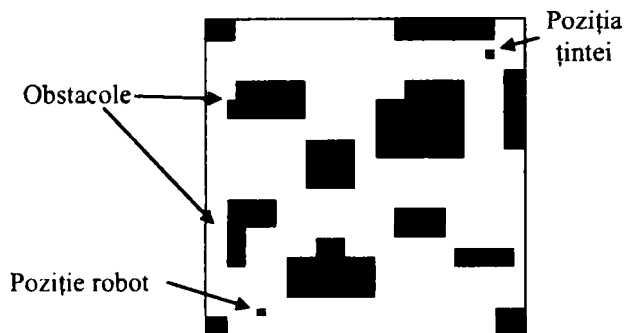


Figura 4.2. Imaginea binară a mediului de lucru.

În imaginile cu niveluri de gri valorile pixelilor sunt în domeniul standard CNN, adică  $[-1, +1]$ , de la alb către negru, iar pentru imaginile binare valorile pixelilor sunt  $+1$  pentru negru și  $-1$  pentru alb. În imaginea binară din Figura 4.2, pixelilor cu valori  $+1$  li se asociază pozițiile interzise din mediu, care nu sunt accesibile robotului, iar pixelii cu valoarea  $-1$  semnifică pozițiile libere, accesibile pentru robot.

Organigrama algoritmului de planificare a traiectoriei robotului mobil, pe baza imaginilor, este prezentată în Figura 4.3. Algoritmul detectează și semnalează chiar de la început situațiile posibile în care ținta nu este accesibilă robotului, adică faptul că ținta este "înconjurată" de obstacole.

#### 4.2.1. Evaluarea distanțelor dintre punctele din spațiul liber al mediului de lucru și punctul țintă

Pentru stabilirea unei traiectorii optime între poziția de start și țintă trebuie evaluate pozițiile punctelor (pixelilor) din spațiul liber al mediului de lucru față de punctul țintă. Pentru aceasta se generează o undă în planul imaginii, având centrul sursei situat chiar în punctul țintă. Pentru obținerea acestei imagini se utilizează template-ul EXPLORE [79], definit de relațiile 4.1.

În domeniul aplicațiilor CNN, generarea controlată a unei unde este o metodă eficientă, care se poate utiliza la detectarea conturilor sau la clasificarea binară.

$$A = \begin{pmatrix} 0 & a & 0 \\ a & 1 & a \\ 0 & a & 0 \end{pmatrix} \quad B = \begin{pmatrix} 0 & 0 & 0 \\ 0 & 0 & 0 \\ 0 & 0 & 0 \end{pmatrix} \quad z = 0 \quad (4.1)$$

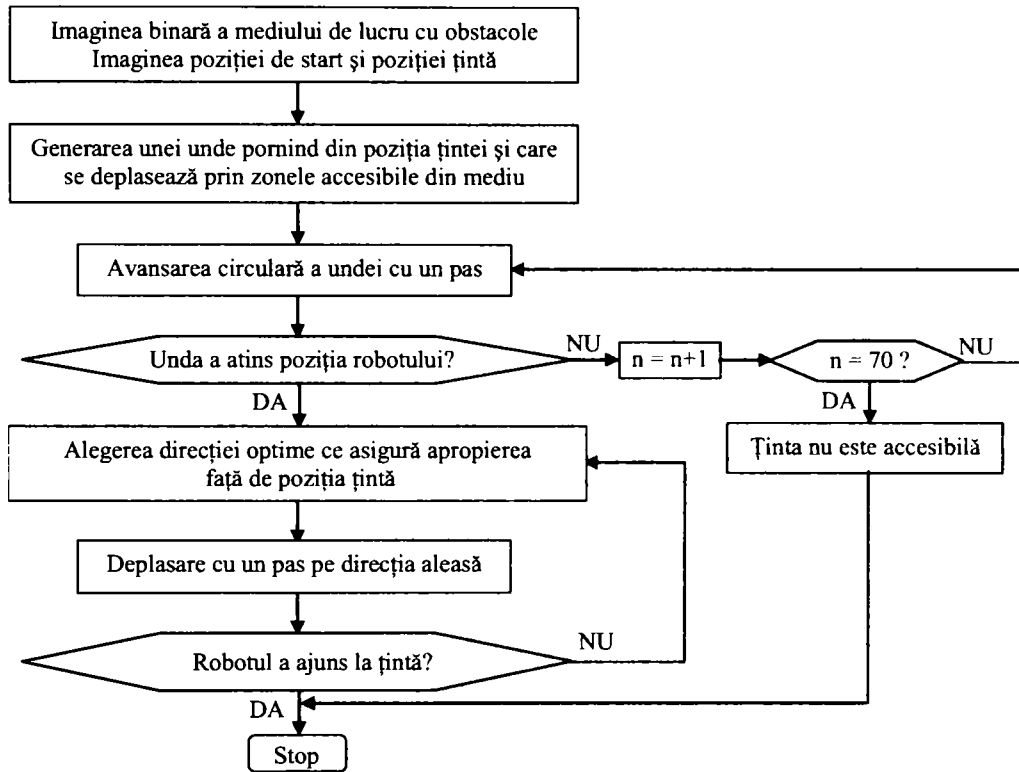


Figura 4.3. Organigrama algoritmului de planificare a traiectoriei robotului mobil.

Template-ul de mai sus este neliniar deoarece parametrul  $a$  reprezintă o funcție neliniară și depinde de diferența dintre valoarea tensiunii de la ieșirea celulei  $C_{ij}$  și valoarea tensiunii de la ieșirea celulei  $C_{kl}$  situată în vecinătatea sa  $(y_{ij} - y_{kl})$ . Reprezentarea grafică a funcției  $a$  este arătată în Figura 4.4. Parametrul  $\beta$  are semnificația de unitate de măsură a distanței.

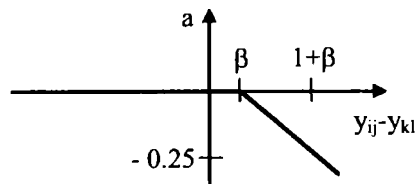


Figura 4.4. Caracteristica de transfer a funcției neliniare  $a$ .

Prin propagarea ei, unda explorează toate căile accesibile din mediul de lucru, începând din punctul țintă Figura 4.5. Pe starea inițială a rețelei  $x(t_0)$  se aplică o imagine în care toate elementele de imagine au valoarea +1, cu excepția pixelului corespunzător punctului țintă, care are valoarea -1. Această imagine este, de fapt, inversa imaginii prin care se indică poziția țintei. Imaginea binară a mediului se va folosi ca imagine mască. Pixelii de la marginea imaginii mediului de lucru, respectiv frontierei rețelei neuronale celulare, vor fi considerați poziții interzise.

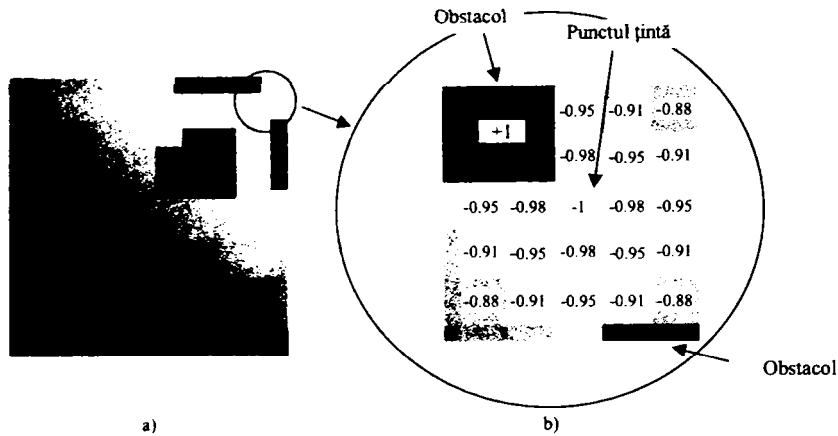


Figura 4.5. Principiul propagării circulare a unei unde din punctul țintă:  
a) imaginea unde; b) valorile pixelilor din jurul poziției țintei.

În urma acestei prelucrări, pixelul corespunzător poziției țintă din imaginea de ieșire a rețelei va rămâne la valoarea inițială  $-1$ , iar elementele de imagine care vor avea valoarea  $+1$  vor constitui poziții interzise sau inaccesibile robotului. Toți ceilalți pixeli vor avea valori proporționale cu distanțele dintre pozițiile lor și poziția țintei. Astfel, în imaginea rezultată, pornind din centrul sursei unde, valorile pixelilor cresc aproximativ cu câte o unitate de măsură a distanței  $\beta$ , la creșterea cu o unitate a razei unde cu propagare circulară.

Obținerea unei unde care să atingă poziția de start se face prin aplicarea repetată a template-ului EXPLORE. Numărul de aplicări a template-ului va crește treptat de la valoarea 1 până la o valoare care va determina ca în imaginea de ieșire să se obțină o modificare a pixelului ce indică poziția de start. Dacă acest număr atinge o valoare maximă  $N_{\max}$ , dat de relația 4.2, și valoarea luminanței pixelului ce indică poziția de start nu se modifică, înseamnă că ținta nu este accesibilă. Aceasta se poate întâmpla fie din cauza poziției obstacolelor, fie din cauză că ținta este situată la o distanță mult prea mare față de robot.

$$N_{\max} = \frac{+1 - (-1)}{p} \quad (4.2)$$

Valoarea lui  $p$  reprezintă pasul minim de discretizare în nivele de gri, tipic  $p = 0.03$ , astfel că  $N_{\max} = 67$ . După cum se vede și în organigrama din Figura 4.3, în astfel de situații, algoritmul se va opri după ce numărul de aplicări a template-ului EXPLORE va atinge valoarea  $n = 70$ .

#### 4.2.2. Alegerea direcției optime de deplasare

Alegerea direcției optime, care să asigure lungimea minimă pentru traiectoria robotului, precum și un număr minim de viraje, se realizează prin extragerea valorii unui pixel cu niveluri de gri. Poziția robotului este reprezentată de o imagine având toți pixelii de valoare  $-1$  cu excepția unui singur pixel de valoare  $+1$ . Această imagine care indică poziția curentă a robotului, va fi suprapusă la fiecare pas al algoritmului cu imaginea reprezentând evaluarea distanțelor dintre punctele din mediul de lucru accesibile robotului și punctul țintă (Figura 4.5a).



Pentru obținerea traiectoriei optime, trebuie să fie ales, la fiecare pas, pixelul cu cea mai mică valoare din vecinătatea de rază  $r = 1$  a pixelului ce indică poziția curentă a robotului. Acest pixel va indica direcția optimă de deplasare și va reprezenta apoi poziția actuală a robotului.

Determinarea acestui pixel s-a făcută în două moduri:

- explorarea tuturor pixelilor vecini și apoi determinarea sa prin comparații succesive;
- prin aplicarea template-ului PATH [98].

#### 4.2.2.1. Alegerea direcției optime prin comparații succesive

Prin inversarea imaginii, care indică inițial poziția punctului de start a robotului, apoi poziția actualizată în care se va alege o nouă direcție de deplasare, se obține o imagine binară cu aceleași dimensiuni care va fi folosită în continuare ca imagine mască.

În această etapă de prelucrare sunt necesare: imaginea mască menționată mai sus și imaginea cu niveluri de gri care conține estimarea distanțelor pozițiilor libere din mediu față de poziția țintei (Figura 4.5a).

Dintre cei opt pixeli vecini care corespund direcțiilor date de punctele cardinale (N, S, E, V, SE, NE, NV, SV), după care se poate efectua deplasarea, se evaluează și se alege cu o metodă locală celula vecină cu valoarea cea mai mică. Practic sunt comparate valorile pixelilor din jurul pixelului ce indică poziția robotului în imaginea cu niveluri de gri din Figura 4.5a și este ales pixelul cu luminanța cea mai mare. Pentru aceasta, se utilizează procesări elementare AMC asupra imaginilor, având la bază familia de template-uri SHIFT [79], care corespund celor opt direcții posibile de deplasare (relația 4.3).

$$A = \begin{pmatrix} 0 & 0 & 0 \\ 0 & 2 & 0 \\ 0 & 0 & 0 \end{pmatrix} \quad B = \begin{pmatrix} se & s & sv \\ e & 0 & v \\ ne & n & nv \end{pmatrix} \quad z = 0 \quad (4.3)$$

În cazul unuia din template-urile din familia SHIFT doar unul din elementele operatorului B sunt egale cu 1 restul fiind 0, astfel: SHIFTE ( $e = 1$ ), SHIFTSE ( $se = 1$ ), SHIFTS ( $s = 1$ ), SHIFTSV ( $sv = 1$ ), SHIFTV ( $v = 1$ ), SHIFTNV ( $nv = 1$ ), SHIFTN ( $n = 1$ ), SHIFTNE ( $ne = 1$ ).

#### 4.2.2.2. Alegerea direcției optime prin aplicarea template-ului PATH

Având indicată poziția robotului printr-un pixel negru, delimitarea vecinătății robotului de rază  $r = 1$ , poate fi obținută cu template-ul DILATION [79], dat de relația 4.4.

$$A = \begin{pmatrix} 0 & 0 & 0 \\ 0 & 0 & 0 \\ 0 & 0 & 0 \end{pmatrix} \quad B = \begin{pmatrix} 1 & 1 & 1 \\ 1 & 1 & 1 \\ 1 & 1 & 1 \end{pmatrix} \quad z = 8 \quad (4.4)$$

Dacă pe starea și pe intrarea rețelei se aplică imaginea ce reprezintă poziția curentă a robotului, după aplicarea template-ului de mai sus, pe ieșire se obține imaginea vecinătății robotului (Figura 4.6).

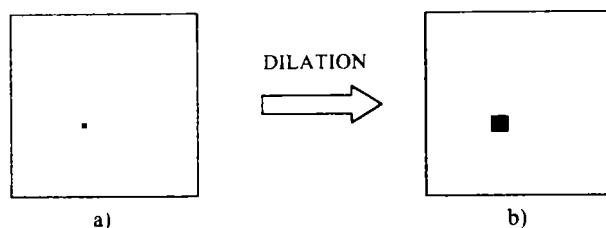


Figura 4.6. Delimitarea vecinătății de rază  $r=1$  a robotului; a) imagine reprezentând poziția robotului, b) imagine reprezentând vecinătatea robotului.

După realizarea unor operații logice asupra imaginii vecinătății robotului, se va obține o imagine mască (Figura 4.7a), care suprapusă peste imaginea unei din Figura 4.5a sau zona selectată din Figura 4.7b, va rezulta o imagine care reprezintă unda obținută prin aplicarea template-ului EXPLORE asupra mediului cu obstacole, doar în zona ce corespunde vecinătății robotului, restul pixelilor din imagine având valoarea +1 (Figura 4.7c).

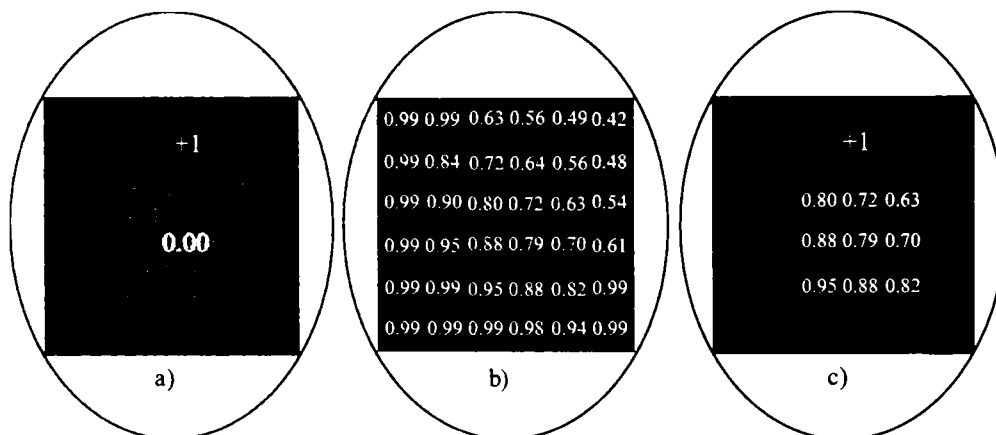


Figura 4.7. Delimitarea zonei corespunzătoare vecinătății robotului cu valorile pixelilor obținute după propagarea undei; a) imagine mască obținută din imaginea vecinătății robotului, b) imagine reprezentând valorile pixelilor în jurul poziției actuale după aplicarea template-ului EXPLORE, c) imagine cu valorile pixelilor din vecinătatea de rază  $r=1$  a robotului, după propagarea undei.

Dintre toți pixelii vecini va fi ales pixelul având valoarea cea mai mică, astfel pixelul ce trebuie ales din imaginea prezentată în Figura 4.7c va fi cel cu valoarea 0,63. Pentru ca algoritmul să determine acest pixel, se poate proiecta un template care aplicat asupra acestei imagini, dată ca exemplu, să rezulte o imagine în care toți pixelii au valoarea -1 cu excepția pixelului ce indică poziția viitoare a robotului, care va avea valoarea +1. Din păcate, aplicarea acestui template nu va indica poziția viitoare pentru robot în alte situații, adică atunci când va fi o altă configurație a valorilor pixelilor din vecinătatea robotului. Ar trebui, spre exemplu, ca valoarea

de prag  $z$  a template-ului să se modifice la fiecare altă configurație în care se află robotul.

Din acest motiv, în algoritmul propus se vor efectua procesări asupra imaginilor de forma celei din Figura 4.7c, astfel încât prin aplicarea aceluiași template, asupra acestor tipuri de imagini, să se obțină de fiecare dată o imagine ce indică poziția viitoare ce trebuie ocupată de robot. Astfel, se va memora valoarea minimă din imagine și apoi se va crea o imagine având toți pixelii cu această valoare (Figura 4.8a). Dacă această imagine va fi scăzută din imaginea de tipul celei din Figura 4.7b, se obține o imagine care are valorile pixelilor din vecinătatea robotului prezentate în Figura 4.8b. Imaginea obținută în final (Figura 4.8c) va constitui imaginea asupra căreia se va opera cu un template pentru determinarea poziției viitoare a robotului.

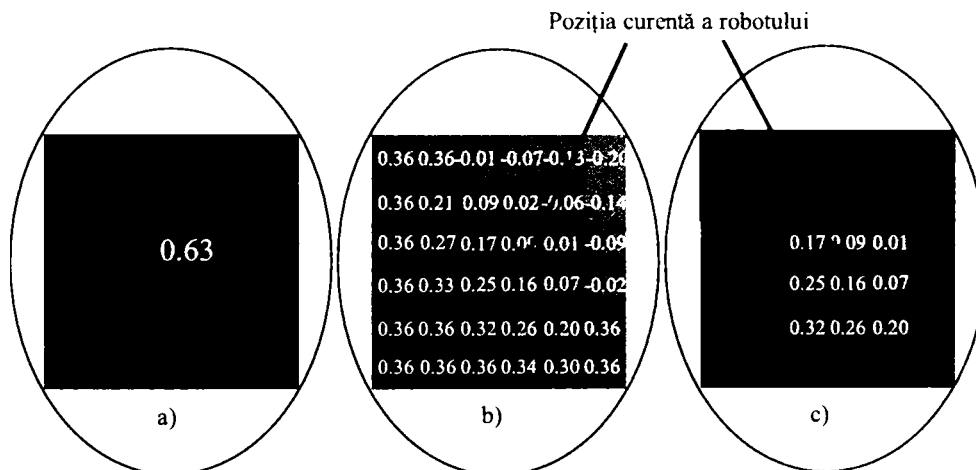


Figura 4.8. Exemplu de actualizare a pixelilor în funcție de poziția curentă a robotului; a) imagine având valoarea tuturor pixelilor egală cu valoarea minimă a unei în vecinătatea poziției robotului (0.63), b) valoarea actualizată a pixelilor în jurul poziției curente a robotului, c) valoarea actualizată a pixelilor în vecinătatea poziției robotului.

Imaginea astfel rezultată, are aproximativ aceleași valori ale pixelilor în jurul poziției curente a robotului, indiferent de poziția în care este situat robotul în drumul lui către țintă. Având un template potrivit ce se va aplica, prin intermediul unei imagini mască, asupra imaginii de tipul celei din Figura 4.8c se va obține, de fiecare dată, o imagine ce va indica, printr-un pixel negru, poziția viitoare ce trebuie ocupată de către robot.

Template-ul căutat poate fi de forma dată de relația 4.5.

$$A = \begin{pmatrix} 0 & 0 & 0 \\ 0 & 0 & 0 \\ 0 & 0 & 0 \end{pmatrix} \quad B = \begin{pmatrix} b_{11} & b_{12} & b_{13} \\ b_{21} & b_{22} & b_{23} \\ b_{31} & b_{32} & b_{33} \end{pmatrix} \quad z = c \quad (4.5)$$

Prin aplicarea acestui template, denumit PATH, asupra imaginii din Figura 4.8c, valoarea viitoare a fiecărui pixel va depinde de valoarea curentă a pixelului precum și de valoarea pixelilor din vecinătatea sa. Aplicarea acestui template se va face de fiecare dată cu o imagine mască care în afara vecinătății robotului va avea

toți pixelii la valoarea +1. Imaginea mască se obține prin inversarea imaginii reprezentând vecinătatea robotului în poziția curentă (Figura 4.7a).

Presupunând că template-ul căutat va fi simetric, între elementele acestuia există relațiile 4.6.

$$b_{11} = b_{12} = b_{13} = b_{23} = b_{33} = b_{32} = b_{31} = b_{21} = b_1 \quad b_{22} = b_2, \quad (4.6)$$

Pentru reducerea volumului de calcul se va considera:

$$b_{11} = b_{13} = b_{33} = b_{31} = 0 \quad (4.7)$$

Ținând cont de relațiile 4.6 și 4.7, operatorul **B** va fi de forma:

$$B = \begin{pmatrix} 0 & b_1 & 0 \\ b_1 & b_2 & b_1 \\ 0 & b_1 & 0 \end{pmatrix} \quad (4.8)$$

Pe intrarea (*INPUT*) a rețelei neuronale celulare se aplică imaginea mediului cu obstacole cu valorile actualizate ale undei (Figura 4.9a), iar pe starea inițială (*STATE*) a rețelei  $x(t_0)$  o imagine având toți pixelii la valoarea 0 (Figura 4.9b). Ecuația de stare a rețelei corespunzătoare template-ului PATH are forma:

$$\dot{x}_{ij}(t) = \sum_{C_{kl} \in N_i} b_{ij,kl} u_{kl} + c \cdot \quad (4.9)$$

Din relațiile 4.8 și 4.9 se obține ecuația de stare particularizată:

$$\dot{x}_{ij}(t) = b_1 \cdot u_{i-1,j} + b_1 \cdot u_{i+1,j} + b_1 \cdot u_{i,j-1} + b_1 \cdot u_{i,j+1} + b_2 \cdot u_{ij} + c \quad (4.10)$$

Imaginea binară, reprezentând vecinătatea de rază  $r = 1$  a poziției curente a robotului, se va utiliza ca imagine mască (*MASK*) pentru această etapă de prelucrare (Figura 4.9c). În acest fel, doar valorile pixelilor din jurul poziției curente a robotului se vor modifica. Imaginea de ieșire trebuie să conțină doar un pixel negru care va indica, de fapt, poziția viitoare ce trebuie ocupată de robot (Figura 4.9d).

Aplicând asupra tuturor pixelilor din vecinătatea robotului, relația 4.10, elementele template-ului PATH trebuie să satisfacă relațiile 4.11.

$$\begin{aligned} (-0.06 - 0.09 + 0.07 + 0.09) \cdot b_1 + 0.01 \cdot b_2 + c &> 0 \\ (0.09 + 0.07 + 0.26 + 0.25) \cdot b_1 + 0.16 \cdot b_2 + c &< 0 \\ (0.02 + 0.01 + 0.16 + 0.17) \cdot b_1 + 0.09 \cdot b_2 + c &< 0 \\ (0.01 - 0.02 + 0.20 + 0.16) \cdot b_1 + 0.07 \cdot b_2 + c &< 0 \\ (0.07 + 0.36 + 0.30 + 0.26) \cdot b_1 + 0.20 \cdot b_2 + c &< 0 \\ (0.16 + 0.20 + 0.34 + 0.32) \cdot b_1 + 0.26 \cdot b_2 + c &< 0 \\ (0.25 + 0.26 + 0.36 + 0.36) \cdot b_1 + 0.32 \cdot b_2 + c &< 0 \\ (0.17 + 0.16 + 0.32 + 0.33) \cdot b_1 + 0.25 \cdot b_2 + c &< 0 \\ (0.09 + 0.09 + 0.25 + 0.27) \cdot b_1 + 0.17 \cdot b_2 + c &< 0 \end{aligned} \quad (4.11)$$

Dacă aceste inegalități sunt îndeplinite, atunci integratorul ce intră în componența fiecărei celule va determina la ieșirea celulei nivelul  $y_{ij}(\infty) = -1$ , pentru toți pixelii vecini și  $y_{ij}(\infty) = +1$ , pentru pixelul din poziția viitoare ce trebuie ocupată de către robot. Desigur, acest pixel are de fiecare dată valoarea cea mai scăzută, în imaginea undei, dintre toți pixelii din vecinătatea pixelului ce reprezintă poziția curentă a robotului.

După rezolvarea iterativă a primelor două inegalități din relațiile 4.11 ce corespund valorilor pixelilor din poziția curentă și viitoare și ajustarea parametrilor  $b_1$ ,  $b_2$  și  $c$  astfel încât să fie îndeplinite și restul inegalităților, se obține pentru template-ul PATH forma:

$$A = \begin{pmatrix} 0 & 0 & 0 \\ 0 & 0 & 0 \\ 0 & 0 & 0 \end{pmatrix} \quad B = \begin{pmatrix} 0 & -0.1 & 0 \\ -0.1 & -8 & -0.1 \\ 0 & -0.1 & 0 \end{pmatrix} \quad z = 0.3. \quad (4.12)$$

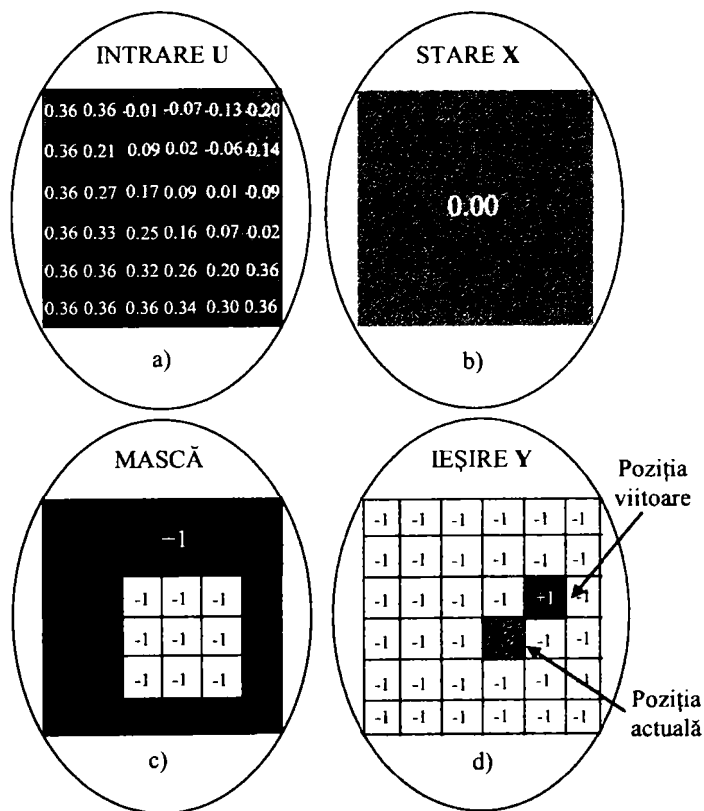


Figura 4.9. Modul de determinare a poziției viitoare pentru robotul mobil; a) imaginea mediului cu obstacole peste care e suprapusă unda actualizată, b) imagine având toți pixelii de valoare 0, c) imaginea mască; d) imagine în care toți pixelii au valoarea -1 cu excepția pixelului ce indică poziția viitoare ce urmează a fi ocupată de către robot.

Trebuie remarcat faptul că sunt și unele limitări în ceea ce privește deplasarea robotului mobil pe baza acestei metodei de alegere a direcției optime de deplasare. Una din aceste limitări, observată experimental, este aceea că dacă robotul trebuie să se deplaseze pe un "coridor" cu lățimea de un singur pixel situat în poziție orizontală sau verticală, în cadrul imaginii procesate, acesta va efectua câțiva pași apoi poate să se blocheze, deoarece nu va putea detecta poziția viitoare pe baza metodei prezentate anterior. Nu sunt probleme de acest gen atunci când robotul se află la o distanță relativ mare de țintă, aceste probleme apărând atunci când "coridoarele" sunt situate în apropierea țintei.

În Figura 4.10 sunt exemplificate două posibile situații în care robotul mobil se poate bloca și nu va continua drumul către țintă.

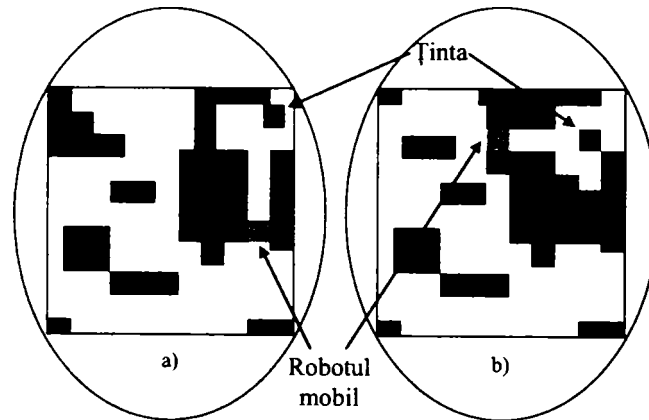


Figura 4.10. Situații posibile de blocaj, pentru robot, în apropierea țintei;  
a) în cazul unui coridor vertical, b) în cazul unui coridor orizontal.

Explicația acestui fenomen este dată de faptul că valorile obstacolelor au inițial valoarea +1, și deoarece pe parcursul algoritmului trebuie actualizată imaginea cu valorile undei, imagine care conține și obstacolele, se va scădea din aceasta valoarea minimă din jurul poziției actuale a robotului. În apropierea țintei valorile pixelilor sunt negative și practic prin scăderea unei valori negative din pixelii de valoare +1 aceștia vor rămâne tot la aceeași valoare (nu pot depăși valoarea +1) pentru că aceasta este valoarea maximă în domeniul standard CNN. Dacă însă acești pixeli încadrează pe aceeași linie sau coloană pixelul ce ar trebui să fie poziția viitoare care trebuie ocupată de robot atunci aceștia vor influența puternic valoarea viitoare a acestui pixel atunci când se aplică template-ul PATH asupra pixelilor din jurul poziției curente a robotului, și mai ales asupra acestuia. Influența asupra valorii viitoare a unui pixel se manifestă din partea pixelilor vecini de pe aceeași linie sau coloană datorită structurii alese pentru template și din cauză că valorile elementelor template-ului au valori negative. Așadar, în apropierea țintei, dacă obstacolele sunt apropiate, pot exista situații când prin procesarea imaginilor pe baza metodei prezentate, valoarea pixelului care ar trebui să indice poziția viitoare nu va trece la valoarea +1. Practic, nici unul din pixelii din vecinătatea poziției curente nu vor trece la această valoare și în acest fel algoritmul se va opri.

Soluția pentru ca robotul să iasă din impas ar fi: fie proiectarea unui template care să fie aplicat doar în astfel de situații, fie să se aleagă pentru aceste cazuri o altă metodă de deplasare (spre exemplu, *wall-following*), apoi după ieșirea robotului din "coridor" poate fi aplicată din nou metoda menționată mai sus.

### 4.2.3. Deplasarea robotului spre țintă

După determinarea pixelului care indică poziția viitoare, ce trebuie ocupată de către robot, acest pixel va deveni poziție curentă. În această poziție poate fi aleasă o nouă direcție de deplasare, sau se poate ca robotul să se deplaseze în continuare pe direcția aleasă anterior atâta timp cât se apropie de țintă. În primul caz lungimea traiectoriei măsurată în număr de pixeli va fi minimă iar în cazul al doilea numărul de viraje va fi minim.

În continuare sunt prezentate cele două modalități de obținere a traiectoriei pentru robot și anume:

- deplasarea robotului pe direcția pixelului cu valoare minimă atâta timp cât se asigură apropierea de țintă;
- deplasarea pixel cu pixel a robotului alegând de fiecare dată pixelul cu valoare minimă.

#### 4.2.3.1. Deplasarea continuă a robotului pe direcția pixelului cu valoare minimă atâta timp cât se asigură apropierea de țintă

În acest caz, direcția de deplasare rămâne neschimbată atâta timp cât această direcție asigură apropierea robotului de poziția țintei. Aceasta înseamnă că, de pe poziția curentă se va păși pe următoarea poziție de pe aceeași direcție numai dacă valoarea pixelului corespunzător pentru poziția respectivă este mai mică decât valoarea pixelului din poziția curentă. Spre exemplu, în Figura 4.11, din punctul A robotul se va deplasa succesiv în punctele B, C, D, E, și F unde se va opri deoarece pe aceeași direcție urmează un pixel ce are valoarea mai mare decât cel al poziției curente. În punctul F se va alege o nouă direcție de deplasare și anume direcția dată de punctul G respectiv H.

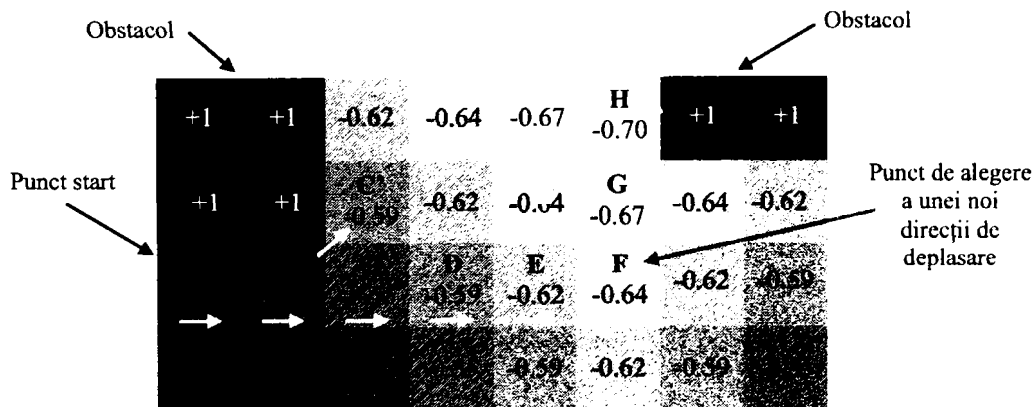


Figura 4.11. Alegerea direcției optime prin menținerea direcției atâta timp cât se asigură apropierea de țintă.

După alegerea direcției optime, într-un punct de viraj, obținerea imaginii traiectoriei pe direcția respectivă care să indice în acel moment drumul spre țintă, se obține prin utilizarea familiei de template-uri SELECT, extinsă pe una din cele opt direcții [79], definită de relațiile 4.13:

$$A = \begin{pmatrix} se & s & sv \\ e & 4 & v \\ ne & n & nv \end{pmatrix} \quad B = \begin{pmatrix} se & s & sv \\ e & 0 & v \\ ne & n & nv \end{pmatrix} \quad z = 0 \quad (4.13)$$

În cazul unuia din template-urile din familia SELECT, elementele operatorilor A și B din relația 4.13 vor avea valorile astfel:

SELECTE:  $A(e = 1, se = s = sv = v = nv = n = ne = 0)$ ;  
 $B(e = b, se = s = sv = v = nv = n = ne = 0)$ ;  
 SELECTSE:  $A(se = 1, e = s = sv = v = nv = n = ne = 0)$ ;  
 $B(se = b, e = s = sv = v = nv = n = ne = 0)$ ;  
 SELECTS:  $A(s = 1, e = se = sv = v = nv = n = ne = 0)$ ;  
 $B(s = b, e = se = sv = v = nv = n = ne = 0)$ ;  
 SELECTSV:  $A(sv = 1, e = se = s = v = nv = n = ne = 0)$ ;  
 $B(sv = b, e = se = s = v = nv = n = ne = 0)$ ;  
 SELECTV:  $A(v = 1, e = se = s = sv = nv = n = ne = 0)$ ;  
 $B(v = b, e = se = s = sv = nv = n = ne = 0)$ ;  
 SELECTNV:  $A(nv = 1, e = se = s = sv = v = n = ne = 0)$ ;  
 $B(nv = b, e = se = s = sv = v = n = ne = 0)$ ;  
 SELECTN:  $A(n = 1, e = se = s = sv = v = nv = ne = 0)$ ;  
 $B(n = b, e = se = s = sv = v = nv = ne = 0)$ ;  
 SELECTNE:  $A(ne = 1, e = se = s = sv = v = nv = n = 0)$ ;  
 $B(ne = b, e = se = s = sv = v = nv = n = 0)$ .

Funcția neliniară  $b$  este prezentată în Figura 4.12, în care  $\beta$  are semnificația de unitate de măsură a distanței în imagine.

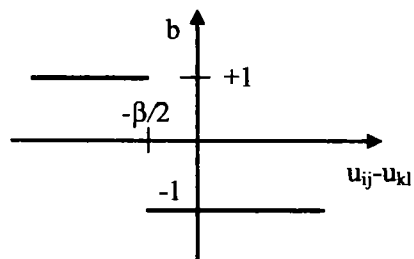


Figura 4.12. Caracteristica de transfer a funcției  $b$ .

Pentru obținerea traiectoriei robotului între două puncte de viraj, se aplică pe intrarea rețelei neuronale celulare imaginea cu estimarea distanțelor punctelor din spațiul liber al mediului față de poziția țintei iar pe starea rețelei se aplică o imagine având un sigur pixel de valoare +1 ce indică poziția de start pentru porțiunea curentă din traiectoria planificată, restul pixelilor având valoarea -1. În



același timp se aplică unul din template-urile din familia SELECT ce corespunde direcției ce a fost aleasă în prealabil.

Traectoria totală între poziția inițială de start și poziția țintei se obține prin însumarea traiectoriilor dintre două puncte de viraj. Așadar, după "selectarea" traiectoriei pe direcția respectivă aceasta va fi însumată cu traiectoriile precedente și tot așa până la țintă. Fiecare punct de viraj, în care trebuie aleasă o nouă direcție, trebuie să fie reprezentat printr-o imagine ce are activ doar acel pixel, astfel că, asupra imaginii ce conține ultima porțiune de traiectorie trebuie aplicat de fiecare dată unul din template-urile din familia DEL [79], extinsă pe cele opt direcții de deplasare. Template-urile DEL sunt date de relațiile 4.14:

$$A = \begin{pmatrix} 0 & 0 & 0 \\ 0 & 0 & 0 \\ 0 & 0 & 0 \end{pmatrix} \quad B = \begin{pmatrix} se & s & sv \\ e & 0 & v \\ ne & n & nv \end{pmatrix} \quad z = 0 \quad (4.14)$$

În cazul unuia din template-urile din familia DEL, elementele operatorului **B** din relația 4.14 vor avea valorile date de relațiile 4.15, astfel:

$$\begin{aligned} \text{DELE } e = 1, v = -1, se = s = sv = nv = n = ne = 0; \\ \text{DELSE } se = 1, nv = -1, e = s = sv = v = n = ne = 0; \\ \text{DELS } s = 1, n = -1, e = se = sv = v = nv = ne = 0; \\ \text{DELSV } sv = 1, ne = -1, e = se = s = v = nv = n = 0; \\ \text{DELV } v = 1, e = -1, se = s = sv = nv = n = ne = 0; \\ \text{DELNV } nv = 1, se = -1, e = s = sv = v = n = ne = 0; \\ \text{DELN } n = 1, s = -1, e = se = sv = v = nv = ne = 0; \\ \text{DELNE } ne = 1, sv = -1, e = se = s = v = nv = n = 0. \end{aligned} \quad (4.15)$$

Prin aplicarea acestor operatori asupra unei imagini binare ce conține porțiunea de traiectorie reprezentată de pixeli de valoare +1, se va realiza ștergerea după direcția specificată, a unui pixel. Ștergerea mai multor pixeli pe aceeași direcție se realizează prin aplicarea repetată a operatorului respectiv.

Aplicând algoritmul CNN de planificare a traiectoriei, prin această metodă de deplasare a robotului, în cazul imaginii binare din Figura 4.2 se obține în final traiectoria prezentată în Figura 4.13c.

După cum s-a menționat și anterior, avantajul acestei metode constă în faptul că numărul de viraje realizat de către robot este minimizat.

#### 4.2.3.2. Deplasarea robotului pixel cu pixel cu alegerea direcției optime la fiecare pas

Dezavantajul metodei prezentate mai sus este dat de faptul că lungimea traiectoriei măsurată în număr de pixeli, nu este cea minimă. În exemplul prezentat în Figura 4.11 între punctele de schimbare a direcției A și F există punctul B care dacă ar fi punct de alegere a unei noi direcții, deplasarea ar fi spre punctul C' și nu spre C. Dacă robotul s-ar deplasa pixel cu pixel alegând după fiecare pas direcția optimă atunci lungimea traiectoriei măsurată în număr de pixeli ar fi minimă în schimb timpul total necesar algoritmului de planificare a traiectoriei este mai mare.

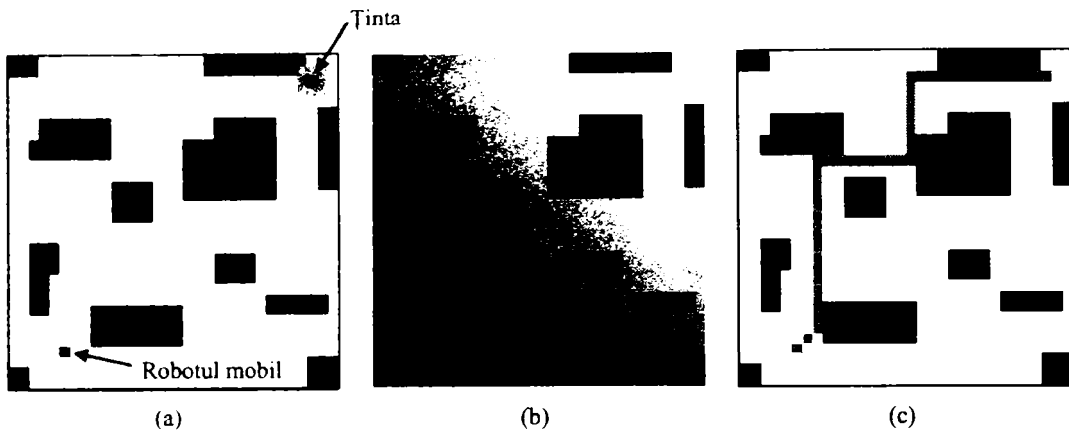


Figura 4.13. Obținerea traiectoriei robotului mobil la deplasarea acestuia într-un mediu cu obstacole statice prin metoda deplasării pe direcția pixelului cu valoare minimă atâta timp cât se asigură apropierea de țintă: a) imaginea inițială binară a mediului cu obstacole; b) imaginea undei ce se propagă prin mediul de lucru din punctul în care este situată ținta; c) imaginea traiectoriei rezultate.

În Figura 4.14 se prezintă forma traiectoriei în cazul deplasării pixel cu pixel a robotului mobil cu determinarea direcției optime la fiecare pas (pixel).

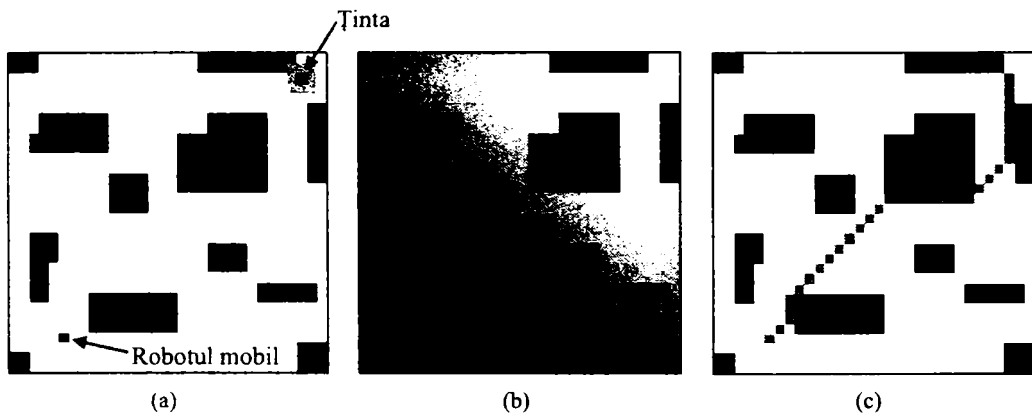


Figura 4.14. Determinarea traiectoriei robotului mobil la deplasarea pixel cu pixel și alegerea direcției optime la fiecare pas: a) imaginea inițială binară a mediului cu obstacole; b) imaginea undei ce se propagă prin mediul de lucru din punctul în care este situată ținta; c) imaginea traiectoriei obținute pentru deplasarea robotului mobil.

#### 4.2.4. Atingerea țintei

Poziția viitoare pe care o va ocupa robotul mobil va deveni poziție curentă și tot așa până când va fi atinsă ținta. Traiectoria planificată, între poziția de start și poziția țintă, se compune din porțiunile de traiectorii dintre două puncte consecutive în care este schimbată direcția de deplasare. Astfel, la traiectoria parcursă până într-un anumit punct (poziție curentă) se va adăuga de fiecare dată poziția viitoare (la

deplasarea pixel cu pixel) sau porțiuni din traiectorie (la deplasarea pe o direcție atata timp cât se asigură apropierea de țintă). Această operație se poate realiza în domeniul CNN prin aplicarea operației logice AND între două imagini.

Algoritmul de planificare a traiectoriei se va încheia atunci când robotul reprezentat printr-un pixel se va suprapune cu pixelul corespunzător poziției în care este situată ținta. După fiecare deplasare a robotului fie că aceasta se face continuu pe o direcție descrescătoare a valorilor pixelilor sau se face pixel cu pixel se va verifica dacă robotul a atins ținta.

Algoritmul de planificare a traiectoriei unui robot mobil într-un mediu de lucru cu obstacole prezentat mai sus a fost testat utilizând platforma **VisMouse - SimCNN** (*Visual Mouse platform and multi-layer CNN Simulator* [73],[75]). Rezultatele experimentale au fost obținute prin simulare cu ajutorul unor programe scrise în limbaj de asamblare **AMC** (*Extended Analogic Macro Code and interpreter* [77]), (vezi Anexele A1 și A2).

### 4.3. Algoritm CNN de planificare simultană a traiectoriilor pentru doi roboți mobili

Se prezintă în continuare un algoritm de planificare simultană a traiectoriilor pentru doi roboți mobili, care trebuie să ajungă la o țintă comună, într-un mediu cu obstacole, pe baza imaginilor captate cu o cameră video. Pentru prelucrarea imaginilor și planificarea traiectoriei se utilizează tot rețele neuronale celulare [49],[50],[68], invariante în spațiu, cu operatori de dimensiune  $3 \times 3$ . În acest fel metoda poate fi implementată pe un cip CNN, care este capabil de o procesare în timp real a imaginilor. Algoritmul propus furnizează roboților traiectoria optimă din punct de vedere al lungimii și a numărului de viraje, între pozițiile de start ale roboților și poziția țintei. Pe baza acestor traiectorii, fiecare robot ocolește obstacolele întâlnite în cale precum și pe celălalt robot. Algoritmul este conceput astfel încât să semnaleze încă de la început situațiile posibile în care ținta nu este accesibilă din cauza obstacolelor.

În aplicația de față se consideră doi roboți mobili care se găsesc într-un mediu plan cu obstacole statice (Figura 4.15), și care trebuie să ajungă la aceeași țintă ocolind obstacolele și de asemenea unul pe celălalt. În acest fel, fiecare robot va deveni un obstacol dinamic pentru celălalt. Supravegherea este realizată cu o cameră video, iar imaginile captate de aceasta sunt prelucrate conform algoritmului global din Figura 4.16

Deplasarea roboților se va face alternativ spre țintă, pe baza traiectoriei furnizate de algoritm, care ține cont în cazul fiecărui robot despre poziția celuilalt și totodată de poziția obstacolelor din mediu. În acest fel se vor obține traiectorii fără coliziune pentru ambii roboți. Deplasarea unui robot, în cadrul unui pas al algoritmului, se va realiza atâta timp cât acesta se apropie de țintă fără a schimba direcția de mers, urmând apoi deplasarea în același mod a celuilalt robot. Înainte de începerea deplasării, fiecare robot va schimba mai întâi direcția de deplasare avută anterior. Doar în cazul în care unul din roboți ajunge în vecinătatea țintei algoritmul va furniza rând pe rând traiectoriile necesare doar pentru celălalt robot pentru ca și acesta să ajungă în vecinătatea țintei.

Etaple principale ale algoritmului sunt prezentate în Figura 4.16.

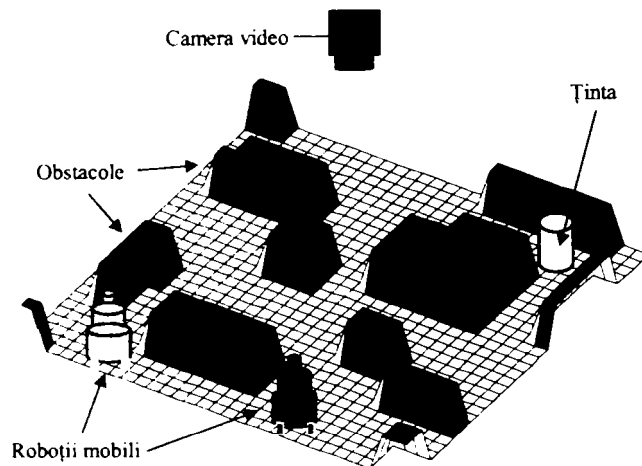


Figura 4.15. Mediul de lucru cu obstacole al celor doi roboți mobili.

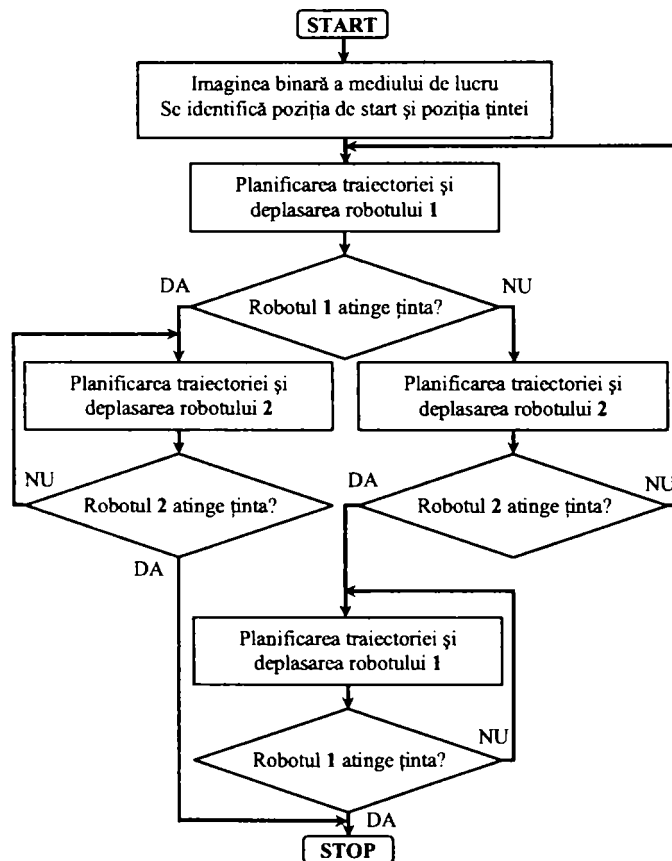


Figura 4.16. Organigrama algoritmului global de planificare a traiectoriilor pentru doi roboți mobili, pentru deplasarea lor spre o țintă comună într-un mediu de lucru cu obstacole.

Înainte de a fi procesate, imaginile mediului sunt discretizate într-un număr de pixeli care corespunde cu rezoluția CNN. În imaginile cu niveluri de gri valorile pixelilor sunt în domeniul standard CNN, adică  $[-1, +1]$ , de la alb către negru, iar pentru imaginile binare, valorile pixelilor sunt  $+1$  pentru negru și  $-1$  pentru alb. Imaginea binară a mediului de lucru cu obstacole se obține în urma unor procesări elementare CNN asupra imaginii reale, cu niveluri de gri, achiziționate de cameră. Pentru obținerea acestei imagini s-a utilizat template-ul TRESHOLD prezentat în relația următoare:

$$A = \begin{pmatrix} 0 & 0 & 0 \\ 0 & 2 & 0 \\ 0 & 0 & 0 \end{pmatrix} \quad B = \begin{pmatrix} 0 & 0 & 0 \\ 0 & 0 & 0 \\ 0 & 0 & 0 \end{pmatrix} \quad z = -z^*, \quad (4.16)$$

unde  $z^*$  reprezintă pragul de binarizare,  $-1 < z^* < +1$ .

Fiecare obstacol din mediu este reprezentat de cel puțin un pixel negru iar roboții sunt identificați fiecare prin câte un pixel negru. Astfel, în imaginea binară rezultată în urma procesării, pixelilor cu valori  $+1$  li se asociază pozițiile interzise, care trebuie evitate de către roboți, iar pixelii cu valoarea  $-1$  semnifică poziții libere, accesibile roboților.

După identificarea pozițiilor de start ale roboților în imaginea binară, se va trece la pasul următor care constă în planificarea traiectoriei și deplasarea cu un pas a robotului **1** spre țintă. Se verifică apoi dacă acesta a ajuns la țintă și dacă da, algoritmul va continua doar pentru robotul **2**. Dacă nu, pasul următor va consta în planificarea traiectoriei și deplasarea cu un pas a robotului **2**. Se verifică dacă acesta din urmă a ajuns la țintă, apoi se va reveni la robotul **1** și tot așa până când ambii roboți vor atinge ținta.

În situația în care unul din roboți nu are acces la țintă, algoritmul poate furniza pas cu pas traiectoriile pentru celălalt robot, iar dacă nici unul din roboți nu are acces spre țintă, acest fapt va fi semnalat chiar înainte de începerea planificării traiectoriei pentru robotul **1**.

#### 4.3.1. Alegerea direcției optime de deplasare pentru roboți

Alegerea direcției optime de deplasare a roboților se face prin generarea unei unde în planul imaginii [87], având centrul sursei situat chiar în punctul țintă cu ajutorul template-ului EXPLORE [79] prezentat la subcapitolul 4.2.1. Pe baza imaginii obținute, respectiv a valorilor pixelilor, pot fi evaluate distanțele dintre pozițiile accesibile din mediul de lucru și punctul țintă. Elementele de imagine care reprezintă obstacolele rămân la valoarea  $+1$  iar pixelul care indică poziția țintei la valoarea  $-1$ . Toți ceilalți pixeli vor avea valori proporționale cu distanța dintre poziția lor și poziția țintei (Figura 4.17). Dacă există cel puțin o posibilitate de a se ajunge de la pozițiile de start ale celor doi roboți la poziția țintei, atunci în imaginile de ieșire valoarea pixelului din pozițiile corespunzătoare acestor poziții (pozițiile de start) se vor modifica de la  $+1$  la o valoare care este proporțională cu distanța dintre aceste poziții și poziția țintei.

Acest principiu de estimare a distanțelor față de țintă, se va aplica de două ori la începutul algoritmului, o dată pentru fiecare robot. Dacă valoarea unuia din pixelii ce reprezintă pozițiile de start, rămâne la valoarea  $+1$ , înseamnă că robotul ce se află în această poziție nu are acces spre țintă și va sta pe loc, în timp ce robotul celălalt se va deplasa singur spre țintă. În situația cea mai defavorabilă,

când după etapa de procesare pentru evaluarea distanțelor, ambii pixeli ce reprezintă pozițiile de start rămân la valoarea +1, algoritmul va indica de la început că nici unul dintre roboți nu are acces la țintă.

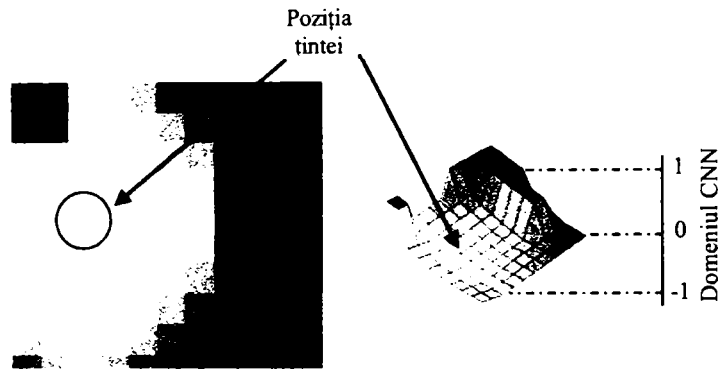


Figura 4.17. Principiul determinării distanțelor dintre pozițiile libere și poziția țintei, prin propagarea unei unde din punctul țintă. Valorile pixelilor cresc cvasiproportional cu distanța față de punctul de origine al sursei.

Alegerea direcției optime, care să asigure o lungime minimă pentru traiectoria roboților, precum și un număr minim de viraje are la bază posibilitatea extragerii valorii unui pixel cu niveluri de gri prin procesări CNN. Pentru extragerea valorilor pixelilor corespunzători direcțiilor posibile de deplasare (N, S, E, V, SE, NE, NV, SV), se utilizează procesări elementare cu instrucțiuni AMC asupra imaginilor obținute anterior, având la bază familia de template-uri SHIFT [69], care corespund celor opt direcții de deplasare. Acest template precum și exemplificarea modului de alegere a direcției de deplasare prin comparații succesive a valorilor pixelilor din jurul pixelului ce indică poziția robotului a fost prezentat în acest capitol la subcapitolul 4.2.2.1.

Deplasarea pe direcția aleasă se va face continuu atâta timp cât această direcție asigură apropierea robotului de țintă. Asta înseamnă că, de pe poziția curentă se va păși pe următoarea poziție de pe aceeași direcție numai dacă valoarea pixelului corespunzător pentru poziția respectivă este mai mică decât valoarea pixelului din poziția curentă. Practic, înainte ca roboții să se deplaseze pe direcția aleasă, conform celor arătate mai sus, se vor opri și vor schimba direcția de mers avută anterior.

### 4.3.2. Delimitarea vecinătății roboților

În decursul deplasării unuia dintre roboți printre obstacole, cu scopul de a ajunge la punctul țintă, acesta va trebui să-l ocolească și pe celălalt robot și nu va putea ajunge într-o anumită vecinătate a acestuia, cu alte cuvinte va păstra o distanță față de el. În situația în care ambii roboți se întâlnesc și ar urma să continue deplasarea pe același drum, primul care ajunge la punctul de întâlnire o va lua înainte iar celălalt se va deplasa în urma sa. Reprezentarea robotului în cadrul algoritmului se face pe un pixel, iar vecinătatea lui în care nu poate să ajungă celălalt robot poate fi în acest caz de rază  $r = 1$  (vecinătate  $3 \times 3$ ) cum este prezentată în Figura 4.18 sau de rază și vecinătate mai mare în cazul în care pentru o aplicație particulară se cere acest lucru.

Pentru obținerea unei imagini ce reprezintă vecinătatea robotului s-a folosit template-ul DILATION [79], prezentat în relațiile 4.4. Prin aplicarea acestuia asupra imaginii ce arată, printr-un pixel negru, poziția curentă a robotului, se va obține o imagine care reprezintă vecinătatea acestuia.

În Figura 4.18 se arată două situații posibile: situația când robotul **1** stă iar robotul **2** se deplasează spre acesta (Figura 4.18a) și situația inversă când robotul **2** staționează și robotul **1** vine spre el. În ambele situații, după cum se observă și din figură, când unul din roboți ajunge la marginea vecinătății celuilalt robot se va opri.

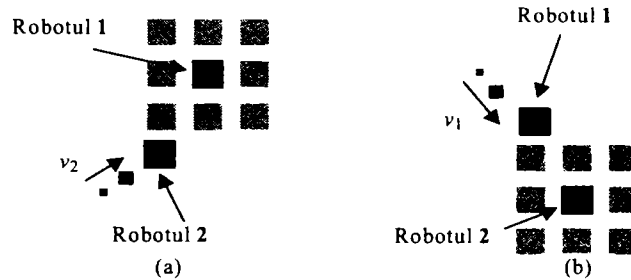


Figura 4.18. Vecinătatea roboților mobili de rază  $r=1$  (vecinătate  $3 \times 3$ ):  
 a) vecinătatea robotului **1** la deplasarea robotului **2**; b) vecinătatea robotului **2** la deplasarea robotului **1**;  $v_1$  – direcția de deplasare pentru robotul **1**;  $v_2$  – direcția de deplasare pentru robotul **2**.

În oricare din situațiile posibile, asemănătoare celor din Figura 4.18, robotul care a stat pe loc se va deplasa primul spre țintă și celălalt se va deplasa în urma sa, pe același drum.

O vecinătate mai mare pentru roboți se poate obține prin aplicarea repetată a template-ului DILATION [79]. Dacă se definește o vecinătate mai mare atunci și ținta trebuie să fie dimensionată corespunzător, sau trebuie mărită vecinătatea țintei unde trebuie să ajungă roboții mobili.

### 4.3.3. Atingerea țintei de către roboți

Roboții mobili vor face alternativ câte un "pas" până când amândoi vor ajunge în vecinătatea țintei. Dacă unul din roboți ajunge la țintă (Figura 4.19b), algoritmul va continua pentru celălalt robot până când și acesta din urmă va atinge ținta (Figura 4.19c). Dacă vecinătatea țintei în care trebuie să intre roboții este aleasă de rază  $r = 1$  (Figura 4.19a), iar roboții au fiecare vecinătate de rază  $r = 1$ , ca spațiu de gardă pentru evitarea ciocnirii cu celălalt robot, atunci roboții pot atinge ținta evitându-se coliziunea dintre aceștia (Figura 4.19c). De menționat că vecinătatea de rază  $r = 1$  este definită doar pentru robotul care staționează, astfel că, de fiecare dată când roboții se întâlnesc, se va păstra distanța de un pixel între aceștia.

Algoritmul semnalează, dacă este cazul, situația în care roboții ajung în vecinătatea țintei venind din aceeași direcție, desigur unul în urma celuilalt. În acest caz, primul care ajunge în vecinătatea țintei se va deplasa în jurul țintei cu doi pixeli sau chiar în direcția opusă (Figura 4.19d), cedând locul său celuilalt robot.

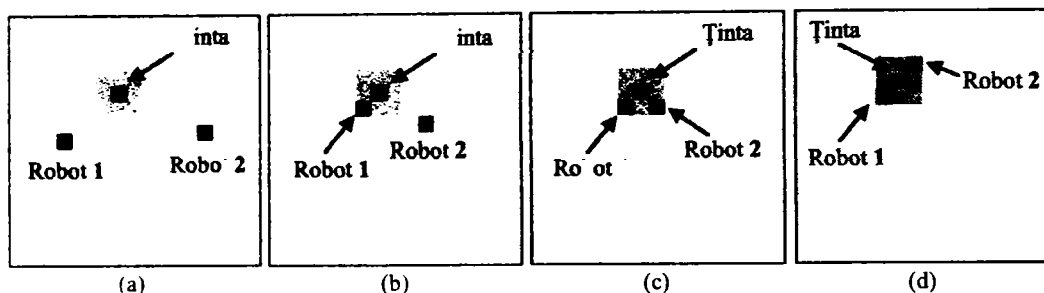


Figura 4.19. Exemplu de atingere a țintei: a) cazul în care nici un robot nu ajunge la țintă; b) cazul când unul din roboți ajunge la țintă; c) situație finală când ambii roboți ajung la țintă; d) situație finală în cazul în care roboții au ajuns la țintă din aceeași direcție.

#### 4.3.4. Rezultatele simulării algoritmului

Pentru testarea algoritmului de planificare a traiectoriilor celor doi roboți, într-un mediu de lucru cu obstacole, s-a utilizat mediul de simulare **VisMouse – SimCNN** [73],[76]. Rezultatele au fost obținute pe baza unor programe scrise în limbaj de asamblare **AMC** [77], (vezi Anexa A3). Vecinătatea robotului și a țintei au fost alese de rază  $r = 1$ , iar imaginile folosite au dimensiunea de  $32 \times 32$  pixeli.

Sunt prezentate în Figura 4.20 rezultatele simulării pentru o situație concretă. Pentru o mai bună înțelegere a algoritmului, sunt prezentate imaginile obținute după fiecare pas (momentele de timp  $t_0 \dots t_{11}$ ). Se observă că la momentul  $t_6$  robotul **1** (R1) întâlnește robotul **2** (R2) și conform algoritmului se va opri la o distanță de un pixel de acesta. Deoarece robotul **2** a ajuns primul la "punctul de întâlnire", o va lua înainte, iar robotul **1** se va deplasa în urma sa. Când robotul **2** ajunge în vecinătatea țintei se va opri pentru moment, urmând ca în pasul următor să treacă de partea cealaltă a țintei pentru ai face loc celui alt robot.

Algoritmul a fost testat și cu imagini de dimensiune  $64 \times 64$  pixeli, dar în acest caz, dacă pozițiile de start sunt la distanță mare față de țintă și sunt multe obstacole în mediul de lucru, e posibil ca unda generată din punctul țintă să nu ajungă până la pozițiile de start. În astfel de situații va trebui introdusă o țintă intermediară, respectiv un punct via prin care vor trece roboții.

De asemenea, algoritmul CNN de planificare a traiectoriilor pentru doi roboți poate fi ușor extins pentru situația în care la o țintă trebuie să ajungă trei sau chiar mai mulți roboți. Dacă vecinătatea țintei este definită ca fiind de rază  $r = 1$ , atunci numărul maxim de roboți este patru, iar dacă vecinătatea țintei este mai mare atunci și numărul de roboți ce pot fi folosiți în algoritmul descris, va fi mai mare.

Timpul total de procesare necesar pentru derularea algoritmului variază puțin în funcție de lungimea traiectoriilor celor doi roboți, dar s-a observat că depinde aproape liniar de numărul de viraje cumulat al roboților. În Figura 4.21 se prezintă un grafic obținut în urma măsurătorilor și care arată o dependență aproape liniară între timpul total necesar pentru procesări și numărul de viraje cumulate efectuate de către roboți în drumul lor către țintă. Timpii au fost măsurați în cazul simulării pe un calculator cu procesor Pentium III la 800 MHz.



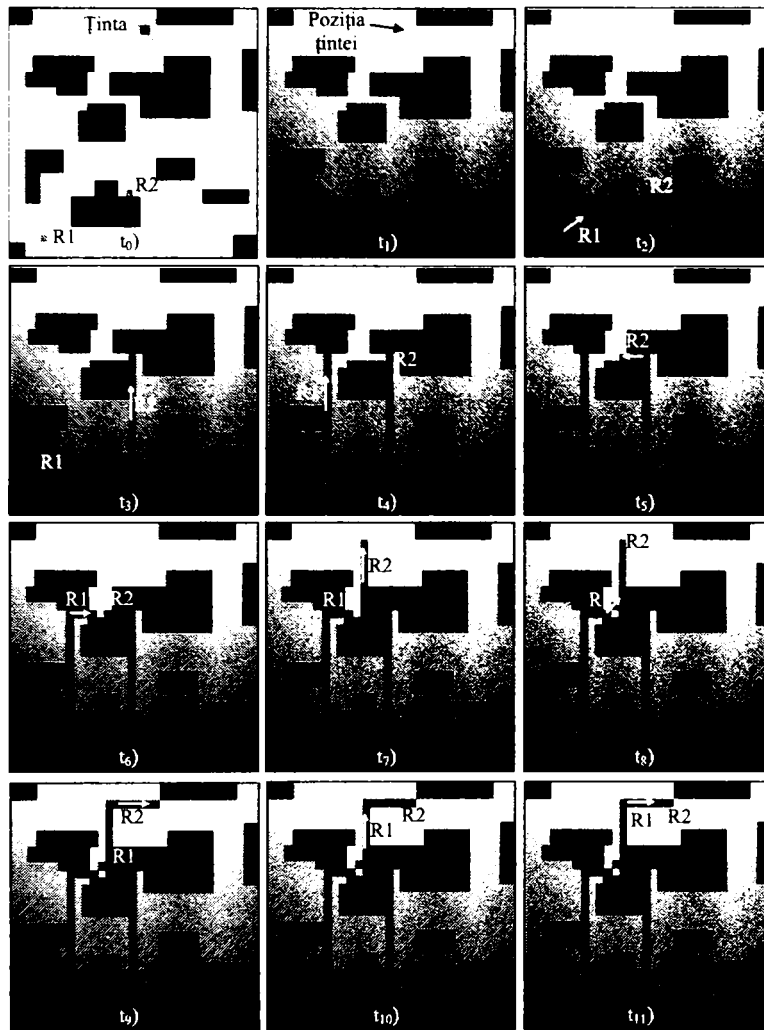


Figura 4.20. Rezultatele simulării algoritmului CNN de planificare a traiectoriilor pentru doi roboți mobili la deplasarea lor spre o țintă comună dintr-un mediu cu obstacole

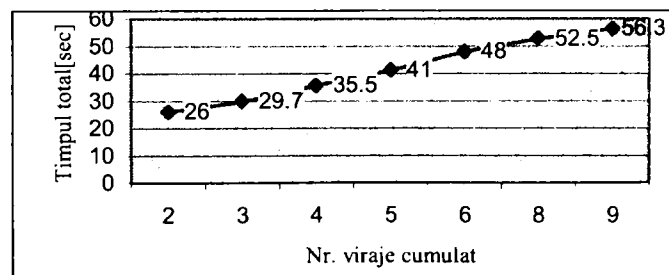


Figura 4.21. Dependența dintre timpul total de procesare necesar algoritmului și numărul de viraje cumulat al celor doi roboți.

## 4.4. Algoritm CNN pentru deplasarea unui robot mobil prin metoda *wall-following*

Navigarea autonomă a unui robot mobil într-un labirint, nu e deloc o sarcină ușor de rezolvat. Chiar și în situația când acesta cunoaște forma labirintului și locul unde trebuie să ajungă, planificarea traiectoriei acestuia, astfel încât să ajungă la țintă pe drumul cel mai scurt, necesită elaborarea unor algoritmi sofisticăți. Dacă poziția țintei nu e cunoscută apriori de către robot, atunci acesta nu poate decât să se deplaseze aleator prin labirint fără să se ciocnească de pereți, și eventual să nu caute prin zonele pe unde a mai trecut, până ce va găsi ținta [99].

În continuare se prezintă un algoritm, (conceput, realizat și testat de către autor) prin care un robot mobil, ce se află în interiorul unui labirint, se deplasează spre un perete și apoi paralel cu acesta până când va atinge ținta. Robotul poate să aibă peretele în dreapta sau în stânga sa, în funcție de sensul de deplasare. Traiectoria sa nu va fi una optimă, dar printr-o simulare preliminară în ambele sensuri de deplasare, din poziția de start până la țintă și apoi prin evaluarea și optimizarea celor două traiectorii obținute, se poate determina în final ce traiectorie trebuie urmată de către robot astfel încât aceasta să fie cât mai apropiată de traiectoria optimă.

În general, operația de urmărire a peretelui (*wall-following*) se bazează pe senzori ultrasonici. Datele preluate de la aceștia sunt folosite pentru obținerea unei reprezentări locale a mediului pe baza căreia este comandat robotul mobil [35]. Reprezentarea mediului poate fi făcută printr-o discretizare spațială [30],[100], caz în care mediul este divizat într-un anumit număr de celule care pot fi "ocupate" sau "libere" într-un anumit grad sau pe baza unor trăsături [101],[102], spre exemplu mediul poate fi modelat printr-un set de puncte, linii și plane.

O altă metodă de deplasare pe lângă un perete este prezentată în [34], unde robotul mobil este echipat cu o antenă formată din mai multe tronsoane îmbinate cu articulații. Când antena atinge peretele, aceasta se va îndoi din articulații și în funcție de unghiurile făcute de fiecare articulație se poate determina poziția robotului față de perete. În [103] se utilizează procesări de imagini pentru detecția liniei imaginare ce corespunde centrului coridorului și în final se realizează ghidarea robotului mobil de-a lungul acestei linii.

Algoritmul reprezintă o concepție originală și se bazează pe informațiile vizuale date de o cameră video, iar imaginile obținute sunt prelucrate cu rețele neuronale celulare. Imaginea labirintului este binarizată și apoi discretizată, astfel încât rezoluția ei să corespundă cu rezoluția CNN. În acest fel imaginea poate fi reprezentată de o rețea neuronală celulară având  $M \times N$  celule.

### 4.4.1. Prezentarea algoritmului

În aplicația de față, se consideră un exemplu de labirint având forma din Figura 4.22. În această figură sunt indicate poziția de start a robotului precum și locul unde este situată ținta. Robotul mobil, arătat în figură, trebuie să ajungă la poziția țintei deplasându-se pe culoarele labirintului.

Se presupune că robotul mobil nu cunoaște poziția țintei, astfel că el va trebui să folosească doar informații locale pentru deplasare. Robotul va avea totuși ca punct de reper, pereții labirintului, astfel că la fiecare pas vor fi verificate pozițiile din jurul său (dacă sunt libere sau dacă sunt "ocupate" de pereți) și în funcție de acestea el va alege să se deplaseze de-a lungul peretelui până când "va găsi" ținta.

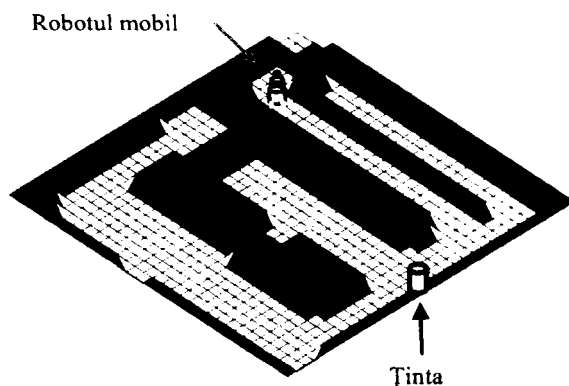


Figura 4.22. Forma labirintului, poziția de start a robotului și poziția țintei.

Se presupune în acest algoritm, că spațiile libere au lățimea de cel puțin doi pixeli iar ținta se află situată lângă perete sau la o distanță de cel mult un pixel față de acesta. În același timp, pereții labirintului, se presupun uniți între ei, sau dacă există pereți izolați, ținta nu se va afla lângă aceștia. În exemplul prezentat în Figura 4.22, labirintul nu are pereți izolați iar ținta se află situată lângă perete.

Algoritmul de deplasare pe lângă perete a robotului mobil a fost testat folosind mediul **VisMouse – SimCNN** [73],[75]. Programul utilizat pentru simularea deplasării robotului din punctul inițial până la țintă, în ambele direcții de deplasare (cu peretele în dreapta, apoi cu peretele în stânga sa) a fost scris în limbaj de asamblare **AMC** [77], (vezi Anexa A4), pe baza organigramei prezentată în Figura 4.23.

#### 4.4.1.1. Alegerea direcției optime de deplasare

După etapa de discretizare și preprocesare cu rețele neuronale celulare, imaginea labirintului va fi în domeniul standard CNN, iar pixelii din imagine ce au valoarea +1 reprezintă pereții labirintului respectiv pozițiile interzise pentru robot, în timp ce pixelii de valoare -1 sunt, de fapt, coridoarele labirintului respectiv zonele libere. Poziția robotului mobil este identificată printr-un singur pixel de valoare +1.

În continuare, sunt verificați pixelii (dacă au valoarea +1 sau -1) din jurul pixelului ce reprezintă poziția robotului și va fi determinată poziția viitoare. Această poziție va fi aleasă astfel încât robotul să se deplaseze pe lângă peretele coridorului lângă care este situat. Poziția viitoare (N, S, E sau V) va fi o poziție liberă și depinde de configurația pozițiilor (liberă sau ocupată), din jurul robotului (N, NE, E, SE, S, SV, V și NV), (Figura 4.24).

După ce robotul mobil a ajuns lângă perete, poate să se deplaseze avându-l pe acesta în dreapta sau în stânga sa, prin simpla schimbare a sensului de deplasare. Schimbarea sensului de deplasare presupune schimbarea logicii de deplasare adoptate de către robot. Dacă robotul alege sau trebuie să se deplaseze de-a lungul unui perete, avându-l pe acesta în dreapta sa, va explora pozițiile vecine și apoi va decide poziția viitoare conform organigramei prezentată în Figura 4.25a.

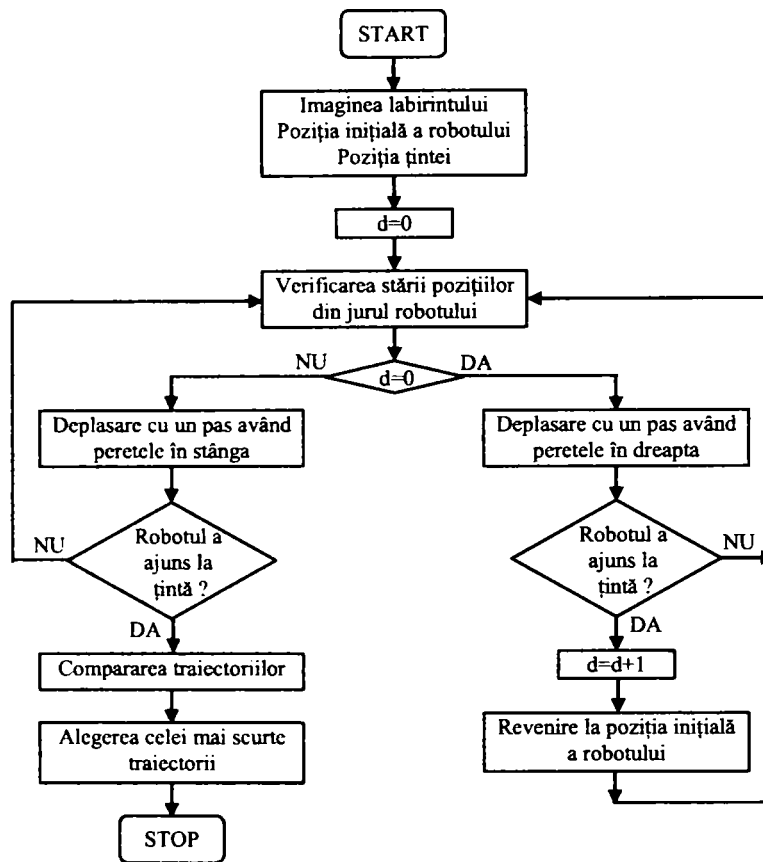


Figura 4.23. Organigrama algoritmului utilizat pentru deplasarea robotului mobil în cele două sensuri de deplasare.

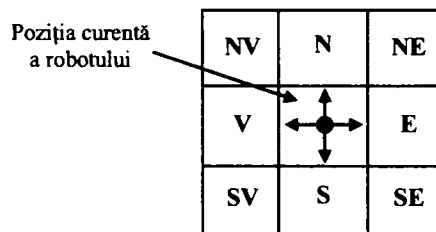


Figura 4.24. Pixelii din jurul pixelului ce indică poziția robotului și direcțiile de deplasare posibile.

Practic, pentru reducerea timpului de explorare a pozițiilor vecine robotului, vor trebui inițial verificate doar pozițiile E, V, N, S și dacă cel puțin una din aceste poziții are valoarea +1 adică "ocupată", se va putea decide poziția următoare fără a se mai verifica pozițiile din direcțiile SE, SV, NV, NE. În situația în care toate pozițiile din direcțiile principale E, V, N și S sunt "libere" atunci robotul va fi nevoit să exploreze și pozițiile din direcțiile SE, SV, NV, NE și după ce doar una din aceste poziții a fost găsită "ocupată" robotul va putea decide poziția viitoare fără a mai verifica restul pozițiilor.

Dacă robotul trebuie să se deplaseze pe lângă perete, astfel încât acesta să se afle în permanență în stânga sa, atunci va adopta logica de deplasare prezentată în Figura 4.25b. Și în această ipostază robotul va simplifica procesul de explorare a pozițiilor vecine, într-o manieră similară cu cea prezentată mai sus.

Robotul se va deplasa pas cu pas (pixel cu pixel) pe lângă perete, și după fiecare pas se verifică pe baza algoritmului dacă este atinsă poziția țintei, iar dacă acest lucru se întâmplă se va opri. În ambele sensuri de deplasare lățimea traiectoriei obținute va fi de un pixel.

Pentru alegerea direcției de deplasare se utilizează procesări elementare AMC [77] asupra imaginii robotului (imagine cu un singur pixel negru), având la bază familia de template-uri SHIFT, care corespund celor patru direcții principale de deplasare (relațiile 4.16). În cazul unuia din template-urile din familia SHIFT, doar unul din elementele operatorului B sunt egale cu 1 restul fiind 0, astfel: SHIFTE (e = 1), SHIFTS (s = 1), SHIFTV (v = 1), SHIFTN (n = 1).

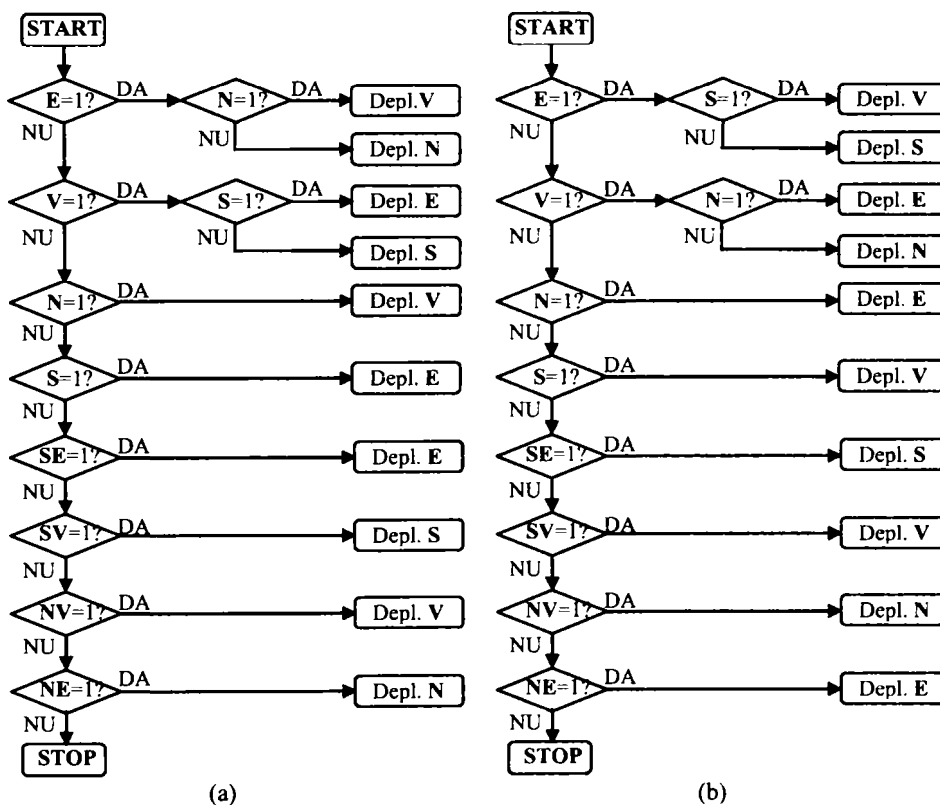


Figura 4.25. Logica de deplasare a robotului: a) având peretele în dreapta; b) având peretele în stânga.

$$A = \begin{pmatrix} 0 & 0 & 0 \\ 0 & 2 & 0 \\ 0 & 0 & 0 \end{pmatrix} \quad B = \begin{pmatrix} 0 & s & 0 \\ e & 0 & v \\ 0 & n & 0 \end{pmatrix} \quad z = 0 \quad (4.16)$$

În Figura 4.26 se prezintă un exemplu concret de alegere a pozițiilor viitoare, în cazul în care robotul se deplasează având peretele în dreapta sa. Logica aleasă în acest caz va fi cea dată în Figura 4.25a.

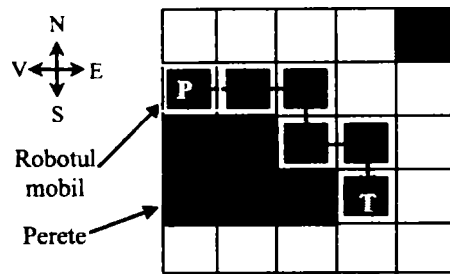


Figura 4.26. Exemplu de alegere a pozițiilor viitoare de către robotul mobil.

Robotul se va deplasa din punctul P spre punctul T, pe lângă peretele din dreapta sa, alegând succesiv direcțiile: E,E,S,E,S.

#### 4.4.1.2. Determinarea traiectoriei optime

Pentru obținerea unei traiectorii optime, ce unește poziția inițială de start a robotului și poziția țintă, prin simulare "robotul" se va deplasa din punctul start către țintă într-o direcție apoi în cealaltă. Astfel, pe baza algoritmului prezentat mai sus, se vor obține două traiectorii pentru robot, una când robotul se deplasează având peretele în dreapta și una când acesta are peretele în stânga. Prin procesări CNN, din imaginile celor două traiectorii posibile pentru robot se alege imaginea cu traiectoria cea mai scurtă, iar aceasta la rândul ei poate fi optimizată astfel că în final se va obține o traiectorie foarte apropiată de cea optimă, în sensul celui mai scurt traseu.

În Figura 4.27 sunt prezentate cele două traiectorii prin care robotul, pe baza algoritmului, poate să ajungă la punctul țintă.

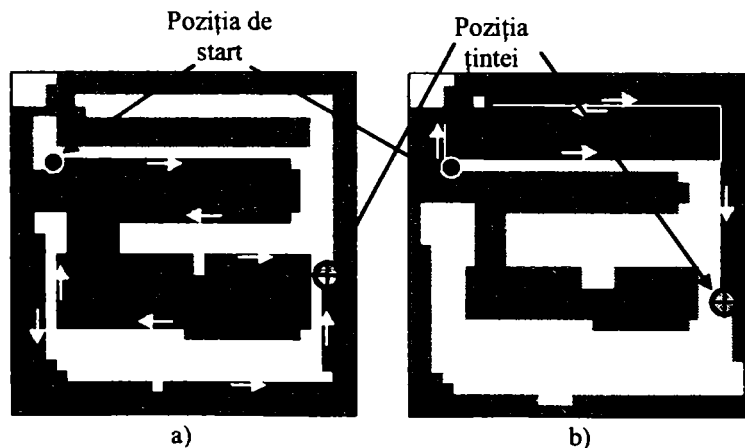


Figura 4.27. Traiectoriile robotului în cele două sensuri de deplasare: a) robotul are peretele în dreapta; b) peretele se află în stânga robotului.

Se observă că traiectoria din Figura 4.27b are lungimea mult mai mică în comparație cu lungimea traiectoriei din Figura 4.27a, astfel că aceasta va fi prelucrată în continuare pentru a fi optimizată.

O metodă simplă pentru determinarea traiectoriei optime poate fi aplicată dacă în imaginea labirintului coridoarele au lățimea de doi pixeli. Prin procesarea imaginii labirintului cu rețele neuronale celulare se poate obține o astfel de imagine.

După obținerea celor două traiectorii la deplasarea robotului într-un sens și în sens opus, imaginea traiectoriei cu lungimea cea mai mică va fi suprapusă cu imaginea labirintului (Figura 4.28a) și se va aplica încă o dată algoritmul de deplasare prezentat mai sus tot în sensul în care s-a obținut traiectoria cea mai scurtă. Astfel, pe baza acestei traiectorii, robotul nu va mai pătrunde inutil în anumite spații și va descrie o traiectorie mult mai scurtă spre țintă, (Figura 4.28b).

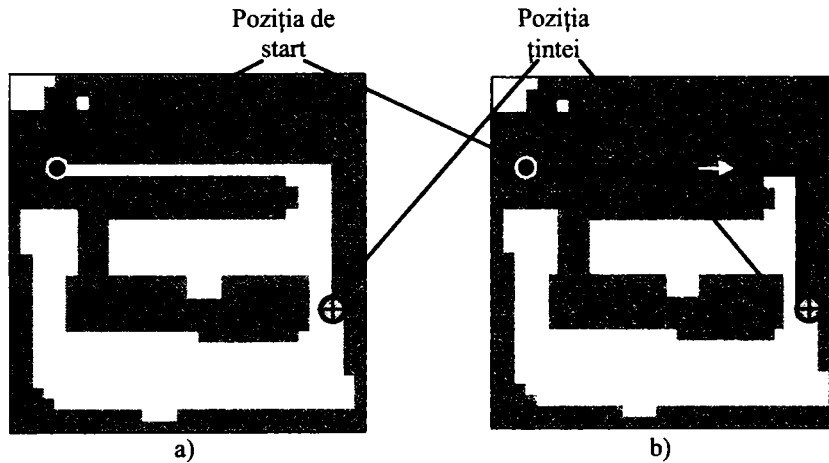


Figura 4.28. Modalitate de obținere a traiectoriei optime în situația când în imaginea labirintului coridoarele au lățimea de doi pixeli; a) imaginea procesată a labirintului; b) traiectoria optimă obținută prin aplicarea algoritmului asupra imaginii labirintului prezentată la a).

## 4.5. Concluzii

Algoritmul CNN de planificare a traiectoriei unui robot mobil a fost realizat în ambele variante de alegere a direcției de deplasare a robotului (subcapitolele 4.2.2.1 și 4.2.2.2) și simulat în aceleași condiții, urmărind diferențele dintre rezultatele obținute, mai ales în ceea ce privește timpul total de procesare. Timpii au fost măsurați în cazul simulării pe un calculator cu procesor Pentium III la 800 Mhz. În Figura 4.29 se prezintă un grafic care arată dependența dintre timpul necesar pentru simularea algoritmului și lungimea traiectoriei obținute, exprimată în număr de pixeli, în cele două variante de alegere a direcției de deplasare.

Se observă că în cazul metodei de determinare a pixelului cu valoare minimă prin aplicarea template-ului PATH, timpul de procesare este foarte mic în situațiile în care robotul se află aproape de țintă și este mai mare decât în cazul celeilalte metode doar în cazul în care robotul s-ar afla la o distanță "foarte" mare de țintă.

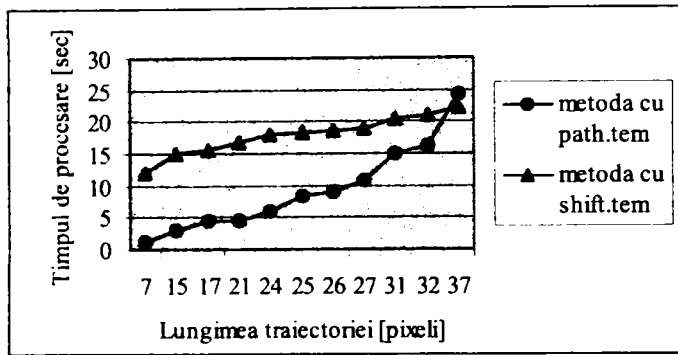


Figura 4.29. Dependenta dintre lungimea traiectoriei parcurse de robot și timpul de procesare necesar în cazul celor două metode pentru determinarea direcției optime.

Timpul total minim de prelucrare necesar algoritmului se obține însumând timpii minimi necesari de prelucrare pentru fiecare etapă în parte. Din acest timp, timpul necesar pentru evaluarea distanțelor dintre punctele libere ale spațiului de lucru și poziția țintei are o pondere importantă. Acesta depinde de distanța dintre poziția de start și poziția țintei, deoarece este absolut necesar ca unda, cu originea în țintă, să se propage până la pixelul ce indică poziția de start.

Unul din avantajele metodei propuse constă în faptul că unda ce se propagă din punctul țintă se deplasează doar până când întâlnește pixelul ce reprezintă poziția robotului și astfel timpul necesar propagării undei respectiv aplicării template-ului EXPLORE scade, mai ales în situația în care robotul se află aproape de țintă. Pe de altă parte poziția viitoare respectiv direcția ce asigură apropierea față de țintă se obține prin aplicarea unui singur template (PATH) asupra imaginii actualizate a undei ce se propagă prin spațiile libere din mediu.

Timpul necesar rulării algoritmului CNN de planificare simultană a traiectoriei pentru doi roboți poate fi redus prin predicția poziției viitoare [94], ce urmează să fie ocupată de către roboții mobili la fiecare pas al algoritmului, astfel roboții nu vor trebui "să aștepte" ca celălalt robot să parcurgă o porțiune dreaptă din traiectorie pentru a decide care va fi traiectoria viitoare a sa.

Referitor la metoda *wall-following* de deplasare a robotului mobil, s-a avut în vedere reducerea timpului de explorare a pozițiilor vecine robotului, astfel acesta va trebui inițial să verifice doar pozițiile E, V, N, S și dacă cel puțin una din aceste poziții are valoarea +1 adică "ocupată", robotul va putea decide poziția următoare fără a mai verifica pozițiile din direcțiile SE, SV, NV, NE. Mai mult decât atât, dacă în timpul verificării pozițiilor principale s-a determinat o poziție ca fiind "ocupată" și dacă a mai fost verificată cel puțin încă o poziție principală, robotul va putea deja decide poziția viitoare, fără a mai verifica toate pozițiile principale. În situația în care toate pozițiile din direcțiile principale E, V, N și S sunt libere atunci robotul va fi nevoit să exploreze și pozițiile din direcțiile SE, SV, NV, NE și imediat ce una din aceste poziții a fost găsită "ocupată" robotul va putea decide imediat poziția viitoare fără a mai verifica restul pozițiilor.

Timpul total de prelucrare necesar algoritmului crește aproape liniar cu lungimea traiectoriei măsurată în pixeli. În Figura 4.30 s-a reprezentat dependența acestui timp de lungimea traiectoriei în două cazuri distincte de aplicare a algoritmului și anume cazul în care sunt verificate toate pozițiile din jurul robotului și apoi se va lua decizia cu privire la poziția viitoare (Metoda 1) și cazul în care se



aplică algoritmul CNN sub forma prezentată în lucrare (Metoda 2). Timpii au fost măsurați în cazul simulării pe un calculator cu procesor Pentium III la 800 MHz.

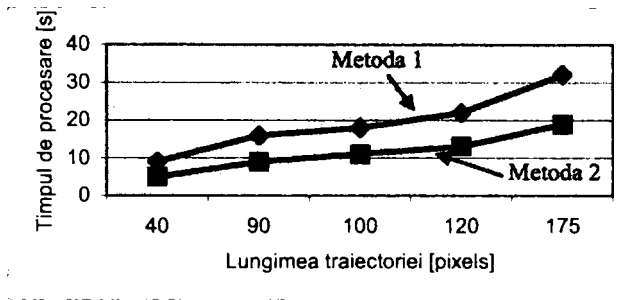


Figura 4.30. Dependența timpului de procesare al algoritmului de lungimea traiectoriei obținute în cazul celor două metode de determinare a poziției viitoare a robotului.

Unul din dezavantajele algoritmului prezentat îl constituie faptul că robotul trebuie să verifice de fiecare dată, în cel mai bun caz, cel puțin două din pozițiile vecine din direcțiile principale de deplasare. În situația cea mai defavorabilă trebuie verificate toate cele opt poziții situate în jurul robotului, ceea ce implică un timp relativ mare de procesare.

Timpul necesar algoritmului poate fi redus considerabil dacă prin aplicarea unui singur template CNN s-ar putea obține poziția viitoare a robotului la fiecare pas al algoritmului. De fapt, ar fi nevoie de două template-uri, unul când robotul se deplasează având peretele în dreapta și unul când acesta se deplasează având peretele în stânga. Prin aplicarea acestor template-uri cu ajutorul unei imagini mască, ce reprezintă vecinătatea robotului, s-ar putea indica mult mai rapid poziția viitoare ce trebuie ocupată de către robot.

O condiție necesară pentru buna funcționare a algoritmilor prezentați în acest capitol este ca în imaginile achiziționate să se poată identifica atât punctul de start cât și punctul țintă. Din aceste considerente rezultă dimensiunile imaginii și pasul de eșantionare minim pentru discretizarea spațială a imaginii achiziționate.

## 5. COLECTIVITĂȚI DE ROBOȚI MOBILI

### 5.1. Noțiuni introductive

Necesitatea realizării unor sarcini tot mai complexe a făcut ca performanțele roboților mobili să crească continuu, prin utilizarea senzorilor și actuatorilor avansați și a algoritmilor de comandă inteligenți. În acest fel, robotul mobil individual a devenit cu timpul, un dispozitiv foarte sofisticat deoarece trebuia și trebuie să fie capabil să se adapteze, să învețe, și în special să colaboreze.

Cu toate acestea, unele operațiuni fie nu puteau fi realizate de către un singur robot fie ar fi durat un timp inacceptabil de mare. Astfel, odată cu avansarea tehnicii în domeniul procesării informației, senzorilor și al structurilor de locomoție, au luat ființă grupurile sau colectivitățile de roboți. În cadrul acestora, roboții componenți iau în considerare pentru realizarea operațiunilor, atât percepția proprie dar și informațiile obținute prin cooperarea cu ceilalți roboți din sistem. Ca urmare, complexitatea operațiunilor realizabile de către roboții mobili crește, deschizând calea către un întreg spectru de aplicații. Ideea de bază este realizarea unor grupuri de roboți care să lucreze în cooperare. Deși având capacități limitate, astfel de roboți, realizați în număr mare, pot reprezenta o forță cumulativă puternică precum o colonie de furnici sau roi de albine.

Roboții mobili dintr-un grup, interacționează în mod constant, nu numai cu un mediu înconjurător dinamic, uneori ostil, dar și cu alți roboți și nu în cele din urmă, cu operatorul uman. Un astfel de robot va fi construit să fie parte integrantă a unui sistem complex, unde gradul de cooperare dintre structurile componente caracterizează eficiența și utilitatea sistemului. Inteligența colectivă ce se dezvoltă ca urmare a acestor interacțiuni, justifică denumirea de "societăți de roboți", pe baza analogiei cu structuri din natură. O societate robotică este un grup de roboți (membri ai societății) care au abilitatea de a comunica și de a realiza sarcini în comun. O societate este definită prin informațiile de care dispune, precum și de structura sa de comandă care face posibilă planificarea și execuția sarcinilor.

Se poate constata, în ultimii ani, un interes crescând privind teoria și implementarea colectivităților (coloniilor) de roboți, alcătuite din indivizi care cooperează între ei în vederea realizării unor sarcini specifice. Aproape fără excepție, cercetările vizează coloniile de roboți mobili, probabil datorită faptului că modelul biologic care a inspirat aceste cercetări - insectele sociale - se caracterizează, în general, prin mobilitate.

Există cel puțin două motive pentru care societățile de roboți prezintă interes potențial pentru aplicațiile tehnice. Un prim motiv îl constituie toleranța la defecte. Conceptul de societate presupune implicit o înaltă redundanță, în sensul că atribuțiile unui individ, devenit nefuncțional, pot fi preluate cu ușurință de către alți membri ai societății, fără a fi necesară o reconfigurare a întregii societăți. Cel de-al doilea motiv îl constituie structura de comunicație într-o societate, de la individ la individ, impusă de numărul mare de membri ai acesteia și mai ales de situarea acestora mai mult sau mai puțin dispersați. Această caracteristică permite mărirea sau micșorarea cu ușurință a numărului de indivizi dintr-o societate, fără nici o redefinire a structurii de comunicație.

Este evident, că aplicarea conceptelor de mai sus este benefică într-o serie de aplicații tehnice, mai cu seama când se impune o funcționare autonomă, în condiții de mediu variabile și cu o fiabilitate sporită.

Ca și în cazul roboților mobili, studiul colectivităților de roboți este în mod sigur un domeniu de cercetare inter-disciplinar. Această arie de cercetare combină metode din domenii dintre cele mai diverse cum ar fi: mecanică, electronică, știința calculatoarelor dar și din biologie sau chiar filozofie.

### 5.1.1. Avantajele utilizării colectivităților de roboți

Avantajele utilizării echipelor de roboți a atras atenția cercetătorilor mai ales în ultimii ani [9]. În viitorul apropiat, mediul în care vor opera cea mai mare parte a roboților mobili autonomi nu va fi nici stabil nici structurat. Acesta este unul din principalele motive pentru care o tendință majoră în robotică este către colectivitățile de roboți denumite uneori și sisteme multi-robot.

Folosirea unui sistem multi-robot cu scopul de a realiza în locul oamenilor diverse probleme se justifică, în primul rând, din punct de vedere economic. Descompunerea unei sarcini în mai multe sub-sarcini ce pot fi executate în paralel, în cele mai multe cazuri, mărește viteza de execuție. Pe de altă parte, mediul de operare al roboților poate impune restricții cu privire la mărime, greutate, etc., ceea ce conduce la soluția "divizării" unui robot complex în mai mulți roboți, fiecare din aceștia fiind specializat pentru o anumită operație. Spre exemplu, poate fi considerat mediul în care roboții trebuie să treacă prin unele locuri etanșate cum ar fi în centralele nucleare în care o sarcină de curățare trebuie să fie realizată într-un perimetru puternic radioactiv.

Sistemele robotice curente folosesc, de regulă, pentru aplicații la distanță platforme sofisticate și scumpe, tipic roboți mari sau mijlocii desfășurați ca o singură unitate, fiind înzestrați adesea cu instrumentație complexă și echipe de ingineri pentru diverse operații sau pentru service. Acești roboți au costuri mari de realizare, sunt greu de transportat, și pe lângă acestea, în multe cazuri, nu pot fi recuperați datorită expunerii lor la diverse pericole.

Utilizarea roboților multipli va face să crească siguranța în funcționarea sistemului, în timp ce scade complexitatea sarcinilor pentru un robot și de asemenea timpul total de execuție al unei sarcini complexe. În același timp, roboții de dimensiuni mici pot reduce costul operațiilor, pot înlocui muncitorii în locuri periculoase cum ar fi: zone radioactive, toxice, etc., și pot crește productivitatea.

Așadar, se justifică utilizarea sistemelor multi-robot în loc de un singur robot pentru anumite sarcini, din cel puțin următoarele motive:

- acestea pot realiza unele sarcini complexe ce nu pot fi realizate de către un singur robot;
- e mai economic să se construiască câțiva roboți mici și ieftini decât unul mare și scump;
- se obține o mai bună distribuție spațială - o echipă de roboți poate acoperi o arie mult mai mare decât un singur robot. Acest avantaj e scos în evidență atunci când se fac operații de explorare sau căutare și salvare.
- se pot efectua mai multe operații în paralel - un robot poate să facă doar puține lucruri în același timp. În cadrul unei echipe de roboți fiecare din ei poate să facă altceva.
- sistemul este mai robust și mai sigur - dacă o parte din roboți se defectează sau sunt scoși din funcțiune, restul pot să continue operațiile sau chiar să-i înlocuiască pe ceilalți.

Au fost implementate și metode hibride, spre exemplu, a fost realizat un sistem care constă într-un robot mai mare care explorează o clădire desfășurând un robot mai mic în camerele și zonele unde el nu poate să ajungă sau să intre din cauza gabariturii. Acest mod de explorare are unele avantaje față de modul de explorare cu singur robot, dar nu beneficiază totuși de avantajele utilizării sistemelor de roboți complet distribuite.

De asemenea, există anumite sarcini numite "strâns cuplate" (*tightly coupled tasks*) care, chiar nu pot fi executate de către un singur robot necesitând utilizarea mai multor roboți care lucrează împreună [104]. Pentru execuția acestor sarcini complexe, robotul trebuie să acționeze într-un mod extrem de coordonat și acest mod de lucru necesită cunoștințe despre stările și acțiunile echipei fie prin comunicare implicită (senzorială) fie prin comunicare explicită. De regulă, în cele mai multe cazuri acțiunea fiecărui robot este hotărâtoare în ceea ce privește realizarea cu succes a sarcinii, în sensul că o nereușită individuală poate compromite funcționarea echipei și implicit nerealizarea sarcinii propuse.

Manipularea prin cooperare este un exemplu tipic de sarcină "strâns cuplată". Pentru transportul unui obiect prin cooperare roboții trebuie să se coordoneze ei înșiși pentru a ridica obiectul și a-l transporta sau împinge între două locații diferite.

Există însă și tipuri de sarcini care pot fi executate de către un singur robot numite "slab cuplate" (*loosely coupled tasks*) dar se obțin performanțe mai bune când este folosită o echipă de roboți.

### 5.1.2. Aplicații ale colectivităților de roboți

În ultimul timp au apărut multe aplicații în care colectivitățile de roboți mobili sunt utilizate cu succes. Cele mai cunoscute dintre acestea sunt:

- operații de căutare, salvare și recuperare;
- îndepărtarea materialelor radioactive;
- explorarea unor domenii necunoscute (cercetări subacvatice, explorări planetare, etc.);
- operații de supraveghere;
- în minerit;
- manipularea unor obiecte grele, sau voluminoase.

Realizarea unor roboți mobili pășitori compacti pot avea aplicații, spre exemplu, pentru explorări planetare cum ar fi în cazul misiunilor de pe planeta Marte [105]. În general, NASA studiază posibilitatea trimiterii unor echipe de roboți ca alternativă la trimiterea de ființe umane. Pentru auto-susținerea acestor colonii de roboți, trebuie proiectate sisteme de comandă flexibile pentru a putea fi stabilite interacțiuni multiple și pentru obținerea unor proprietăți adaptive a roboților. De asemenea, roboții trebuie să dispună de un sistem mecanic integrat astfel încât să fie capabili să-și prelungească timpul de viață prin auto-depanare și prin înlocuirea instrumentelor uzate sau rupte cu care aceștia operează.

În domeniul explorărilor planetare, trimiterea unui singur robot nu pare a fi o soluție bună, deoarece dacă acesta se defectează atunci misiunea poate fi compromisă. Dacă sunt mai mulți roboți, atunci unul altul poate să îi ia locul sau roboții se pot ajuta între ei pentru a realiza unele sarcini.

În [106] sunt prezentate câteva posibile aplicații ale colectivităților de roboți mobili. Spre exemplu, mai mulți roboți mobili pot fi dispersați în clădiri avariate pentru a căuta eventualii supraviețuitori prin detecția sunetelor sau chiar a

respirației umane. De asemenea, aceștia pot detecta o țintă inamică într-o clădire. Un soldat poate, spre exemplu, să desfășoare o echipă de roboți care să "colinde" prin clădiri. Dacă unul din aceștia detectează, prin intermediul senzorilor săi, o mișcare umană sau sunet atunci va transmite un semnal spre o stație de bază.

O echipă de roboți mobili care se poate organiza și deplasa în diverse forme ordonate, poate fi folosită, spre exemplu, ca o antenă distribuită într-un anumit spațiu.

Securitatea clădirilor poate fi asigurată de echipe de roboți care patrulează și sunt echipați fiecare cu un sistem de intercomunicație.

Se prefigurează că în viitor roboții mobili de dimensiuni minuscule vor putea fi injectați în corpul uman pentru a realiza unele "misiuni" cum ar fi "atacarea" celulelor cancerigene.

## 5.2. Modele de societăți întâlnite în natură

Termenul "societate" duce cu gândul în primul rând la societatea umană, cu structura, legile și comportamentul său extrem de complex. Și în societatea animală sunt structuri ce posedă un nivel ridicat de inteligență, cum sunt mamiferele, dar există și alte organisme complexe care au evoluat într-o direcție diferită. În locul unui singur individ înzestrat cu inteligență superioară, natura a creat sisteme în care inteligența este distribuită între mai multe unități.

Un prim exemplu de organisme care au tendința să formeze structuri care au caracteristici apropiate de cele ale unei societăți, sunt bacteriile.

Asemănătoare, dar mult mai rafinată, este organizarea întâlnită la anumite specii de insecte: furnici, albine sau termite. Pentru a avea o cooperare eficientă aceste sisteme au nevoie de un set de reguli de bază pentru a reduce pe cât posibil toate interferențele și concurența între membrii săi.

### 5.2.1. Bacteria

Până de curând bacteriile erau considerate a fi doar simpli microbi unicelulari. Deși studiile făcute încă la începutul secolului trecut, demonstreu contrariul, au fost necesari zeci de ani ca bacteria să fie considerată organism multicelular cu abilitatea de a crea comunități, vâna în grup și chiar să comunice [107].

Unele bacterii au capacitatea de a forma structuri stabile și de o regularitate surprinzătoare. Organizarea coloniei este facilitată de deplasarea bacteriilor de-a lungul gradientului unei substanțe chimice pe care de altfel o și răspândesc.

Această bacterie vânează prin secreția unei enzime care dizolvă stratul protector al prăzii. Pentru a avea rezultatul scontat, enzima trebuie să aibă timpul necesar să-și facă efectul. Strategia prin care bacteriile au rezolvat problema este următoarea: înconjoară prada și apoi emit enzimele astfel încât aceasta nu are cale de scăpare. Așteptând ca enzimele să acționeze, bacteriile folosesc hrana prăzii, economisind astfel energie.

În [108] se precizează că bacteria a reușit să folosească faptul că este un organism multicelular în favoarea sa: putere prin număr, potențialul de a se specializa și diviziunea muncii.

În viitor, când un sistem de roboți va număra mii de membri, observațiile făcute cu privire la aceste organisme simple pot constitui inspirații pentru modul de a controla aceste sisteme artificiale distribuite.

### 5.2.2. Insectele sociale

Inspirațiile din domeniul sistemelor multi-robot au venit, în principiu, de la insectele sociale. Furnicile, în ciuda nivelului redus de inteligență, au supraviețuit schimbărilor petrecute în mediul înconjurător. Aceste animale cu structuri ce par la prima vedere haotice, dezvăluie la o cercetare mai atentă, un nivel ridicat de inteligență distribuită. Abilitatea de a supraviețui vine din structura și redundanța societății. Furnicile au unele caracteristici uimitoare cum ar fi:

- comunicare pe bază de substanțe chimice;
- auto-organizare;
- comportament coordonat;
- auto-activare.

Aceste viețuitoare, care au reguli simple de conviețuire, pot demonstra un comportament complex, pe baza interacțiunilor între membri societății și alți membri sau mediu. Dacă aceste reguli pot fi identificate și formulate într-un mod care să permită aplicarea lor în robotică, pot fi create sisteme artificiale care să prezinte robustețe și flexibilitate asemănătoare.

Se consideră că, comportamentul insectelor sociale se realizează pe baza unui program predefinit, care este executat în momentul în care senzorul detectează stimulii necesari. Analogia cu robotica este evidentă.

În [109] se citează un exemplu de comportament invocat de un anumit stimul, în acest caz o substanță chimică. Într-un mușuroi de furnici, corpurile furnicilor moarte sunt transportate la grămada de cadavre. Prin extragerea unor substanțe din corpul furnicilor moarte și atingerea unor furnici vii, acestea din urmă au fost cărate în aceeași grămadă.

Pentru cercetători, una din cele mai mari probleme este modul de obținere a informațiilor cu privire la comportamentul colectiv prin studierea comportamentului individual. În [110] se afirmă: "comportamentul colectiv este mai mult decât suma participanților, din moment ce la nivelul sistemului apar alte tipuri de comportament".

Se pune deci întrebarea: Cum reușesc furnicile să dezvolte societăți cu o structură atât de dezvoltată, în timp ce considerate individual, par să fie atât de ineficiente? În [111] se enumeră câteva posibile soluții pentru a răspunde la această întrebare. În primul rând, comportamentul individual al furnicilor este posibil să nu fie atât de aleatoriu pe cât îl percepem. Furnicile nu sunt considerate particule aleatorii ci animale care comunică și au numeroase moduri de a diviza sarcinile. O altă idee ar fi acceptarea comportamentului aleatoriu al indivizilor, dar să se admită faptul că organizarea lor compensează ineficiența individuală.

Mecanismul care stă la baza îndeplinirii unei sarcini poate fi descris prin faptul că fiecare individ face ce face vecinul lui [109]. Cuplând acest mecanism cu reguli simple și care sunt invocate de anumiți stimuli, se poate obține un sistem a cărui performanță să fie superioară sumei performanței tuturor indivizilor.

În [112] se folosește termenul *stigmercy* (termen inventat de biologul francez P. Grasse în 1995) pentru a descrie un astfel de comportament colectiv. Definiția dată acestui termen este: „invocarea unui anumit comportament ca urmare a efectului produs în mediul înconjurător de comportamentul anterior”.

În [113] se afirmă că, comportamentele complexe la nivelul societății (în acest caz procesul de auto-organizare în cazul formării fagurilor de albine sau selectarea colectivă a sursei de nectar) se dezvoltă de la sine, ca urmare a interacțiunilor concurente între sub-unități.

În afară de aceste exemple, multe alte lucrări studiază comportamentul insectelor și îl modelează pentru a transfera apoi în simulatoare. Toate acestea dovedesc că insectele sociale pot rezolva probleme globale prin interacțiunea între membrii societății precum și între membri și mediul înconjurător.

### 5.2.3. Societăți animale

Animalele dovedesc faptul că pot fi realizate soluții viabile fără a fi nevoie de structuri de control și comunicare complexe. Societățile animale existente în natură pot fi divizate în două mari categorii: cele care diferențiază și cele care integrează [114].

Insectele sociale sunt un bun exemplu de societate care diferențiază. Membrii societății sunt divizați în caste și individul există pentru societate și depinde total de aceasta. Aceste grupuri pot îndeplini sarcini care sunt imposibile oricărui dintre indivizi.

Celălalt tip de societate are la bază atracția indivizilor unul pentru celălalt. Membrii societății nu sunt înrudiți. Fiecare individ este condus de motivații egoiste, ceea ce îi îndeamnă să formeze grupuri și să profite de pe urma acestora. Un bun exemplu sunt haitele de lupi (comportament sincronizat) sau bancurile de pești (coordonare redusă). În acest caz societatea există doar pentru binele individului și nu invers.

Motivele pentru care cele două tipuri de societăți au evoluat în natură sunt similare: protecție împotriva prădătorilor, vânătoarea în grup sau coordonarea unor diverse sarcini comune (căutarea hranei, formarea și deplasarea în grupuri).

## 5.3. Studii, implementări și rezultate privind colectivitățile de roboți mobili

Colectivitățile de roboți mobili sunt proiectate de cele mai multe ori în manieră distribuită în ceea ce privește partea senzorială și cea de execuție, cu scopul de a realiza unele sarcini cu sau fără unele forme de cooperare [115]. Exemple unde se necesită o execuție distribuită sunt: spălarea dușumelei, tunderea unui gazon, lucrări de recoltare, curățarea pereților, supravegherea unui domeniu, etc. Toate aceste operații pot fi realizate de către un singur robot, fără cooperare cu alți roboți, într-un timp suficient, uneori prea mare. Pe de altă parte sunt sarcini de cooperare care necesită mai mult de un singur robot cum ar fi transportul unui obiect greu sau stingerea unui incendiu.

Proiectarea sistemelor, pentru aceste sarcini, necesită realizarea de diverse arhitecturi care folosesc fie un set omogen de roboți fie unul neomogen. Comunicarea explicită dintre roboți variază de la una inexistentă la o topologie total conectată în care fiecare robot are acces la cunoștințe globale complete. De asemenea, mărimea sistemului poate varia de la câțiva roboți la peste 100 de roboți. Cele mai multe sisteme care au fost experimentate prin implementare fizică au avut mai puțin de 10 roboți.

Așadar, punând mai mulți roboți să realizeze o sarcină nu se obțin doar avantaje, apar probleme noi ce trebuie luate în considerare [10] cum ar fi:

- cum trebuie formulate, descrise și alocate sarcinile în cadrul colectivității?
- cum trebuie folosite resursele primite de către roboți?
- cum trebuie stabilite comunicarea și interacțiunile dintre roboți?
- cum se asigură ca roboții să acționeze coerent?

- cum se permite roboților să rezolve conflictele apărute între ei?

Răspunsul la prima problemă depinde de compoziția setului de roboți folosit. Dacă setul de roboți este omogen, înseamnă că roboții au capacități identice. Dacă însă aceștia sunt heterogeni vor avea capacități diferite, care sunt de dorit în unele aplicații. Distribuirea sarcinilor într-un set heterogen de roboți este o problemă mult mai complexă, deoarece unele sarcini pot fi potrivite doar pentru unii roboți din echipă.

O resursă, în ceea ce privește a doua problemă, poate spre exemplu, să fie: o unealtă (pe care roboții o folosesc pentru a-și îndeplini sarcina), mijlocul de comunicație sau spațiul folosit. Practic, prin împărțirea spațiului se urmărește evitarea coliziunii dintre roboți. Prin împărțirea resurselor poate apărea problema blocării procesului. Roboții care sunt "politicoși" pot să aștepte la infinit ca ceilalți roboți să le elibereze resursele.

Cercetările privind societățile de roboți își propun ca obiectiv elucidarea mecanismelor prin care poate fi controlată funcționarea acestor structuri. În acest scop, fie prin simulare fie prin experimentare directă, în condiții de laborator sau în medii reale, sunt imitate o serie de comportamente inspirate cu precădere din comportamentul specific insectelor sociale (albine, furnici, termite) [11],[116],[117]. Câteva experimente, devenite de notorietate în literatura de specialitate, vor fi prezentate în continuare.

În [118] se prezintă o abordare a societăților de roboți în care membrii acesteia trebuie să cerceteze un mediu inițial necunoscut. În timpul testelor efectuate cu simulatorul construit pentru această societate, a devenit evident că un sistem dinamic (societate de roboți) operând într-un mediu înconjurător dinamic, rareori are o stare ce poate fi caracterizată statică. Controlul parametrilor operaționali cu ajutorul tehnicilor tradiționale a fost imposibil. Acești parametri operaționali sunt cei care controlează eficiența membrilor societății (raza de comunicare, definiția obstacolelor, parametrii pentru realimentarea cu energie, etc.). Pentru a rezolva această problemă, au fost aplicați Algoritmii Genetici pentru implementarea sistemului de control al societății. Parametrii au fost codificați în genomi și a fost creată prima generație. După un anumit timp de simulare, o parte din membrii societății au fost scoși din joc, pe baza unui sistem de clasificare în funcție de cât de adaptați sunt indivizii la cerințele mediului. Apoi simularea a fost reluată. Experimentul a arătat că deși algoritmul ales nu a fost cea mai bună alternativă datorită numărului redus al populației, sistemul a funcționat acceptabil.

### 5.3.1. Comunicarea dintre roboți

Majoritatea metodelor de comandă a sistemelor multi-robot subliniază importanța pe care o are modul de comunicație robot-robot, comunicație folosită în general pentru a schimba între aceștia mesaje de comandă și date senzoriale locale. În [14] se precizează că, comunicarea dintre roboți poate fi caracterizată de:

- **distanța de interacțiune** – distanța maximă dintre emițător și receptor în timpul transmiterii informațiilor;
- **explicitatea transmiterii de informații** – dacă robotul emițător intenționează într-adevăr să transmită informații;
- **simultaneitatea interacțiunii** – timpul dintre momentul transmiterii informației și momentul recepționării acesteia de către receptor.



Cooperarea dintre roboții, care formează o echipă, poate fi realizată pe baza comunicării dintre roboți, și această comunicare poate fi **implicită**, **explicită** sau poate fi realizată prin **comunicarea stării** robotului.

### 5.3.1.1. Comunicarea implicită

Comunicarea implicită reprezintă transmiterea informației prin intermediul mediului de lucru [12]. Se consideră doi roboți mobili R1 și R2 care tund un gazon, și că amândoi sunt capabili să detecteze iarba tunsă față de cea netunsă [14]. Robotul R2 nu trebuie să-l informeze pe R1 care parte din iarbă a tuns el. De fapt, nici R1 și nici R2 nu trebuie să urmărească astfel de informații, acestea sunt memorate în mediu. Roboții comunică în procesul de cosire presupus doar prin intermediul mediului, realizând astfel o comunicare implicită.

Un fapt interesant despre comunicarea implicită e că aceasta este adesea inevitabilă. Robotul R1 nu poate din senin să oprească transmiterea informației despre ce parte din iarbă a fost tunsă. Din acest motiv, comunicarea implicită este extrem de robustă, nu poate fi oprită.

Distanța pe care se poate realiza comunicarea implicită este dependentă de capacitățile senzoriale ale roboților. Un robot poate recepționa informații lăsate de un alt robot dacă poate vedea, atinge, miroși, auzi sau utilizând alte tipuri de senzori pentru detecția acestora. Atingerea necesită o distanță de interacțiune aproape zero, în timp ce vederea necesită doar o distanță minimă.

Este interesant faptul că această comunicare este un produs secundar al unui comportament robotic oarecare, robotul nu intenționează să comunice în această manieră (cu toate că se poate baza pe o astfel de comunicare). De asemenea, timpul dintre începerea transmisiei și recepționarea mesajelor este nelimitat. Informația poate rămâne în mediu un timp nedefinit. Totuși în cele mai multe cazuri informația se risipește în timp. De exemplu, informația memorată în mediu despre tipul de iarbă cosită sau necosită se va "risipi" odată ce iarba a căzut. Robotul R2 nu va fi capabil "să spună" după un an, ce parte din iarbă a fost tunsă.

Comunicarea implicită are avantajul că este o comunicare simplă care, de regulă, apare în mod automat. Are însă ca și dezavantaj faptul că este limitată la ceea ce pot distinge senzorii robotului și la informația ce poate fi transmisă prin mediu. Spre exemplu, avansarea în realizarea sarcinii cum ar fi tunderea unei pajști poate fi transmisă ușor, dar pe de altă parte, descoperirea unui mod de lucru eficient de către unul din roboți nu poate fi transmis prin mediu.

În lumea animală un bun exemplu de comunicare implicită îl constituie furnicile, care comunică prin eliberarea unei substanțe chimice.

### 5.3.1.2. Comunicarea explicită

Comunicarea explicită reprezintă transmisia și recepția intenționată a informației. Acest lucru se obține de obicei cu ajutorul unui mecanism de comunicație fundamental cum ar fi: comunicare serială, în infraroșu sau comunicare prin unde radio.

În sistemele multi-robot comunicarea explicită se realizează de regulă prin unde radio. Astfel, un robot poate să anunțe întreg sistemul despre poziția sa, sau poate folosi un emițător radio cu rază de acoperire mai mică pentru a comunica doar cu robotul din fața lui. Topologia utilizată pentru comunicarea în sistemele multi-robot se întinde de la un graf complet la o structură (arbore) ierarhică de bază. Un exemplu în acest sens îl reprezintă un sistem constituit din muncitori și lideri, unde

fiecare lider are în responsabilitate câțiva muncitori, care pot comunica doar cu acesta.

Una dintre cele mai interesante idei cu privire la comunicarea explicită în sistemele multi-robot este comunicarea abstractă vizavi de comunicarea situațională. În cadrul comunicării abstracte, se presupune că, conținutul unui mesaj are mai multe înțelesuri. Spre exemplu, un robot R1 poate trimite un mesaj altui robot R2 de tipul "mergi în locația x". Robotul R2 trebuie să fie capabil să se deplaseze spre locația x. La comunicarea situațională, mesajul însăși precum și conținutul mesajului are înțeles. De exemplu, dacă R1 trimite mesajul "vino spre mine 5 unități" R2 va fi capabil să-și dea seama ce trebuie să facă din conținutul mesajului. Tot din mesaj el poate să afle poziția lui R1.

Acest concept este deosebit de puternic în situațiile în care un lider (sau un alt reper) dirijează o echipă de roboți. Spre exemplu, o comandă "toți să vină în apropiere" este posibilă fără ca liderul să cunoască poziția fiecăruia.

Distanța de interacțiune, în cazul comunicării explicite, depinde de tehnologia de comunicație folosită și poate fi de la câțiva centimetri la zeci de metri în cazul echipelor de roboți distribuite. Transmiterea informațiilor între doi roboți se poate face instantaneu în sistem semiduplex când unul din roboți este pe recepție, celălalt va trimite informațiile sau în sistem duplex când ambii roboți pot trimite și recepționa simultan informațiile.

Pentru realizarea comunicării implicite trebuie să se monteze pe roboți dispozitive de comunicare, apoi aceștia sunt gata pentru trimitere și recepționare de informații. Siguranța și robustețea comunicării depind de siguranța și robustețea sistemului de comunicație folosit precum și de structura mediului de lucru.

### 5.3.1.3. Comunicarea stării robotului

Comunicarea stării robotului reprezintă, de fapt, transmiterea de informații obținute prin observarea comportamentelor robotului. Dacă se consideră sarcina de căutare a surselor de lumină, comportamentul implicat poate fi de hoinărire la întâmplare până când este detectată o sursă de lumină, apoi drept înainte spre aceasta. Dacă un robot oarecare hoinărește la întâmplare și detectează un al doilea robot R2 făcând același lucru, R1 poate trage concluzia că R2 nu a găsit nici el o sursă de lumină. Pe de altă parte, dacă R1 detectează un R2 care se mișcă rapid în linie dreaptă, R1 poate să-și dea seama că R2 a găsit o sursă de lumină și poate să-l urmeze pe acesta cu scopul de a găsi și el sursa de lumină.

Comunicarea stării are două premise. Un robot trebuie să fie capabil să distingă roboții față de alte obiecte din mediu, și trebuie să fie capabili să sesizeze și să interpreteze acțiunile lor. Acest lucru este destul de greu de obținut, uneori chiar proiectanții unui robot au probleme în a spune ce face un robot.

Acest tip de comunicare are aplicații interesante la jocurile de competiție, unde abilitatea unui robot de a ghici acțiunile altuia, este foarte importantă. Un exemplu este acela în care o echipă de roboți caută obiecte pentru a le aduce înapoi la o bază. Un robot R1 poate să-și dea seama că dacă un membru din echipa adversă R2 se deplasează în linie dreaptă într-o anumită direcție acesta a găsit obiecte. R1 poate decide să urmărească robotul R2 pentru a găsi el însuși obiectele. R2 pe de altă parte poate să-l inducă în eroare pe R1, aceasta fiind deci o strategie de apărare.

Ca și în cazul comunicării implicite distanța de interacțiune este dependentă de capacitățile senzoriale ale robotului. De regulă, senzorii vizuali sunt favoriți datorită flexibilității acestora și cantității mari de informații pe care o pot furniza.

De asemenea, comunicarea stării poate fi: implicită sau explicită. Un robot R1 poate fi capabil "să spună" ce face un oarecare robot R2 fără ca R2 să transmită intenționat aceste informații. Aceasta este comunicarea implicită. Pe de altă parte, R2 poate să-l inducă în eroare pe R1, caz în care comunicarea este explicită.

Timpul dintre începerea transmisiei și recepționarea mesajului în cazul comunicării stării este instantaneu. Deoarece prin comunicarea stării sunt transmise informații despre ce face un anumit robot în acel moment, informația trebuie să fie recepționată imediat.

Este interesant faptul că acest mod de comunicare este oarecum robust deoarece comunicarea între doi roboți poate avea loc fără a se baza pe alți factori. Astfel, dacă o mare parte din sistemul multi-robot funcționează prost, partea rămasă poate continua să comunice fără probleme.

Comunicarea stării este un mod de comunicare care a apărut o dată cu colectivitățile de roboți în care roboții componente lucrează împreună și este limitată de capacitățile senzoriale ale roboților. De exemplu, sarcina curentă pe care o realizează un robot poate fi comunicată în această manieră dar pe de altă parte comunicarea locației unui obiect și distincția dintre un robot care se plimbă la întâmplare și unul ce se mișcă rapid în linie dreaptă sunt operații dificil de realizat.

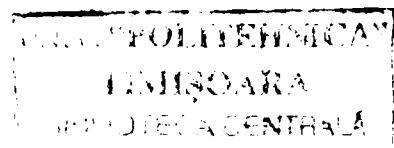
#### 5.3.1.4. Analiza tehnicilor de comunicare

Fiind date cele trei tehnici menționate mai sus, care din ele ar fi mai utilă? Adesea se presupune că, comunicarea explicită oferă cele mai multe avantaje. Pentru a alege un anumit tip de comunicare trebuie ținut cont de câțiva factori cum ar fi: costul, siguranța în funcționare, timpul de execuție al sarcinii, etc. În cadrul experimentelor există, de obicei, un set de sarcini ce trebuie realizat și se urmărește timpul în care se realizează acest set cu diverse forme de comunicare între roboți.

În lucrarea [141] se stabilește că în unele situații comunicarea explicită nu aduce îmbunătățiri în realizarea unei sarcini. Autorul a demonstrat, prin experimente, că echipele de roboți se descurcă bine fără a folosi o comunicare explicită. În studiile sale trage concluzia că o comunicare explicită nu este esențială la sarcini care includ o comunicare implicită, dar că o comunicare explicită îmbunătățește semnificativ performanțele sistemului, în cazul sarcinilor ce se desfășoară într-un mediu ce nu favorizează comunicarea implicită. În continuare, autorul găsește că dacă comunicarea stării este prezentă, atunci comunicarea explicită furnizează puține informații noi.

În [142] autorul a făcut un experiment în care o echipă de roboți trebuie să mute un număr de pucuri la o destinație pe care ei trebuie să o descopere în decursul experimentului. Toți roboții comunică între ei și există o arie dată unde se poate găsi destinația. Roboții trebuie, de asemenea, să raporteze evoluția lor la intervale date de timp. Autorul a descoperit că sunt trei lucruri care influențează cooperarea roboților: gradul în care efectele acțiunilor pot fi sesizate, cantitatea de muncă care poate fi realizată de un robot și costul acțiunilor redundante.

Apare aici întrebarea dacă comunicarea implicită este posibilă. Autorul concluzionează că sarcina de mutare a pucurilor se poate baza pe o comunicare implicită. Un robot poate sesiza ușor dacă un puc a fost mutat prin faptul că el nu se mai află în locația inițială. Pe de altă parte, într-o echipă de roboți este suficient dacă unul din roboți află destinația deoarece acesta va informa restul echipei. Fără o comunicare implicită, toți membrii echipei trebuie să găsească individual destinația. Dacă se renunță la comunicarea explicită se introduce oarecum o redundanță dar cu



toate acestea costurile ar putea fi mai mici. Sunt însă și situații când fără o comunicare explicită, performanțele obținute de grupul de roboți sunt slabe.

Așadar, din cele două lucrări prezentate, se poate trage concluzia că dacă la realizarea unei sarcini sunt posibilități de comunicare implicită, atunci comunicarea explicită nu mai este neapărat necesară, dar că ea este totuși folositoare. Dacă costurile de realizare a acțiunilor redundante în prezența doar a comunicării implicite sunt mari, atunci comunicarea explicită este benefică.

### 5.3.2. Cooperarea roboților

Inteligența colectivă imprimată roboților mobili, nu implică în mod automat și cooperare. Dacă se consideră mai mulți roboți care adună cuburi într-o arie predefinită, comportamentul roboților demonstrează un anumit tip de inteligență, având criteriile de bază: supraviețuirea și îndeplinirea sarcinii. Totuși, acest comportament este departe de a fi cooperativ. Poate deveni cooperativ prin introducerea în acest sistem a unei comunicări active. Spre exemplu, transmiterea de mesaje între roboți, sau comunicare pasivă cum ar fi lăsarea unei substanțe mirositoare care poate fi urmărită de către roboți.

În [11] a fost definit comportamentul colectiv ca fiind orice comportament a unui set de agenți ce conține cel puțin doi agenți. Autorii consideră comportamentul cooperativ ca fiind o subclasă a comportamentului colectiv și au propus următoarea definiție: "Dată fiind o anumită sarcină specificată de proiectant, se poate spune că un sistem multi-robot cooperează dacă, datorită unui mecanism cu care sistemul este înzestrat (numit mecanism de cooperare), apare o creștere în randamentul sistemului".

Această definiție prezintă o problemă conceptuală: randamentul sistemului trebuie evaluat. În cadrul experimentelor desfășurate în laborator este relativ simplu de evaluat, dar în lumea reală, randamentul sistemului se evaluează în funcție de o serie de factori, care trebuie ponderați, astfel încât estimarea să fie cât mai corectă. Printre altele, trebuie luate în considerare timpul necesar pentru îndeplinirea sarcinii precum și numărul de roboți rămași "în viață" la sfârșitul experimentului. Cu toate acestea, în lumea reală, randamentul unui sistem este greu de definit și măsurat cu acuratețe. O soluție o reprezintă executarea repetată a experimentului și adunarea datelor în scopul analizării lor din punct de vedere statistic.

O altă definiție poate fi găsită în [143]. Autorii afirmă că diferența între un comportament colectiv ne-cooperant respectiv unul cooperant este legată de modul în care o sarcină poate fi dusă la îndeplinire: "poate un singur robot să ducă la îndeplinire sarcina sau este necesară participarea mai multor roboți?".

Pentru a fi prezent în diversele acțiuni ale grupului, mecanismul de cooperare trebuie implementat în arhitectura de comandă a colectivității de roboți.

### 5.3.3. Comanda colectivităților de roboți

Arhitectura de comandă folosită pentru colectivitățile de roboți poate fi, în linii mari, de două tipuri:

- centralizată;
- descentralizată.

În cazul metodei de comandă centralizate, sistemul dispune de un controler central care supravezează și coordonează întreaga echipă de roboți sau poate exista un robot lider, care are același rol [12]. Comanda descentralizată presupune că

fiecare robot se auto-coordonează într-un mod similar pentru toți roboții, sau în mod inegal atunci când există o anumită structură ierarhică în cadrul sistemului [13].

În [10], se face o paralelă între caracteristicile principale ale acestor două tipuri de arhitecturi (Tabelul 5.1).

Centralizată	Descentralizată
<p>- Este posibilă optimizarea mișcării tuturor roboților, deoarece supervizorul îi poate lua pe toți în considerare în același timp.</p> <p>- Capacitatea de calcul a supervizorului trebuie să crească odată cu creșterea numărului de roboți.</p> <p>- Faptul că doar un singur agent este implicat în planificarea mișcării, face sistemul multi-robot vulnerabil. Dacă supervizorul dintr-un oarecare motiv nu mai funcționează corect atunci este compromisă funcționarea întregului sistem.</p>	<p>- Este inerent ne-coordonată, deoarece robotul nu are o percepție globală a acțiunilor.</p> <p>- O creștere a numărului de roboți nu implică o creștere a capacității de calcul a roboților.</p> <p>- Problemele apărute la un robot nu afectează planificarea mișcării la nivelul celorlalți roboți.</p>

Tabelul 5.1. Comparație între caracteristicile arhitecturilor de comandă centralizată și descentralizată.

Cele mai folosite arhitecturi de control sunt cele descentralizate. Acestea au adesea unele avantaje în plus față de arhitecturile centralizate cum ar fi: toleranță la defecte și o mai bună siguranță în funcționare.

În lucrarea [137] sunt sugerate două metode pentru rezolvarea planificării acțiunilor în cadrul sistemelor multi-robot:

- Metoda tratării tuturor roboților, în spațiul de configurare, ca un singur robot (de exemplu considerarea setului de roboți ca un singur robot cu mai multe grade de libertate). Aplicarea acestei metode presupune însă, cunoașterea configurației inițiale și finale a întregului sistem.
- Metoda planificării "decuplate", în care planificarea pentru fiecare robot este obținută în doi pași: în prima fază este pregătită o planificare aproximativă (mai mult sau mai puțin independentă de ceilalți roboți), care va fi corectată în faza a doua în timpul deplasării acestuia.

În [138] este prezentat un planificator cu două nivele pentru evitarea coliziunii în sistemele multi-robot. Prin nivelul înalt al planificatorului se caută o traiectorie fără coliziune (dacă aceasta există), pentru fiecare robot și nivelul de jos coordonează mișcarea robotului în intersecțiile traiectoriilor planificate. Algoritmul construiește o rețea bazată pe o descompunere în patru a spațiului de lucru, care este folosită de roboți pentru evitarea locală a coliziunilor, cum ar fi mișcarea față/spate sau chiar mișcarea de-a lungul unei traiectorii pre-planificate.

Lucrarea [139] descrie o arhitectură flexibilă pentru a modela simultan mii de agenți mobili autonomi. Comportamentul agenților se bazează pe o presupusă arhitectură în care comportamentele individuale sunt prioritare față de toate celelalte. Comportamentul de grup se bazează pe câmpurile potențiale sociale, ale căror modele sunt extinse prin introducerea unei zone neutre, în cadrul căreia celelalte comportamente se pot desfășura liber. Pe lângă acestea este evaluat efectul câmpurilor potențiale sociale și în prezența unor agenți care se defectează,

precum și în situația existenței unor informații senzoriale incomplete, respectiv insuficiente.

În [140] sunt studiate un set de roboți "politicoși" în care toți roboții cedează în favoarea celorlalți, sistemul având o structură descentralizată. Autorii pretind că obținerea unei situații de blocaj este o problemă dificilă. În experimentul lor, autorii proiectează un mediu cu puține restricții pentru a fi mai ușor de detectat situațiile de blocaj, și anume:

- spațiul liber constituit din drumuri drepte;
- lățimea fiecărui drum este fixată astfel încât doi roboți să nu poată merge unul cu altul pe același drum;
- doar trei ramificații sunt permise la o intersecție a rețelei de drumuri.

Fiecare robot transmite informații despre starea sa la toți ceilalți roboți. Astfel că, atâta vreme cât comunicația dintre roboți funcționează toți roboții au acces la cunoștințele globale despre sistem. Roboții utilizează o înțelegere de manipulare a resurselor pe care autorii o numesc comunicare "cinstită", care înseamnă că un robot nu va încerca să ia o resursă care este în "proprietatea" altui robot. Acest lucru este util mai ales când resursele în cauză sunt spațiul, deoarece încercarea de a lua o astfel de resursă poate conduce la o coliziune. Dacă un robot vrea să intre pe o parte a drumului, care este deja ocupată, acesta va trebui să se oprească. Un robot care oprește la o intersecție, va verifica cu ajutorul cunoștințelor sale despre poziția celorlalți roboți, câți roboți trebuie să se oprească la acea intersecție și direcția fiecărui robot. Prin acest mod poate fi detectată o posibilă situație de blocaj. Pentru eliminarea unor astfel de situații, unul dintre roboți va primi statutul de lider. Starea roboților se va schimba temporar în cazul situațiilor de posibil blocaj, de la complet autonomă la robot cu prioritate sau fără prioritate. Este o tehnică simplă de a rezolva situațiile de blocaj din intersecții deoarece liderul îi dirijează pe ceilalți roboți. După ce blocajul "s-a rezolvat", toți roboții implicați vor fi din nou autonomi.

Concluziile acestui experiment sunt utile pentru situații reale cum ar fi traficul mașinilor sau în aplicațiile de acest gen dintr-un supermarket. În sistemele unde apar situații de blocaj cea mai uzuală soluție este punerea temporară a unui agent care să preia sarcina de planificare a mișcării cu toate că sistemul în condiții normale este descentralizat.

### **5.3.3.1. Coordonarea a doi roboți mobili printr-o arhitectură de tip *leader-follower***

În [12] se prezintă o modalitate de concepție și implementare a sarcinii de transport a unei cutii cu ajutorul a doi roboți mobili (Figura 5.1). Caracteristica principală a arhitecturii propuse (*leader-follower*), este că robotul conducător este responsabil pentru ghidarea ansamblului prin mediu. Schimbarea liderului adică preluarea conducerii de către celălalt robot este înțeleasă de roboți prin comunicație implicită, și în acest fel sunt folosite avantajele controlerelor total dependente de informațiile senzoriale locale.

Prin experimente cu roboți simulați și chiar roboți reali având capacități restrânse de comunicare, s-a observat că utilizând strategii simple de comunicație implicită, se obțin nivele de performanță similare sau comparabile cu cele obținute de echipele de roboți ce operează cu sisteme de comunicație complexe.

Metodologia prezentată se bazează, pe o arhitectură ierarhică compusă dintr-un lider care comandă echipa către o țintă predefinită și ceilalți roboți care se

străduiesc să mențină o prindere potrivită a obiectului ce trebuie transportat. În situația particulară cu doi roboți transportând o cutie, se presupune că doar liderul cunoaște poziția țintei și astfel acesta va fi conducătorul pe toată durata operațiunii. Celălalt robot va conduce grupul pe perioade scurte de timp, atunci când ansamblul trebuie să se deplaseze în spate, și asta se întâmplă când liderul întâlnește un obstacol.

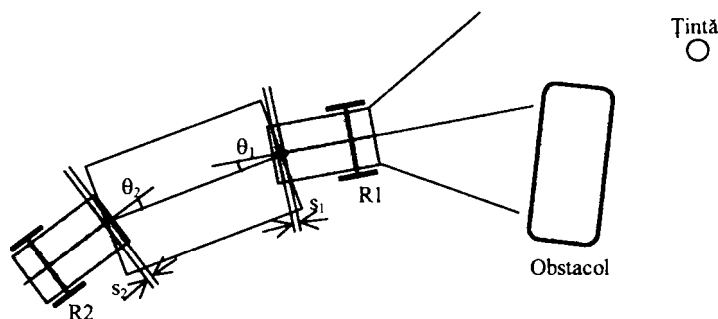


Figura 5.1. Doi roboți transportând o cutie într-un mediu cu obstacole. Roboții sunt capabili să sesizeze deplasarea liniară ( $s$ ) și unghiulară ( $\theta$ ) a cutiei.

Se poate observa un concept de schimbare a conducerii: liderul împrumută autoritatea celui alt robot, care trebuie să o dea înapoi după o perioadă dată de timp sau atunci când cere liderul. Arhitectura de comandă propusă este arătată în Figura 5.2. Fiecare robot are două moduri de comandă principale: **conduce** (în stânga) și **urmărește** (în dreapta). Când controlerul de la lider este activ, robotul respectiv ghidează ansamblul, timp în care controlerul de la celălalt robot este ocupat cu apucarea cutiei.

De obicei, în aplicațiile de transport a unei cutii de către doi roboți, controlerul robotului secundar sunt puternic dependente de poziția și viteza liderului, date care sunt transmise prin legătură radio.

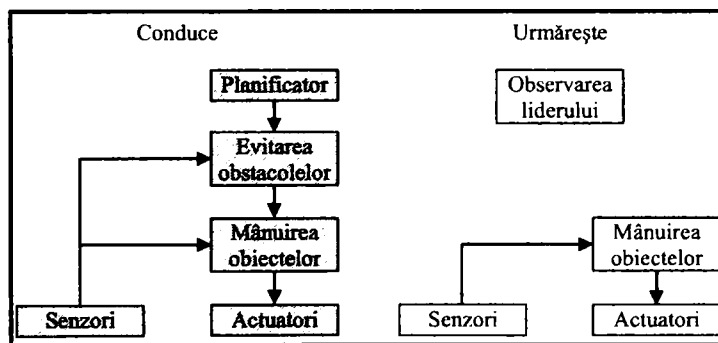


Figura 5.2. Arhitectura de comandă a roboților; suprafața mai închisă reprezintă controlerul activ al robotului lider.

În lucrare, comunicarea este considerată ca fiind limitată sau uneori chiar inexistentă, astfel că, controlerul vor fi puternic dependente de informațiile senzoriale locale. Mișcarea robotului poate fi controlată în funcție de interacțiunile sale cu obiectul. În acest fel, robotul conducător conduce într-o direcție determinată,

pe când celălalt robot se străduiește să mențină constante forțele și momentele aplicate cutiei.

Inițial, obiectul este în echilibru deoarece suma forțelor aplicate este egală cu zero. Când liderul începe să se miște, vectorul rezultat este orientat spre direcția de mișcare. În același timp controlerul robotului secundar îl coordonează pe acesta astfel încât suma forțelor să tindă spre zero. Acest lucru se poate vedea și din Figura 5.2, unde arhitectura propusă nu ia în considerare nici un fel de schimb de informații explicite dintre roboți, astfel că, controlerele principale nu depind unul de altul.

Deoarece poziția țintei este necunoscută de către robotul secundar, când acesta preia conducerea nu știe în ce direcție să se deplaseze. Totuși, prin observarea traiectoriei anterioare, parcurse de lider, poate să aleagă o traiectorie rezonabilă. O intuiție simplă care s-a dovedit experimental ca fiind eficientă este deplasarea pe traiectoria liderului văzută în oglindă, fapt care îmbunătățește considerabil procedura de evitare a obstacolelor. O aproximare bună a traiectoriei stabilite de către lider este traiectoria descrisă de robotul secundar, deoarece ambii roboți se deplasează strâns uniți prin intermediul cutiei. Această traiectorie poate fi ușor estimată pe baza senzorilor odometrici. Dacă acest lucru nu este posibil datorită anumitor restricții (lipsa memoriei sau a elementelor de procesare), pentru memorarea traiectoriei liderului, robotul secundar poate, mai simplu, să se deplaseze înapoi menținând aceeași orientare absolută. Deși acest fapt poate să nu conducă spre o direcție optimă, ansamblul poate în cele din urmă să evite obstacolul.

Schimbarea conducerii este cea mai dificilă sarcină ce trebuie realizată fără comunicare explicită. De regulă, cei mai utilizați algoritmi de evitare a obstacolelor constrâng robotul să se deplaseze înapoi când e imposibil de evitat un obstacol. Deoarece acesta e un caz la îndemână, robotul secundar detectează acest tipar de mișcare, presupunând că liderul a renunțat pentru un timp la conducere. O situație similară apare atunci când robotul secundar trebuie să abandoneze comanda grupului. Acest mecanism reprezintă, de fapt, o formă de comunicare implicită. Cu toate acestea, acest fapt poate fi văzut ca un simplu protocol explicit de non-confirmare, deoarece roboții pot intenționat să preia conducerea prin deplasarea înapoi. Oricum acest protocol de comunicație este limitat, deoarece alte mesaje cum ar fi cerere de conducere sunt dificil de transmis.

### **5.3.4. Sarcini pentru studiul colectivităților de roboți**

Sarcinile cele mai utilizate pentru studiul colectivităților de roboți mobili sunt: căutarea și recuperarea anumitor lucruri dintr-o arie dată (*collective foraging*), transportul unui obiect sau împingerea unei cutii între două locații (*multi-robot box-pushing*), și deplasare grupului de roboți într-o anumită formă respectiv formație (*formation-marching*) [104],[115],[119]. Aceste sarcini colective au fost studiate atât cu roboți fizici reali cât și prin simulare.

#### **5.3.4.1. Explorarea distribuită a unor spații**

În această categorie de aplicații pot fi incluse operații cum ar fi: tunderea unui gazon, lucrări de recoltare, curățarea sau spălarea unei suprafețe, supravegherea unui domeniu, etc. În literatura de specialitate sunt multe exemple de astfel de aplicații, câteva dintre acestea fiind prezentate în continuare.



Un prim exemplu [120], abordat prin simulare, are în vedere o colectivitate de roboți mobili capabili să se deplaseze autonom într-un mediu apriori necunoscut evitând obstacolele întâlnite. O parte din roboți au drept scop colecționarea de obiecte și transportul acestora la o stație de bază, în timp ce o a doua categorie de roboți îi alimentează pe primii cu energie, prelevată de la aceeași stație de bază. Comunicația între membrii colectivității se poate realiza numai local, adică un individ poate face schimb de mesaje doar cu indivizi situați într-o anumită vecinătate. În același timp, operatorul poate și el comunica cu roboții, prin intermediul stației de bază (cu rol de interfață). Studiul scoate în evidență o serie de concluzii interesante privind performanțele societății (număr de obiecte colecționate / energie consumată) în funcție de o serie de factori (numărul de membri ai colectivității, distanța maximă până la care este posibilă comunicația, posibilitatea unui schimb de energie între roboți, etc.).

Un al doilea exemplu, prezentat în [121], abordează problema cooperării dintre doi roboți mobili care efectuează curățenie într-o încăpere. Roboții sunt dotați cu un sistem senzorial (senzori ultrasonici și palpatoare) care le permit evitarea obstacolelor și urmărirea conturului pereților încăperii. Unul din roboți este echipat, în plus, cu un senzor vizual capabil să achiziționeze scene din mediul în care se deplasează. În fine, ambii roboți sunt înzestrați cu uneltele necesare realizării sarcinilor impuse: perie și aspirator pentru unul dintre ei (robotul PA) și respectiv numai aspirator (robotul A), în cazul robotului dotat cu senzor vizual.

Autorii și-au imaginat și au experimentat 4 scenarii, cu complexitate crescândă.

Conform primului scenariu, robotul PA efectuează curățenie și depozitează reziduurile colectate în grămezi, în locuri deja curățate. Cel de-al doilea robot (A), localizează poziția acestor grămezi, utilizând senzorul vizual și le colectează prin aspirare. Autorii au denumit acest gen de activitate "cooperare accidentală", având în vedere că dependent de acțiunile celor doi roboți, cooperarea poate fi prezentă sau dimpotrivă ea poate lipsi.

Cel de-al doilea scenariu experimentat, așa-numita cooperare prin observare, reprezintă o variantă optimizată a cooperării accidentale. De această dată cooperarea este prezentă explicit, robotul A urmărind activitatea robotului PA. Ori de câte ori robotul PA depozitează reziduuri, robotul A localizează poziția acestora și le colectează. O asemenea manieră de cooperare crește eficiența echipei.

Scenariul al treilea optimizează activitatea celor doi roboți ca urmare a faptului că aceștia pot schimba mesaje simple între ei; robotul PA îl poate informa, spre exemplu, pe robotul A, de intenția de a depozita reziduurile colectate precum și de poziția viitoare a grămezi. În această situație robotul A își poate optimiza deplasarea, rezultând de aici o creștere a eficienței activității echipei. Schimbul de mesaje elimină, totodată, eventualele ambiguități în activitatea robotului A, în situațiile în care grămezile realizate de robotul PA nu pot fi cu certitudine localizate pe cale vizuală.

Ultimul experiment prezintă o îmbunătățire considerabilă a experimentelor precedente, prin faptul că cei doi roboți mobili au hărți ale încăperii în care ei navighează autonom. În aceste hărți, punctele de reper sunt reprezentate dependent de natura informațiilor senzoriale achiziționate: semnale de la senzorii ultrasonici și palpatori, în cazul robotului PA și respectiv imagini în cazul robotului A. În aceste condiții pot fi imaginate scenarii foarte diverse și complexe. Spre exemplu, robotul A localizează vizual poziții ale robotului PA, pe care le etichetează și transmite aceste denumiri robotului PA. Acesta le marchează pe harta proprie, pentru a le utiliza în viitor ca puncte de reper față de care să îi precizeze robotului A,

poziția viitoarelor grămezi ce trebuie colectate. Situația acestora este dată relativ la cel mai apropiat punct etichetat față de grămada respectivă. Activitatea robotului A este în această situație considerabil ușurată și eficientizată, deplasarea făcându-se acum atât pe baza informațiilor furnizate de hartă cât și a imaginilor achiziționate de senzorul vizual.

#### 5.3.4.2. Transportul colectiv

Transportul unui obiect masiv cu ajutorul roboților mobili presupune o cooperare strânsă între aceștia. Realizarea cu succes a unei astfel de sarcini este departe de a fi o banalitate. Aceasta presupune stabilirea unor interacțiuni între roboți în funcție de tipul de comunicare dintre ei, care poate fi explicită sau implicită. Un tip de comunicare implicită este realizată prin sesizarea forțelor aplicate obiectului transportat de către celălalt robot sau ceilalți roboți.

Acest tip de sarcină, precum și multe altele, folosite pentru studiul colectivităților de roboți fac analogie cu sistemele biologice. Spre exemplu, un grup de furnici au rezolvat problema transportului unui obiect masiv prin sesizarea forțelor și cuplurilor aplicate obiectului respectiv [122]. Pe baza acestor informații ele își schimbă direcția forței aplicate în concordanță cu necesitatea unor furnici de a-și schimba poziția de prindere. Multe alte exemple similare pot fi întâlnite în natură în jurul nostru. Testate prin evoluția a milioane de ani, aceste structuri sociale au dovedit că se descurcă în medii dinamice și ostile dovedind astfel valabilitatea informațiilor și inspirației venite din natură pentru a realiza structuri de roboți similare.

În [123] este introdus un sistem de transport a materialelor compus din roboți de dimensiuni reduse (în principal prin simulare), fără un control centralizat și cu comunicare inter-roboți redusă la minim. În acest sistem, roboții se organizează în echipe, se adună în jurul încărcăturii ce trebuie transportată și care este stocată pe paleți, o ridică și o deplasează la țintă, unde o lasă jos. Avantajele unui astfel de sistem de transport sunt, printre altele, faptul că roboții de dimensiuni mici pot ajunge în locuri în care unități mai mari nu ar avea acces, iar echipele se pot organiza în funcție de mărimea și greutatea încărcăturii. Misiunea este îndeplinită cu ajutorul unui lider dinamic. Spre exemplificare, unitatea cea mai aproape de încărcătură a fost aleasă ca lider și restul echipei trebuia să o urmeze. În cazul în care în timpul executării misiunii se întâmplă ceva cu liderul, un nou lider este ales și misiunea continuă.

Următorul exemplu este inspirat de modul în care unele insecte își transportă hrana. Aplicația practică a unei asemenea forme de cooperare ar putea-o constitui manipularea de materiale. Pentru studiu se recurge la experimentul denumit *box-pushing*, în care doi sau mai mulți roboți mobili cooperează pentru a deplasa prin împingere o cutie de-a lungul unei traiectorii prestabilite. Soluții foarte diverse, date acestei probleme, sunt menționate în [109].

În [124] sunt prezentate rezultatele studiilor orientate spre obținerea cooperării în cadrul unui sistem de roboți care nu beneficiază de o comunicare explicită. Inspirat de insectele sociale, experimentul s-a concentrat asupra deplasării colective a unui bloc. Atât în mediul simulat pe calculator cât și în cazul roboților din laborator, membrii sistemului au căutat blocul, s-au aliniat corespunzător și au deplasat blocul la destinație. Un fapt demn de remarcat este că sistemul era compus din unsprezece roboți.

Un alt exemplu interesant de transport colectiv este prezentat în [125]. În experiment sunt implicați doi roboți care au sarcina de a transporta un obiect spre

un punct țintă, evitând obstacolele. Elementul de noutate al experimentului îl constituie faptul că fiecare robot este prevăzut cu un dispozitiv (cap de captură), la care se poate atașa cu ușurință obiectul ce urmează a fi transportat. În această situație, cei doi roboți mobili sunt rigid cuplați între ei, singurul grad de libertate permis fiind rotația în raport cu obiectul "prehensat". Este evident, că urmare a acestui fapt, numai printr-o bună cooperare între cei doi roboți este posibilă realizarea sarcinii impuse. Cooperarea înseamnă, în acest caz, o deplasare a celor doi roboți mobili astfel încât componentele forței ce apare în legătura rigidă să se încadreze în limite acceptabile. Dispozitivul de captură este prevăzut cu senzori pentru măsurarea valorilor acestor componente, astfel încât pe baza lor să se poată lua decizii în consecință.

### 5.3.4.3. Deplasarea în formație

Păsările, peștii și multe alte animale se deplasează de multe ori în stoluri, bancuri, haite, etc. În aceste grupuri, animalele trebuie să se deplaseze într-o anumită vecinătate impusă de grup și să evite coliziunile cu vecinii și cu obstacolele din mediu.

Pe baza acestor observații, mersul în formație al roboților mobili (*formation-marching*) este abordat în numeroase lucrări cum ar fi [104],[109] și reprezintă un exemplu tipic de cooperare explicită. Sarcina roboților din grup este deplasarea lor astfel încât să fie păstrat un anumit aranjament fizic. În robotică, acest comportament își găsește aplicabilitatea în aplicații cum ar fi relevarea terenului, depistarea minelor, etc., în general aplicații în care se necesită cercetarea unei suprafețe.

În [126] sunt considerate patru tipuri de formații în care se pot deplasa roboții mobili (Figura 5.3), și anume: în linie, în coloană, în formă de romb, în forma de V.

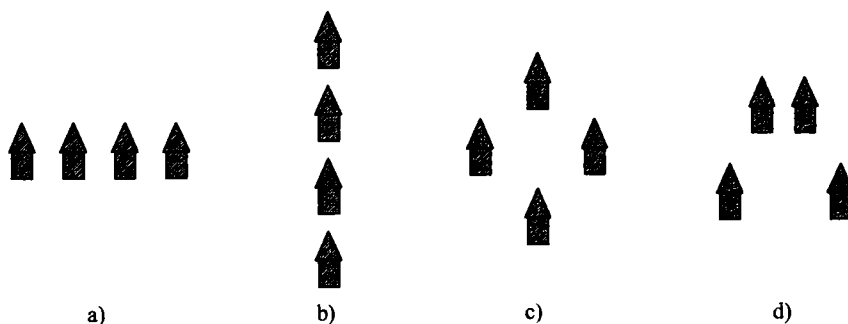


Figura 5.3. Exemple de formații pentru deplasarea unei colectivități de roboți mobili; a) linie, b) coloană, c) în formă de romb, d) în formă de V.

Sarcina pentru fiecare robot este deplasarea spre țintă, evitând obstacolele apărute în cale și în același timp să evite coliziunea cu ceilalți roboți. Pe lângă toate acestea, roboții trebuie să mențină o anumită poziție în cadrul formației. Pentru a realiza aceste cerințe, fiecare robot își va determina poziția proprie din formație pe baza pozițiilor celorlalți roboți. Sunt identificate trei tehnici pentru determinarea poziției în formație:

- în funcție de centrul de simetrie al formației – acest punct este calculat independent de către fiecare robot prin medierea pozițiilor  $x$  și  $y$  ale tuturor roboților din formație.
- în funcție de poziția liderului - fiecare robot își determină poziția față de poziția robotului considerat lider. În acest caz, liderul nu este responsabil de menținerea formației, această sarcină le revine celorlalți roboți.
- în funcție de poziția unui robot vecin - fiecare robot menține o poziție prestabilită față de un robot vecin.

Dinamica și stabilitatea formațiilor de roboți au atras atenția în lucrarea [127]. Se prezintă o strategie pentru deplasarea formației de roboți, în care roboții individuali se ghidează după un lider sau după roboții vecini. În acest fel, informațiile senzoriale pot fi minimizate, deoarece fiecare robot trebuie să cunoască doar poziția liderului sau a unu ori doi roboți vecini. Cercetările se bazează pe menținerea structurii formației printr-o comandă bazată pe o reacție negativă și pe stabilitatea sistemului rezultat.

În [117] este descris un algoritm pentru comanda mișcării unor agenți care se deplasează în grup și sunt evaluate, prin simulare, performanțele sistemului în cazul a trei tipuri de agenți: roboți pășitori (*legged robots*), bicicliști (*bicycle riders*) și sisteme punctiforme (*point masses*). Algoritmul pune în evidență comportamentul de grup al agenților și calculează poziția dorită pentru fiecare membru al grupului pe baza poziției și vitezei membrilor vecini (vizibili), ținând cont, în același timp, de poziția obstacolelor vizibile precum și de viteza impusă pentru deplasarea grupului. Au fost comparate performanțele algoritmului în cazul simulării a trei situații diferite: deplasarea cu viteză constantă a grupului, întoarcerea și evitarea obstacolelor. În toate aceste simulări, sistemele punctiforme au realizat cele mai bune performanțe deoarece controlul exercitat prin comportamentele de grup determină schimbări rapide și predictibile ale poziției și vitezei. Aceste schimbări predictibile permit acestor tipuri de agenți să navigheze fără coliziuni chiar dacă obstacolele mari au deplasări lente. Predicția mișcării roboților pășitori este mai dificil de realizat deoarece viteza lor variază în cadrul unui ciclu de rulare. Oricum, dacă a fost luată în considerare întârzierea inerentă în controlul vitezei, acești roboți sunt capabili să treacă testele de evitare a obstacolelor și de întoarcere. Agenții de tip bicicliști sunt cei mai puțin robuști la schimbările ce pot surveni în mediu, deoarece sistemul lor propriu este concentrat mai mult pe menținerea echilibrului. Dificultatea testului de întoarcere a trebuit redus mult pentru ca aceștia să nu cadă sau să se ciocnească de vecini.

În [128] se arată că mai mulți roboți pot realiza o formație stabilă, în cazul simulării, dacă fiecare robot execută un algoritm identic pentru determinarea poziției în cadrul grupului. Fiecare robot poate percepe poziția relativă a celorlalți roboți și are abilitatea de a se mișca o poziție de grid în timpul unei unități de timp. Prin ajustarea poziției fiecărui robot, relativ la cel mai îndepărtat sau la cel mai apropiat vecin, poate fi realizată prin simulare, o formă geometrică regulată pentru dispunerea roboților cum ar fi cercul.

Prin proiectarea algoritmului astfel încât fiecare robot să-și determine poziția în raport cu roboții vecini, rezultă o formație stabilă, chiar fără o cunoaștere prealabilă cu privire la numărul total al roboților. Desemnarea liderilor permite reguli simple în cadrul grupului pentru a crea algoritmi de tipul *leader-follower* și de a realiza divizarea formației în grupuri mai mici.

În [129] este investigată, prin simulare, stabilitatea asimptotică a mai multor roboți dintr-o formație. Fiecare robot este simulat ca o masă punctiformă și îi percepe pe ceilalți roboți într-o regiune sub formă de con ce are vârful în centrul de

simetrie al robotului și extins pe direcția de mișcare. Formațiile sunt reprezentate ca un set de deviații de la robotul de referință predefinit. În acest mod, o formație poate fi definită direct pentru fiecare robot, ca fiind un set de poziții, față de: lider, cel mai apropiat vecin sau un set compus din cei mai apropiați vecini. S-a dovedit că eroarea de poziționare, relativ la poziția actuală, scade spre zero pentru fiecare robot independent din formație și astfel formația dorită este asimptotic stabilă.

### 5.3.5. Exemple de implementări

Mare parte din studiile prezentate mai sus precum și multe alte studii au fost implementate practic, luând ființă o serie de sisteme multi-robot care sunt compuse în cele mai multe cazuri din roboți omogeni sau marea majoritate a acestora fiind omogeni. Câteva sisteme reprezentative în acest sens sunt prezentate mai jos.

Sistemul **CEBOT** (*CELLular rOBOTics system*) [130] este unul dintre primele sisteme apărute în domeniu și cel mai cunoscut. Arhitectura descentralizată și ierarhică a fost inspirată din organizarea entităților biologice. Sistemul poate fi reconfigurabil dinamic. Roboții pot fi conectați fizic unul cu celălalt și pot fi configurați în funcție de necesități (mediul de lucru, tipul misiunii, etc.)

Sistemul **ACTRESS** (*ACTor-based Robot and Equipments Synthetic System*) [131] constă dintr-o combinație heterogenă între roboți și stații de lucru. Acest sistem poate realiza diverse sarcini. În [132],[133],[134] comportamentul grupului este văzut ca o colecție de comportamente primitive pe baza cărora sunt construite interacțiunile locale și care se combină pentru a genera acțiuni complexe. Sunt prezentate cinci tipuri de interacțiuni locale: plimbare, urmărire, dispersie, agregare și *homing*. Acestea servesc ca blocuri de bază pentru construcția acțiunilor complexe, cum ar fi deplasarea în formație a grupului de roboți fără *leader* sau urmăritori predefiniți.

Conceptul **BEROSH** (*Behavior-based Multiple Robot System with Host for Object Manipulation*) prezintă un sistem multi-robot având sistemul central de coordonare ca *leader* iar membrii sunt omogeni. *Leader*-ul generează *target*-uri pentru roboți și oferă asistență limitată pe parcursul îndeplinirii misiunii, dar nu calculează dinamica țintei sau distribuția forțelor pentru cooperarea dinamică. Rezultatele experimentului arată că deși roboții sunt dotați cu sisteme de manipulare cu un singur grad de libertate aceștia au reușit să transporte, împreună, obiectul la țintă, chiar dacă au fost întâlnite pe traseu obstacole neașteptate.

Un alt exemplu de implementare a unei colectivități de roboți este prezentat în [135]. Se prezintă aici un concept robotic denumit **SWARM-BOT**, bazat pe un grup de roboți mobili autonomi denumiți *s-bots* având capacități de auto-asamblare și auto-configurare. Echipa realizată este compusă dintr-un număr de 30-35 de roboți care au fiecare diametrul de 116 mm. Fiecare dintre aceștia este un robot mobil complet autonom, capabil să realizeze sarcini cum ar fi navigare autonomă, percepția mediului și apucarea unor obiecte. Pe lângă acestea un *s-bot* este capabil să comunice cu ceilalți, astfel că, împreună ei pot să transporte obiecte grele sau voluminoase. Roboții sunt echipați cu toți senzorii necesari pentru o bună navigare, printre care și o cameră video omnidirecțională. Sistemul de comandă este bazat pe un procesor ARM care poate rula la 400 Mhz în LINUX și are o memorie RAM de 64 MB.

Tot pentru studiul colectivităților de roboți mobili, au fost realizați roboții în miniatură **Khepera** [136]. Aceștia au diametrul de doar 55 mm, înălțime 30 mm și o greutate de 70 grame. Sunt echipați cu procesor pe 32 biți la 16 Mhz, senzori odometrici și de proximitate. Versiunea de bază are 8 senzori de proximitate în

infraroșu plasați în jurul său (6 în partea din față și 2 în spate). Acumulatorii îi pot furniza energie pentru asigurarea unei autonomii de o jumătate de oră.

Robotul **Khepera** are o construcție modulară care permite realizarea unei organizări flexibile. Astfel, pot fi echipați cu gripper, modul radio, modul de comunicație locală în infraroșu, sistem vizual stereo, etc. Arhitectura de comunicație dintre roboți și unitatea supervizoare este proiectată astfel încât transferul informațiilor să nu fie afectat odată cu creșterea numărului de roboți

În cazul comunicării prin unde radio sunt posibile două moduri: **standard** (masterul este unitatea de bază) și **robot-based** (masterul este robotul). La modul standard, ce este curent folosit pentru colectivele bio-inspirate, toate tranzacțiile sunt pornite și dirijate de către unitatea radio de bază, pentru un robot sau pentru toți roboții implicați în experiment. La modul **robot-based** nu este definit un protocol inițial, fiecare robot poate începe o tranzacție cu un alt robot sau cu toți roboții din experiment. Aria acoperită de rețeaua radio este aproximativ 100 m<sup>2</sup>.

Senzorii de proximitate, pentru **Khepera**, permit detecția obstacolelor la o distanță maximă de 6 cm în toate direcțiile, astfel că, informațiile despre forma și mărimea obiectelor întâlnite sunt vagi și sunt greu deosebite de obstacole.

O soluție găsită pentru îmbunătățirea capabilității de discriminare a roboților, fără creșterea complexității hard, a fost dezvoltarea de "semințe active" care pot fi ușor recunoscute de către senzorii de proximitate. Când senzorii robotului sunt activați de către un obiect, robotul începe procedura de discriminare, dacă acesta se află în fața unui obstacol mare (perete, alt robot ori un grup de "semințe") obiectul este considerat ca fiind obstacol și este evitat, dacă nu, este identificat ca fiind "sămânță".

#### 5.4. Algoritm CNN pentru coordonarea deplasării unei colectivități de roboți mobili

Sunt multe situații în practică când roboții mobili, aparținând unei colectivități, trebuie să se adune la un loc pentru a putea realiza împreună o anumită operație sau trebuie să se deplaseze într-o anumită formație.

Mare parte din literatura de specialitate cu privire la algoritmii de comandă distribuită pentru roboții mobili autonomi a fost concentrată pe două sarcini de bază și anume adunarea acestora (*gathering*) și convergența (*convergence*) [144]. Prima sarcină se referă la adunarea roboților mobili într-un singur punct, în cadrul unui timp finit, iar convergența este sarcina prin care roboții trebuie doar să conveargă spre un singur punct și nu neapărat să-l atingă. Mai precis, pentru orice  $\varepsilon > 0$  există un timp  $t_\varepsilon$  în care toți roboții trebuie să se situeze la o distanță de cel mult  $\varepsilon$  unul de altul.

Tot în [144] se prezintă un algoritm de convergență a roboților mobili spre un punct care reprezintă centrul de simetrie al tuturor pozițiilor ocupate de aceștia. Astfel, dacă se notează cu  $\bar{r}_i(t)$  locația robotului  $i$  la momentul  $t$ , centrul de simetrie este dat de relația:

$$\bar{c}(t) = \frac{1}{N} \sum_{i=1}^N \bar{r}_i(t) \quad (5.1)$$

Se presupune că centrul de simetrie calculat la momentul  $t' < t$ ,  $\bar{c}(t')$  este  $\bar{c}(t') = \bar{c}_i(t)$ , astfel că robotul  $i$  va calcula această locație în propriul său sistem de coordonate.

Se consideră în acest capitol, situația în care un set de roboți mobili omogeni sunt dispersați pe o anumită arie și se dorește ca roboții care au poziții extreme, în raport cu pozițiile celorlalți roboți, să se deplaseze spre roboții cu poziții centrale astfel încât această operație să se facă printr-o deplasare cumulată minimă a roboților. Astfel, dacă există un robot cu o poziție centrală, acesta va sta pe loc iar ceilalți roboți se vor deplasa spre acesta. Pot exista și situații când doi sau chiar trei roboți vor rămâne pe loc și restul roboților se vor aduna în jurul lor. După deplasarea roboților spre cei cu poziții centrale, vor fi reevaluate pozițiile tuturor roboților și în final toți roboții vor fi adunați în jurul a unu sau maxim doi roboți.

De asemenea, algoritmul descris în continuare poate fi aplicat și în cazul în care roboții trebuie să se deplaseze într-o formație, astfel încât aceștia să marcheze vârfurile unei figuri geometrice regulate plane (triunghi, pătrat, hexagon, etc.). În acest caz, pot fi identificați roboții care au tendința de a se îndepărta sau apropia de centrul de simetrie al formației, putând fi corectate traiectoriile acestora.

Algoritmul are o concepție originală și se bazează pe procesarea cu rețele neuronale celulare [49],[50], a imaginilor obținute cu o cameră video, în care pot fi identificate pozițiile roboților. Aceste rețele, au avantajul că prezintă un timp de procesare a imaginilor relativ mic și, față de alte rețele neuronale, pot fi implementate hard, în tehnologie VLSI, pe un singur cip [68].

Utilizarea rețelelor neuronale artificiale și a rețelelor neuronale celulare pentru ghidarea roboților mobili, aparținând unei colectivități, a fost studiată și în [145],[146],[147],[148].

În cazul unei colectivități compusă din  $n$  roboți mobili ( $R_1, R_2, \dots, R_n$ ), dispersați într-un mediu de lucru, se dorește identificarea acelor roboți care au poziții extreme în raport cu ceilalți și apoi să fie stabilite pas cu pas traiectoriile pentru aceștia astfel încât să se deplaseze spre roboții cu poziții centrale.

După achiziția imaginii mediului, vor fi identificate pozițiile roboților și după unele procesări simple se vor obține o serie de imagini, fiecare din acestea indicând, printr-un singur pixel de culoare neagră, poziția unuia dintre roboți (Figura 5.4).

În acest algoritm se consideră rezoluția imaginii mediului ca fiind egală cu dimensiunea rețelei neuronale celulare folosită pentru procesare. De asemenea, camera video, se presupune că poate achiziționa imaginea întregului mediu de lucru al roboților și are aceeași poziție, orientare și reglaje în cazul captării imaginilor de tipul celor prezentate în Figura 5.4.

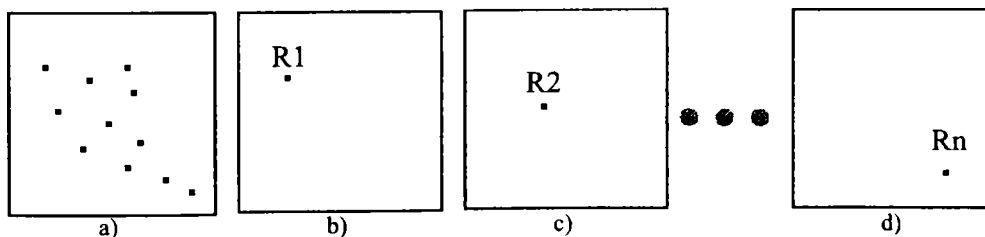


Figura 5.4. Imagini reprezentând pozițiile roboților; a) imaginile suprapuse ale pozițiilor roboților, b) poziția robotului R1, c) poziția robotului R2, d) poziția robotului Rn.

### 5.4.1. Estimarea distanței dintre roboți

Stabilirea poziției roboților, în cadrul colectivității, se poate face prin determinarea distanțelor dintre fiecare robot și toți ceilalți roboți ce aparțin grupului. În acest fel, va fi cunoscută distribuția spațială a colectivității de roboți și pot fi identificați acei roboți ce au poziții centrale sau roboții care din diverse motive au rămas în afara formației și care trebuie dirijați astfel încât să se deplaseze spre ceilalți roboți din grup.

Estimarea distanței dintre doi roboți s-a făcut prin determinarea vecinătății cu rază minimă, a pixelului ce indică poziția unui robot, care include pixelul corespunzător poziției celui alt robot.

Dacă se presupune situația generalizată cu o colectivitate de  $n$  roboți mobili, având fiecare coordonatele poziției în imagine date de perechea  $(i, j)$ ,  $(R1(i_1, j_1), R2(i_2, j_2) \dots Rn(i_n, j_n))$ , vecinătățile de rază  $r$  pentru fiecare din ei sunt date de relațiile 5.2:

$$V_{R1,r}(i_1, j_1) = \{C(k_1, l_1) \max\{|k_1 - i_1|, |l_1 - j_1|\} \leq r\}$$

$$V_{R2,r}(i_2, j_2) = \{C(k_2, l_2) \max\{|k_2 - i_2|, |l_2 - j_2|\} \leq r\} \quad (5.2)$$

$$V_{Rn,r}(i_n, j_n) = \{C(k_n, l_n) \max\{|k_n - i_n|, |l_n - j_n|\} \leq r\}$$

Dacă se presupune că vor fi determinate mai întâi distanțele dintre robotul  $R1$  și ceilalți roboți, va fi generată vecinătatea de rază  $r=1$ , a pixelului reprezentând poziția lui  $R1$ , apoi aceasta va fi incrementată ( $r = r+1$ ) până când vor fi acoperiți rând pe rând toți pixelii prin care sunt reprezentați ceilalți roboți ( $r = r_1$ ). Distanța măsurată, în număr de pixeli,  $r_{1m}$  dintre robotul  $R1$  și un robot  $Rm$  este dedusă astfel:

$$\text{dacă } (i_m, j_m) \subset V_{R1,r}(i_1, j_1) \text{ și } (i_m, j_m) \notin V_{R1,r-1}(i_1, j_1) \text{ atunci } r_{1m} = r$$

$$\forall \text{ ar fi } m \in [1, n], m \neq 1 \text{ și } r \in [1, r_1] \quad (5.3)$$

În mod similar vor fi determinate distanțele, măsurate în număr de pixeli, dintre robotul  $R1$  și toți ceilalți roboți din grup:  $r_{1m} \forall \text{ ar fi } m \in [1, n], m \neq 1$ .

În continuare se va trece la generarea vecinătăților de rază  $r$  pentru pixelul reprezentând poziția lui  $R2$ , începând cu  $r=1$ . După generarea fiecărei vecinătăți de rază  $r$ ,  $r \in [1, r_2]$  a robotului  $R2$  se va verifica dacă acestea includ pixelii care reprezintă pozițiile celorlalți roboți pe baza relațiilor 5.4:

$$\text{dacă } (i_m, j_m) \subset V_{R2,r}(i_2, j_2) \text{ și } (i_m, j_m) \notin V_{R2,r-1}(i_2, j_2) \text{ atunci } r_{2m} = r$$

$$\forall \text{ ar fi } m \in [1, n], m \neq 2 \text{ și } r \in [1, r_2] \quad (5.4)$$

După determinarea tuturor parametrilor  $r_{2m}$  se va trece la generarea vecinătății robotului  $R3$  ș.a.m.d. Spre exemplu, pentru un robot oarecare  $Rp$ , din cadrul grupului, determinarea distanțelor față de un robot  $Rm$  din grup se va face conform relațiilor 5.5:



$$\text{dacă } (i_m, j_m) \in V_{R_p, r} (i_p, j_p) \text{ și } (i_m, j_m) \notin V_{R_p, r-1} (i_p, j_p) \text{ atunci } r_{pm} = r \\ \forall \text{ ar fi } m \in [1, n], p \in [1, n], m \neq p, r \in [1, r_p] \quad (5.5)$$

Pentru simplificarea algoritmului, se va lua în considerare proprietatea de reciprocitate și anume:

$$r_{pm} = r_{mp} \quad \forall \text{ ar fi } p \in [1, n] \text{ și } m \in [1, n], p \neq m. \quad (5.6)$$

Imaginea vecinătății unui robot se poate obține cu ajutorul rețelelor neuronale celulare prin aplicarea template-ului DILATION [69]. Astfel, aplicând acest template, prezentat în relația 5.7, asupra imaginii cu un singur pixel negru, ce reprezintă poziția robotului, se va obține imaginea vecinătății de rază  $r = 1$ , iar prin aplicarea repetată a acestuia asupra imaginii rezultate se vor obține vecinătăți cu raze din ce în ce mai mari.

$$A = \begin{pmatrix} 0 & 0 & 0 \\ 0 & 0 & 0 \\ 0 & 0 & 0 \end{pmatrix} \quad B = \begin{pmatrix} 1 & 1 & 1 \\ 1 & 1 & 1 \\ 1 & 1 & 1 \end{pmatrix} \quad z = 8 \quad (5.7)$$

Pe intrarea și pe starea rețelei neuronale celulare se va aplica imaginea cu un singur pixel negru, iar după aplicarea template-ului DILATION, pe ieșirea rețelei neuronale se va obține imaginea corespunzătoare vecinătății robotului.

Pentru o situație concretă, cu patru roboți mobili, se prezintă în Figura 5.5 modalitatea de obținere succesivă a vecinătăților robotului R1, până când acestea acoperă treptat pixelii corespunzători poziției roboților R2, R3 și R4.

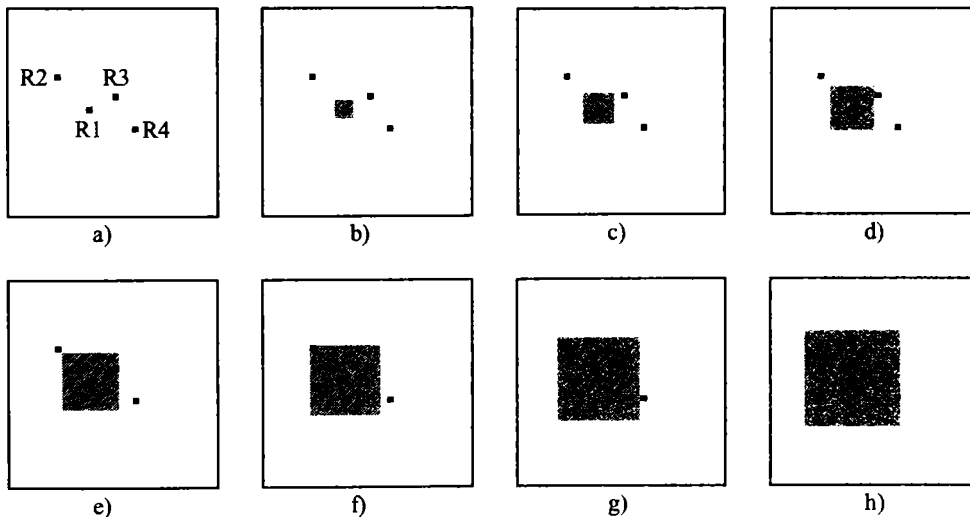


Figura 5.5. Generarea vecinătăților corespunzătoare robotului R1:  
a) pozițiile roboților R1..R4; b) vecinătatea de rază  $r = 1$ ; c)  $r = 2$ ;  
d)  $r = 3$ ; e)  $r = 4$  (acoperirea pixelului corespunzător robotului R3); f)  $r = 5$   
(acoperirea și a pixelului corespunzător robotului R2); g)  $r = 6$ ; h)  $r = 7$   
(acoperirea și a pixelului corespunzător robotului R4).

În mod similar vor fi generate vecinătățile pentru ceilalți roboți din grup: R2, R3 și R4.

Ordinea estimării distanțelor dintre unul din roboți și ceilalți roboți s-a făcut în două moduri și anume:

- într-o ordine prestabilită;
- în ordinea crescătoare a distanțelor.

#### 5.4.1.1. Estimarea distanțelor într-o ordine prestabilită

Organigrama pentru estimarea distanțelor dintre fiecare din cei patru roboți și ceilalți roboți, într-o ordine prestabilită, se prezintă în Figura 5.6.

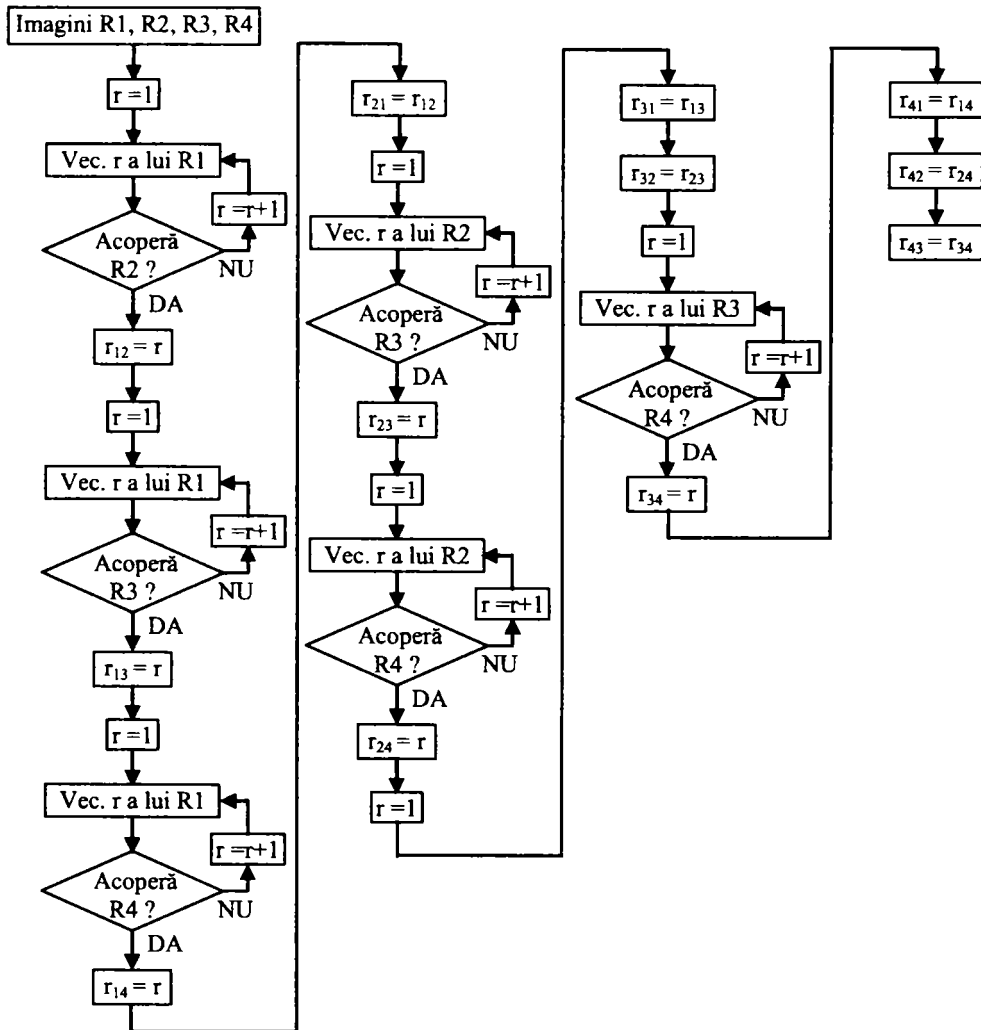


Figura 5.6. Organigrama pentru estimarea distanțelor dintre roboți într-o ordine prestabilită.

Se generează, prin procesări CNN vecinătatea de rază  $r = 1$  a lui R1. Se verifică dacă aceasta include pixelul ce reprezintă poziția pe care e situat robotul R2. Pot exista două situații:

- dacă  $(i_2, j_2) \in V_{R1,1}(i_1, j_1)$  atunci  $r_{12} = 1$ ;
- dacă  $(i_2, j_2) \notin V_{R1,1}(i_1, j_1)$  atunci se va incrementa valoarea lui  $r$  ( $r = r + 1$ ), și se va genera vecinătatea lui R1 cu noua valoare a razei  $r$ .

Dacă se întâmplă a doua situație, procesul se va repeta până când noua vecinătate va include pixelul corespunzător robotului R2. În final parametrul  $r_{12}$  va avea valoarea atribuită ultima dată lui  $r$ .

În continuare se va proceda la fel pentru estimarea distanțelor dintre R1 și R3 ( $r_{13}$ ) respectiv R1 și R4 ( $r_{14}$ ).

Se vor utiliza apoi imaginile roboților R2, R3 și R4, pentru generarea vecinătăților și ținând cont de relația 5.5 vor fi determinate:

- $r_{23}$  și  $r_{24}$  în cazul robotului R2, ( $r_{21} = r_{12}$ );
- $r_{34}$  în cazul robotului R3, ( $r_{31} = r_{13}$ ;  $r_{32} = r_{23}$ ).

În cazul robotului R4, toate distanțele până la ceilalți roboți vor fi deduse pe baza relației 5.6, astfel:  $r_{41} = r_{14}$ ,  $r_{42} = r_{24}$  și  $r_{43} = r_{34}$ .

#### 5.4.1.2. Estimarea distanțelor în ordinea lor crescătoare

În cazul acestei metode de estimare a distanțelor, va fi determinată mai întâi distanța până la robotul cel mai apropiat apoi până la următorul robot situat cel mai aproape și tot așa până când sunt determinate distanțele până la toți roboții din colectivitate.

În Figura 5.7 se prezintă modul de estimare a distanțelor dintre robotul R1 și ceilalți roboți, în ordinea lor crescătoare.

Se verifică dacă vecinătatea de rază  $r = 1$  a lui R1 include unul sau mai mulți din pixelii care indică pozițiile pe care sunt situați ceilalți roboți (R2, R3 și R4). În funcție de situațiile posibile pot fi determinate valorile pentru  $r_{12}$ ,  $r_{13}$  sau  $r_{14}$  astfel:

- dacă  $(i_2, j_2) \in V_{R1,1}(i_1, j_1)$  atunci  $r_{12} = 1$ ;
- dacă  $(i_3, j_3) \in V_{R1,1}(i_1, j_1)$  atunci  $r_{13} = 1$ ;
- dacă  $(i_4, j_4) \in V_{R1,1}(i_1, j_1)$  atunci  $r_{14} = 1$ .

Dacă au fost determinate toate valorile ( $r_{12}$ ,  $r_{13}$  și  $r_{14}$ ), atunci se va trece la robotul R2 și se va proceda similar. Dacă nu, va fi incrementată valoarea lui  $r$  ( $r = r + 1$ ) și va fi generată imaginea vecinătății de rază  $r = 2$  a robotului R1. Astfel pot exista situațiile:

- dacă  $(i_2, j_2) \notin V_{R1,1}(i_1, j_1)$  dar  $(i_2, j_2) \in V_{R1,2}(i_1, j_1)$  atunci  $r_{12} = 2$ ;
- dacă  $(i_3, j_3) \notin V_{R1,1}(i_1, j_1)$  dar  $(i_3, j_3) \in V_{R1,2}(i_1, j_1)$  atunci  $r_{13} = 2$ ;
- dacă  $(i_4, j_4) \notin V_{R1,1}(i_1, j_1)$  dar  $(i_4, j_4) \in V_{R1,2}(i_1, j_1)$  atunci  $r_{14} = 2$ .

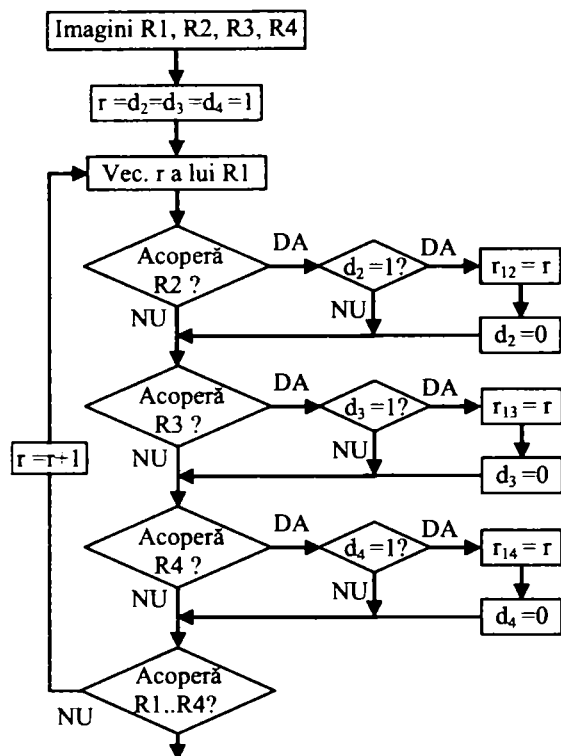


Figura 5.7. Organigrama pentru estimarea distanțelor în ordine crescătoare dintre robotul R1 și ceilalți roboți (R2, R3 și R4).

Procesul de incrementare a razei  $r$  va continua până se ajunge în situația în care au fost determinați toți parametrii  $r_{12}$ ,  $r_{13}$  și  $r_{14}$ .

În continuare, se va proceda similar pentru roboții R2, R3 și R4 dar se va ține cont, și aici, de relația 5.6.

#### 5.4.2. Determinarea robotului sau roboților cu poziții centrale și extreme

Pentru fiecare robot, valorile obținute pentru estimarea distanțelor față de ceilalți roboți vor fi cumulate și astfel vor fi obținute valorile  $N_1$ ,  $N_2$ ,  $N_3$  și  $N_4$ . Pe baza acestor valori se poate aprecia cât de aproape este situat robotul față de ceilalți roboți. Valorile acestor indicatori sunt date de relațiile 5.8:

$$\begin{aligned}
 N_1 &= r_{12} + r_{13} + r_{14}; \\
 N_2 &= r_{21} + r_{23} + r_{24}; \\
 N_3 &= r_{31} + r_{32} + r_{34}; \\
 N_4 &= r_{41} + r_{42} + r_{43}.
 \end{aligned}
 \tag{5.8}$$

Prin compararea acestor valori se poate determina care robot sau roboți au poziții centrale comparativ cu pozițiile celorlalți roboți. Modalitatea de determinare a robotului sau roboților centrali, în cadrul algoritmului, se prezintă în organigrama din Figura 5.8.

Pot astfel exista mai multe situații și anume:

- nu există nici un robot cu poziție centrală ( $N_1 = N_2 = N_3 = N_4$ );
- un singur robot (ex. R1) are poziție centrală ( $N_1 < \min(N_2, N_3, N_4)$ );
- doi roboți (ex. R1, R2) au poziții centrale ( $N_1 = N_2 < \min(N_3, N_4)$ );
- trei roboți (ex. R1, R2, R3) au poziții centrale ( $N_1 = N_2 = N_3 < N_4$ ).

Algoritmul a fost realizat și în varianta în care prin compararea valorilor lui  $N_1, N_2, N_3$  și  $N_4$ , să fie determinat acel robot sau roboți cu poziții extreme în raport cu ceilalți roboți din grup. Aceștia trebuie grupați în jurul celorlalți roboți, adică vor trebui să se deplaseze spre robotul sau roboții centrali sau în primă fază spre robotul cel mai apropiat din grup care nu are atributul de robot extremă. Modul concret de determinare a robotului sau roboților cu poziții extreme în cazul unei colectivități de patru roboți se prezintă în organigrama din Figura 5.9.

În funcție de distribuția la un moment dat a colectivității de roboți pot exista mai multe situații și anume:

- nu există nici un robot cu poziție extremă ( $N_1 = N_2 = N_3 = N_4$ );
- un singur robot (ex. R1) are poziție extremă ( $N_1 > \max(N_2, N_3, N_4)$ );
- doi roboți (ex. R1, R2) au poziții extreme ( $N_1 = N_2 > \max(N_3, N_4)$ );
- trei roboți (ex. R1, R2, R3) au poziții extreme ( $N_1 = N_2 = N_3 > N_4$ ).

### 5.4.3. Adunarea roboților în jurul celor cu poziții centrale

Adunarea roboților în jurul roboților cu poziții centrale, astfel încât să fie minimizată lungimea deplasărilor cumulate ale roboților mobili  $tr_{totală}$  dată de relația 5.9, se poate obține prin deplasarea roboților extremă spre roboții mobili având poziții centrale.

$$tr_{totală} = tr_{R1} + tr_{R2} + tr_{R3} + tr_{R4} \quad (5.9)$$

Dintre situațiile posibile, în cazul unei colectivități de patru roboți, sunt prezentate trei situații reprezentative și anume:

- un robot central și un robot extremă;
- doi roboți centrali și un robot extremă;
- un robot central și doi roboți extremă.

În situația cu un robot central și un robot extremă, robotul din poziția extremă se va deplasa pas cu pas până va intra în vecinătatea de rază  $r = 1$  a robotului situat în poziția centrală. Dacă se presupune că robotul R1 este robotul cu poziție centrală în cadrul grupului iar R2 este robotul având o poziție extremă, organigrama algoritmului de grupare pentru această situație este prezentată în Figura 5.10.

Se atribuie lui  $r$  valoarea  $r = r_{12}$ , valoare obținută prin aplicarea metodei descrise mai sus, care va fi apoi decrementată cu o unitate. Dacă  $r \neq 0$  atunci va fi generată vecinătatea de rază  $r$  a lui R1.

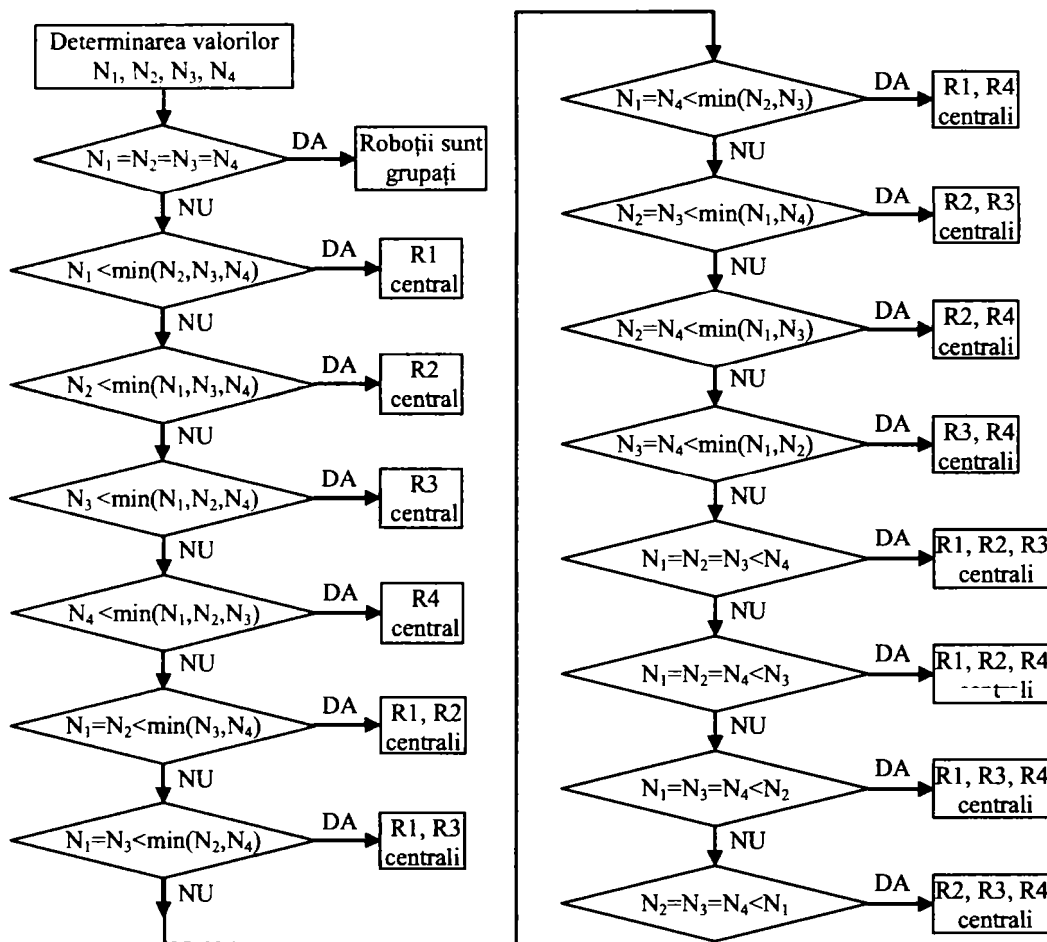


Figura 5.8. Modul de determinarea a robotului sau roboților cu poziții centrale.

Robotul R2 se va deplasa de fiecare dată cu un pas (pixel), astfel că după verificarea pozițiilor din jurul său va intra în vecinătatea lui R1. În continuare, va fi din nou decrementată cu o unitate valoarea lui  $r$  și procesul va continua până când robotul R2 se va situa în vecinătatea de rază  $r = 1$  a lui R1. În același timp  $r$  va fi  $r = 0$  iar algoritmul de grupare se încheie.

După deplasarea robotului R2 cu un anumit număr de pași se va aplica din nou algoritmul pentru estimarea distanțelor dintre roboți deoarece roboții R3 și/sau R4 pot deveni la rândul lor roboți extremă. Timpul necesar grupării se reduce mult, dacă doi sau mai mulți roboți extremă se deplasează simultan spre robotul central.

Dacă doi roboți au poziții centrale și un singur robot are poziție extremă, acesta din urmă va trebui să se deplaseze spre robotul central cel mai apropiat de el. Astfel, dacă se presupune că roboții R1 și R2 sunt roboți centrali iar R3 este robotul extremă care trebuie grupat, acesta va alege să se deplaseze spre unul din aceștia prin compararea valorilor  $r_{31}$  și  $r_{32}$ .

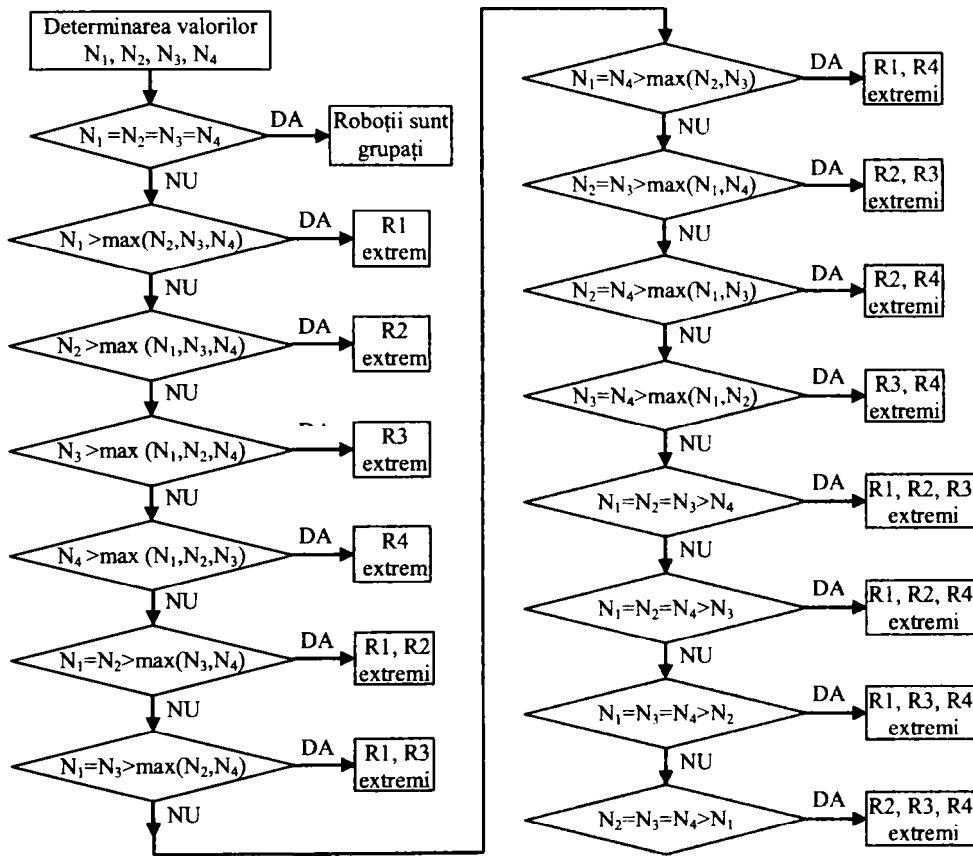


Figura 5.9. Situațiile posibile în cazul determinării robotului sau roboților cu poziții extreme.

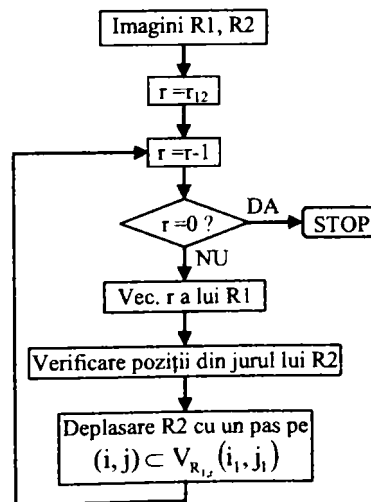


Figura 5.10. Organigrama pentru gruparea lui R2 în jurul lui R1.

Astfel, pot exista situațiile:

- dacă  $r_{31} < r_{32}$  robotul R3 se va deplasa spre R1;
- dacă  $r_{31} > r_{32}$  robotul R3 se va deplasa spre R2;
- dacă  $r_{31} = r_{32}$  robotul R3 se va deplasa spre oricare din roboții R1 sau R2.

Odată ales robotul spre care trebuie să se deplaseze R3, algoritmul va continua conform organigramei din Figura 5.10.

Dacă se aplică din nou algoritmul de estimare a distanțelor, atunci robotul mobil care se află inițial la distanță mai mare de R3, respectiv robotul care nu a fost ales ca țintă pentru deplasarea acestuia, poate deveni la rândul său robot extremă și se va deplasa și el spre robotul ales ca și robot țintă pentru R3, tot pe baza unei organigrame ca și cea prezentată în Figura 5.10.

Dacă un singur robot are poziție centrală și sunt doi roboți cu poziții extreme, aceștia doi se vor deplasa spre robotul cu poziție centrală. Deplasarea acestora se poate face rând pe rând conform organigramei din Figura 5.10, situație în care unul din roboți va aștepta până când celălalt va ajunge în vecinătatea de rază  $r = 1$  a robotului central, urmând apoi să facă și el același lucru.

Se poate însă reduce timpul necesar grupării, dacă cei doi roboți extremă se vor deplasa simultan sau cvasimultan pas cu pas spre robotul central. Dacă se consideră, spre exemplu, situația concretă cu R1 robot central și R2, R3 roboți extremă atunci deplasarea acestora din urmă spre robotul central se va face conform organigramei din Figura 5.11.

În principiu, va fi generată vecinătatea lui R1 având raza cea mai mare dintre  $r_{12}$  și  $r_{13}$  astfel încât vor fi acoperiți ambii pixeli care indică pozițiile roboților R2 și R3. În continuare, va fi decrementată valoarea lui  $r$  și noua vecinătate, astfel generată, va lăsa afară unul din pixeli, urmând ca acest robot să se deplaseze cu un pas în interiorul vecinătății. Procesul va continua în acest fel, până când și celălalt pixel ce reprezintă poziția celuilalt robot va rămâne în afara vecinătății lui R1, iar din acel moment deplasarea se va face alternativ, pas cu pas, până când R2 și R3 vor ajunge amândoi în vecinătatea de rază  $r = 1$  a lui R1.

#### 5.4.4 Rezultatele simulărilor

Algoritmii de grupare a roboților mobili prezentați în lucrare au fost testați utilizând mediul de simulare **Cadetwin** [69], prezentat în **Capitolul 3**. Rezultatele simulărilor au fost obținute pe baza unor programe scrise în limbaj de asamblare **AMC** [77] (vezi Anexele A5 și A6). Imaginile utilizate pentru testare au dimensiunea  $32 \times 32$  pixeli.

În Figura 5.12 se prezintă un exemplu de determinare a roboților centrali și a roboților extremă utilizând algoritmul prezentat în lucrare. Se presupune că o colectivitate de patru roboți mobili R1...R4 are dispunerea geometrică ca în Figura 5.12a. În Figura 5.12b se arată vecinătățile pixelului care indică poziția robotului R1, astfel încât acestea să acopere pixelii ce indică poziția roboților R2, R3 și R4. În Figura 5.12c se arată vecinătățile pixelului care indică poziția robotului R2, astfel încât să acopere pixelii ce indică poziția roboților R3 și R4. În Figura 6d se arată vecinătățile pixelului care indică poziția robotului R3, astfel încât să acopere pixelul ce indică poziția robotului R4.



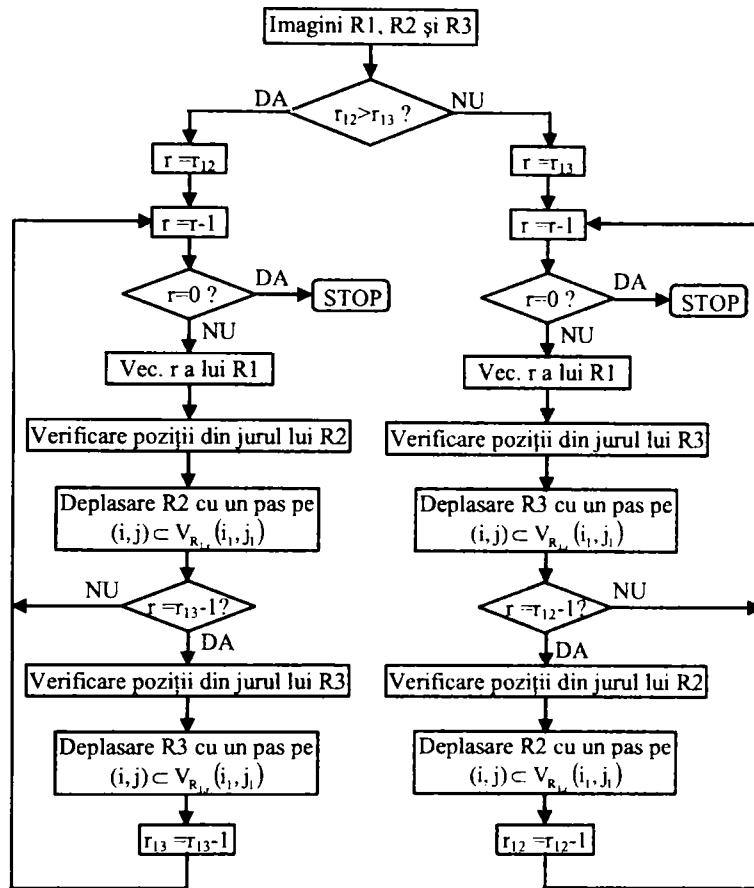


Figura 5.11. Organigrama algoritmului pentru gruparea roboților în cazul existenței unui robot central (R1) și a doi roboți extremă (R2) și (R3).

După determinarea razelor pentru vecinătățile prezentate mai sus se obține în final imaginea pixelilor ce reprezintă roboții cu poziții centrale (Figura 5.12e) și respectiv cu poziții extreme (Figura 5.12f).

În Figura 5.13 se prezintă un exemplu de grupare a doi roboți extremă în jurul unui robot cu poziție centrală. În Figura 5.13a sunt reprezentate prin câte un pixel negru pozițiile inițiale ale celor trei roboți, R1 fiind robotul cu poziție centrală iar roboții R2 și R3 cu poziții extreme. Într-o primă fază se va deplasa robotul R2 spre robotul R1 atâta timp cât el este cel mai îndepărtat de R1 (Figura 5.13b). Deoarece robotul R3 va deveni robotul cu poziția cea mai îndepărtată de robotul central se va deplasa în mod similar ca și robotul R2. În continuare roboții R2 și R3 vor face alternativ câte un pas (pixel) până când ambii vor ajunge în vecinătatea de rază  $r = 1$  a robotului central R1 (Figura 5.13c).

Timpul total necesar pentru rularea algoritmului de grupare a roboților depinde de varianta de estimare a distanțelor dintre roboți. Cel mai bun timp s-a obținut în cazul în care estimarea distanțelor dintre roboți s-a făcut în ordinea crescătoare a lor. Astfel, în această variantă, acest timp a fost redus cu aproximativ 25%, față de varianta cu estimarea distanțelor într-o ordine prestabilită.

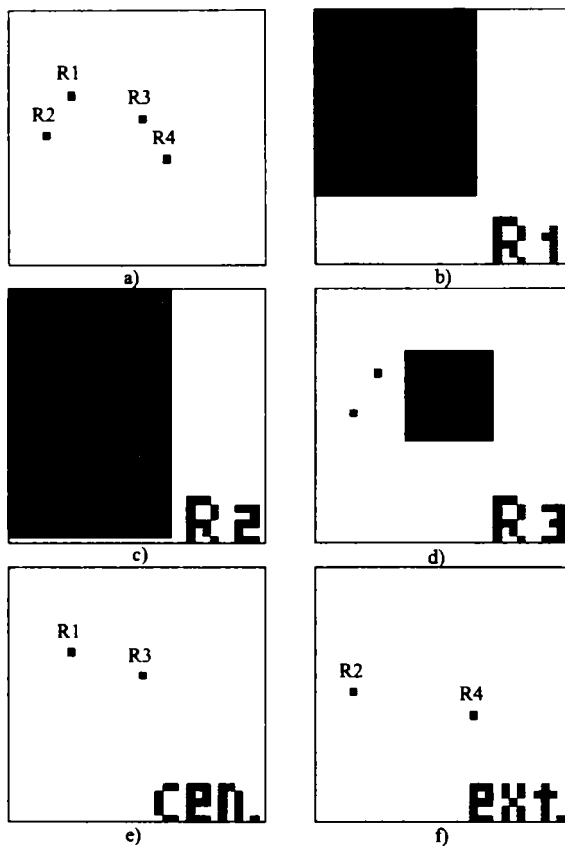


Figura 5.12. Exemplu de determinare a roboților cu poziție centrală și poziție extremă dintr-un grup; a) pozițiile roboților, b) vecinătățile lui R1, c) vecinătățile lui R2, d) vecinătățile lui R3, e) roboții cu poziție centrală, f) roboții cu poziție extremă.

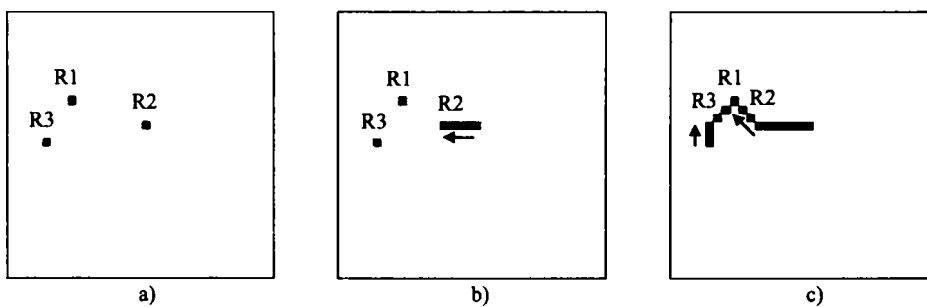


Figura 5.13. Exemplu de grupare a doi roboți mobili în jurul unui robot cu poziție centrală; a) pozițiile inițiale ale roboților, b) deplasarea lui R2, c) deplasarea alternativă a lui R2 și R3.

De asemenea, ținându-se cont de relația 5.6, s-a obținut o reducere a timpului de procesare cu 40%.

## 5.5. Concluzii

În anii de început ai roboților mobili, funcționarea în mod corect și constant a unui robot era considerată la acea dată, o sarcină suficient de grea, ceea ce a condus la concluzia că ideea folosirii mai multor roboți care să colaboreze, este nerealistă.

Odată cu avansarea tehnicii, în special în domeniul senzorilor, al procesării informației și al structurilor de locomoție, sistemele de roboți încep să constituie o realitate și chiar o necesitate. Apar treptat sisteme de roboți în care roboții iau în considerare, pentru realizarea operațiunilor, atât percepția proprie dar și informațiile obținute prin interacțiunea cu ceilalți roboți din sistem.

Ca și în cazul roboților mobili, studiul colectivităților de roboți este un domeniu de cercetare inter-disciplinar care combină metode din domeniul tehnic dar și din biologie sau chiar filozofie.

S-a observat că multe operații pot fi executate mult mai eficient cu ajutorul mai multor roboți mai ales dacă aceștia cooperează. În consecință, o schimbare majoră în domeniul roboților mobili, ce a luat amploare în ultimi 10-15 ani, a fost folosirea mai multor roboți în același timp pentru execuția unor sarcini complexe.

Se preconizează că utilizarea roboților multipli va face să crească siguranța în funcționarea sistemului în timp ce scade complexitatea sarcinilor pentru un robot și de asemenea, timpul de execuție total al unei sarcini complexe.

Principalele avantaje ce derivă din utilizarea sistemele multi-robot, față de folosirea unui singur robot, sunt: posibilitatea realizării unor sarcini complexe ce nu pot fi executate de către un singur robot, de multe ori e mai economic să se construiască câțiva roboți simpli și ieftini decât unul sofisticat și scump, obținerea unei mai bune distribuții spațiale, posibilitatea efectuării mai multor operații în paralel și dacă un robot se defectează atunci altul sau alții pot să-i ia locul fără a fi afectată funcționalitatea sistemului.

Utilizarea unei echipe de roboți presupune și apariția unor probleme noi, ce trebuie luate în considerare, cum ar fi: modul de formulare, descriere și alocare a sarcinilor, modul de folosire a resursele primite de către roboți, tipul de comunicare folosit și cum se rezolvă conflictele apărute între roboți.

Cele mai multe metode de comandă a sistemelor multi-robot subliniază importanța pe care o are modul de comunicație robot-robot, comunicație folosită pentru a schimba între aceștia mesaje de comandă și date senzoriale locale. Adesea se presupune că, comunicarea explicită oferă cele mai multe avantaje. Pentru a alege un anumit tip de comunicare trebuie însă ținut cont de câțiva factori cum ar fi: costul, siguranța în funcționare, timpul de execuție al sarcinii, etc. În cadrul experimentelor există, de obicei, un set de sarcini ce trebuie realizat și se urmărește timpul în care se realizează acest set cu diverse forme de comunicare între roboți.

S-a stabilit că în unele situații comunicarea explicită poate lipsi deoarece echipele de roboți se pot descurca bine fără a folosi o astfel de comunicare. Totuși, aceasta îmbunătățește semnificativ performanțele în cazul sarcinilor ce se desfășoară într-un mediu ce nu favorizează comunicarea implicită. Cu alte cuvinte, dacă costurile de realizare a acțiunilor redundante în prezența doar a comunicării implicite este mare, atunci comunicarea explicită este benefică.

O definiție interesantă a cooperării dintre roboți este legată de diferențele ce există între un comportament colectiv ne-cooperant și unul cooperant, respectiv de modul în care o sarcină poate fi dusă la îndeplinire: poate un singur robot să ducă la îndeplinire sarcina sau este necesară participarea mai multor roboți? De asemenea,

se poate spune că un sistem multi-robot cooperează dacă, datorită unui mecanism cu care sistemul este înzestrat (numit mecanism de cooperare), apare o creștere în randamentul sistemului.

Algoritmii CNN prezentați în acest capitol pot fi testați practic, doar dacă în imaginile achiziționate de către camera video se pot identifica pozițiile roboților mobili. Din aceste considerente rezultă dimensiunile imaginii și pasul de eșantionare minim pentru discretizarea spațială a imaginii achiziționate.

Timpul total necesar pentru rularea algoritmului de grupare a roboților depinde de varianta de estimare a distanțelor dintre roboți. Cel mai bun timp s-a obținut în cazul în care estimarea distanțelor dintre roboți s-a făcut în ordinea crescătoare a lor.

De remarcat faptul că algoritmul nu ține cont neapărat de pozițiile geometrice ale roboților în grup, adică se determină că un robot este mai aproape sau mai departe de un altul dar nu este important în ce direcție se află acesta. Totuși, în faza de grupare a roboților, acel robot considerat extremă se va deplasa către un robot cu poziție centrală în grup verificând la fiecare pas pozițiile din jurul său, și se pot memora direcțiile sau pozițiile consecutive pe care s-a deplasat, astfel că ulterior se va putea găsi care a fost poziția sa geometrică în raport cu robotul central.

Algoritmul pentru determinarea roboților cu poziții centrale sau extreme din grup poate fi util și în cazul menținerii deplasării roboților mobili într-o anumită formație, dacă aceasta are o structură regulată, adică roboții mobili componenți se deplasează formând o figură geometrică regulată. Astfel, dacă unul din roboți are la un moment dat o poziție centrală în raport cu ceilalți înseamnă că acesta s-a deplasat prea mult spre centrul formației iar dacă are o poziție extremă, atunci deplasarea sa, s-a făcut prea mult spre exteriorul formației. În acest fel, poate fi corectată poziția robotului respectiv, realizându-se menținerea compactă a formației.

Algoritmul de adunare, respectiv de grupare a roboților extremă în jurul robotului sau roboților cu poziții centrale, descris la subcapitolul **5.4.3**, poate fi utilizat și pentru planificarea traiectoriilor roboților mobili în medii fără obstacole (unul sau mai mulți roboți), caz în care poziția robotului central poate fi considerată ca fiind poziția țintei.

# 6. MEDIU INTEGRAT PENTRU NAVIGAȚIA UNUI ROBOT MOBIL

## 6.1. Introducere

Realizarea practică a unui robot mobil, capabil să se deplaseze autonom în medii nestructurate, este una dintre cele mai dificile sarcini în domeniul roboticii. Deși au apărut de-a lungul timpului o serie de algoritmi și concepte teoretice cu privire la conducerea roboților mobili, multe din acestea au avut de așteptat până când progresele în domeniul științei și tehnicii au făcut posibilă implementarea lor.

Navigația autonomă a unui robot mobil într-un mediu cu obstacole, presupune existența unui sistem complex care, în primul rând, trebuie să perceapă mediul de lucru prin detecția pozițiilor în care sunt situate obstacolele. Pe baza acestor informații și ținând cont de poziția robotului și de poziția țintei sistemul va determina o traiectorie optimă care să unească aceste două poziții, astfel încât să fie evitate obstacolele. Pe baza acestei traiectorii, trebuie elaborate semnale de comandă pentru sistemul locomotor al robotului pentru ca acesta să urmărească traiectoria prescrisă. Sunt multe situații în care robotul nu poate menține exact traiectoria indicată și astfel sunt necesare unele corecții ale acesteia în funcție de informațiile senzoriale locale obținute în decursul navigării.

Perceperea structurii mediului de lucru cu obstacole se poate face pe baza unor hărți cunoscute apriori sau realizate în timpul deplasării robotului pe baza informațiilor senzoriale. Cei mai utilizați senzori în acest sens sunt: senzorii vizuali (camerele video) și senzorii de proximitate (senzorii laser, în infraroșu și ultrasonici).

Camera video constituie, în acest sens, o sursă bogată de informații, dar utilizarea ei pentru navigarea roboților mobili presupune procesarea unei cantități mari de informație care consumă timp și poate duce în final la o viteză de navigare scăzută.

Prin utilizarea rețelelor neuronale celulare [49],[50],[68], care au un timp de procesare a imaginilor foarte mic, poate fi atenuat acest inconvenient. Sunt multe articole care propun utilizarea lor pentru procesarea imaginilor în scopul ghidării roboților mobili autonomi [87],[88],[95],[149], bazându-se și pe faptul că rețele neuronale celulare pot fi implementate hard pe un singur chip VLSI [67].

În acest capitol se prezintă o concepție originală a unui mediu integrat pentru comanda deplasării unui robot mobil pe baza imaginilor achiziționate cu o cameră video. Procesarea imaginilor *gray-scale* ale mediului cu obstacole se realizează cu rețele neuronale celulare, prin utilizarea simulatorului analogic **MatCNN** [70],[71] din mediul de simulare Matlab [72]. Comenzile de deplasare sunt transmise spre robot prin intermediul portului paralel al calculatorului utilizând comenzile din Matlab dedicate accesării acestui port.

## 6.2. Structura mediului integrat

În Figura 6.1 se prezintă schema bloc de principiu a mediului integrat pentru comanda navigării unui robot mobil pe baza imaginilor reale ale mediului de lucru captate cu o cameră video.

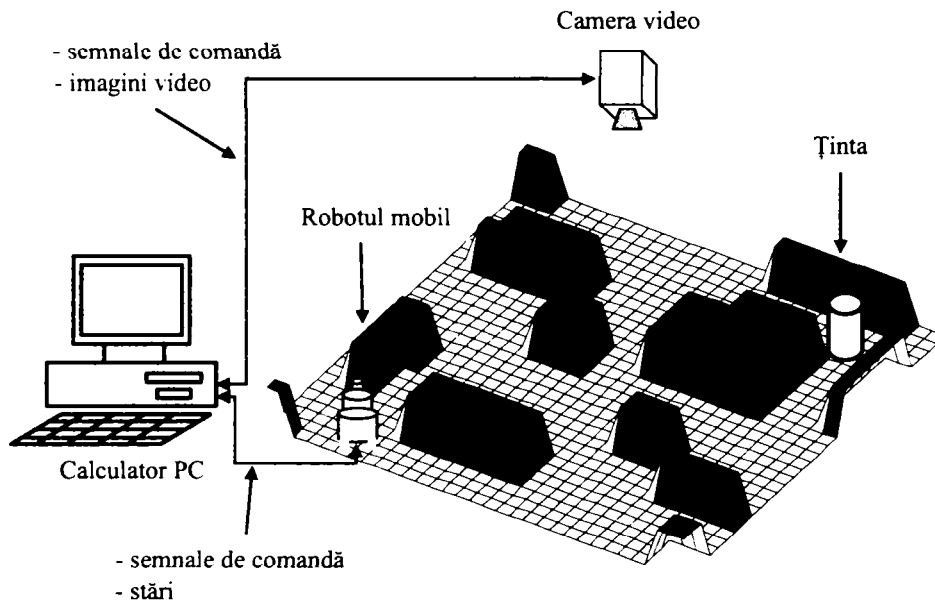


Figura 6.1. Structura sistemului integrat pentru navigația unui robot mobil într-un mediu cu obstacole.

Robotul trebuie să se deplaseze spre țintă pe o traiectorie cât mai scurtă, ocolind în același timp, obstacolele pe care le întâlnește în calea sa. Camera video supraveghează întreg mediul de lucru și captează imagini la momente discrete de timp. După procesarea acestora va fi planificată, de fiecare dată, traiectoria ce trebuie urmată în continuare de către robot și vor fi elaborate și transmise comenzi către sistemul de locomoție al robotului pentru realizarea deplasării pe direcția specificată.

Organigrama pe baza căreia se derulează întreg procesul de navigare, începând cu achiziția imaginilor, apoi procesarea acestora, planificarea traiectoriei și în final comanda și realizarea deplasării robotului se prezintă în Figura 6.2.

### 6.2.1. Achiziția imaginilor

Într-o primă variantă, captarea imaginii mediului s-a făcut cu o cameră Web de tipul *USB PC Camera 305* montată pe portul USB al unui calculator Pentium IV. Comanda camerei video, respectiv stabilirea momentelor de achiziție a imaginilor și setarea parametrilor este realizată din mediul Matlab pe baza unui program denumit *VFM (Vision For Matlab)* [150],[151]. Practic, acest program transferă imaginile în mediul Matlab sub forma unor matrici, fiecare reprezentând ponderea uneia din culorile primare (roșu, verde și albastru) în fiecare pixel din imagine.

Camera poate fi setată să achiziționeze și imaginea *gray-scale*, situație în care cele trei matrici sunt identice.

Rezoluția imaginilor poate fi modificată, din setările soft ale camerei, în cinci trepte de la 160×120 pixeli până la valoarea maximă 640×480 pixeli. De asemenea, înainte de captarea imaginii pot fi realizate unele reglaje asupra camerei cum ar fi reglajul de luminozitate, contrast, saturație și balansul de alb.

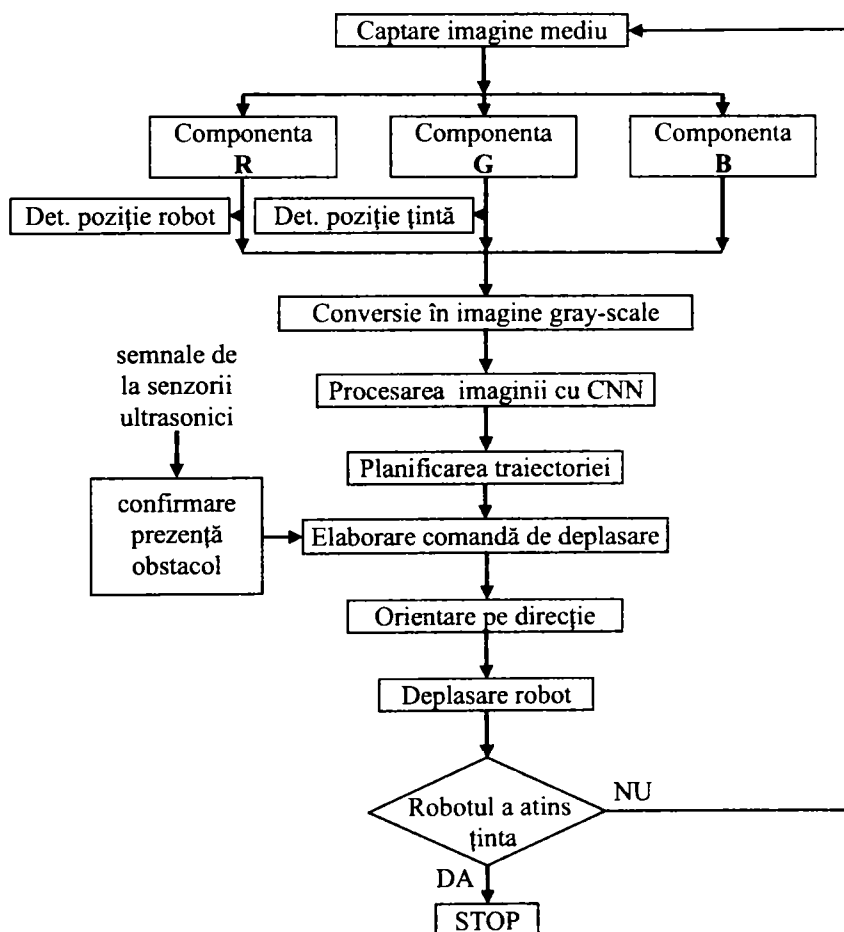


Figura 6.2. Organigrama procesului de planificare și comandă a navigării robotului mobil.

În aceste imagini vor fi identificate de fiecare dată, pe baza matricelor rezultate, poziția robotului mobil precum și poziția țintei. Poziția acestora va fi identificată prin câte un pixel chiar dacă dimensiunea reală a acestora este mai mare, se va reprezenta practic centrul de simetrie al imaginii celor două elemente.

Pentru a se face deosebire între acestea și obiectele din mediu, poate fi atașată în partea superioară a acestora, o sursă de lumină monocromă (ex. LED). Dacă culoarea acestor surse este aleasă una din culorile primare (roșu, verde sau albastru), atunci identificarea se poate face ușor, direct din imaginile color furnizate de cameră. Practic, prin identificare se înțelege aici, determinarea liniei și coloanei

pe care se află pixelul din imagine, corespunzător poziției robotului și țintei. În acest scop discretizarea în spațiu a imaginii mediului de lucru este aleasă corespunzător.

Poziția robotului și poziția țintei pot fi determinate și pe baza imaginii alb-negru a mediului prin utilizarea unor algoritmi de recunoaștere a formelor și apoi de detecție a punctului central al acestor forme. În cazul robotului, pe lângă poziția acestuia trebuie determinată și orientarea sa în raport cu ținta sau cu un sistem de referință fix.

Imaginea reală a mediului poate fi achiziționată o singură dată și apoi prin procesarea acestei imagini să fie planificată în întregime traiectoria robotului sau pot fi achiziționate periodic mai multe imagini ale mediului la momente discrete de timp  $(t_0 + kT)$ , începând de la momentul inițial  $t_0$ , cu pasul de eșantionare  $T$ ,  $k$  fiind un număr natural,  $k \in \mathbb{N}$ . Fiecare imagine achiziționată va fi procesată, rezultând comanda (direcția și timpul de deplasare) ce trebuie transmisă robotului. În acest fel, procesul **achiziție imagine – planificare traiectorie – comandă deplasare**, se va repeta până când robotul atinge ținta. Această din urmă metodă are avantajul că ține cont de eventualele modificări ale structurii mediului cu obstacole survenite în momentul deplasării robotului.

### 6.2.2. Procesarea imaginilor cu CNN

Pe baza celor trei matrici de culoare se obține imaginea *gray-scale* a mediului care va fi utilizată pentru identificarea pozițiilor din mediu în care sunt situate obstacolele. Pentru a putea fi procesată cu ajutorul unei rețele neuronale celulare, imaginea trebuie transferată în domeniul standard CNN adică  $[-1, +1]$ , de la alb către negru. Pentru prelucrarea acestor imagini s-a utilizat *toolbox*-ul MatCNN [81], din mediul de simulare Matlab.

Se consideră că obstacolele din mediul de lucru au luminanța mai mică decât cea a spațiilor libere, astfel că, pentru identificarea acestora se poate folosi template-ul TRESHOLD dat de relația 6.1:

$$A = \begin{pmatrix} 0 & 0 & 0 \\ 0 & 2 & 0 \\ 0 & 0 & 0 \end{pmatrix} \quad B = \begin{pmatrix} 0 & 0 & 0 \\ 0 & 0 & 0 \\ 0 & 0 & 0 \end{pmatrix} \quad z = 0. \quad (6.1)$$

Pe intrarea și pe starea inițială a rețelei neuronale celulare se aplică imaginea cu niveluri de gri a mediului cu obstacole. După aplicarea template-ului prezentat mai sus, pe ieșirea rețelei se obține imaginea binară a mediului, în care obstacolele sunt reprezentate de către pixelii negri (valoarea +1) iar spațiile libere respectiv spațiile prin care poate să se deplaseze robotul, de pixelii albi (valoarea -1).

În funcție de condițiile de iluminare existente în mediul de lucru precum și de variația luminanței zonelor libere, în imaginea achiziționată pot apare unele "zgomote", astfel că, unele porțiuni mici din spațiul liber pot fi interpretate ca fiind obstacole. Apare astfel necesitatea eliminării acestora din imagine, lucru ce poate fi realizat prin aplicarea template-ului EROSION [70], dat de relația 6.2.

$$A = \begin{pmatrix} 0 & 0 & 0 \\ 0 & 0 & 0 \\ 0 & 0 & 0 \end{pmatrix} \quad B = \begin{pmatrix} 0 & 1 & 0 \\ 1 & 1 & 1 \\ 0 & 1 & 0 \end{pmatrix} \quad z = -4. \quad (6.2)$$

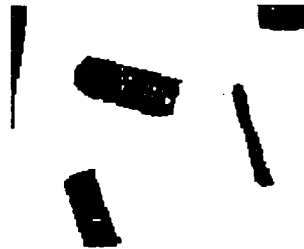


Datorită faptului că prin această acțiune sunt afectate și dimensiunile obstacolelor din imagine, se aplică în continuare template-ul DILATION [70], prezentat în capitolele precedente. În acest fel, este posibilă refacerea dimensiunilor formelor care semnifică obstacolele.

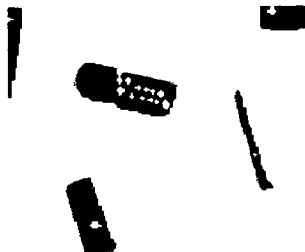
În Figura 6.3 se prezintă un exemplu de aplicare a template-urilor prezentate mai sus asupra unei imagini *gray-scale* a mediului cu obstacole achiziționate cu o cameră video (Figura 6.3a). În aceste imagini, cu negru sunt reprezentate obstacolele iar cu alb spațiile libere ale mediului. Prin aplicarea template-ului TRESHOLD, valorile pixelilor care au luminanța peste un anumit prag devin albi iar ceilalți vor fi de culoare neagră, obținându-se astfel o imagine binară a mediului (Figura 6.3b). Eliminarea unor eventuale "zgomote" sub forma unor dungi subțiri de culoare neagră, ce pot fi interpretate ca fiind obstacole se realizează prin aplicarea template-ului EROSION (Figura 6.3c), iar refacerea dimensiunilor obstacolelor este posibilă prin aplicarea template-ului DILATION (Figura 6.3d).



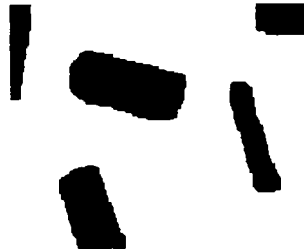
a) imaginea gray-scale a mediului



b) aplicare TRESHOLD.TEM



c) aplicare EROSION.TEM



d) aplicare DILATION.TEM

Figura 6.3. Exemplu de procesări CNN a imaginii reale ale unui mediu cu obstacole.

### 6.3. Planificarea traiectoriei

Deplasarea robotului se va face pas un pas prin spațiul liber al mediului, ocolind obstacolele întâlnite în cale, până va atinge ținta. Traiectoria acestuia trebuie planificată astfel încât robotul să nu atingă obstacolele și chiar să păstreze o anumită distanță minimă față de acestea.

### 6.3.1. Realizarea câmpului potențial artificial

Pentru estimarea poziției robotului față de țintă și planificarea apoi a traiectoriei acestuia s-a utilizat metoda câmpului potențial artificial [30],[31] care presupune realizarea, pe baza imaginii mediului cu obstacole, a unui câmp potențial de atracție și a unui câmp potențial de repulsie.

#### 6.3.1.1. Câmpul potențial de atracție

Acest câmp se realizează cu ajutorul unei funcții potențiale de atracție care alocă fiecărui punct (pixel) al imaginii discretizate a mediului o valoare proporțională cu distanța (măsurată în număr de pixeli) din punctul respectiv până la pixelul ce indică poziția țintei.

Dacă se notează pixelul unde este situată ținta cu  $T$  și coordonatele sale în imagine cu  $(x_t, y_t)$  atunci distanța de la un pixel de coordonate  $(i, j)$  al imaginii mediului de dimensiune  $m \times n$ , până la pixelul care reprezintă poziția țintei, se poate calcula cu formula de calcul a distanței euclidiene dată de relația 6.2.

$$d(i, j) = \sqrt{(x_t - i)^2 + (y_t - j)^2} \quad \text{pentru } \forall \text{ ar fi } i = 1 \dots m, j = 1 \dots n. \quad (6.2)$$

Funcția potențială, denumită și potențial atractiv, pentru fiecare punct din mediul de lucru este dată de relația 6.3.

$$U_{\text{ar}}(i, j) = \frac{1}{2} \cdot k \cdot d(i, j) \quad \text{pentru } \forall \text{ ar fi } i = 1 \dots m, j = 1 \dots n, \quad (6.3)$$

unde  $k$  reprezintă un număr întreg pozitiv.

Valoarea câmpului potențial artificial astfel creat, va avea minimum în punctul țintă și în rest valorile sale în fiecare alt punct din mediu, vor fi proporționale cu distanța din acel punct până în punctul țintă.

#### 6.3.1.2. Câmpul potențial de repulsie

Prin crearea acestui câmp, robotul va fi "respins" de către obstacole și va menține o anumită distanță față de ele. Câmpul potențial de repulsie are valori maxime în punctele în care sunt situate obstacolele și valori descrescătoare în imediata vecinătate a acestora.

Dacă se notează cu  $(z, c)$  perechile de coordonate ce reprezintă pozițiile ocupate de către obstacole, atunci valorile funcției potențiale de repulsie pe baza căreia se realizează câmpul potențial de repulsie sunt date de relația 6.4.

$$U_{\text{rep}}(i, j) = \begin{cases} U_{\text{max}} & \text{dacă } i = z \text{ și } j = c \\ n \cdot \left( \frac{1}{d((z, c), (i, j))} \right)^2 & \text{dacă } i \in [z - q, z + q] \text{ sau } j \in [c - q, c + q], \end{cases} \quad (6.4)$$

unde  $n$  reprezintă un număr întreg pozitiv,  $q$  reprezintă raza de acțiune, măsurată în număr de pixeli, a câmpului în jurul obstacolelor și  $d((z,c),(i,j))$  reprezintă distanța euclidiană dintre pixelii pe care sunt situate obstacolele și pixelii din vecinătatea obstacolelor care sunt situați în raza de acțiune a câmpului.

Prin însumarea celor două câmpuri potențiale, pe întreg mediul de lucru al robotului, se obține câmpul potențial artificial total dat de relația 6.5:

$$U_{\text{total}}(i,j) = U_{\text{atr}}(i,j) + U_{\text{rep}}(i,j), \text{ pentru } \forall \text{ ar fi } i = 1 \dots m, j = 1 \dots n. \quad (6.5)$$

În Figura 6.4 se prezintă un exemplu de realizare a unui câmp potențial artificial pentru un mediu cu obstacole având imaginea cu rezoluția  $160 \times 120$  pixeli (Figura 6.4a). Dacă ținta este situată în acest mediu în poziția  $i = 130$  și  $j = 40$ , atunci câmpul potențial de atracție are forma prezentată în Figura 6.4b. Având cunoscute pozițiile pe care sunt situate obstacolele, se realizează câmpul potențial de repulsie Figura 6.4c. Prin însumarea celor două câmpuri potențiale se obține câmpul potențial artificial total (Figura 6.4d).

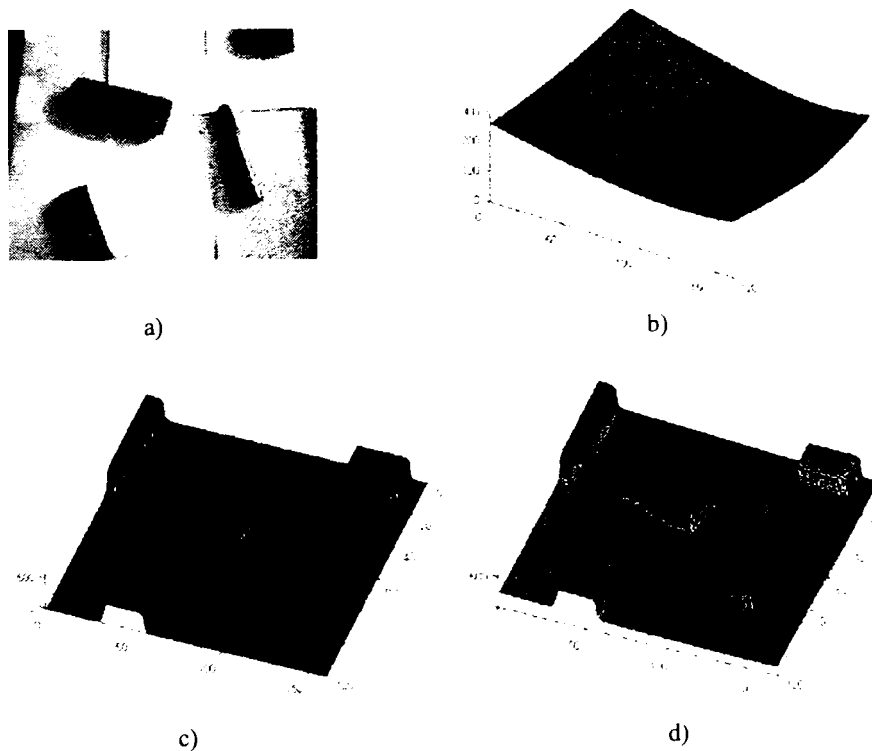


Figura 6.4. Exemplu de realizare a câmpului potențial artificial; a) imaginea gray-scale a unui mediu cu obstacole, b) potențialul de atracție, c) potențialul de repulsie, d) potențialul total.

Pe baza acestui câmp, în funcție de poziția potențialului minim din jurul poziției actuale a robotului, va fi stabilită direcția optimă de deplasare pentru robot. Deplasarea acestuia se va face atâta timp cât valoarea câmpului potențial pe direcția deplasării este în scădere.

### 6.3.2. Calculul traiectoriei

Planificarea traiectoriei este realizată pixel cu pixel, începând de la pixelul care reprezintă poziția inițială a robotului ( $iR, jR$ ), prin determinarea de fiecare dată a celui pixel ce are valoarea cea mai mică dintre cei opt pixeli vecini, situați în jurul pixelului care reprezintă poziția curentă a robotului.

Dacă se presupune că pixelul având coordonatele  $(i, j)$  este pixelul care coincide cu poziția robotului, atunci direcțiile posibile de deplasare sunt date de cei opt pixeli vecini și sunt reprezentate în Figura 6.5.

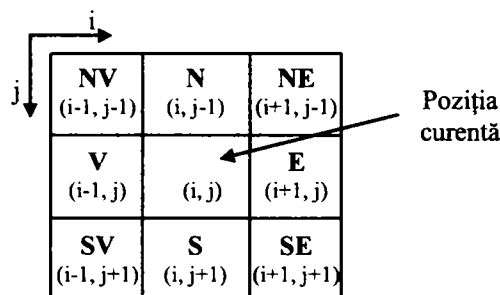


Figura 6.5. Direcțiile posibile de deplasare a robotului.

Valorile pixelilor din jurul poziției curente sunt exprimate în algoritmul de planificare a traiectoriei printr-o matrice linie  $X$ , iar valoarea minimă este dată de parametrul  $d$  (relația 6.5).

$$X = [N \ S \ E \ V \ NE \ NV \ SE \ SV], \quad d = \min(X). \quad (6.5)$$

Prin compararea valorii lui  $d$  cu valorile elementelor matricei  $X$ , va fi identificată direcția optimă de deplasare, respectiv poziția viitoare (pixelul) prin care va trece traiectoria. Acest pixel va deveni pixel actual și procesul se va repeta până va fi identificat pixelul care corespunde poziției țintei ( $iT, jT$ ). Acesta are valoarea cea mai mică dintre toți pixelii ce reprezintă câmpul potențial artificial al mediului de lucru, valoare atribuită prin potențialul de atracție.

În Figura 6.6 se arată forma traiectoriei planificate în cazul imaginilor prezentate mai sus, în care poziția țintei este dată de pixelul având coordonatele  $i=130$  și  $j=40$ , iar poziția robotului este dată de pixelul de coordonate  $i=15$  și  $j=100$ .

### 6.4. Deplasarea robotului spre țintă

Deplasarea robotului de-a lungul traiectoriei planificate presupune parcurgerea următoarelor etape:

- elaborarea comenzilor;
- transmiterea acestora către sistemul locomotor;
- orientarea robotului pe direcția specificată;
- deplasarea robotului.

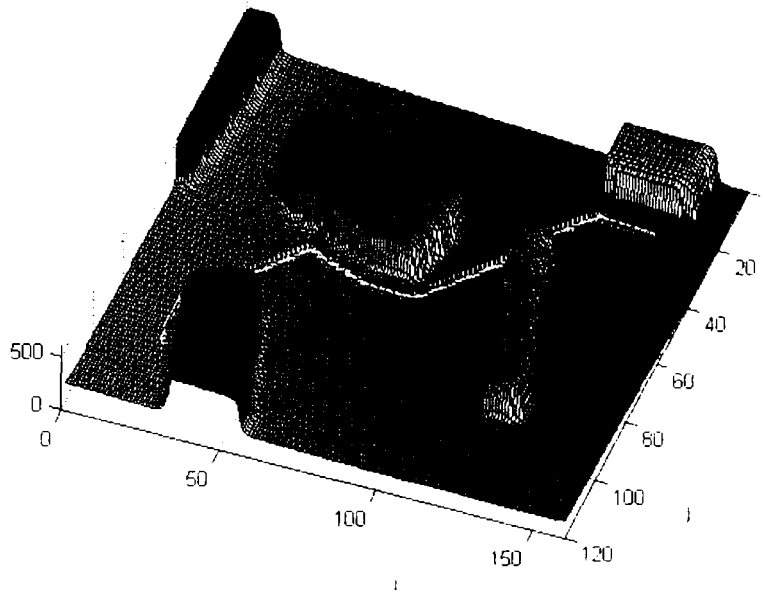


Figura 6.6. Forma traiectoriei pentru imaginile prezentate în Figura 6.4.

Aceste etape sunt parcurse o singură dată în cazul în care este achiziționată o singură imagine a mediului și pe baza ei se planifică întreaga traiectorie sau sunt parcurse ciclic atunci când imaginile sunt achiziționate periodic.

#### 6.4.1. Elaborarea comenzilor

Sistemul de locomoție al robotului (Figura 6.7) este realizat cu două motorașe de curent continuu MD și MS care sunt comandate cu nivele de tensiune TTL ( $U_d$  și  $U_s$ ). MD antrenează o roată motoare situată în partea laterală dreaptă iar MS o roată motoare situată pe partea laterală stângă. În partea din față a șasiului este montată o roată omnidirecțională pentru menținerea echilibrului. Viteza maximă de deplasare a robotului este de 0.92 m/s.

Mișcările ce pot fi realizate de către robot și semnalele de comandă aferente acestora sunt:

- deplasare în față ( $U_d = 1$ ,  $U_s = 1$ );
- viraj spre dreapta ( $U_d = 0$ ,  $U_s = 1$ );
- viraj spre stânga ( $U_d = 1$ ,  $U_s = 0$ ).

Unghiul de viraj depinde de intervalul de timp  $t$  în care este menținută comanda cu nivelul logic 1 asupra circuitului de comandă a motorașului. Astfel, au fost stabilite tipurile de viraje:

- viraj la 45 de grade -  $t = 0.2$  secunde;
- viraj la 90 de grade -  $t = 0.4$  secunde;
- viraj la 135 de grade -  $t = 0.6$  secunde;
- viraj la 180 de grade -  $t = 0.8$  secunde.

În concluzie, semnalele de comandă pentru navigația robotului mobil sunt date de tripletul (Ud, Us, t).

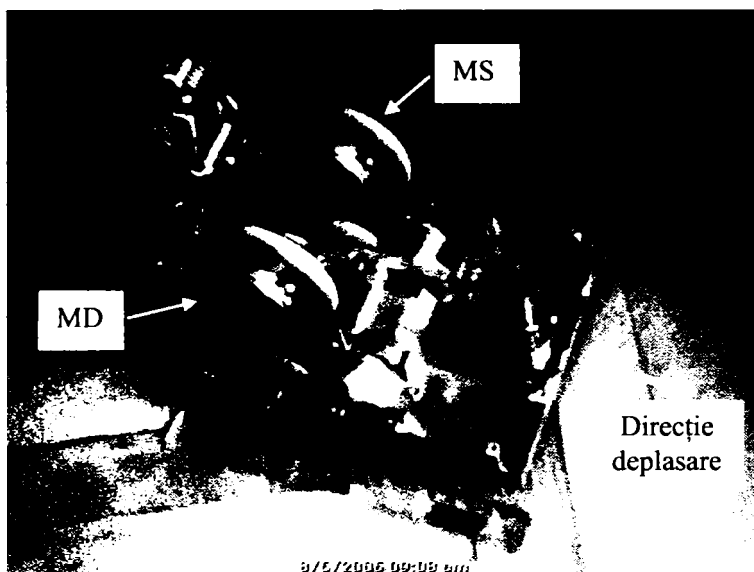


Figura 6.7. Robotul mobil utilizat pentru testarea practică a algoritmului de planificare a traiectoriei pe baza imaginilor.

#### 6.4.2. Transmiterea comenzilor spre robot

Pentru transmiterea comenzilor de la calculator spre robotul mobil s-a utilizat portul paralel. Astfel, pentru comanda deplasării robotului s-au folosit pini Data0 (D0) și Data1 (D1) ai portului paralel (pini 2 și 3 ai conectorului de tip D). Aceștia au fost configurați din mediul Matlab ca pini de ieșire, cu rol de comandă pentru sistemul locomotor al robotului. Nivele de tensiune au valori TTL standard, adică +5V la nivelul logic 1 și 0V la nivelul logic 0.

Comenzile transmise prin intermediul acestor pini sunt:

- **deplasare în față** – D0 = 1 și D1 = 1;
- **viraj spre dreapta** – D0 = 0 și D1 = 1;
- **viraj spre stânga** – D0 = 1 și D1 = 0;
- **oprire** – D0 = 0 și D1 = 0.

Legătura dintre portul paralel al calculatorului și robot s-a realizat într-o primă etapă prin trei fire de conexiune, dintre care două fire pentru transmiterea semnalelor de comandă și un fir pentru legătura de masă.

Schema electronică a montajului care realizează adaptarea semnalelor date de către port, astfel încât acestea să poată comanda controlerul motoarelor cu care este echipat robotul, se prezintă în Figura 6.8.

Acest montaj realizează și separarea galvanică între tensiunile date de portul calculatorului și tensiunile de comandă, respectiv de alimentare a motoarelor cu care este echipat robotul.

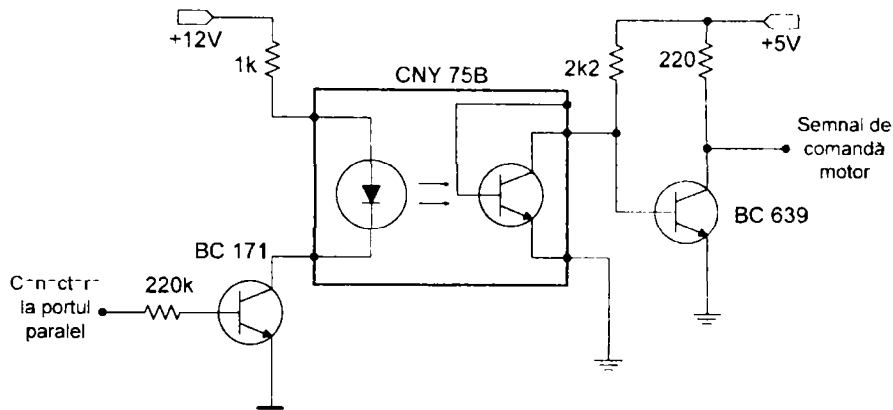


Figura 6.8. Schema electronică a montajului pentru adaptarea semnalelor de comandă și pentru separare galvanică.

### 6.4.3. Orientarea robotului pe direcția specificată

Dacă robotul primește o comandă de deplasare pe o anumită direcție, și dacă aceasta diferă de direcția pe care s-a deplasat anterior atunci într-o primă fază, robotul va trebui să facă o rotație în jurul axei sale spre stânga sau spre dreapta pentru a fi pe direcția specificată în comandă.

În cadrul algoritmului a fost stabilită o orientare inițială a robotului, urmând apoi ca după fiecare schimbare de direcție să fie actualizată această orientare. Spre exemplu, dacă se stabilește orientarea inițială ca fiind **SE** atunci vor fi inițializate valorile  $o_n = 0$ ,  $o_s = 0$ ,  $o_e = 0$ ,  $o_v = 0$ ,  $o_{ne} = 0$ ,  $o_{nv} = 0$ ,  $o_{se} = 1$ ,  $o_{sv} = 0$ . Dacă robotul are această orientare și trebuie să schimbe direcția de deplasare, atunci va trebui să facă unul din virajele prezentate în Figura 6.9.

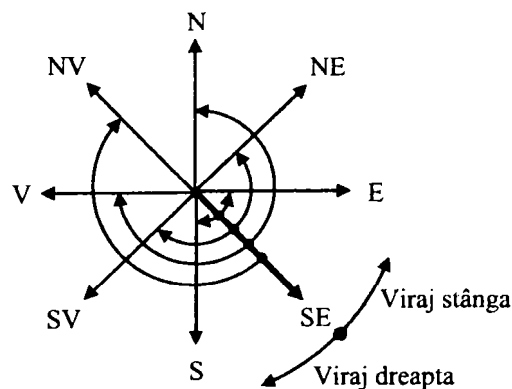


Figura 6.9. Modul de realizare a orientării robotului față de direcția **SE**.

Pentru ca robotul să nu facă viraje mai mari de 180 de grade, manevrele pentru realizarea orientării au fost împărțite în viraje spre dreapta (de la 0 la 180 de grade) și viraje spre stânga (de la 0 la 135 de grade).

Pentru situația în care orientarea robotului este pe direcția **SE**, orientările posibile sunt:

- orientare spre **S** – viraj dreapta cu 45 de grade;
- orientare spre **SV** – viraj dreapta cu 90 de grade;
- orientare spre **V** – viraj dreapta cu 135 de grade;
- orientare spre **NV** – viraj dreapta cu 180 de grade;
- orientare spre **E** – viraj stânga cu 45 de grade;
- orientare spre **NE** – viraj stânga cu 90 de grade;
- orientare spre **N** – viraj stânga cu 135 de grade.

După ce robotul se află pe direcția specificată, urmează deplasarea efectivă a acestuia. Pentru a avea o navigare continuă pe porțiunile drepte de pe traiectorie, comanda deplasării robotului va fi dată la sfârșitul planificării porțiunii respective. Timpul de menținere a comenzii de deplasare în față ( $D_0 = 1$ ,  $D_1 = 1$ ) va fi proporțional cu numărul de pixeli ai segmentului de traiectorie planificat.

## 6.5. Concluzii

Pentru procesarea semnalelor s-au folosit atât funcții din toolbox-ul **MatCNN** [81], cât și instrucțiuni din mediul Matlab (vezi Anexa A7). Reducerea timpului de prelucrare necesar întregului algoritm ar fi posibilă dacă toate procesările și chiar comenzile ar fi realizate în întregime cu ajutorul rețelelor neuronale celulare, respectiv utilizând un cip CNN.

Recunoașterea robotului după formă, sau după faptul că acesta ar putea fi singurul obiect mișcător din mediu se poate soluționa cu mijloace CNN. La fel și țintele, mai ales dacă sunt fixe, pot fi identificate pe baza imaginilor *gray-scale* ale mediului. Pornind de la aceste considerente poate fi setată camera video să capteze direct imaginea *gray-scale* a mediului caz în care organigrama prezentată în Figura 6.2 se simplifică. Odată recunoscut un obiect în imaginea achiziționată, determinarea punctului central a imaginii acestuia poate fi realizată prin procesări CNN [56].

Metoda câmpului potențial artificial are dezavantajul că robotul condus prin această metodă se poate bloca în minime locale, dacă în mediul de lucru există obstacole care au forme concave (având concavitățile orientate spre robot), și care sunt situate în calea acestuia. Rezolvarea acestei probleme prin efectuarea unor procesări asupra imaginii binarizate a mediului cu obstacole astfel încât să fie eliminate eventualele concavități din imaginea ce reprezintă obstacolele, constituie în continuare un subiect de cercetare. Pe de altă parte se poate utiliza și o altă metodă de planificare, spre exemplu în **Capitolul 4**, planificarea traiectoriei s-a realizat în totalitate prin procesări CNN, prin utilizarea template-ului EXPLORE, cu ajutorul căruia se generează o undă în planul imaginii pornind din punctul țintă. În cazul utilizării acestui template nu apar probleme de genul minimelor locale. Implementarea acestui template în mediul de simulare Matlab, respectiv utilizând toolbox-ul **MatCNN** reprezintă, de asemenea, o temă de studiu.

O altă problemă întâmpinată în decursul testării practice, pe baza imaginii reale a unui mediu de lucru cu obstacole, o constituie modalitatea sa de iluminare. Astfel, dacă iluminarea mediului nu este optimă atunci pot fi identificate ca fiind obstacole și unele zone întunecate din spațiile libere cum ar fi umbra obstacolelor sau zonele libere care au culoare închisă. În cazul experimentului practic, suprafața pe care s-a deplasat robotul a fost aleasă de culoare deschisă, evitându-se astfel



interpretarea acesteia sau a unor părți din aceasta ca fiind zonă ocupată de obstacole.

Prezența unei bucle de reacție negativă de la nivelul elementelor de locomoție spre sistemul de comandă a navigării ar fi benefică pentru o mai bună poziționare a robotului. Sunt situații când datorită suprafețelor cu rugozitate diferită a mediului apare fenomenul de patinare și astfel pentru aceeași comandă de deplasare dar pe suprafețe diferite de navigare se poate întâmpla ca robotul să parcurgă distanțe diferite. Prin echiparea robotului mobil cu traductori de deplasare odometrice ar putea fi evitate aceste erori de poziționare.

Datorită acestor erori de poziționare, robotul poate să de ciocnească de obstacole, mai ales în cazul în care pe baza unei singure imagini este planificată întreaga traiectorie a robotului urmând apoi elaborarea, pe baza acesteia, a succesiunii de comenzi pentru deplasare. Astfel, dacă robotul nu va efectua deplasarea completă pe un segment de traiectorie, atunci momentul când va primi următoarea comandă, acesta nu va efectua virajul în locul potrivit și se poate ciocni de obstacole. Evitarea ciocnirii acestora poate fi realizată prin echiparea robotului cu senzori de proximitate (senzori laser sau ultrasonici), care vor semnala apropierea prea mare față de un eventual obstacol și, în acest caz, va fi solicitată o nouă planificare a traiectoriei.

Utilizarea portului paralel pentru comunicarea calculator – robot are dezavantajul că sunt greu de transmis la distanță datele furnizate de acesta. Un subiect de cercetare îl constituie utilizarea portului serial și USB pentru transmiterea și recepționarea informațiilor respectiv comenzilor între calculator și robotul mobil.

Eliminarea firelor de legătură dintre robot și calculator se poate realiza prin stabilirea unei comunicări în infraroșu sau a unei comunicări prin unde radio și prin echiparea robotului cu o baterie de acumulatori pentru alimentarea motorășelor. Pentru a fi complet autonom mai trebuie ca robotul să posede un sistem de calcul care să realizeze toate operațiile de procesare a imaginilor în scopul planificării traiectoriei, lucru care e greu realizabil prin utilizarea microcontrolerelor clasice.

Deși "creierul" robotului mobil prezentat aici, se află *off-board* (acesta fiind situat la nivelul unității centrale a calculatorului PC) se poate întrezări modalitatea de realizare a unui robot mobil complet autonom, care să utilizeze, pentru procesarea informațiilor senzoriale, procesoare realizate prin implementarea rețelelor neuronale celulare.

## 7. CONTRIBUȚII

În **Capitolele 1, 2 și 3** sunt studiate și sintetizate aspectele teoretice actuale precum și realizări în domeniul navigației roboților mobili autonomi și al rețelelor neuronale celulare.

**Capitolele 4, 5 și 6** sunt bazate, în mare măsură, pe contribuțiile originale ale autorului. Cea mai mare parte dintre aceste contribuții sunt incluse în cele 18 lucrări prezentate la sesiuni de comunicări științifice din țară și străinătate, în care autorul tezei este coautor și care sunt citate pe parcursul tezei.

Contribuțiile importante sunt enumerate mai jos, în ordinea prezentării lor în teză.

1. Prezentarea, pe baza bibliografiei citate, a aspectelor teoretice actuale cu privire la roboții mobili autonomi: structura internă, clasificare, aplicații, evoluția, etc.
2. Studiul comparativ și sinteza metodelor și strategiilor de navigare cunoscute pentru roboții mobili autonomi.
3. Studiul comparativ privind sistemele de conducere a roboților mobili (ierarhice, reactive și deliberativ-reactive).
4. Realizarea și prezentarea unei modalități originale de implementare în mediul de simulare Matlab a metodei câmpului potențial artificial pentru planificarea traiectoriei roboților mobili.
5. Elaborarea și testarea unei metode de evitare a minimelor locale ce pot apărea în cazul obstacolelor cu forme concave.
6. Studiul și sinteza aspectelor teoretice actuale ale rețelelor neuronale celulare monostrat și multistrat.
7. Studiul rețelelor neuronale celulare standard cu operatori de dimensiune  $3 \times 3$ , care au avantajul că pot fi implementate hard.
8. Analiza și sinteza etapelor principale de realizare a algoritmilor CNN în cazul mediilor de simulare utilizate în teză: MatCNN și CadetWin.
9. Studiul comparativ al circuitelor integrate CNN existente.
10. Conceperea, elaborarea și testarea prin simulare a unor algoritmi CNN de planificare, pe baza imaginilor, a traiectoriei roboților mobili.
11. Elaborarea și testarea unei metode originale de alegere a direcției optime de deplasare a robotului mobil prin proiectarea, în acest scop, a unui template CNN denumit PATH.
12. Studiul comparativ privind diversele metode de alegere a direcției optime și modul de deplasare a robotului mobil în ceea ce privește timpul de rulare a algoritmilor și numărul de viraje efectuat de către robot.

13. Elaborarea și testarea unui algoritm CNN pentru planificarea simultană a traiectoriilor pentru doi roboți mobili care se deplasează spre o țintă comună.
14. Descrierea unui mod original de concepție, elaborare și testare a unui algoritm CNN pentru simularea deplasării unui robot mobil într-un labirint, pe baza imaginii acestuia.
15. Realizarea unei modalități originale pentru optimizarea operațiilor de determinare a direcției de deplasare a robotului pe lângă perete, în cazul celor două modalități de navigare în labirint (având ca reper peretele din dreapta respectiv peretele din stânga).
16. Optimizarea prin procesări CNN a traiectoriei robotului prin labirint.
17. Analiza și sinteza principalelor aspecte teoretice din cadrul studierii colectivităților de roboți mobili.
18. Concepția teoretică originală pentru estimarea distanțelor dintre roboții mobili aparținând unei colectivități, folosind metode CNN.
19. Elaborarea și testarea unui algoritm CNN pentru coordonarea deplasării roboților mobili din cadrul unei colectivități.
20. Prezentarea unei modalități originale pentru adunarea roboților cu poziții extreme în jurul roboților cu poziții centrale din cadrul unei colectivități.
21. Concepția și implementarea practică originală a unui mediu integrat pentru deplasarea unui robot mobil, pe baza imaginilor mediului cu obstacole furnizate de o cameră video.
22. Procesarea imaginilor reale ale mediului cu obstacole utilizând rețele neuronale celulare.
23. Testarea funcționalității practice a mediului integrat pe baza simulatorului analogic de rețele neuronale celulare monostrat, MatCNN, din mediul de simulare Matlab, și prin utilizarea portului paralel al calculatorului.
24. Elaborarea unor concluzii pe baza realizării unor serii de teste practice privind deplasarea robotului într-un mediu real cu obstacole, pe baza imaginilor, în diverse condiții de iluminare și pe suprafețe cu diferite rugozități.

## BIBLIOGRAFIE

- [1] H. M. Barberă, *A distributed architecture for intelligent control in autonomous mobile*, Ph. D. Thesis, Dept. of Communications and Information Engineering, University of Murcia, January, 2001.
- [2] T. Botoș, V. Tiponuț, *Soluții cunoscute privind conducerea roboților mobili autonomi*, Referat nr. 1 în cadrul pregătirii lucrării de doctorat, Universitatea Politehnică din Timișoara, 1997.
- [3] R. D. Schraft, *Mechatronics and Robotics for Service Applications*, IEEE Robotics and Automation Magazine, Vol. 1(4), Dec., pp. 31-35, 1994.
- [4] H. Chuo, *Intelligent Mobile Robots: The State of Art and Perspectives*, Romansy-2004, Montreal, Canada, June 14-18, 2004.
- [5] A. Meystel, *Autonomous Mobile Robots Vehicles with Cognitive Control*, World Scientific Publishing Co. Pte. Ltd., Singapore, 1991.
- [6] H. R. Everett, *Sensors for Mobile Robots - Theory and Application*, A. K. Peters, Wellesley, MA, 1995.
- [7] L. S. Lopes, A. Teixeira, *Human-Robot Interaction through Spoken Language Dialogue*, Proceedings of the 2000 IEEE/RSJ International Conference on Intelligent Robots and Systems, Takamatsu, Japan, Oct./Nov., pp. 528-534, 2000.
- [8] F. Mondada, E. Franzi, P. Ienne, *Mobile robot miniaturizations: A tool for investigation in control algorithms*, Experimental Robotics III, Proceedings of the 3-rd International Symposium on Experimental Robotics, Kyoto, Japan, October 28-30, 1993, Springer Verlag, London, pp. 501-513, 1994.
- [9] Lynne E. Parker, *Multi-Robot Team Design for Real-World Applications*, Distributed Autonomous Robotic Systems 2, edited by H. Asama, T. Fukuda, T. Arai, and I. Endo, Springer-Verlag, Tokyo, pp. 91-102, 1996.
- [10] R. Johansson, *Intelligent Motion Planning for a Multi-Robot System*, Master's Thesis in Computer Science at the School of Computer Science and Engineering, Royal Institute of Technology, Stockholm, Sweden, 2000.
- [11] Y. U. Cao, A. S. Fukunaga, A. B. Kahng, *Cooperative Mobile Robotics: Antecedents and Directions*, Autonomous Robots, Kluwer Academic Publishers, Vol. 4, pp. 1-23, 1997.
- [12] G. A. S. Pereira, B. S. Pimentel, L. Chaimowicz, M. F. M. Campos, *Coordination of multiple mobile robots in an object carrying task using implicit communication*, VERLab - Laboratório de Visão Computacional e Robotica, Departamento de Ciência da Computação, Universidade Federal de Minas Gerais, Belo Horizonte, MG, Brasil.
- [13] G. A. S. Pereira, A. K. Das, R. V. Kumar, M. F. M. Campos, *Decentralized motion planning for multiple robots subject to sensing and communication constraints*, Published in Multi-Robot Systems: From Swarms to Intelligent Automata, Vol. II, Proceedings of the 2003 International Workshop on Multi-Robot Systems, pp. 267-278, 2003.
- [14] P. Zebrowski, *Communication in Multi-Robot Systems*, Simon Fraser University, Spring, 2004.

- [15] M. Simoncelli, G. Zunino, H. I. Christensen, *Autonomous Pool Cleaning: Self Localization and Autonomous Navigation for Cleaning*, Autonomous Robots No. 9, pp. 261–270, Kluwer Academic Publishers, Manufactured in The Netherlands, 2000.
- [16] S. Thrun, D. Fox, W. Burgard, F. Dellaert, *Robust Monte Carlo Localization for Mobile Robots*, School of Computer Science, Carnegie Mellon University, Pittsburgh, to appear in Artificial Intelligence, Summer, 2001.
- [17] S. Thrun, M. Bennewitz, W. Burgard, A. B. Cremers, F. Dellaert, D. Fox, D. Hahnel, C. Rosenberg, N. Roy, J. Schulte, D. Schulz, *MINERVA: A Second-Generation Museum Tour-Guide Robot*, School of Computer Science, Carnegie Mellon University, Pittsburgh and Computer Science Department III University of Bonn, Germany, 1999.
- [18] R. A. Russell, *Laying and sensing odor markings as a strategy for assisting mobile robot navigation tasks*, IEEE Robotics and Automation Magazine, pp. 3-9, September, 1995.
- [19] D. Lange, J. K. Rosenblatt, M. Heber, *A behavior-based system for off-road navigation*, IEEE Journal of Robotics and Automation, Vol. 10, No. 6, pp. 776-782, Dec., 1994.
- [20] S. K. Choi, J. Yuh, *Development of the omni-directional intelligent navigator*, IEEE Robotics and Automation Magazine, Vol. 2, March, 1995.
- [21] H. Schempf, B. Chemel and N. Everett, *NEPTUNE: Above ground Storage-Tank Inspection Robot System*, IEEE Robotics and Automation Society Magazine, June, 1995.
- [22] H. Lehtinen, P. Kaarmila, M. Blom, I. Kauppi, J. Kerva, *Mobile robots evolving in industrial applications*, VTT Automation, Machine Automation, Mobile Robotics / Mechatronics, //www.vtt.fi/aut/kau, Finland, 2001.
- [23] G. Schweitzer, *Mechatronics for the design of human-oriented machines*, IEEE/ASME Transactions on Mechatronics, 1/2, pp. 120-126, June, 1996.
- [24] V. Tiponuş, L. Tepelea, C. Lar, **I. Gavriluş**, A. Gacsádi, *An integrated environment for assisted movement of blind persons*, Proceedings of the International Conference on Engineering of Modern Electric Systems (EMES' 2005), Oradea, pp. 128 -131, 2005.
- [25] V. Tiponuş, A. Gacsádi, L. Tepelea, C. Lar, **I. Gavriluş**, *Integrated Environment for Assisted Movement of Visually Impaired*, Proceedings of the 15th International Workshop on Robotics in Alpe-Adria-Danube Region (RAAD 2006), June 15-17, Balatonfüred, Hungary, 2006.
- [26] C. R. Weisbin, D. Lavery, *NASA rover and telerobotics technology program*, IEEE Robotics and Automation Magazine, pp.14-21, Dec., 1994.
- [27] M. Khatib, *Sensor-based motion control for mobile robots*, Ph. D. thesis, Laboratoire d'Automatique et d'Analyse des Systemes, LAAR-CNSR, Toulouse, France, 1996.
- [28] J. V. Dam, *Environment Modelling for Mobile Robots: Neural Learning for Sensor Fusion*, PhD thesis, Dept. of Computer Systems, University of Amsterdam, 1998.
- [29] E. Sacks, *Path planning for planar articulated robots using configuration spaces and compliant motion*, IEEE Transactions on Robotics and Automation, Vol. 19, No. 3, pp. 381–390, 2003.

- [30] J. Borenstein, Y. Koren, *The Vector Field Histogram - Fast Obstacle Avoidance for Mobile Robots*, IEEE Transaction of Robotics and Automation Vol. 7, No. 3, pp. 278-288, June, 1991.
- [31] Z. Liu, M. H. Ang Jr., W. K. G. Seah, *A Potential field based Approaches for Multi-Robot Tracking of Multiple Moving Targets*, The First Humanoid, Nanotechnology, Information Technology, Communication and Control Environment and Management (HNICEM) International Conference, March 27-30, Manila, Philippines, 2003.
- [32] H. Choset, J. Burdick, *Sensor-Based Exploration: The Hierarchical Generalized Voronoi Graph*, The International Journal of Robotics Research Vol. 19, No. 2, pp. 96-125, February, 2000.
- [33] W. L. Roque, D. Doering, *Constructing Approximate Voronoi Diagrams from Digital Images of Generalized Polygons and Circular Objects*, Proceedings of WSCG'2003, Febr. 3-7, Plzen, Czech Republic, 2003.
- [34] A. G. Lamperski, Owen Y. Loh, Brett L. Kutscher, Noah J. Cowan, *Dynamical Wall-Following for a Wheeled Robot using a Pasive Tactile Sensors*, John Hopkins University, Baltimore, 2004.
- [35] P. van Turenout, G. Honderd, L. J. van Schelven, *Wall-following control of a Mobile Robot*, IEEE, International Conference on Robotics and Automation, pp. 280-285, May, 1992.
- [36] J. Hertz, A. Krogh, R. G. Palmer. *Introduction to the theory of neural computation*. Addisonn -Wesley Publishing Company, ISBN 0-201-50395-6, 1991.
- [37] Z. Yi, *Multi-Ultrasonic Sensor Fusion for Mobile Robots in Confined Spaces*, Ph. D. thesis, School of Electrical & Electronic Engineering, Nanyang Technological University, 2001.
- [38] F. Wallner, R. Graf, R. Dillmann, *Real-time Map Refinement by Fusing Sonar and Active Stereo-Vision*, University of Karlsruhe, Institute for Real-Time Computer Systems & Robotics, Karlsruhe, Germany, 1995.
- [39] M. Milford, *RatSLAM: A Hippocampal Model for Simultaneous Localisation and Mapping*, Ph. D. Confirmation Report, April 21, 2004.
- [40] **I. Gavriluț**, *A navigation system for autonomous mobile robot*, Proceedings of the International Conference on Engineering of Modern Electric Systems (EMES'01), Băile Felix, pp. 51-54, 2001.
- [41] D. Zhu, J. C. Latombe, *New heuristic algorithms for efficient hierarchical path planning*, IEEE Transactions on Robotics and Automation, No. 7, pp. 9-20, Febr., 1991.
- [42] L. Moreno, J. M. Armingol, S. Garrido, A. de la Escalera, M. A. Salichs, *A Genetic Algorithm for Mobile Robot Localization Using Ultrasonic Sensors*, Department of Systems Engineering and Automation, Universidad Carlos III de Madrid, Spain, July, 2001.
- [43] A. Georgiev, Peter K. Allen, *Localization Methods for a Mobile Robot in Urban Environments*, IEEE Transactions on Robotics and Automation, Vol. 20, No. 5, pp. 851-864, Oct., 2004.
- [44] J. Borenstein, H. R. Everett, L. Feng, D. Wehe, *Mobile Robot Positioning & Sensors and Techniques*, Invited paper for the Journal of Robotic Systems, Special Issue on Mobile Robots. Vol. 14, No. 4, pp. 231-249, 1996.
- [45] R. R. Murphy, *Introduction to AI Robotics*, The MIT Press, ISBN 0-262-13383-0, 2000.

- [46] **I. Gavriluț**, *Path planning of a mobile robot using Potential Field Method*, Proceedings of the International Conference on Renewable Sources and Environmental Electro-Technologies (RSEE 2002), Oradea, pp. 55-58, 2002.
- [47] T. Botoș, *Cercetări privind conducerea adaptivă a roboților mobili autonomi*, Universitatea Politehnica Timișoara, Teză de doctorat, 2005.
- [48] U. Nehmzow, *Mobile Robotics: A Practical Introduction*, Springer - Verlag 2000 ISBN 1-85233-173-9.
- [49] L. O. Chua, L. Yang, *Cellular neural networks: Theory*, IEEE Transactions on Circuits and Systems, (CAS), Vol. 35, pp. 1257-1272, 1988.
- [50] L. O. Chua, L. Yang, *Cellular neural networks: Applications*, IEEE Transactions on Circuits and Systems, (CAS), Vol. 35, pp. 1273-1290, 1988.
- [51] Edward R. Sykes, A. Mirkovic, *A Fully Parallel and Scalable Implementation of a Hopfield Neural Network on the SHARC-NET Supercomputer*, The 19-th International Symposium on High Performance Computing Systems and Applications (HPCS'05), pp. 103-109, 2005.
- [52] L. O. Chua, M. Hasler, G. S. Moschytz, J. Neiryneck, *Autonomous cellular neural network: A unified paradigm for pattern formation and active wave propagation*, IEEE Transactions on Circuits and Systems I: Fundamental Theory and Applications, (CAS-I), Vol. 42, pp. 559-577, 1995.
- [53] A. Gacsádi, P. Szolgay, *Adaptive Image Enhancement by Using Cellular Neural Networks*, Proceedings of the European Conference on Circuit Theory and Design, Cracow, Poland, Sept., 2003.
- [54] A. Gacsadi, **I. Gavriluț**, L. Țepelea, *Îmbunătățirea imaginilor utilizând rețele neuronale celulare și ecuații diferențiale parțiale*, Analele Universității din Oradea, Fascicula Colegiului Universitar Tehnic, Economic și de Administrație, Oradea, 2004.
- [55] A. Gacsádi, R. Reiz, **I. Gavriluț**, L. Țepelea, V. Tiponuț, *Noise removal in images by using cellular neural networks*, Proceedings of the International Conference on Engineering of Modern Electric Systems (EMES' 2005), Oradea, pp. 50-53, 2005.
- [56] A. Gacsádi, I. Turcaș, J. Vandewalle, *A CNN algorithm for determining the position of an object in an image*, Proceedings of the 3-th International Conference on Renewable Sources and Environmental Electro-Technologies (RSEE 2000), Oradea, pp. 101-106, 2000.
- [57] Z. Nagy, P. Szolgay, *Numerical Solution of a Class of PDEs by Using Emulated Digital CNN-UM on FPGAs*, Proceedings of the European Conference on Circuit Theory and Design, Cracow, Poland, Sept., 2003.
- [58] A. Gacsádi, **I. Gavriluț**, L. Țepelea, *Rezolvarea ecuațiilor diferențiale parțiale utilizând rețele neuronale celulare*, Conferința Internațională, "Tendințe în dezvoltarea aplicațiilor ciberneticii", Academia de Cibernetică, "Ștefan Odobleja", Băile Felix, 2004.
- [59] A. Gacsádi, V. Tiponuț, *Rețele neuronale celulare – Aplicații*, Editura Universității din Oradea, ISBN 973-613-144-0, 2002.
- [60] L. O. Chua, T. Roska, *Cellular Neural Networks: Foundation and Primer*, Version 1.7, Lecture notes for the course EE129 at U.C. Berkeley, 1998.
- [61] T. Yang, *Multi-layer Cellular Neural Networks: Theory and Applications to Modeling Nitric Oxide Diffusion in Nervous Systems*, International Journal of Computational Cognition, Vol. 1, No. 2, pp. 1-23, June, 2003.

- [62] A. Gacsádi, C. Grava, *Simulation of the discrete time cellular neural network-DTCNN*, Proceedings of the International Conference on Renewable Sources and Environmental Electro-Technologies (RSEE'98), pp. 99-104, Băile Felix, 1998.
- [63] R. Carmona, S. Espejo, R. Domínguez-Castro, A. Rodríguez-Vázquez, *CMOS Optoelectronic IC for Radon Transform of Binary Images*, October, 1993.
- [64] R. Carmona, S. Espejo, R. Domínguez-Castro, A. Rodríguez-Vázquez, *CMOS Optoelectronic IC for Real-Time Extraction of Image Features*, June, 1999.
- [65] Wai-Chi Fang, Bing J. Sheu, H. Venus, R. Sandau, *Smart pixel Array Processors Based on Optimal Cellular Neural Networks for Space Sensor Applications*, Proceedings of the International Conference on Computer Design: VLSI in computers & Processors (ICCD '95), 1995.
- [66] R. Domínguez-Castro, S. Espejo, A. Rodríguez-Vázquez, R. A. Carmona, P. Földesy, Á. Zarándy, P. Szolgay, T. Szirányi, T. Roska, *0.8 $\mu$ m CMOS Two dimensional programmable mixed - signal focal - plane array processor with on - chip binary imaging and instructions storage*, IEEE Journal of Solid State Circuits, Vol. 32, pp. 1013-1026, 1997.
- [67] G. L. Cembrano, A. Rodríguez-Vázquez, S. Espejo-Meana, R. Domínguez-Castro: *ACE16k: A 128x128 Focal Plane Analog Processor with Digital I/O*. International Journal Neural Systems, 13(6), pp. 427-434, 2003.
- [68] T. Roska, L. O. Chua, *The CNN Universal Machine: An analogical array computer*, IEEE Transactions on Circuits and Systems II: Analog and Digital Signal Processing, Vol. 40, pp. 163-173, 1993.
- [69] \*\*\* *CadetWin-99 - CNN application development environment and toolkit under Windows*, Version 3.0, Analogical and Neural Computing Laboratory, Computer and Automation Institute, Hungarian Academy of Science, Budapest, 1999.
- [70] C. Rekeczky, *MATCNN - Analogic Simulation Toolbox for Matlab*, Version 1.0, DNS-11-1997, Technical Report, Analogical and Neural Computing Laboratory, Computer and Automation Institute of the Hungarian Academy of Sciences, Budapest, Sept., 1997.
- [71] C. D. Căleanu, V. Tîponuț, *Rețele neuronale - Aplicații*, Editura Politehnică Timișoara, ISBN 973-9389-67-8, 2001.
- [72] M. Ghinea, V. Fireșteanu, *MATLAB Calcul numeric - Grafică - Aplicații*, Editura Teora, București, 1995.
- [73] \*\*\* *CadetWin-99, VisMouse - CNN Visual mouse software platform for Windows* Reference manual, Version 3.0, Analogical and Neural Computing Laboratory, Computer and Automation Institute, Hungarian Academy of Sciences, Budapest, 1999.
- [74] \*\*\* *CadetWin-99, TemMaster - Template design and optimization tool for binary input-output CNNs*, User's guide, Version 3.0, Analogical and Neural Computing Laboratory, Computer and Automation Institute, Hungarian Academy of Sciences, Budapest, 1999.
- [75] \*\*\* *CadetWin-99, SimCNN - Multi-layer CNN simulator for visual mouse platform*, Reference Manual, Version 3.0, Analogical and Neural Computing Laboratory, Computer and Automation Institute, Hungarian Academy of Sciences, Budapest, 1999.
- [76] \*\*\* *CadetWin-99, CNN Alpha language and compiler*, Reference Manual, Version 3.0, Analogical and Neural Computing Laboratory, Computer and Automation Institute, Hungarian Academy of Sciences, Budapest, 1999.



- [77] \*\*\* *CadetwWin-99, Extended analogic macro code (AMC) and interpreter*, Reference Manual, Version 3.0, Analogical and Neural Computing Laboratory, Computer and Automation Institute, Hungarian Academy of Sciences, Budapest, 1999.
- [78] \*\*\* *CCPS, CNN chip prototyping system*, User's Guide, Analogical and Neural Computing Laboratory, Computer and Automation Institute, Hungarian Academy of Sciences, Budapest, 1997.
- [79] \*\*\* *CSL-CNN Software Library (Templates and Algorithms)*, Version 7.3, Analogical and Neural Computing Laboratory, Computer and Automation Institute, Hungarian Academy of Sciences, Budapest, 1999.
- [80] T. Roska, *Analogic CNN computing: architectural, implementation, and algorithmic advances - a review*, Proceedings of IEEE International Workshop on Cellular Neural Networks and their Applications, (CNNA'98), pp. 3-10, London, 1998.
- [81] \*\*\* *Quick Reference for MatCNN - Analogic CNN Simulation Toolbox for MATLAB* Version: 1.6, 2005.
- [82] \*\*\* *MatCnn Instant Vision Toolbox for MatLab User's Guide*, Version: 1.0, Eutecus, Inc., 2005
- [83] G. Linan, S. Espejo, R. Dominguez-Castro, E. Roca, A. Rodriguez-Vazquez, *CNNUC3: A mixed-signal 64x64 CNN Universal Chip*, Proceedings of the International Conference on Microelectronics for neural, fuzzy and bio-inspired systems, (MicroNeuro99), pp. 61-68, Granada, 1999.
- [84] A. Paasio, A. Kananen, K. Halonen, V. Porra, *A 48 by 48 CNN chip operating with B/W images*, Proceedings of IEEE International Conference on Electronics, Circuits and systems, (ICECS'98), pp. 191-194, Lisboa, 1998.
- [85] P. Keresztes, T. Bezák, Á. Zarándy, T. Roska, P. Szolgay, T. Hídvégi, P. Jónás, A. Katona, *Design methodology of an emulated digital CCCUM chip*, Proceedings of the International Conference on Engineering of Modern Electric Systems (EMES'99), pp. 208-216, Băile Felix, 1999.
- [86] R. Glasius, A. Komoda, S. Gielen, *Neural network dynamics for path planning and obstacle avoidance*, Department of Medical Physics and Biophysics, University of Nijmegen, The Netherlands, 1994.
- [87] A. Gacsádi, T. Maghiar, V. Tîponuț, *Path planning for a mobile robot in an environment with obstacles using cellular neural network*, International Workshop on Cellular Neural Networks and their Applications, (CNNA 2002), Frankfurt/Main, Germany, pp. 188-194, 2002.
- [88] **I. Gavriluț**, A. Gacsádi, V. Tîponuț, *Path planning for a cooperative task in case of two mobile robots using cellular neural network*, Proceedings of the 2-nd International Conference on Robotics (Robotica - 2004), Timișoara / Reșița, 14-16 Oct., 2004.
- [89] **I. Gavriluț**, *Path tracking by mobile robot using cellular neural network*, Proceedings of the International Conference on Engineering of Modern Electric Systems (EMES' 2003), Oradea, pp. 54-57, 2003.
- [90] A. Adamatzky, P. Arena, A. Basile, R. Carmona-Galan, B. De Lacy Costello, L. Fortuna, M. Frasca and A. Rodriguez-Vazquez, *Reaction-Diffusion Navigation Robot Control: From Chemical to VLSI Analogic Processors*, IEEE Trans. on Circuits and Systems – I: Regular Papers, Vol. 51, No. 5, pp. 926-938, May, 2004.
- [91] P. Arena, L. Fortuna, M. Frasca, G. Vagliasindi, M. E. Yalcin, A. Basile, J.A.K. Suykens, *CNN Wave Based Computation for Robot Navigation on ACE16k*, IEEE

- International Symposium on Circuits and Systems, ISCAS 2005, pp. 5818-5821, 23-26 May, 2005.
- [92] P. Arena, A. Basile, L. Fortuna, A. Virzì, *Visual Feedback by Using a CNN Chip Prototype System*, Proceedings of the IEEE International Workshop on Cellular Neural Networks and their Applications, (CNNA 2002), pp. 291-297, Frankfurt, 2002.
- [93] B. Siemiatkowska, A. Dubrawski, *Cellular Neural Networks for Navigation of a Mobile Robot*, L. Polkowski and A. Skowron (Eds.): RSTC'98, LNAI 1424, pp. 147-154, Springer-Verlag Berlin Heidelberg, 1998.
- [94] **I. Gavriliuț**, A. Gacsádi, *Trajectory tracking and predicting using CNN*, Proceedings of the International Conference on Engineering of Modern Electric Systems (EMES 2003), pp. 58-61, Oradea, Romania, 2003.
- [95] D. L. Vilarino, C. Rekeczky, *Shortest path problem with pixels level snakes: Application to robot path planning*, Proceedings of the IEEE International Workshop on Cellular Neural Networks and their Applications, (CNNA 2004), pp. 135-140, Budapest, 2004.
- [96] **I. Gavriliuț**, A. Gacsádi, V. Tiponuț, *Simultaneously paths planning for two mobile robots using cellular neural networks*, Proceedings of the 5-th International Conference on Renewable Sources and Environmental Electro-Technologies (RSEE 2004), Oradea, pp. 64-69, 2004.
- [97] A. Gacsádi, *Contribuții la conducerea adaptivă a roboților prin prelucrarea informației vizuale utilizând rețele neuronale celulare*, Teză de doctorat, Universitatea Politehnică Timișoara, 2001.
- [98] **I. Gavriliuț**, A. Gacsádi, C. Grava, V. Tiponuț, *Vision based algorithm for path planning of a mobile robot by using cellular neural networks*, Proceedings of the International Conference on Automation, Quality&Testing, Robotics, AQTR 2006, ISBN 1-4244-0360-X, pp. 306-311, Cluj-Napoca, 2006.
- [99] **I. Gavriliuț**, A. Gacsádi, L. Tepelea, V. Tiponuț, D. Albu, *Target search by mobile robot in a labyrinth using cellular neural networks*, Proceedings of the International Conference on Engineering of Modern Electric Systems (EMES' 2005), Oradea, pp. 54-59, 2005.
- [100] R. Dillmann, J. Kreuzinger, F. Wallner, *PRIAMOS: An experimental platform for reflexive navigation*, Robotics and Autonomous Systems, Vol. 11, No. 3-4, pp. 195-203, Dec., 1993.
- [101] Ben J. A. Krose, Kai M. Compagner, Franciscus C. A. Groen, *Accurate estimation of environment parameters from ultrasonic data*, Robotics and Autonomous Systems, Vol. 11, No. 3-4, pp. 221-230, Dec., 1993.
- [102] John J. Leonard, Hugh F. Durrant-Whyte, *Directed Sonar Sensing for Mobile Robot Navigation*, Kluwer Academic Publishers, Boston, 1992.
- [103] R. Frizera Vassallo, H. J. Schneebeli, J. Santos-Victor, *Visual navigation: combining visual servoing and appearance based methods*, Proceedings of the International Symposium on Intelligent Robotic Systems, SIRS'98, Edinburgh, Scotland, July, 1998.
- [104] L. Chaimowicz, V. Kumar, M. F. M. Campos, *A Paradigm for Dynamic Coordination of Multiple Robots*, Autonomous Robots 17(1), July 7-21, 2004.
- [105] T. Huntsberger, G. Hickey, B. Kennedy, and H. Aghazarian, *Task Adaptive Walking Robots for Mars Surface Exploration*, Jet Propulsion Laboratory, 4800 Oak Grove Drive, Pasadena, CA 91109-8099, (Terry.Huntsberger@jpl.nasa.gov), 2001.

- [106] David Geer, *Small Robots Team Up to Tackle Large Tasks*, IEEE distributed systems online 1541-4922, Published by the IEEE Computer Society, Vol. 6, No. 12; Dec., 2005.
- [107] J. A. Shapiro, *Bacteria as Multi-cellular Organisms*, Scientific American, Vol. 258, No. 6, pp. 62-69, 1988.
- [108] J. A. Shapiro, *The Significances of Bacterial Colony Patterns*, BioEssays, Vol. 17, No. 7, pp. 597-607, 1995.
- [109] C. Ronald Kube, H. Zhang, *Collective Robotics: From Social Insects to Robots*, Adaptive Behavior, Vol. 2, No. 2, pp. 189-219, 1993.
- [110] J. M. Pasteels, J. L. Deneubourg, S. Goss, *Self-Organization Mechanisms in Ant Societies: Trail Recruitment to Newly Discovered Food Sources, From Individual to Collective Behavior in Social Insects*, J. M. Pasteels and J. L. Deneubourg (Eds.), Birkhäuser Verlag, Basel, pp. 155-175, 1987.
- [111] C. Ronald Kube, H. Zhang, *Collective Robotic Intelligence, From Animals to Animals 2*, Proceedings of the Second International Conference on Simulation of Adaptive Behavior, Meyer J-A, Roitblat H. L., Wilson S. W (Eds.), The MIT Press., Cambridge, Mass., pp. 460-468, 1992.
- [112] R. Beckers, O. E. Holland, J. L. Deneubourg, *From Local Actions to Global Tasks: Stigmergy and Collective Robotics*, Artificial Life IV, R. A. Brooks and P. Maes (Eds.), The MIT Press, Cambridge, Mass., pp. 181-189, 1995.
- [113] S. Camazine, *Collective Intelligence in Insect Colonies by Means of Self-Organization*, Proceedings of European Conference on Artificial Life, Brussels, Belgium, pp. 158-173, 1993.
- [114] Lynne E. Parker, *Adaptive Action Selection for Cooperative Agent Teams, From Animals to animals*, Proceedings of the Second International Conference on Simulation of Adaptive Behavior, J-A Meyer, H. L. Roitblat, S. W. Wilson, (Eds.), The MIT Press, Cambridge, Mass., pp. 12-23, 1992.
- [115] C. Ronald Kube, H. Zhang, *Task modelling in collective robotics*, Kluwer Academic Publishers, Autonomous Robots, No. 4, pp. 53-72, Manufactured in The Netherlands, 1997.
- [116] A. Agah, G. A. Bekey, *Phylogenetic and Ontogenetic Learning in a Colony of Interacting Robots*, Autonomous Robots, Nr. 4, pp. 85-100, 1997.
- [117] David C. Brogan, Jessica K. Hodgins, *Group Behaviors for Systems with Significant Dynamics*, Kluwer Academic Publishers, Autonomous Robots, Nr. 4, pp. 137-153, 1997.
- [118] M. Vainio, T. Schönberg, A. Halme, P. Jakubik, *Optimizing the Performance of a Robot Society in Structured Environment through Genetic Algorithms*, Advances in Artificial Life, The 3-rd European Conference on Artificial Life, Granada, Spain, June, 1995.
- [119] J. Fredslund, M. J. Mataric, *A General Algorithm for Robot Formations Using Local Sensing and Minimal Communication*, IEEE Transaction Robotics and Automation, Vol. 18, No. 5, pp. 837-846, 2002.
- [120] A. Halme, P. Jakubic, T. Schönberg, M. Vainio, *The concept of the robot society and its utilization in future robotics*, Advanced Robotics & Intelligent Machines, IEEE, Inc., London, pp. 255-272, 1966.
- [121] D. Jung, G. Cheng, A. Zelinsky, *Experiments in Realizing Cooperation between Autonomous Mobile Robots*, Experimental Robotics V - The Fifth International Symposium Barcelona, Catalonia, June, 25-18, pp. 609-619, 1997.

- [122] B. Hölldobler, E. O. Wilson, *The Ants*, Belknap of Harvard University Press, 1990.
- [123] D. J. Stilwell, J. S. Bay, *Toward the Development of a Material Transport System using Swarms of Ant-like Robots*, Proceedings of the IEEE International Conference on Robotics and Automation, Atlanta, USA, pp. 766-771, 1993.
- [124] C. Ronald Kube, *Collective Robotics: From Local Perception to Global Action*, Ph. D. Thesis, Computing Science, University of Alberta, 1997.
- [125] D. P. Barnes, *A behavior synthesis for co-operant mobile robots*, Advanced Robotics & Intelligent Machines, IEEE, London, pp. 255-272, 1966.
- [126] T. Balch, Ronald C. Arkin, *Behavior-Based Formation Control for Multirobot Teams*, IEEE Transactions on Robotics and Automation, Vol. 14, No. 5, Dec. 1998.
- [127] V. Gazi, Kevin M. Passin, *Stability Analysis of Social Foraging Swarms*, IEEE Transactions on Systems, Man and Cybernetics - Part B: Cybernetics, Vol. 34, No. 1, pp. 539-557, Feb., 2004.
- [128] K. Sugihara, I. Suzuki, *Distributed motion coordination of multiple mobile robots*, Proceedings of IEEE International Conference on Robotics and Automation, pp. 138-143, 1990.
- [129] P. K. C. Wang, *Navigation strategies for multiple autonomous robots moving in formation*, Journal of Robotics Systems, 8(2), pp. 177-195, 1991.
- [130] S. Nakagawa, Y. Kawauchi, M. Buss, *Structure Decision Method for Self Organizing Robots Based on Cell Structures-CEBOT*, Proceedings of the 1989 IEEE International Conference on Robotics and Automation, pp. 695-700, 1989.
- [131] Asama H., Matsumoto A., Ishida Y., *Design of an Autonomous and Distributed Robot System: "ACTRESS"*, Proceedings of IEEE/RSJ International Workshop on Intelligent Robots and Systems, Tsukuba, Japan, pp. 283-290, 1989.
- [132] M. J. Mataric, *Minimizing Complexity in Controlling a Mobile Robot Population*, Proceedings of the 1992 IEEE International Conference on Robotics and Automation, Nice, France, pp. 830-835, 1992.
- [133] M. J. Mataric, *Designing Emergent Behaviors: From Local Interactions to Collective Intelligence*, Second International Conference on Simulation of Adaptive Behavior, (SAB-92), MIT Press, Cambridge, pp. 432-441, 1992.
- [134] M. J. Mataric, M. J. Marjanovic, *Synthesizing Complex Behaviours by Composing Simple Primitives*, Preprints from the European Conference on Artificial Life, Brussels, Belgium, pp. 698-707, 1993.
- [135] F. Mondada, A. Guignard, M. Bonani, D. Floreano D. Bär, M. Luria *SWARM-BOT: From Concept to Implementation*, In C. S. George Lee and Junku Yuh, editors, Proceedings of the 2003 IEEE/RSJ International Conference on Intelligent Robot and Systems (IROS 2003), IEEE Press, Piscataway, NJ, USA, pp. 1626-1631, 2003.
- [136] L. Wang, K. Tan, V. Prahlad, *Developing Khepera Robot Applications in a Webots Environment*, International Symposium on Micromechatronics and Human Science, IEEE, pp. 71-76, 2000.
- [137] J. C. Latombe, *Robot Motion Planning*, Kluwer Academic Publishers, USA, ISBN 0-7923-9206-X, 1993.
- [138] Y. H. Liu, S. Kuroda, T. Naniwa, H. Noborio, S. Arimoto, *A Practical Algorithm for Planning Collision-Free Coordinated Motion of Multiple Mobile Robots*, Proceedings of Conference on Robotics and Automation, IEEE Comput. Soc. Press, Vol. 3, pp. 1427-32, 1989.

- [139] Donald D. Dudenhoeffer, Michael P. Jones, *A formation behavior for large-scale micro-robot force deployment*, Proceedings of the 2000 Winter Simulation Conference, J. A. Joines, R. R. Barton, K. Kang, and P. A. Fishwick, eds., pp. 972-982, 2000.
- [140] S. Yuta, S. Premvuti, *Coordinating Autonomous and Centralized Decision Making to Achieve Cooperative Behaviors Between Multiple Mobile Robots*, Proceedings of the 1992 IEEE/RSJ International Conference on Intelligent Robots and Systems, pp. 1566-1574, 1992.
- [141] R. C. Arkin. *Cooperation without communication: Multi-agent schema based robot navigation*, Journal of Robotic Systems, 9(3), pp. 351-364, April, 1992.
- [142] Lynne E. Parker, *The Effect of Action Recognition and Robot Awareness in Cooperative Robotic Teams*, Proceedings of the IEEE International Conference on Robotics and Automation, Vol. 1, Nagoya, Japan, pp. 212-219, 1995.
- [143] A. Martinoli, F. Mondada, *Collective and Cooperative Group Behaviours: Biologically Inspired Experiments in Robotics*, Proceedings of the Fourth International Symposium on Experimental Robotics ISER-95, Khatib O, Salisbury J. K. (Eds.), Stanford, US, June-July, Lecture Notes in Control and Information Sciences, Springer - Verlag, pp. 3-10, 1995.
- [144] R. Cohen, D. Peleg, *Convergence Properties of the Gravitational Algorithm in Asynchronous Robot Systems*, Department of Computer Science and Applied Mathematics, The Weizmann Institute of Science, Rehovot, 76100, Israel, March, 2004.
- [145] V. Tîponuț, **I. Gavriluț**, C. Căleanu, A. Gacsádi, *Development of a Neural Network Guided Mobile Robot Collectivity*, WSEAS Transactions on Circuits and Systems Issue 6, Vol. 5, pp. 805-812, ISSN 1109-2734, Cavtat, Croatia, June, 2006.
- [146] V. Tîponuț, A. Gacsádi, C. Căleanu, **I. Gavriluț**, *Neural Network Guided Robot Collectivity – An Experimental Setup*, Proceedings of 7-th WSEAS International Conference on Neural Networks (NN'06), June 12-14, Cavtat, Croatia, 2006.
- [147] **I. Gavriluț**, V. Tîponuț, O. Neamțu, L. Jipelea, A. Gacsádi, *Path Planning Methods for Mobile Robot by Using Cellular Neural Networks*, The 6-th International Conference on Renewable Sources and Environmental Electro-Technologies (RSEE 2006), Oradea, June 8-10, 2006.
- [148] **I. Gavriluț**, V. Tîponuț, A. Gacsádi, *Path Planning of Mobile Robots by Using Cellular Neural Networks*, Proceedings of the 10-th International Workshop on Cellular Neural Networks and Their Applications (CNNA 2006), pp. 108-113, August 28-30, Istanbul, Turkey, 2006.
- [149] **I. Gavriluț**, A. Gacsádi, L. Jipelea, V. Tîponuț, *Motion planning for two mobile robots in an environment with obstacles by using cellular neural networks*, Proceedings of the The 7-th International Symposium on Signals, Circuits and Systems, (ISSCS 2005), pp. 801-804, Iași, 2005.
- [150] A. Soinio, *A Lego-robot with camera controlled by Matlab*, LEGO Group Company, <http://www.abo.fi/fak/tkf/rt/robot>, 2003.
- [151] <http://www.isr.ist.utl.pt/~alex/Resources/vfm/>.

# ANEXA A1

;Program AMC pentru planificarea traiectoriei unui robot mobil pe baza alegerii  
;direcției optime prin comparații succesive și deplasarea robotului atâta timp cât deplasarea pe  
;această direcție asigură apropierea de țintă.

```
start: host.load.tem explore.tem TEM1
host.load.tem shifte.tem TEM2
host.load.tem shiftv.tem TEM3
host.load.tem shiftn.tem TEM4
host.load.tem shifts.tem TEM5
host.load.tem shiften.tem TEM6
host.load.tem shiftvn.tem TEM7
host.load.tem shiftes.tem TEM8
host.load.tem shiftvs.tem TEM9
host.load.tem filwhite.tem TEM10
host.load.tem selecten.tem TEM11
host.load.tem selectes.tem TEM12
host.load.tem selectvn.tem TEM13
host.load.tem selectvs.tem TEM14
host.load.tem delen.tem TEM15
host.load.tem deles.tem TEM16
host.load.tem delvn.tem TEM17
host.load.tem delvs.tem TEM18
host.load.tem selecte.tem TEM22
host.load.tem selects.tem TEM23
host.load.tem selectv.tem TEM24
host.load.tem selectn.tem TEM25
host.load.tem dele.tem TEM26
host.load.tem dels.tem TEM27
host.load.tem delv.tem TEM28
host.load.tem deln.tem TEM29

host.load.pic mediu.bmp LLM1 BIN           ; imaginea mediului cu obstacole
host.load.pic tinta.bmp LLM2 BIN          ; imaginea țintei
host.load.pic start.bmp LLM3 BIN         ; imaginea poziției de start
ar.nand.llm LLM2 LLM2 LLM4
ar.nand.llm LLM3 LLM3 LLM3
mov.llm.llm LLM3 LLM6                     ; imaginea traiectoriei robotului
host.load.pic mediu.bmp LLM11 BIN
host.display LLM1 1
ar.nand.llm LLM1 LLM1 LLM1
mov.gam.gam 30 GAM10
host.display LLM3 2
host.display LLM4 3

; Evaluarea distanțelor dintre pozițiile libere din mediul de lucru și poziția țintei
ar.tem TEM1 LLM1 LLM2 LAM3 200 1 1 LLM1 NIL
host.display LAM3 4
loop: ar.nand.llm LLM3 LLM3 LLM9
call optdir
```

;Deplasarea robotului pe direcția optimă cât timp se asigură apropierea de țintă  
nordest: ar.tem TEM11 LAM3 LLM3 LLM7 30 1 -1 NIL NIL  
ar.or.ilm LLM6 LLM7 LLM6  
host.display LLM6 5  
mov.gam.gam 0 GAM9  
del\_ne: ar.tem TEM15 LLM3 LLM3 LLM3 1 -1 -1 LLM7 NIL  
sc.inc.gam GAM9  
sc.rel.gt.gam GAM10 GAM9 GLM2  
jumpc GLM2 del\_ne  
jump final  
sudest: ar.tem TEM12 LAM3 LLM3 LLM7 30 1 -1 NIL NIL  
ar.or.ilm LLM6 LLM7 LLM6  
host.display LLM6 5  
mov.gam.gam 0 GAM9  
del\_se: ar.tem TEM16 LLM3 LLM3 LLM3 1 -1 -1 LLM7 NIL  
sc.inc.gam GAM9  
sc.rel.gt.gam GAM10 GAM9 GLM2  
jumpc GLM2 del\_se  
jump final  
nordvest: ar.tem TEM13 LAM3 LLM3 LLM7 30 1 -1 NIL NIL  
ar.or.ilm LLM6 LLM7 LLM6  
host.display LLM6 5  
mov.gam.gam 0 GAM9  
del\_nv: ar.tem TEM17 LLM3 LLM3 LLM3 1 -1 -1 LLM7 NIL  
sc.inc.gam GAM9  
sc.rel.gt.gam GAM10 GAM9 GLM2  
jumpc GLM2 del\_nv  
jump final  
sudvest: ar.tem TEM14 LAM3 LLM3 LLM7 30 1 -1 NIL NIL  
ar.or.ilm LLM6 LLM7 LLM6  
host.display LLM6 5  
mov.gam.gam 0 GAM9  
del\_sv: ar.tem TEM18 LLM3 LLM3 LLM3 1 -1 -1 LLM7 NIL  
sc.inc.gam GAM9  
sc.rel.gt.gam GAM10 GAM9 GLM2  
jumpc GLM2 del\_sv  
jump final  
est: ar.tem TEM22 LAM3 LLM3 LLM7 30 1 -1 NIL NIL  
ar.or.ilm LLM6 LLM7 LLM6  
host.display LLM6 5  
mov.gam.gam 0 GAM9  
del\_e: ar.tem TEM26 LLM3 LLM3 LLM3 1 -1 -1 LLM7 NIL  
sc.inc.gam GAM9  
sc.rel.gt.gam GAM10 GAM9 GLM2  
jumpc GLM2 del\_e  
jump final  
sud: ar.tem TEM23 LAM3 LLM3 LLM7 30 1 -1 NIL NIL  
ar.or.ilm LLM6 LLM7 LLM6  
host.display LLM6 5  
mov.gam.gam 0 GAM9  
del\_s: ar.tem TEM27 LLM3 LLM3 LLM3 1 -1 -1 LLM7 NIL  
sc.inc.gam GAM9  
sc.rel.gt.gam GAM10 GAM9 GLM2  
jumpc GLM2 del\_s  
jump final  
vest: ar.tem TEM24 LAM3 LLM3 LLM7 30 1 -1 NIL NIL  
ar.or.ilm LLM6 LLM7 LLM6  
host.display LLM6 5

```

mov.gam.gam 0 GAM9
del_v: ar.tem TEM28 LLM3 LLM3 LLM3 1 -1 -1 LLM7 NIL
sc.inc.gam GAM9
sc.rel.gt.gam GAM10 GAM9 GLM2
jumpc GLM2 del_v
jump final
nord: ar.tem TEM25 LAM3 LLM3 LLM7 30 1 -1 NIL NIL
ar.or.llm LLM6 LLM7 LLM6
host.display LLM6 5
mov.gam.gam 0 GAM9
del_n: ar.tem TEM29 LLM3 LLM3 LLM3 1 -1 -1 LLM7 NIL
sc.inc.gam GAM9
sc.rel.gt.gam GAM10 GAM9 GLM2
jumpc GLM2 del_n
jump final
final: ar.nand.llm LLM3 LLM3 LLM5 ;se verifică dacă este atinsă ținta
ar.xor.llm LLM5 LLM2 LLM8
host.display LLM8 6
conv.llm.lam LLM8 LAM1
conv.lam.gam.avg LAM1 GAM1
sc.rel.equ.gam -1 GAM1 GLM1
host.display LLM6 5
jumpnc GLM1 loop
ar.or.llm LLM6 LLM11 LLM10
host.display LLM10 7
end:end

```

```

;Subrutină pentru evaluarea direcției optime
optdir: ar.tem TEM2 LLM9 LLM9 LLM4 1 1 1 NIL NIL
ar.tem TEM10 LLM4 LAM3 LAM2 1 1 1 LLM4 NIL
conv.lam.gam.max LAM2 GAM1
ar.tem TEM3 LLM9 LLM9 LLM4 1 1 1 NIL NIL
ar.tem TEM10 LLM4 LAM3 LAM2 1 1 1 LLM4 NIL
conv.lam.gam.max LAM2 GAM2
ar.tem TEM4 LLM9 LLM9 LLM4 1 1 1 NIL NIL
ar.tem TEM10 LLM4 LAM3 LAM2 1 1 1 LLM4 NIL
conv.lam.gam.max LAM2 GAM3
ar.tem TEM5 LLM9 LLM9 LLM4 1 1 1 NIL NIL
ar.tem TEM10 LLM4 LAM3 LAM2 1 1 1 LLM4 NIL
conv.lam.gam.max LAM2 GAM4
ar.tem TEM6 LLM9 LLM9 LLM4 1 1 1 NIL NIL
ar.tem TEM10 LLM4 LAM3 LAM2 1 -1 1 LLM4 NIL
conv.lam.gam.max LAM2 GAM5
ar.tem TEM7 LLM9 LLM9 LLM4 1 1 1 NIL NIL
ar.tem TEM10 LLM4 LAM3 LAM2 1 1 1 LLM4 NIL
conv.lam.gam.max LAM2 GAM6
ar.tem TEM8 LLM9 LLM9 LLM4 1 1 1 NIL NIL
ar.tem TEM10 LLM4 LAM3 LAM2 1 1 1 LLM4 NIL
conv.lam.gam.max LAM2 GAM7
ar.tem TEM9 LLM9 LLM9 LLM4 1 1 1 NIL NIL
ar.tem TEM10 LLM4 LAM3 LAM2 1 1 1 LLM4 NIL
conv.lam.gam.max LAM2 GAM8
;Determinarea direcției optime de deplasare prin comparații succesive
sc.rel.lt.gam GAM1 GAM2 GLM1
jumpnc GLM1 2
sc.rel.lt.gam GAM1 GAM2 GLM1
jumpnc GLM1 2
sc.rel.lt.gam GAM1 GAM3 GLM1

```



jumpnc GLM1 3  
sc.rel.lt.gam GAM1 GAM4 GLM1  
jumpnc GLM1 4  
sc.rel.lt.gam GAM1 GAM5 GLM1  
jumpnc GLM1 5  
sc.rel.lt.gam GAM1 GAM6 GLM1  
jumpnc GLM1 6  
sc.rel.lt.gam GAM1 GAM7 GLM1  
jumpnc GLM1 7  
sc.rel.lt.gam GAM1 GAM8 GLM1  
jumpnc GLM1 8  
jump est  
2: sc.rel.lt.gam GAM2 GAM3 GLM1  
jumpnc GLM1 3  
sc.rel.lt.gam GAM2 GAM4 GLM1  
jumpnc GLM1 4  
sc.rel.lt.gam GAM2 GAM5 GLM1  
jumpnc GLM1 5  
sc.rel.lt.gam GAM2 GAM6 GLM1  
jumpnc GLM1 6  
sc.rel.lt.gam GAM2 GAM7 GLM1  
jumpnc GLM1 7  
sc.rel.lt.gam GAM2 GAM8 GLM1  
jumpnc GLM1 8  
jump vest  
3: sc.rel.lt.gam GAM3 GAM4 GLM1  
jumpnc GLM1 4  
sc.rel.lt.gam GAM3 GAM5 GLM1  
jumpnc GLM1 5  
sc.rel.lt.gam GAM3 GAM6 GLM1  
jumpnc GLM1 6  
sc.rel.lt.gam GAM3 GAM7 GLM1  
jumpnc GLM1 7  
sc.rel.lt.gam GAM3 GAM8 GLM1  
jumpnc GLM1 8  
jump nord  
4: sc.rel.lt.gam GAM4 GAM5 GLM1  
jumpnc GLM1 5  
sc.rel.lt.gam GAM4 GAM6 GLM1  
jumpnc GLM1 6  
sc.rel.lt.gam GAM4 GAM7 GLM1  
jumpnc GLM1 7  
sc.rel.lt.gam GAM4 GAM8 GLM1  
jumpnc GLM1 8  
jump sud  
5: sc.rel.lt.gam GAM5 GAM6 GLM1  
jumpnc GLM1 6  
sc.rel.lt.gam GAM5 GAM7 GLM1  
jumpnc GLM1 7  
sc.rel.lt.gam GAM5 GAM8 GLM1  
jumpnc GLM1 8  
jump nordest  
6: sc.rel.lt.gam GAM6 GAM7 GLM1  
jumpnc GLM1 7  
sc.rel.lt.gam GAM6 GAM8 GLM1  
jumpnc GLM1 8  
jump nordvest  
7: sc.rel.lt.gam GAM7 GAM8 GLM1

```
jumpnc GLM1 8  
jump sudest  
8: jump sudvest  
ret
```

## ANEXA A2

;Program AMC pentru determinarea traiectoriei unui robot mobil printre obstacole prin  
;alegerea direcției optime la fiecare pas cu template-ul PATH și deplasarea pixel cu pixel a  
;robotului.

```
start: host.load.tem explore.tem TEM1
host.load.tem treshold.tem TEM2
host.load.tem dilation.tem TEM3
host.load.tem path2.tem TEM4
```

```
host.load.pic mediu.bmp LLM1 BIN      ;imaginea binară a mediului cu obstacole
host.load.pic mediuI.bmp LLM2 BIN    ;imaginea binară a mediului cu obstacole
host.display LLM2 1
host.load.pic tinta.bmp LLM2 BIN      ;imaginea țintei
host.load.pic robot.bmp LLM3 BIN      ;poziția de start a robotului
host.load.pic zero.bmp LLM10 BIN
host.load.pic unu.bmp LAM1
mov.llm.llm LLM1 LLM
mov.gam.gam 0 GAM1
mov.gam.gam 1 GAM2
ar.nand.llm LLM1 LLM1 LLM1
mov.llm.llm LLM2 LLM12
ar.nand.llm LLM2 LLM2 LLM2
mov.llm.llm LLM3 LLM9
```

```
;Subrutină pentru deplasarea undei până în punctul țintă
loop1: ar.tem TEM1 LLM1 LLM2 LAM2 GAM2 1 1 LLM1 NIL
host.display LAM2 2
ar.tem TEM2 LLM1 LAM2 LLM5 1 1 1 NIL NIL
ar.nand.llm LLM5 LLM5 LLM5
ar.and.llm LLM3 LLM5 LLM4
conv.llm.gam.cnt LLM4 GAM3
sc.rel.gt.gam GAM3 GAM1 GLM1          ;unda a atins robotul?
sc.inc.gam GAM2
jumpnc GLM1 loop1                     ;daca nu a atins, salt la loop1
```

```
;Subrutină pentru deplasarea robotului până la țintă
loop2: ar.tem TEM3 LLM3 LLM3 LLM4 1 zeroflux zeroflux NIL NIL
mov.llm.llm LLM4 LLM5
ar.nand.llm LLM5 LLM5 LLM5
conv.llm.lam LLM5 LAM4
ar.add.lam LAM1 LAM4 LAM3
ar.add.lam LAM2 LAM3 LAM5
conv.lam.gam.min LAM5 GAM4
conv.gam.lam GAM4 LAM6
ar.sub.lam LAM2 LAM6 LAM6
host.display LAM6 3
```

```
;Determinarea direcției optime prin aplicarea template-ului PATH
ar.tem TEM4 LAM6 LLM10 LAM7 1 1 1 LLM4 NIL
host.display LAM7 4
```

---

```
ar.tem TEM4 LAM6 LLM10 LLM7 1 1 1 LLM4 NIL
ar.or.llm LLM9 LLM7 LLM9                ;imaginea traiectoriei
ar.or.llm LLM9 LLM6 LLM9
host.display LLM9 5
mov.llm.llm LLM7 LLM3
ar.nand.llm LLM2 LLM2 LLM2
ar.and.llm LLM3 LLM12 LLM11
conv.llm.gam.cnt LLM11 GAM5
sc.rel.equ.gam GAM5 GAM1 GLM1          ;robotul a ajuns la țintă?
jumpc GLM1 loop2
end:end
```

# ANEXA A3

;Program AMC pentru planificarea simultană a traiectoriilor pentru doi roboți mobili  
;atunci când aceștia se deplasează din poziții diferite spre o țintă comună

```
start: host.load.tem explore.tem TEM1
host.load.tem shifte.tem TEM2
host.load.tem shiftv.tem TEM3
host.load.tem shiftn.tem TEM4
host.load.tem shifts.tem TEM5
host.load.tem shiften.tem TEM6
host.load.tem shiftvn.tem TEM7
host.load.tem shiftes.tem TEM8
host.load.tem shiftvs.tem TEM9
host.load.tem filwhite.tem TEM10
host.load.tem selecten.tem TEM11
host.load.tem selectes.tem TEM12
host.load.tem selectvn.tem TEM13
host.load.tem selectvs.tem TEM14
host.load.tem delen.tem TEM15
host.load.tem deles.tem TEM16
host.load.tem delvn.tem TEM17
host.load.tem delvs.tem TEM18
host.load.tem selecte.tem TEM22
host.load.tem selects.tem TEM23
host.load.tem selectv.tem TEM24
host.load.tem selectn.tem TEM25
host.load.tem dele.tem TEM26
host.load.tem dels.tem TEM27
host.load.tem delv.tem TEM28
host.load.tem deln.tem TEM29
host.load.tem dilation.tem TEM30
host.load.tem filblack.tem TEM31
```

```
host.load.pic mediu.bmp LLM1 BIN ;imaginea mediului de lucru cu obstacole
host.display LLM1 1
ar.nand.llm LLM1 LLM1 LLM1
host.load.pic tinta.bmp LLM2 BIN ;imaginea țintei
ar.nand.llm LLM2 LLM2 LLM4
host.load.pic start1.bmp LLM3 BIN ;imaginea cu Start1 sau R1 în poziția inițială
host.load.pic start2.bmp LLM10 BIN ;imaginea cu Start2 sau R2 în poziția inițială
mov.llm.llm LLM3 LLM6 ;imaginea traiectoriei pentru R1
mov.llm.llm LLM10 LLM11 ;imaginea traiectoriei pentru R2
host.load.pic zero.bmp LLM16
mov.gam.gam 30 GAM10
mov.glm.glm 0 GLM4
mov.glm.glm 0 GLM5
mov.glm.glm 0 GLM6
```

```
;Evaluarea distanțelor dintre pozițiile libere din mediul de lucru și poziția țintei
ar.tem TEM1 LLM1 LLM4 LAM9 200 1 1 LLM1 NIL
mov.lam.lam LAM9 LAM3
```

```

host.display LAM3 10
ar.nand.llm LLM3 LLM3 LLM9
call optdir

loop1: mov.llm.llm LLM3 LLM10                ;salvarea imaginilor de la R2
mov.llm.llm LLM6 LLM11                      ;traectoria pentru R2
ar.tem TEM30 LLM10 LLM10 LLM15 2 -1 -1 NIL NIL ;unda generată de R2
ar.tem TEM31 LAM9 LAM9 LAM8 2 zeroflux zeroflux LLM15 NIL
mov.lam.lam LAM8 LAM3
host.display LAM3 5
mov.llm.llm LLM13 LLM3
mov.llm.llm LLM14 LLM6
ar.nand.llm LLM3 LLM3 LLM9
jumpnc GLM5 optdir
ar.and.llm LLM14 LLM11 LLM4
conv.llm.glm.or LLM4 GLM8
jumpnc GLM8 optdir
ar.tem TEM2 LLM3 LLM16 LLM17 1 zeroflux zeroflux NIL NIL ;deplasare spre E
ar.tem TEM2 LLM17 LLM16 LLM17 1 zeroflux zeroflux NIL NIL ;deplasare spre E
ar.tem TEM3 LLM3 LLM16 LLM5 1 zeroflux zeroflux NIL NIL ;deplasare spre V
ar.tem TEM3 LLM5 LLM16 LLM5 1 zeroflux zeroflux NIL NIL ;deplasare spre V
ar.and.llm LLM17 LLM2 LLM19
conv.llm.glm.or LLM19 GLM8
ar.and.llm LLM5 LLM2 LLM19
conv.llm.glm.or LLM19 GLM9
jumpc GLM9 v1
jumpc GLM8 e1
e1: ar.tem TEM2 LLM3 LLM16 LLM3 1 zeroflux zeroflux NIL NIL ;deplasare spre E
ar.or.llm LLM6 LLM3 LLM6
ar.tem TEM2 LLM3 LLM16 LLM3 1 zeroflux zeroflux NIL NIL ;deplasare spre E
ar.or.llm LLM6 LLM3 LLM6
ar.nand.llm LLM3 LLM3 LLM9
call optdir
v1: ar.tem TEM3 LLM3 LLM16 LLM3 1 zeroflux zeroflux NIL NIL ;deplasare spre V
ar.or.llm LLM6 LLM3 LLM6
ar.tem TEM3 LLM3 LLM16 LLM3 1 zeroflux zeroflux NIL NIL ;deplasare spre V
ar.or.llm LLM6 LLM3 LLM6
ar.nand.llm LLM3 LLM3 LLM9
call optdir
loop2: mov.llm.llm LLM3 LLM13                ;salvarea imaginilor de la R1
mov.llm.llm LLM6 LLM14                      ;traectoria pentru R1
ar.tem TEM30 LLM13 LLM13 LLM15 2 -1 -1 NIL NIL ;unda generată de R1
ar.tem TEM31 LAM9 LAM9 LAM8 2 zeroflux zeroflux LLM15 NIL
mov.lam.lam LAM8 LAM3
host.display LAM3 4
mov.llm.llm LLM10 LLM3
mov.llm.llm LLM11 LLM6
ar.nand.llm LLM3 LLM3 LLM9
jumpnc GLM6 optdir
ar.and.llm LLM14 LLM11 LLM4
conv.llm.glm.or LLM4 GLM8
jumpnc GLM8 optdir
ar.tem TEM2 LLM3 LLM16 LLM17 1 zeroflux zeroflux NIL NIL ;deplasare spre E
ar.tem TEM2 LLM17 LLM16 LLM17 1 zeroflux zeroflux NIL NIL ;deplasare spre E
ar.tem TEM3 LLM3 LLM16 LLM5 1 zeroflux zeroflux NIL NIL ;deplasare spre V
ar.tem TEM3 LLM5 LLM16 LLM5 1 zeroflux zeroflux NIL NIL ;deplasare spre V
ar.and.llm LLM17 LLM2 LLM19
conv.llm.glm.or LLM19 GLM8

```

```

ar.and.llm LLM5 LLM2 LLM19
conv.llm.glm.or LLM19 GLM9
jumpc GLM9 v2
jumpc GLM8 e2
e2: ar.tem TEM2 LLM3 LLM16 LLM3 1 zeroflux zeroflux NIL NIL ;deplasare spre E
ar.or.llm LLM6 LLM3 LLM6
ar.tem TEM2 LLM3 LLM16 LLM3 1 zeroflux zeroflux NIL NIL ;deplasare spre E
ar.or.llm LLM6 LLM3 LLM6
ar.nand.llm LLM3 LLM3 LLM9
call optdir
v2: ar.tem TEM3 LLM3 LLM16 LLM3 1 zeroflux zeroflux NIL NIL ;deplasare spre V
ar.or.llm LLM6 LLM3 LLM6
ar.tem TEM3 LLM3 LLM16 LLM3 1 zeroflux zeroflux NIL NIL ;deplasare spre V
ar.or.llm LLM6 LLM3 LLM6
ar.nand.llm LLM3 LLM3 LLM9
call optdir
nordest: ar.tem TEM11 LAM3 LLM3 LLM7 30 1 -1 NIL NIL
ar.or.llm LLM6 LLM7 LLM6
jumpc GLM4 imag1
host.display LLM6 2
jump del_en
imag1: host.display LLM6 3
del_en: ar.tem TEM15 LLM3 LLM3 LLM3 1 -1 -1 LLM7 NIL
sc.inc.gam GAM9
sc.rel.gt.gam GAM10 GAM9 GLM2
jumpc GLM2 del_en
jump cefinal
sudest: ar.tem TEM12 LAM3 LLM3 LLM7 30 1 -1 NIL NIL
ar.or.llm LLM6 LLM7 LLM6
jumpc GLM4 imag2
host.display LLM6 2
jump del_es
imag2: host.display LLM6 3
del_es: ar.tem TEM16 LLM3 LLM3 LLM3 1 -1 -1 LLM7 NIL
sc.inc.gam GAM9
sc.rel.gt.gam GAM10 GAM9 GLM2
jumpc GLM2 del_es
jump cefinal
nordvest: ar.tem TEM13 LAM3 LLM3 LLM7 30 1 -1 NIL NIL
ar.or.llm LLM6 LLM7 LLM6
jumpc GLM4 imag3
host.display LLM6 2
jump del_vn
imag3: host.display LLM6 3
del_vn: ar.tem TEM17 LLM3 LLM3 LLM3 1 -1 -1 LLM7 NIL
sc.inc.gam GAM9
sc.rel.gt.gam GAM10 GAM9 GLM2
jumpc GLM2 del_vn
jump cefinal
sudvest: ar.tem TEM14 LAM3 LLM3 LLM7 30 1 -1 NIL NIL
ar.or.llm LLM6 LLM7 LLM6
jumpc GLM4 imag4
host.display LLM6 2
jump del_vs
imag4: host.display LLM6 3
del_vs: ar.tem TEM18 LLM3 LLM3 LLM3 1 -1 -1 LLM7 NIL
sc.inc.gam GAM9
sc.rel.gt.gam GAM10 GAM9 GLM2

```

```

jumpc GLM2 del_vs
jump cefinal
est: ar.tem TEM22 LAM3 LLM3 LLM7 30 1 -1 NIL NIL
ar.or.ilm LLM6 LLM7 LLM6
jumpc GLM4 imag5
host.display LLM6 2
jump del_e
imag5: host.display LLM6 3
del_e: ar.tem TEM26 LLM3 LLM3 LLM3 1 -1 -1 LLM7 NIL
sc.inc.gam GAM9
sc.rel.gt.gam GAM10 GAM9 GLM2
jumpc GLM2 del_e
jump cefinal
sud: ar.tem TEM23 LAM3 LLM3 LLM7 30 1 -1 NIL NIL
ar.or.ilm LLM6 LLM7 LLM6
jumpc GLM4 imag6
host.display LLM6 2
jump del_s
imag6: host.display LLM6 3
del_s: ar.tem TEM27 LLM3 LLM3 LLM3 1 -1 -1 LLM7 NIL
sc.inc.gam GAM9
sc.rel.gt.gam GAM10 GAM9 GLM2
jumpc GLM2 del_s
jump cefinal
vest: ar.tem TEM24 LAM3 LLM3 LLM7 30 1 -1 NIL NIL
ar.or.ilm LLM6 LLM7 LLM6
jumpc GLM4 imag7
host.display LLM6 2
jump del_v
imag7: host.display LLM6 3
del_v: ar.tem TEM28 LLM3 LLM3 LLM3 1 -1 -1 LLM7 NIL
sc.inc.gam GAM9
sc.rel.gt.gam GAM10 GAM9 GLM2
jumpc GLM2 del_v
jump cefinal
nord: ar.tem TEM25 LAM3 LLM3 LLM7 30 1 -1 NIL NIL
ar.or.ilm LLM6 LLM7 LLM6
jumpc GLM4 imag8
host.display LLM6 2
jump del_n
imag8: host.display LLM6 3
del_n: ar.tem TEM29 LLM3 LLM3 LLM3 1 -1 -1 LLM7 NIL
sc.inc.gam GAM9
sc.rel.gt.gam GAM10 GAM9 GLM2
jumpc GLM2 del_n
jump cefinal
cefinal: sc.and.glm GLM5 GLM6 GLM7
jumpc GLM7 end
mov.gam.gam 0 GAM9
sc.not.glm GLM4 GLM4
jumpnc GLM4 final2
final1: ar.tem TEM30 LLM3 LLM3 LLM12 200 -1 -1 NIL NIL ;vecinătatea lui R1
ar.and.ilm LLM12 LLM2 LLM18
ar.and.ilm LLM3 LLM2 LLM19
conv.ilm.glm.or LLM19 GLM5
ar.or.ilm LLM12 LLM2 LLM8
host.display LLM8 8
host.display LLM6 2

```



```

jump loop2
final2: ar.tem TEM30 LLM3 LLM3 LLM12 200 -1 -1 NIL NIL ;vecinătatea lui R2
ar.and.llm LLM12 LLM2 LLM18
ar.and.llm LLM3 LLM2 LLM19
conv.llm.glm.or LLM19 GLM6
ar.or.llm LLM12 LLM2 LLM8
host.display LLM8 9
host.display LLM6 3
jump loop1
end: end

```

;Subprogram pentru evaluarea direcției de deplasare optime

```

optdir: ar.tem TEM2 LLM9 LLM9 LLM4 1 1 1 NIL NIL
ar.tem TEM10 LLM4 LAM3 LAM2 1 1 1 LLM4 NIL
conv.lam.gam.max LAM2 GAM1
ar.tem TEM3 LLM9 LLM9 LLM4 1 1 1 NIL NIL
ar.tem TEM10 LLM4 LAM3 LAM2 1 1 1 LLM4 NIL
conv.lam.gam.max LAM2 GAM2
ar.tem TEM4 LLM9 LLM9 LLM4 1 1 1 NIL NIL
ar.tem TEM10 LLM4 LAM3 LAM2 1 1 1 LLM4 NIL
conv.lam.gam.max LAM2 GAM3
ar.tem TEM5 LLM9 LLM9 LLM4 1 1 1 NIL NIL
ar.tem TEM10 LLM4 LAM3 LAM2 1 1 1 LLM4 NIL
conv.lam.gam.max LAM2 GAM4
ar.tem TEM6 LLM9 LLM9 LLM4 1 1 1 NIL NIL
ar.tem TEM10 LLM4 LAM3 LAM2 1 -1 1 LLM4 NIL
conv.lam.gam.max LAM2 GAM5
ar.tem TEM7 LLM9 LLM9 LLM4 1 1 1 NIL NIL
ar.tem TEM10 LLM4 LAM3 LAM2 1 1 1 LLM4 NIL
conv.lam.gam.max LAM2 GAM6
ar.tem TEM8 LLM9 LLM9 LLM4 1 1 1 NIL NIL
ar.tem TEM10 LLM4 LAM3 LAM2 1 1 1 LLM4 NIL
conv.lam.gam.max LAM2 GAM7
ar.tem TEM9 LLM9 LLM9 LLM4 1 1 1 NIL NIL
ar.tem TEM10 LLM4 LAM3 LAM2 1 1 1 LLM4 NIL
conv.lam.gam.max LAM2 GAM8

```

;Determinarea direcției optime de deplasare prin comparații succesive

```

1: sc.rel.lt.gam GAM1 GAM2 GLM1
jumpnc GLM1 2
sc.rel.lt.gam GAM1 GAM3 GLM1
jumpnc GLM1 3
sc.rel.lt.gam GAM1 GAM4 GLM1
jumpnc GLM1 4
sc.rel.lt.gam GAM1 GAM5 GLM1
jumpnc GLM1 5
sc.rel.lt.gam GAM1 GAM6 GLM1
jumpnc GLM1 6
sc.rel.lt.gam GAM1 GAM7 GLM1
jumpnc GLM1 7
sc.rel.lt.gam GAM1 GAM8 GLM1
jumpnc GLM1 8
jump est
2: sc.rel.lt.gam GAM2 GAM3 GLM1
jumpnc GLM1 3
sc.rel.lt.gam GAM2 GAM4 GLM1
jumpnc GLM1 4
sc.rel.lt.gam GAM2 GAM5 GLM1

```

jumpnc GLM1 5  
sc.rel.lt.gam GAM2 GAM6 GLM1  
jumpnc GLM1 6  
sc.rel.lt.gam GAM2 GAM7 GLM1  
jumpnc GLM1 7  
sc.rel.lt.gam GAM2 GAM8 GLM1  
jumpnc GLM1 8  
jump vest  
3: sc.rel.lt.gam GAM3 GAM4 GLM1  
jumpnc GLM1 4  
sc.rel.lt.gam GAM3 GAM5 GLM1  
jumpnc GLM1 5  
sc.rel.lt.gam GAM3 GAM6 GLM1  
jumpnc GLM1 6  
sc.rel.lt.gam GAM3 GAM7 GLM1  
jumpnc GLM1 7  
sc.rel.lt.gam GAM3 GAM8 GLM1  
jumpnc GLM1 8  
jump nord  
4: sc.rel.lt.gam GAM4 GAM5 GLM1  
jumpnc GLM1 5  
sc.rel.lt.gam GAM4 GAM6 GLM1  
jumpnc GLM1 6  
sc.rel.lt.gam GAM4 GAM7 GLM1  
jumpnc GLM1 7  
sc.rel.lt.gam GAM4 GAM8 GLM1  
jumpnc GLM1 8  
jump sud  
5: sc.rel.lt.gam GAM5 GAM6 GLM1  
jumpnc GLM1 6  
sc.rel.lt.gam GAM5 GAM7 GLM1  
jumpnc GLM1 7  
sc.rel.lt.gam GAM5 GAM8 GLM1  
jumpnc GLM1 8  
jump nordest  
6: sc.rel.lt.gam GAM6 GAM7 GLM1  
jumpnc GLM1 7  
sc.rel.lt.gam GAM6 GAM8 GLM1  
jumpnc GLM1 8  
jump nordvest  
7: sc.rel.lt.gam GAM7 GAM8 GLM1  
jumpnc GLM1 8  
jump sudest  
8: jump sudvest  
ret

# ANEXA A4

;Program AMC pentru simularea deplasării unui robot mobil într-un labirint prin  
;metoda *wall- following* pe lângă peretele din dreapta apoi pe lângă cel din stânga

```
start: host.load.tem shifte.tem TEM1
host.load.tem shifts.tem TEM2
host.load.tem shiftv.tem TEM3
host.load.tem shiftn.tem TEM4
host.load.tem shiftes.tem TEM5
host.load.tem shiftvs.tem TEM6
host.load.tem shiftvn.tem TEM7
host.load.tem shiften.tem TEM8
host.load.pic rob.bmp LLM1           ; imagine cu poziția inițială a robotului
host.load.pic rob.bmp LLM11
host.load.pic zero.bmp LLM2
host.load.pic obst1.bmp LLM3         ; imaginea binară a labirintului
host.load.pic tinta.bmp LLM6         ; imaginea ținte
host.load.pic gol.bmp LLM10
host.load.pic gol.bmp LLM12
ar.or.llm LLM1 LLM3 LLM8
host.display LLM8 1
conv.llm.gam.cnt LLM3 GAM1
mov.glm.glm 1 GLM9
```

```
;Subrutină pentru verificarea pozițiilor din jurul poziției curente a robotului
loop: ar.tem TEM1 LLM1 LLM2 LLM4 1 zeroflux zeroflux NIL NIL ;poziția spre E
ar.or.llm LLM3 LLM4 LLM5
conv.llm.gam.cnt LLM5 GAM2
sc.rel.equ.gam GAM2 GAM1 GLM1
ar.tem TEM2 LLM1 LLM2 LLM4 1 zeroflux zeroflux NIL NIL ;poziția spre S
ar.or.llm LLM3 LLM4 LLM5
conv.llm.gam.cnt LLM5 GAM2
sc.rel.equ.gam GAM2 GAM1 GLM2
ar.tem TEM3 LLM1 LLM2 LLM4 1 zeroflux zeroflux NIL NIL ;poziția spre V
ar.or.llm LLM3 LLM4 LLM5
conv.llm.gam.cnt LLM5 GAM2
sc.rel.equ.gam GAM2 GAM1 GLM3
ar.tem TEM4 LLM1 LLM2 LLM4 1 zeroflux zeroflux NIL NIL ;poziția spre N
ar.or.llm LLM3 LLM4 LLM5
conv.llm.gam.cnt LLM5 GAM2
sc.rel.equ.gam GAM2 GAM1 GLM4
ar.tem TEM5 LLM1 LLM2 LLM4 1 zeroflux zeroflux NIL NIL ;poziția spre SE
ar.or.llm LLM3 LLM4 LLM5
conv.llm.gam.cnt LLM5 GAM2
sc.rel.equ.gam GAM2 GAM1 GLM5
ar.tem TEM6 LLM1 LLM2 LLM4 1 zeroflux zeroflux NIL NIL ;poziția spre SV
ar.or.llm LLM3 LLM4 LLM5
conv.llm.gam.cnt LLM5 GAM2
sc.rel.equ.gam GAM2 GAM1 GLM6
ar.tem TEM7 LLM1 LLM2 LLM4 1 zeroflux zeroflux NIL NIL ;poziția spre NV
ar.or.llm LLM3 LLM4 LLM5
```

conv.llm.gam.cnt LLM5 GAM2  
 sc.rel.equ.gam GAM2 GAM1 GLM7  
 ar.tem TEM8 LLM1 LLM2 LLM4 1 zeroflux zeroflux NIL NIL ;poziția spre NE  
 ar.or.llm LLM3 LLM4 LLM5  
 conv.llm.gam.cnt LLM5 GAM2  
 sc.rel.equ.gam GAM2 GAM1 GLM8  
 jumpc GLM11 stg

;Logica de deplasare a robotului pe lângă peretele din dreapta

sc.and.glm GLM1 GLM4 GLM10  
 jumpc GLM10 vest  
 sc.and.glm GLM1 GLM2 GLM10  
 jumpc GLM10 nord  
 sc.and.glm GLM1 GLM9 GLM10  
 jumpc GLM10 nord  
 sc.and.glm GLM3 GLM2 GLM10  
 jumpc GLM10 est  
 sc.and.glm GLM3 GLM4 GLM10  
 jumpc GLM10 sud  
 sc.and.glm GLM3 GLM9 GLM10  
 jumpc GLM10 sud  
 sc.and.glm GLM4 GLM9 GLM10  
 jumpc GLM10 vest  
 sc.and.glm GLM2 GLM9 GLM10  
 jumpc GLM10 est  
 sc.and.glm GLM5 GLM9 GLM10  
 jumpc GLM10 est  
 sc.and.glm GLM6 GLM9 GLM10  
 jumpc GLM10 sud  
 sc.and.glm GLM7 GLM9 GLM10  
 jumpc GLM10 vest  
 sc.and.glm GLM8 GLM9 GLM10  
 jumpc GLM10 nord

;Logica de deplasare a robotului pe lângă peretele din stânga

stg: sc.and.glm GLM1 GLM4 GLM10  
 jumpc GLM10 sud  
 sc.and.glm GLM1 GLM2 GLM10  
 jumpc GLM10 vest  
 sc.and.glm GLM1 GLM9 GLM10  
 jumpc GLM10 sud  
 sc.and.glm GLM3 GLM2 GLM10  
 jumpc GLM10 nord  
 sc.and.glm GLM3 GLM4 GLM10  
 jumpc GLM10 est  
 sc.and.glm GLM3 GLM9 GLM10  
 jumpc GLM10 nord  
 sc.and.glm GLM4 GLM9 GLM10  
 jumpc GLM10 est  
 sc.and.glm GLM2 GLM9 GLM10  
 jumpc GLM10 vest  
 sc.and.glm GLM5 GLM9 GLM10  
 jumpc GLM10 sud  
 sc.and.glm GLM6 GLM9 GLM10  
 jumpc GLM10 vest  
 sc.and.glm GLM7 GLM9 GLM10  
 jumpc GLM10 nord  
 sc.and.glm GLM8 GLM9 GLM10

```

jumpc GLM10 est
est: ar.tem TEM1 LLM1 LLM2 LLM7 1 zeroflux zeroflux NIL NIL ;deplasare E
ar.or.llm LLM7 LLM3 LLM8
host.display LLM8 2
ar.or.llm LLM10 LLM7 LLM10
mov.llm.llm LLM7 LLM1
jumpc GLM11 fin2
jump fin1
sud: ar.tem TEM2 LLM1 LLM2 LLM7 1 zeroflux zeroflux NIL NIL ;deplasare S
ar.or.llm LLM7 LLM3 LLM8
host.display LLM8 2
ar.or.llm LLM10 LLM7 LLM10
mov.llm.llm LLM7 LLM1
jumpc GLM11 fin2
jump fin1
vest: ar.tem TEM3 LLM1 LLM2 LLM7 1 zeroflux zeroflux NIL NIL ;deplasare V
ar.or.llm LLM7 LLM3 LLM8
host.display LLM8 2
ar.or.llm LLM10 LLM7 LLM10
mov.llm.llm LLM7 LLM1
jumpc GLM11 fin2
jump fin1
nord: ar.tem TEM4 LLM1 LLM2 LLM7 1 zeroflux zeroflux NIL NIL ;deplasare N
ar.or.llm LLM7 LLM3 LLM8
host.display LLM8 2
ar.or.llm LLM10 LLM7 LLM10
mov.llm.llm LLM7 LLM1
jumpc GLM11 fin2
jump fin1
fin1: ar.and.llm LLM1 LLM6 LLM9
conv.llm.gam.cnt LLM9 GAM3
sc.rel.equ.gam 1 GAM3 GLM11
jumpnc GLM11 loop
host.display LLM10 3 ;imaginea traiectoriei pe lângă peretele din dreapta
mov.llm.llm LLM11 LLM1
mov.llm.llm LLM12 LLM10
jump loop
fin2: ar.and.llm LLM1 LLM6 LLM9
conv.llm.gam.cnt LLM9 GAM3
sc.rel.equ.gam 1 GAM3 GLM12
jumpnc GLM12 loop
host.display LLM10 5 ;imaginea traiectoriei pe lângă peretele din stânga
end:end

```

# ANEXA A5

;Program AMC pentru determinarea robotului sau roboților cu poziție centrală apoi cu  
;poziție extremă, dintr-o colectivitate compusă din patru roboți, prin estimarea distanțelor în  
;ordine crescătoare

```
start:host.load.tem dilation.tem TEM1
host.load.pic rob1.bmp LLM1           ;image R1
host.load.pic rob2.bmp LLM2           ;image R2
host.load.pic rob3.bmp LLM3           ;image R3
host.load.pic rob4.bmp LLM4           ;image R4
host.load.pic alb.bmp LLM8
host.load.pic insr1.bmp LLM21
host.load.pic insr2.bmp LLM22
host.load.pic insr3.bmp LLM23
host.load.pic insr4.bmp LLM24
host.load.pic centrali.bmp LLM25
host.load.pic extremi.bmp LLM26

mov.llm.llm LLM1 LLM11
mov.llm.llm LLM2 LLM12
mov.llm.llm LLM3 LLM13
mov.llm.llm LLM4 LLM14
ar.or.llm LLM11 LLM8 LLM8
ar.or.llm LLM12 LLM8 LLM8
ar.or.llm LLM13 LLM8 LLM8
ar.or.llm LLM14 LLM8 LLM8
host.display LLM8 1                   ;afișare toți roboții

vecR1: ar.tem TEM1 LLM1 LLM1 LLM5 2 -1 -1 NIL NIL       ;vecinătate R1
ar.or.llm LLM8 LLM5 LLM9
ar.or.llm LLM9 LLM21 LLM9
host.display LLM9 2
ar.and.llm LLM5 LLM12 LLM6
ar.and.llm LLM5 LLM13 LLM7
ar.and.llm LLM5 LLM14 LLM10
mov.llm.llm LLM5 LLM1
jumpnc GLM15 vecR12
jumpnc GLM16 vecR13
jumpnc GLM17 vecR14
vecR12: conv.llm.gam.cnt LLM6 GAM11
sc.rel.equ.gam 1 GAM11 GLM15
sc.inc.gam GAM1                       ;r12=r21
jumpnc GLM16 vecR13
jumpnc GLM17 vecR14
jump endR1
vecR13: conv.llm.gam.cnt LLM7 GAM11
sc.rel.equ.gam 1 GAM11 GLM16
sc.inc.gam GAM2                       ;r13=r31
jumpnc GLM17 vecR14
jump endR1
vecR14: conv.llm.gam.cnt LLM10 GAM11
```

```

sc.rel.equ.gam 1 GAM11 GLM17
sc.inc.gam GAM3 ;r14=r41
endR1: sc.and.glm GLM15 GLM16 GLM18
sc.and.glm GLM18 GLM17 GLM18
jumpnc GLM18 vecR1
mov.glm.glm 0 GLM16
mov.glm.glm 0 GLM17
vecR2: ar.tem TEM1 LLM2 LLM2 LLM5 2 -1 -1 NIL NIL ;vecinătate R2
ar.or.llm LLM8 LLM5 LLM9
ar.or.llm LLM9 LLM22 LLM9
host.display LLM9 3
ar.and.llm LLM5 LLM13 LLM6
ar.and.llm LLM5 LLM14 LLM7
mov.llm.llm LLM5 LLM2
jumpnc GLM16 vecR23
jumpnc GLM17 vecR24
vecR23: conv.llm.gam.cnt LLM6 GAM11
sc.rel.equ.gam 1 GAM11 GLM16
sc.inc.gam GAM5 ;r23=r32
jumpnc GLM17 vecR24
jump endR2
vecR24: conv.llm.gam.cnt LLM7 GAM11
sc.rel.equ.gam 1 GAM11 GLM17
sc.inc.gam GAM6 ;r24=r42
endR2: sc.and.glm GLM16 GLM17 GLM18
jumpnc GLM18 vecR2
vecR3: ar.tem TEM1 LLM3 LLM3 LLM5 2 -1 -1 NIL NIL ;vecinătate R3
ar.or.llm LLM8 LLM5 LLM9
ar.or.llm LLM9 LLM23 LLM9
host.display LLM9 4
ar.and.llm LLM5 LLM14 LLM6
mov.llm.llm LLM5 LLM3
conv.llm.gam.cnt LLM6 GAM11
sc.rel.equ.gam 1 GAM11 GLM17
sc.inc.gam GAM8 ;r34=r43
jumpnc GLM17 vecR3
sc.add.gam GAM1 GAM2 GAM4 ;r12+r13
sc.add.gam GAM4 GAM3 GAM4 ;N1=r12+r13+r14
sc.add.gam GAM1 GAM5 GAM7 ;r21+r23
sc.add.gam GAM7 GAM6 GAM7 ;N2=r21+r23+r24
sc.add.gam GAM2 GAM5 GAM9 ;r31+r32
sc.add.gam GAM9 GAM8 GAM9 ;N3=r31+r32+r34
sc.add.gam GAM3 GAM6 GAM10 ;r41+r42
sc.add.gam GAM10 GAM8 GAM10 ;N4=r41+r42+r43
sc.rel.lt.gam GAM4 GAM7 GLM1 ;N1<N2
sc.rel.lt.gam GAM7 GAM4 GLM2 ;N2<N1
sc.rel.lt.gam GAM4 GAM9 GLM3 ;N1<N3
sc.rel.lt.gam GAM9 GAM4 GLM4 ;N3<N1
sc.rel.lt.gam GAM4 GAM10 GLM5 ;N1<N4
sc.rel.lt.gam GAM10 GAM4 GLM6 ;N4<N1
sc.rel.lt.gam GAM7 GAM9 GLM7 ;N2<N3
sc.rel.lt.gam GAM9 GAM7 GLM8 ;N3<N2
sc.rel.lt.gam GAM7 GAM10 GLM9 ;N2<N4
sc.rel.lt.gam GAM10 GAM7 GLM10 ;N4<N2
sc.rel.lt.gam GAM9 GAM10 GLM11 ;N3<N4
sc.rel.lt.gam GAM10 GAM9 GLM12 ;N4<N3

```

```

;Verificare dacă există un robot cu poziție centrală
sc.and.glm GLM1 GLM3 GLM13 ;N1<N2,N3
sc.and.glm GLM5 GLM13 GLM13 ;N1<N2,N3,N4
jumpc GLM13 R1 ;R1 central
sc.and.glm GLM2 GLM7 GLM13 ;N2<N1,N3
sc.and.glm GLM9 GLM13 GLM13 ;N2<N1,N3,N4
jumpc GLM13 R2 ;R2 central
sc.and.glm GLM4 GLM8 GLM13 ;N3<N1,N2
sc.and.glm GLM11 GLM13 GLM13 ;N3<N1,N2,N4
jumpc GLM13 R3 ;R3 central
sc.and.glm GLM6 GLM10 GLM13 ;N4<N1,N2
sc.and.glm GLM12 GLM13 GLM13 ;N4<N1,N2,N3
jumpc GLM13 R4 ;R4 central
jump cent2
R1: ar.or.llm LLM11 LLM25 LLM15
host.display LLM15 6 ;afișare R1
jump ext
R2: ar.or.llm LLM12 LLM25 LLM15
host.display LLM15 6 ;afișare R2
jump ext
R3: ar.or.llm LLM13 LLM25 LLM15
host.display LLM15 6 ;afișare R3
jump ext
R4: ar.or.llm LLM14 LLM25 LLM15
host.display LLM15 6 ;afișare R4
jump ext

;Verificare dacă există 2 roboți cu poziții centrale
cent2: sc.nor.glm GLM1 GLM2 GLM13 ;N1=N2
sc.and.glm GLM13 GLM3 GLM13 ;N1=N2<N3
sc.and.glm GLM13 GLM5 GLM13 ;N1=N2<N3,N4
jumpc GLM13 R12 ;R1 și R2 centrali
sc.nor.glm GLM3 GLM4 GLM13 ;N1=N3
sc.and.glm GLM13 GLM1 GLM13 ;N1=N3<N2
sc.and.glm GLM13 GLM5 GLM13 ;N1=N3<N2,N4
jumpc GLM13 R13 ;R1 și R3 centrali
sc.nor.glm GLM5 GLM6 GLM13 ;N1=N4
sc.and.glm GLM13 GLM1 GLM13 ;N1=N4<N2
sc.and.glm GLM13 GLM3 GLM13 ;N1=N4<N2,N3
jumpc GLM13 R14 ;R1 și R4 centrali
sc.nor.glm GLM7 GLM8 GLM13 ;N2=N3
sc.and.glm GLM13 GLM2 GLM13 ;N2=N3<N1
sc.and.glm GLM13 GLM9 GLM13 ;N2=N3<N1,N4
jumpc GLM13 R23 ;R2 și R3 centrali
sc.nor.glm GLM9 GLM10 GLM13 ;N2=N4
sc.and.glm GLM13 GLM2 GLM13 ;N2=N4<N1
sc.and.glm GLM13 GLM7 GLM13 ;N2=N4<N1,N3
jumpc GLM13 R24 ;R2 și R4 centrali
sc.nor.glm GLM11 GLM12 GLM13 ;N3=N4
sc.and.glm GLM13 GLM4 GLM13 ;N3=N4<N1
sc.and.glm GLM13 GLM8 GLM13 ;N3=N4<N1,N2
jumpc GLM13 R34 ;R3 și R4 centrali
jump cent3
R12: ar.or.llm LLM11 LLM12 LLM15
ar.or.llm LLM15 LLM25 LLM15
host.display LLM15 6 ;afișare R1 și R2
jump ext
R13: ar.or.llm LLM11 LLM13 LLM15

```



```

ar.or.llm LLM15 LLM25 LLM15
host.display LLM15 6 ;afişare R1 şi R3
jump ext
R14: ar.or.llm LLM11 LLM14 LLM15
ar.or.llm LLM15 LLM25 LLM15
host.display LLM15 6 ;afişare R1 şi R4
jump ext
R23: ar.or.llm LLM12 LLM13 LLM15
ar.or.llm LLM15 LLM25 LLM15
host.display LLM15 6 ;afişare R2 şi R3
jump ext
R24: ar.or.llm LLM12 LLM14 LLM15
ar.or.llm LLM15 LLM25 LLM15
host.display LLM15 6 ;afişare R2 şi R4
jump ext
R34: ar.or.llm LLM13 LLM14 LLM15
ar.or.llm LLM15 LLM25 LLM15
host.display LLM15 6 ;afişare R3 şi R4
jump ext

;Verificare dacă există 3 roboţi cu poziţii centrale
cent3: sc.nor.glm GLM1 GLM2 GLM13 ;N1=N2
sc.nor.glm GLM3 GLM4 GLM14 ;N1=N3
sc.and.glm GLM13 GLM14 GLM13 ;N1=N2=N3
sc.and.glm GLM13 GLM5 GLM13 ;N1=N2=N3<N4
jumpc GLM13 R123 ;R1, R2 şi R3 centrali
sc.nor.glm GLM1 GLM2 GLM13 ;N1=N2
sc.nor.glm GLM5 GLM6 GLM14 ;N1=N4
sc.and.glm GLM13 GLM14 GLM13 ;N1=N2=N4
sc.and.glm GLM13 GLM3 GLM13 ;N1=N2=N4<N3
jumpc GLM13 R124 ;R1, R2 şi R4 centrali
sc.nor.glm GLM3 GLM4 GLM13 ;N1=N3
sc.nor.glm GLM5 GLM6 GLM14 ;N1=N4
sc.and.glm GLM13 GLM14 GLM13 ;N1=N3=N4
sc.and.glm GLM13 GLM1 GLM13 ;N1=N3=N4<N2
jumpc GLM13 R134 ;R1, R3 şi R4 centrali
sc.nor.glm GLM7 GLM8 GLM13 ;N2=N3
sc.nor.glm GLM9 GLM10 GLM14 ;N2=N4
sc.and.glm GLM13 GLM14 GLM13 ;N2=N3=N4
sc.and.glm GLM13 GLM2 GLM13 ;N2=N3=N4<N1
jumpc GLM13 R234 ;R2, R3 şi R4 centrali
R123: ar.or.llm LLM11 LLM12 LLM15
ar.or.llm LLM13 LLM15 LLM15
ar.or.llm LLM15 LLM25 LLM15
host.display LLM15 6 ;afişare R1, R2 şi R3
jump ext
R124: ar.or.llm LLM11 LLM12 LLM15
ar.or.llm LLM14 LLM15 LLM15
ar.or.llm LLM15 LLM25 LLM15
host.display LLM15 6 ;afişare R1, R2 şi R4
jump ext
R134: ar.or.llm LLM11 LLM13 LLM15
ar.or.llm LLM14 LLM15 LLM15
ar.or.llm LLM15 LLM25 LLM15
host.display LLM15 6 ;afişare R1, R3 şi R4
jump ext
R234: ar.or.llm LLM12 LLM13 LLM15
ar.or.llm LLM14 LLM15 LLM15

```

```

ar.or.llm LLM15 LLM25 LLM15
host.display LLM15 6 ;afişare R2, R3 și R4
jump ext
ext: sc.rel.gt.gam GAM4 GAM7 GLM1 ;N1>N2
sc.rel.gt.gam GAM7 GAM4 GLM2 ;N2>N1
sc.rel.gt.gam GAM4 GAM9 GLM3 ;N1>N3
sc.rel.gt.gam GAM9 GAM4 GLM4 ;N3>N1
sc.rel.gt.gam GAM4 GAM10 GLM5 ;N1>N4
sc.rel.gt.gam GAM10 GAM4 GLM6 ;N4>N1
sc.rel.gt.gam GAM7 GAM9 GLM7 ;N2>N3
sc.rel.gt.gam GAM9 GAM7 GLM8 ;N3>N2
sc.rel.gt.gam GAM7 GAM10 GLM9 ;N2>N4
sc.rel.gt.gam GAM10 GAM7 GLM10 ;N4>N2
sc.rel.gt.gam GAM9 GAM10 GLM11 ;N3>N4
sc.rel.gt.gam GAM10 GAM9 GLM12 ;N4>N3
;Verificare dacă există un robot cu poziție extremă
sc.and.glm GLM1 GLM3 GLM13 ;N1>N2,N3
sc.and.glm GLM5 GLM13 GLM13 ;N1>N2,N3,N4
jumpc GLM13 R1e ;R1 extremă
sc.and.glm GLM2 GLM7 GLM13 ;N2>N1,N3
sc.and.glm GLM9 GLM13 GLM13 ;N2>N1,N3,N4
jumpc GLM13 R2e ;R2 extremă
sc.and.glm GLM4 GLM8 GLM13 ;N3>N1,N2
sc.and.glm GLM11 GLM13 GLM13 ;N3>N1,N2,N4
jumpc GLM13 R3e ;R3 extremă
sc.and.glm GLM6 GLM10 GLM13 ;N4>N1,N2
sc.and.glm GLM12 GLM13 GLM13 ;N4>N1,N2,N3
jumpc GLM13 R4e ;R4 extremă
jump ext2
R1e: ar.or.llm LLM11 LLM26 LLM15
host.display LLM15 7 ;afişare R1
jump end
R2e: ar.or.llm LLM12 LLM26 LLM15
host.display LLM15 7 ;afişare R2
jump end
R3e: ar.or.llm LLM13 LLM26 LLM15
host.display LLM15 7 ;afişare R3
jump end
R4e: ar.or.llm LLM14 LLM26 LLM15
host.display LLM15 7 ;afişare R4
jump end

;Verificare dacă există 2 roboți cu poziții extreme
ext2: sc.nor.glm GLM1 GLM2 GLM13 ;N1=N2
sc.and.glm GLM13 GLM3 GLM13 ;N1=N2>N3
sc.and.glm GLM13 GLM5 GLM13 ;N1=N2>N4
jumpc GLM13 R12e ;R1 și R2 extremi
sc.nor.glm GLM3 GLM4 GLM13 ;N1=N3
sc.and.glm GLM13 GLM1 GLM13 ;N1=N3>N2
sc.and.glm GLM13 GLM5 GLM13 ;N1=N3>N4
jumpc GLM13 R13e ;R1 și R3 extremi
sc.nor.glm GLM5 GLM6 GLM13 ;N1=N4
sc.and.glm GLM13 GLM1 GLM13 ;N1=N4>N2
sc.and.glm GLM13 GLM3 GLM13 ;N1=N4>N3
jumpc GLM13 R14e ;R1 și R4 extremi
sc.nor.glm GLM7 GLM8 GLM13 ;N2=N3
sc.and.glm GLM13 GLM2 GLM13 ;N2=N3>N1
sc.and.glm GLM13 GLM9 GLM13 ;N2=N3>N4

```

```

jumpc GLM13 R23e                ;R2 și R3 extremi
sc.nor.glm GLM9 GLM10 GLM13     ;N2=N4
sc.and.glm GLM13 GLM2 GLM13     ;N2=N4>N1
sc.and.glm GLM13 GLM7 GLM13     ;N2=N4>N3
jumpc GLM13 R24e                ;R2 și R4 extremi
sc.nor.glm GLM11 GLM12 GLM13    ;N3=N4
sc.and.glm GLM13 GLM4 GLM13     ;N3=N4>N1
sc.and.glm GLM13 GLM8 GLM13     ;N3=N4>N2
jumpc GLM13 R34e                ;R3 și R4 extremi
jump ext3
R12e: ar.or.ilm LLM11 LLM12 LLM15
ar.or.ilm LLM15 LLM26 LLM15
host.display LLM15 7            ;afișare R1 și R2
jump end
R13e: ar.or.ilm LLM11 LLM13 LLM15
ar.or.ilm LLM15 LLM26 LLM15
host.display LLM15 7            ;afișare R1 și R3
jump end
R14e: ar.or.ilm LLM11 LLM14 LLM15
ar.or.ilm LLM15 LLM26 LLM15    ;afișare R1 și R4
jump end
R23e: ar.or.ilm LLM12 LLM13 LLM15
ar.or.ilm LLM15 LLM26 LLM15
host.display LLM15 7            ;afișare R2 și R3
jump end
R24e: ar.or.ilm LLM12 LLM14 LLM15
ar.or.ilm LLM15 LLM26 LLM15    ;afișare R2 și R4
jump end
R34e: ar.or.ilm LLM13 LLM14 LLM15
ar.or.ilm LLM15 LLM26 LLM15
host.display LLM15 7            ;afișare R3 și R4
jump end

;Verificare dacă există 3 roboți cu poziții extreme
ext3: sc.nor.glm GLM1 GLM2 GLM13 ;N1=N2
sc.nor.glm GLM3 GLM4 GLM14       ;N1=N3
sc.and.glm GLM13 GLM14 GLM13     ;N1=N2=N3
sc.and.glm GLM13 GLM5 GLM13     ;N1=N2=N3>N4
jumpc GLM13 R123e                ;R1, R2 și R3 extremi
sc.nor.glm GLM1 GLM2 GLM13       ;N1=N2
sc.nor.glm GLM5 GLM6 GLM14       ;N1=N4
sc.and.glm GLM13 GLM14 GLM13     ;N1=N2=N4
sc.and.glm GLM13 GLM3 GLM13     ;N1=N2=N4>N3
jumpc GLM13 R124e                ;R1, R2 și R4 extremi
sc.nor.glm GLM3 GLM4 GLM13       ;N1=N3
sc.nor.glm GLM5 GLM6 GLM14       ;N1=N4
sc.and.glm GLM13 GLM14 GLM13     ;N1=N3=N4
sc.and.glm GLM13 GLM1 GLM13     ;N1=N3=N4>N2
jumpc GLM13 R134e                ;R1, R3 și R4 extremi
sc.nor.glm GLM7 GLM8 GLM13       ;N2=N3
sc.nor.glm GLM9 GLM10 GLM14      ;N2=N4
sc.and.glm GLM13 GLM14 GLM13     ;N2=N3=N4
sc.and.glm GLM13 GLM2 GLM13     ;N2=N3=N4>N1
jumpc GLM13 R234e                ;R2, R3 și R4 extremi
R234e: ar.or.ilm LLM12 LLM13 LLM15
ar.or.ilm LLM14 LLM15 LLM15
ar.or.ilm LLM15 LLM26 LLM15

```

```
host.display LLM15 7 ;afişare R1, R3 și R4
jump end
R134e: ar.or.ilm LLM11 LLM13 LLM15
ar.or.ilm LLM14 LLM15 LLM15
ar.or.ilm LLM15 LLM26 LLM15
host.display LLM15 7 ;afişare R1, R3 și R4
jump end
R124e: ar.or.ilm LLM11 LLM12 LLM15
ar.or.ilm LLM14 LLM15 LLM15
ar.or.ilm LLM15 LLM26 LLM15
host.display LLM15 7 ;afişare R1, R2 și R4
jump end
R123e: ar.or.ilm LLM11 LLM12 LLM15
ar.or.ilm LLM13 LLM15 LLM15
ar.or.ilm LLM15 LLM26 LLM15
host.display LLM15 7 ;afişare R1, R2 și R3
jump end
end:end
```

# ANEXA A6

;Program AMC pentru gruparea a doi roboți mobili extremă (R2, R3) în jurul robotului  
;central (R1)

```
host.load.tem shifte.tem TEM1
host.load.tem shifts.tem TEM2
host.load.tem shiftv.tem TEM3
host.load.tem shiftn.tem TEM4
host.load.tem shiftes.tem TEM5
host.load.tem shiftvs.tem TEM6
host.load.tem shiftvn.tem TEM7
host.load.tem shiften.tem TEM8
host.load.tem dilation.tem TEM9
```

```
host.load.pic rob1.bmp LLM1 ;image R1
host.load.pic rob2.bmp LLM2 ;image R2
host.load.pic rob3.bmp LLM3 ;image R3
host.load.pic zero.bmp LLM4 ;image cu pixelii de valoare zero
mov.llm.llm LLM1 LLM10
mov.llm.llm LLM2 LLM15 ;traietorie R2
mov.llm.llm LLM3 LLM16 ;traietorie R3
ar.or.llm LLM1 LLM2 LLM13 ;image R1 și R2
ar.or.llm LLM13 LLM3 LLM13 ;image R1, R2 și R3
host.display LLM13 1 ;afișare toți roboții
mov.gam.gam 5 GAM1 ;r12=5
mov.gam.gam 9 GAM2 ;r13=9
mov.gam.gam 0 GAM3
sc.rel.gt.gam GAM1 GAM2 GLM1 ; r12>r13?
jumpc GLM1 vecR12
jump vecR13
```

```
;Vecinătate R1 apoi verificare poziții din jurul lui R3 și deplasare cu un pas
vecR13: mov.gam.gam GAM2 GAM4 ;r13
sc.dec.gam GAM4 ;r=r-1
sc.rel.equ.gam 0 GAM4 GLM1 ;r=0?
jumpc GLM1 end ;dacă r=0 STOP
ar.tem TEM9 LLM1 LLM1 LLM5 2 -1 -1 NIL NIL ;generare vecinătate R1
mov.llm.llm LLM5 LLM1 ;actualizare R1
ar.or.llm LLM1 LLM2 LLM14
ar.or.llm LLM14 LLM3 LLM14
conv.llm.gam.cnt LLM1 GAM5 ;nr. de pixeli negri din imag vec. R1
sc.inc.gam GAM3
sc.rel.equ.gam GAM3 GAM4 GLM2
jumpnc GLM2 vecR13
host.display LLM14 2
ar.tem TEM1 LLM3 LLM4 LLM6 1 zeroflux zeroflux NIL NIL ;deplasare E
ar.or.llm LLM1 LLM6 LLM7
conv.llm.gam.cnt LLM7 GAM6
sc.rel.equ.gam GAM5 GAM6 GLM1
jumpnc GLM1 sud3
jump final3
```

```

sud3: ar.tem TEM2 LLM3 LLM4 LLM6 1 zeroflux zeroflux NIL NIL ;deplasare S
ar.or.ilm LLM1 LLM6 LLM7
conv.ilm.gam.cnt LLM7 GAM6
sc.rel.equ.gam GAM5 GAM6 GLM1
jumpnc GLM1 vest3
jump final3
vest3: ar.tem TEM3 LLM3 LLM4 LLM6 1 zeroflux zeroflux NIL NIL ;deplasare V
ar.or.ilm LLM1 LLM6 LLM7
conv.ilm.gam.cnt LLM7 GAM6
sc.rel.equ.gam GAM5 GAM6 GLM1
jumpnc GLM1 nord3
jump final3
nord3: ar.tem TEM4 LLM3 LLM4 LLM6 1 zeroflux zeroflux NIL NIL ;deplasare N
ar.or.ilm LLM1 LLM6 LLM7
conv.ilm.gam.cnt LLM7 GAM6
sc.rel.equ.gam GAM5 GAM6 GLM1
jumpnc GLM1 sudest3
jump final3
sudest3: ar.tem TEM5 LLM3 LLM4 LLM6 1 zeroflux zeroflux NIL NIL ;deplasare SE
ar.or.ilm LLM1 LLM6 LLM7
conv.ilm.gam.cnt LLM7 GAM6
sc.rel.equ.gam GAM5 GAM6 GLM1
jumpnc GLM5 sudvest3
jump final3
sudvest3: ar.tem TEM6 LLM3 LLM4 LLM6 1 zeroflux zeroflux NIL NIL ;deplasare SV
ar.or.ilm LLM1 LLM6 LLM7
conv.ilm.gam.cnt LLM7 GAM6
sc.rel.equ.gam GAM5 GAM6 GLM1
jumpnc GLM1 nordvest3
jump final3
nordvest3: ar.tem TEM7 LLM3 LLM4 LLM6 1 zeroflux zeroflux NIL NIL ;deplasare NV
ar.or.ilm LLM1 LLM6 LLM7
conv.ilm.gam.cnt LLM7 GAM6
sc.rel.equ.gam GAM5 GAM6 GLM1
jumpnc GLM1 nordest3
jump final3
nordest3: ar.tem TEM8 LLM3 LLM4 LLM6 1 zeroflux zeroflux NIL NIL ;deplasare NE
ar.or.ilm LLM1 LLM6 LLM7
conv.ilm.gam.cnt LLM7 GAM6
sc.rel.equ.gam GAM5 GAM6 GLM1
jumpnc GLM8 final3
jump final3

;Vecinătate R1 apoi verificare poziții din jurul lui R2 și deplasare R2 cu un pas
vecR12: mov.gam.gam GAM1 GAM4 ;r12
sc.dec.gam GAM4 ;r=r-1
sc.rel.equ.gam 0 GAM4 GLM1 ;r=0?
jumpc GLM1 end ;dacă r=0 STOP
ar.tem TEM9 LLM1 LLM1 LLM5 2 -1 -1 NIL NIL ;generare vecinătate R1
mov.ilm.ilm LLM5 LLM1 ;actualizare R1
ar.or.ilm LLM1 LLM2 LLM14
ar.or.ilm LLM14 LLM3 LLM14
conv.ilm.gam.cnt LLM1 GAM5
sc.inc.gam GAM3
sc.rel.equ.gam GAM3 GAM4 GLM2
jumpnc GLM2 vecR12
host.display LLM14 2
ar.tem TEM1 LLM2 LLM4 LLM6 1 zeroflux zeroflux NIL NIL ;deplasare E

```

```

ar.or.llm LLM1 LLM6 LLM7
conv.llm.gam.cnt LLM7 GAM6
sc.rel.equ.gam GAM5 GAM6 GLM1
jumpnc GLM1 sud2
jump final2
sud2: ar.tem TEM2 LLM2 LLM4 LLM6 1 zeroflux zeroflux NIL NIL ;deplasare S
ar.or.llm LLM1 LLM6 LLM7
conv.llm.gam.cnt LLM7 GAM6
sc.rel.equ.gam GAM5 GAM6 GLM1
jumpnc GLM1 vest2
jump final2
vest2: ar.tem TEM3 LLM2 LLM4 LLM6 1 zeroflux zeroflux NIL NIL ;deplasare V
ar.or.llm LLM1 LLM6 LLM7
conv.llm.gam.cnt LLM7 GAM6
sc.rel.equ.gam GAM5 GAM6 GLM1
jumpnc GLM1 nord2
jump final2
nord2: ar.tem TEM4 LLM2 LLM4 LLM6 1 zeroflux zeroflux NIL NIL ;deplasare N
ar.or.llm LLM1 LLM6 LLM7
conv.llm.gam.cnt LLM7 GAM6
sc.rel.equ.gam GAM5 GAM6 GLM1
jumpnc GLM1 sudest2
jump final2
sudest2: ar.tem TEM5 LLM2 LLM4 LLM6 1 zeroflux zeroflux NIL NIL ;deplasare SE
ar.or.llm LLM1 LLM6 LLM7
conv.llm.gam.cnt LLM7 GAM6
sc.rel.equ.gam GAM5 GAM6 GLM1
jumpnc GLM5 sudvest2
jump final2
sudvest2: ar.tem TEM6 LLM2 LLM4 LLM6 1 zeroflux zeroflux NIL NIL ;deplasare SV
ar.or.llm LLM1 LLM6 LLM7
conv.llm.gam.cnt LLM7 GAM6
sc.rel.equ.gam GAM5 GAM6 GLM1
jumpnc GLM1 nordvest2
jump final2
nordvest2: ar.tem TEM7 LLM2 LLM4 LLM6 1 zeroflux zeroflux NIL NIL ;deplasare NV
ar.or.llm LLM1 LLM6 LLM7
conv.llm.gam.cnt LLM7 GAM6
sc.rel.equ.gam GAM5 GAM6 GLM1
jumpnc GLM1 nordest2
jump final2
nordest2: ar.tem TEM8 LLM2 LLM4 LLM6 1 zeroflux zeroflux NIL NIL ;deplasare NE
ar.or.llm LLM1 LLM6 LLM7
conv.llm.gam.cnt LLM7 GAM6
sc.rel.equ.gam GAM5 GAM6 GLM1
jumpnc GLM8 final2
jump final2
final3: mov.llm.llm LLM10 LLM1
ar.or.llm LLM6 LLM16 LLM16 ;actualizare traiectorie R3
ar.or.llm LLM16 LLM15 LLM11
ar.or.llm LLM11 LLM1 LLM11
host.display LLM11 3
mov.llm.llm LLM6 LLM3
sc.rel.equ.gam GAM1 GAM4 GLM1 ;r12=r13?
sc.rel.gt.gam GAM4 GAM1 GLM2 ;r13>r12?
mov.gam.gam GAM4 GAM2 ;r13 actualizat
mov.gam.gam 0 GAM3
jumpc GLM1 vecR12

```

```
jumpc GLM2 vecR13
jump vecR12
final2: mov.llm.llm LLM10 LLM1           ;actualizare imag R1
ar.or.llm LLM6 LLM15 LLM15
ar.or.llm LLM15 LLM16 LLM12
ar.or.llm LLM12 LLM1 LLM12
host.display LLM12 3
mov.llm.llm LLM6 LLM2
sc.rel.equ.gam GAM2 GAM4 GLM1           ;r13=r12?
sc.rel.gt.gam GAM4 GAM2 GLM2           ;r12>r13?
mov.gam.gam GAM4 GAM1                   ;r12 actualizat
mov.gam.gam 0 GAM3
jumpc GLM1 vecR13
jumpc GLM2 vecR12
jump vecR13
end:end
```



# ANEXA A7

% Program Matlab pentru planificarea traiectorie unui robot mobil pe baza imaginilor  
% mediului captate cu o cameră video și procesarea acestora cu CNN

```
VFM('preview'); % urmărire online  
VFM('configformat'); % setare rezoluție  
VFM('configsource'); % reglaje cameră  
I=VFM('grab'); % captare imagine color
```

```
% Transformarea imaginii color a mediului în imagine gray-scale  
GRI=rgb2gray(I); imwrite(GRI,'mediu.bmp'); Me=imread('mediu.bmp');  
subplot(231); imshow(Me); xlabel('Imaginea gray-scale a mediului');
```

```
% Procesare CNN pentru obținerea poziției robotului  
Ro=I(:, :, 1); imwrite(Ro,'rosu.bmp'); SetEnv;  
mCNN.INPUT1=lbmp2cnn('rosu.bmp','gray'); mCNN.STATE=mCNN.INPUT1;  
LOADTEM('THRES1'); RunTem;  
scnn2bmp('pozrob.bmp', mCNN.OUTPUT); R=imread('pozrob.bmp');  
subplot(232); imshow(R); xlabel('Pozitia robotului');
```

```
% Procesare CNN pentru obținerea poziției țintei  
Ve=I(:, :, 2); imwrite(Ve,'verde.bmp');  
mCNN.INPUT1=lbmp2cnn('verde.bmp','gray'); mCNN.STATE=mCNN.INPUT1;  
LOADTEM('THRES1'); RunTem;  
scnn2bmp('poztin.bmp', mCNN.OUTPUT); T=imread('poztin.bmp');  
subplot(233); imshow(T); xlabel('Pozitia țintei');
```

```
% Procesare CNN pentru obținerea imaginii binare a mediului  
mCNN.INPUT1=lbmp2cnn('mediu.bmp','gray'); mCNN.STATE=mCNN.INPUT1;  
LOADTEM('THRES'); RunTem;  
scnn2bmp('mediubin.bmp', mCNN.OUTPUT); Me1=imread('mediubin.bmp');  
subplot(234); imshow(Me1); xlabel('Imaginea binara');
```

```
% Procesare CNN pentru eliminarea zgomotelor din imaginea binară a mediului  
mCNN.INPUT1=lbmp2cnn('mediubin.bmp','gray'); mCNN.STATE=mCNN.INPUT1;  
LOADTEM('EROSION'); RunTem;  
scnn2bmp('mediuero.bmp', mCNN.OUTPUT); Me2=imread('mediuero.bmp');  
subplot(235); imshow(Me2); xlabel('Erodare');
```

```
% Procesare CNN pentru dilatare obstacole  
i=1;j=0;  
while i<4;  
    if j==0; mCNN.INPUT1=lbmp2cnn('mediuero.bmp','gray');  
    else mCNN.INPUT1=mCNN.OUTPUT; end;  
    mCNN.STATE=lbmp2cnn('zero1.bmp','gray');  
    mCNN.TimeStep=1; mCNN.IterNum=1; mCNN.Boundary=2;  
    LOADTEM('DILATION'); RunTem;i=i+1;j=j+1; end;  
scnn2bmp('mediudil.bmp',mCNN.OUTPUT); M=imread('mediudil.bmp');  
subplot(236); imshow(M); xlabel('Dilatate obstacole');
```

```

% Determinarea coloanei și liniei pe care se află robotul și ținta
[A,B]=max(R); [A,colR]=max(A); P=rot90(R,1); [A,B]=max(P); [A,linR]=max(A);
[A,B]=max(T); [A,colT]=max(A); P=rot90(T,1); [A,B]=max(P); [A,linT]=max(A);
linR=100; colR=15; linT = 40; colT = 130;

%Afișarea imaginii mediului cu obstacole
[m,n]=size(M);
for i=1:1:n; for j=1:1:m; if M(j,i)==255; mediul(j,i)=0; %inversare imagine mediu
else mediul(j,i)=255; end; end; end;
figure, surf(double(mediul(1:1:m,1:1:n))); hold on; grid on;
axis([0 160 0 120 0 300]); ylabel('j'); xlabel('i');
set(gca,'YDir','reverse'); view(20,80);
title('Mediul cu obstacole');
plot3(colT,linT,10,'g+'); hold on; %poziție țintă
plot3(colR,linR,10,'r+'); hold on; %poziție robot

% Crearea câmpului potențial de atracție
xf=colT; yf=linT; k=3;
for i=1:1:n; for j=1:1:m;
    E=((xf-i)^2+(yf-j)^2)^0.5+0.1*i+0.2*j; Ua=1/2*k*E;
    if mediul(j,i)==0; Uatr(j,i)=Ua;
    else Uatr(j,i)=255;
end;end;end;
figure, surf(double(Uatr(1:1:m,1:1:n))); hold on; grid on;
axis([0 160 0 120 0 300]); ylabel('j'); xlabel('i');
set(gca,'YDir','reverse'); view(20,50);
title('Potentialul de atracție');

% Crearea câmpului potențial de repulsie
for i=1:1:n; for j=1:1:m; Urep(j,i)=mediul(j,i); end;end;
for z=1:1:n; for c=1:1:m; if mediul(c,z)==255;
    for i=z-4:1:z+4; for j=c-4:1:c+4;
        if ((i>0)&(j>0)); if ((z~=i)|(c~=j));
            E=((z-i)^2+(c-j)^2)^0.5; Ur=20*(1/E)^2;
            if E<5; if ((i<=160)&(j<=120));
                Urep(j,i)=Urep(j,i)+Ur; Urep(c,z)=255;
            end; end; end; end; end; end; end; end; end;
Urep;
figure, surf(double(Urep(1:1:m,1:1:n))); hold on; grid on;
axis([0 160 0 120 0 600]); ylabel('j'); xlabel('i');
set(gca,'YDir','reverse'); view(20,70);
title('Potentialul de repulsie');

% Crearea câmpului potențial total
for i=1:1:n; for j=1:1:m; mediul(j,i)=Uatr(j,i)+Urep(j,i); end; end;
figure, surf(double(mediul(1:1:m,1:1:n))); hold on; grid on;
axis([0 160 0 120 0 600]); ylabel('j'); xlabel('i');
set(gca,'YDir','reverse'); view(20,80);
title('Potentialul total si traiectoria robotului');

% Planificarea traiectoriei
pp=digitalio('parallel',1); addline(pp,0:1,'out'); putvalue(pp,[0 0]); pause(.01);
% Inițializare port
putvalue(pp,[1 1]);pause(.3); putvalue(pp,[0 0]); % intrare robot în mediu
on=0; os=0; oe=0; ov=0; one=1; onv=0; ose=0; osv=0; % orientare inițială SE
i=colR; j=linR; p=1; % pornire robot
pn=0; ps=0; pe=0; pv=0; pne=0; pnv=0; pse=0; psv=0; % direcție optimă
nf=0; sf=0; ef=0; vf=0; nef=0; nvf=0; sef=0; svf=0; % nr. pași pe o direcție

```

```

dn=0; ds=0; de=0; dv=0; dne=0; dnv=0; dse=0; dsv=0; % deplasare pe directie
while ((i~=colT)|(j~=linT));
N=mediu(j-1,i); S=mediu(j+1,i); E=mediu(j,i+1); V=mediu(j,i-1);
SE=mediu(j+1,i+1); SV=mediu(j+1,i-1); NE=mediu(j-1,i+1); NV=mediu(j-1,i-1);
X=[N S E V NE NV SE SV]; d=min(X);
if d==N; j=j-1; plot3(i,j,N,'r+'); hold on; grid on; pn=pn+1
    sf=ps;ps=0; ef=pe;pe=0; vf=pv;pv=0; nef=pne;pne=0;
    nvf=pnv;pnv=0; sef=pse;pse=0; svf=psv;psv=0;
elseif d==S; j=j+1; plot3(i,j,S,'r+'); hold on; grid on; ps=ps+1
    nf=pn;pn=0; ef=pe;pe=0; vf=pv;pv=0; nef=pne;pne=0;
    nvf=pnv;pnv=0; sef=pse;pse=0; svf=psv;psv=0;
elseif d==E; i=i+1; plot3(i,j,E,'r+'); hold on; grid on; pe=pe+1
    nf=pn;pn=0; sf=ps;ps=0; vf=pv;pv=0; nef=pne;pne=0;
    nvf=pnv;pnv=0; sef=pse;pse=0; svf=psv;psv=0;
elseif d==V; i=i-1; plot3(i,j,V,'r+'); hold on; grid on; pv=pv+1
    nf=pn;pn=0; sf=ps;ps=0; ef=pe;pe=0; nef=pne;pne=0;
    nvf=pnv;pnv=0; sef=pse;pse=0; svf=psv;psv=0;
elseif d==NE; i=i+1; j=j-1; plot3(i,j,NE,'r+'); hold on; grid on; pne=pne+1
    nf=pn;pn=0; sf=ps;ps=0; ef=pe;pe=0; vf=pv;pv=0;
    nvf=pnv;pnv=0; sef=pse;pse=0; svf=psv;psv=0;
elseif d==NV; i=i-1; j=j-1; plot3(i,j,NV,'r+'); hold on; grid on; pnv=pnv+1
    nf=pn;pn=0; sf=ps;ps=0; ef=pe;pe=0; vf=pv;pv=0;
    nef=pne;pne=0; sef=pse;pse=0; svf=psv;psv=0;
elseif d==SE; i=i+1; j=j+1; plot3(i,j,SE,'r+'); hold on; grid on; pse=pse+1
    nf=pn;pn=0; sf=ps;ps=0; ef=pe;pe=0; vf=pv;pv=0;
    nef=pne;pne=0; nvf=pnv;pnv=0; svf=psv;psv=0;
elseif d==SV; i=i-1; j=j+1; plot3(i,j,SV,'r+'); hold on; grid on; psv=psv+1
    nf=pn;pn=0; sf=ps;ps=0; ef=pe;pe=0; vf=pv;pv=0;
    nef=pne;pne=0; nvf=pnv;pnv=0; sef=pse;pse=0;
end;

if (p==115)&(pn>1); nf=pn; end;    if (p==115)&(ps>1); sf=ps; end;
if (p==115)&(pe>1); ef=pe; end;    if (p==115)&(pv>1); vf=pv; end;
if (p==115)&(pne>1); nef=pne; end; if (p==115)&(pnv>1); nvf=pnv; end;
if (p==115)&(pse>1); sef=pse; end; if (p==115)&(psv>1); svf=psv; end;

if nf>1;
    ondr=[one oe ose os]; onst=[onv ov osv]; dn=dn+1
    [a,b]=max(ondr); [c,d]=max(onst);
    putvalue(pp,[0 0]); pause(.01);
    putvalue(pp,[0 1]);pause(a*b*.16); putvalue(pp,[0 0]);
    putvalue(pp,[1 0]);pause(c*d*.1); putvalue(pp,[0 0]); pause(.1);
    putvalue(pp,[1 1]);pause(nf*.015); putvalue(pp,[0 0]); %deplasare N
    on=1; os=0; oe=0; ov=0; one=0; onv=0; ose=0; osv=0; nf=0;
elseif sf>1;
    osdr=[osv ov onv on]; osst=[ose oe one]; ds=ds+1
    [a,b]=max(osdr); [c,d]=max(osst);
    putvalue(pp,[0 0]); pause(.01);
    putvalue(pp,[0 1]);pause(a*b*.16); putvalue(pp,[0 0]);
    putvalue(pp,[1 0]);pause(c*d*.1); putvalue(pp,[0 0]); pause(.1);
    putvalue(pp,[1 1]);pause(sf*.015); putvalue(pp,[0 0]); %deplasare S
    on=0; os=1; oe=0; ov=0; one=0; onv=0; ose=0; osv=0; sf=0;
elseif ef>1;
    oedr=[ose os osv ov]; oest=[one on onv]; de=de+1
    [a,b]=max(oedr); [c,d]=max(oest);
    putvalue(pp,[0 0]); pause(.01);
    putvalue(pp,[0 1]);pause(a*b*.16); putvalue(pp,[0 0]);
    putvalue(pp,[1 0]);pause(c*d*.1); putvalue(pp,[0 0]); pause(.1);

```

```

    putvalue(pp,[1 1]);pause(ef*.015); putvalue(pp,[0 0]); %deplasare E
    on=0; os=0; oe=1; ov=0; one=0; onv=0; ose=0; osv=0; ef=0;
elseif vf>1;
    ovdr=[onv on one oe]; ovst=[osv os ose]; dv=dv+1
    [a,b]=max(ovdr); [c,d]=max(ovst);
    putvalue(pp,[0 0]); pause(.01);
    putvalue(pp,[0 1]);pause(a*b*.16); putvalue(pp,[0 0]);
    putvalue(pp,[1 0]);pause(c*d*.1); putvalue(pp,[0 0]); pause(.1);
    putvalue(pp,[1 1]);pause(vf*.015); putvalue(pp,[0 0]); %deplasare V
    on=0; os=0; oe=0; ov=1; one=0; onv=0; ose=0; osv=0; vf=0;
elseif nef>1;
    onedr=[oe ose os osv]; onest=[on onv ov]; dne=dne+1
    [a,b]=max(onedr); [c,d]=max(onest);
    putvalue(pp,[0 0]); pause(.01);
    putvalue(pp,[0 1]); pause(a*b*.16);putvalue(pp,[0 0]);
    putvalue(pp,[1 0]); pause(c*d*.1);putvalue(pp,[0 0]); pause(.1);
    putvalue(pp,[1 1]); pause(nef*.015); putvalue(pp,[0 0]); %deplasare NE
    on=0; os=0; oe=0; ov=0; one=1; onv=0; ose=0; osv=0; nef=0;
elseif nvf>1;
    onvdr=[on one oe ose]; onvst=[ov osv os]; dnv=dnv+1;
    [a,b]=max(onvdr); [c,d]=max(onvst);
    putvalue(pp,[0 0]); pause(.01);
    putvalue(pp,[0 1]);pause(a*b*.16); putvalue(pp,[0 0]);
    putvalue(pp,[1 0]);pause(c*d*.1); putvalue(pp,[0 0]); pause(.1);
    putvalue(pp,[1 1]);pause(nvf*.015); putvalue(pp,[0 0]); %deplasare NV
    on=0; os=0; oe=0; ov=0; one=0; onv=1; ose=0; osv=0; nvf=0;
elseif sef>1;
    osedr=[os osv ov onv]; oset=[oe one on]; dse=dse+1
    [a,b]=max(osedr); [c,d]=max(osest);
    putvalue(pp,[0 0]); pause(.01);
    putvalue(pp,[0 1]);pause(a*b*.16); putvalue(pp,[0 0]);
    putvalue(pp,[1 0]);pause(c*d*.1); putvalue(pp,[0 0]); pause(.1);
    putvalue(pp,[1 1]);pause(sef*.015); putvalue(pp,[1 1]); %deplasare SE
    on=0; os=0; oe=0; ov=0; one=0; onv=0; ose=1; osv=0; sef=0;
elseif svf>1;
    osvdr=[ov onv on one]; osvst=[osv ose oe]; dsv=dsv+1
    [a,b]=max(osvdr); [c,d]=max(osvst);
    putvalue(pp,[0 0]); pause(.01);
    putvalue(pp,[0 1]);pause(a*b*.16); putvalue(pp,[0 0]);
    putvalue(pp,[1 0]);pause(c*d*.1); putvalue(pp,[0 0]); pause(.1);
    putvalue(pp,[1 1]);pause(svf*.015); putvalue(pp,[0 0]); deplasare SV
    on=0; os=0; oe=0; ov=0; one=0; onv=0; ose=0; osv=1; svf=0; end;
    p=p+1;
if (p==300); break; end;
end;
p

```